



HAL
open science

**Cergy, département du Val d'Oise, ZAC des Linandes,
2è tranche, phase 1 [OA 108662]**

J.-G Pariat, Aurélien Lefeuvre, Sandrine Robert

► **To cite this version:**

J.-G Pariat, Aurélien Lefeuvre, Sandrine Robert. Cergy, département du Val d'Oise, ZAC des Linandes, 2è tranche, phase 1 [OA 108662]: rapport de diagnostic archéologique, du 01-06-2010 au 30-06-2010. OA 108662, SRA - Île-de-France; SDAVO. 2010, 189 p. hal-04533884

HAL Id: hal-04533884

<https://hal.science/hal-04533884>

Submitted on 5 Apr 2024

HAL is a multi-disciplinary open access archive for the deposit and dissemination of scientific research documents, whether they are published or not. The documents may come from teaching and research institutions in France or abroad, or from public or private research centers.

L'archive ouverte pluridisciplinaire **HAL**, est destinée au dépôt et à la diffusion de documents scientifiques de niveau recherche, publiés ou non, émanant des établissements d'enseignement et de recherche français ou étrangers, des laboratoires publics ou privés.



Distributed under a Creative Commons Attribution - NonCommercial - NoDerivatives 4.0
International License

Le Conseil général
soutient la recherche archéologique

Cergy

Département du Val d'Oise (95)

“ZAC des Linandes” 2e tranche, Phase 1



Rapport de diagnostic archéologique
du 01/06/2010 au 30/06/2010



Par
Jean-Gabriel PARIAT

Avec la collaboration de
Aurélien Lefeuvre, Sandrine Robert

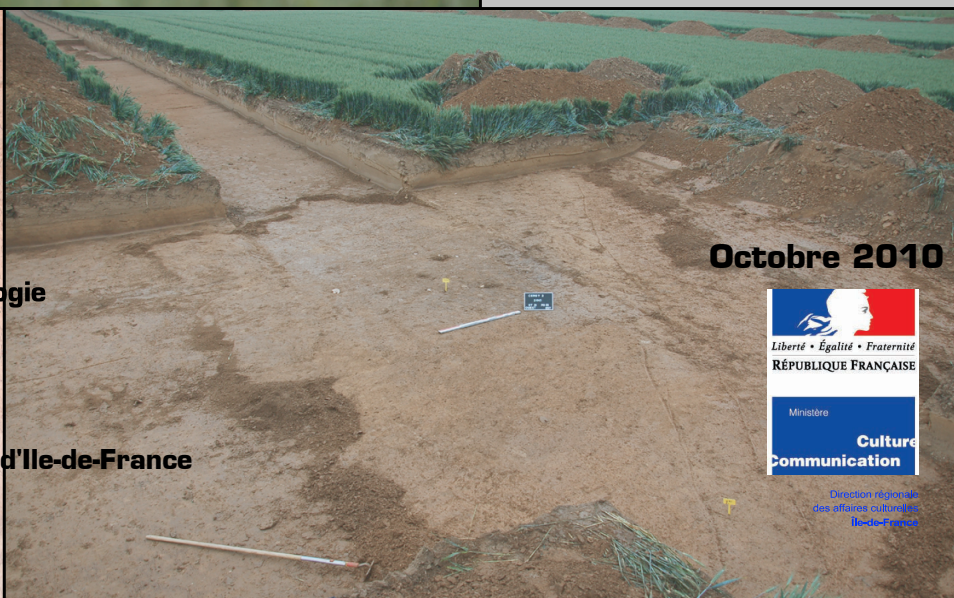


Arrêté de prescription : 2010-260
Arrêté de désignation : 2010-324



Conseil général du Val d'Oise
Service départemental d'archéologie
Abbaye de Maubuisson
95310 Saint-Ouen-l'Aumône

DRAC
Service régional de l'archéologie d'Ile-de-France
45-47, rue Le Peletier
75009 Paris



Octobre 2010



Ministère
**Culture
Communication**

Direction régionale
des affaires culturelles
Ile-de-France

Cergy

« ZAC des Linandes », 2ème tranche, phase 1, Rapport de diagnostic, SDAVO

Département du Val d'Oise
(95)

Rapport de diagnostic archéologique préventif

du 01/06/2010 au 30/06/2010

Arrêté de prescription : 2010-260
Arrêté de désignation : 2010-324
N° INSEE de la commune : 95 127

Par

Jean-Gabriel PARIAT

Avec la collaboration de

Aurélien LEFEUVRE

Sandrine ROBERT

**Conseil général du Val-d'Oise
Service départemental d'archéologie
Abbaye de Maubuisson
95310 Saint-Ouen-l'Aumône**

**DRAC
Service régional de l'archéologie d'Ile-de-France
47, rue Le Peletier
75009 Paris**

Octobre 2010

Sommaire

Introduction	13
I- Contexte géographique et géologique	13
II- Contexte historique et archéologique	18
III- Stratégies et méthodes mises en œuvre	18
IV- Traitement et archivage des données	20
V- Les occupations archéologiques	21
V.1- Le Néolithique	21
V.2- L'âge du Fer	27
V.2.1- Le tronçon de fossé Fo7	27
V.2.2- Le fossé Fo19	27
V.2.3- La fosse F36	27
V.2.4- Conclusion	34
V.3- L'Antiquité	34
V.4- Le Moyen-Âge	38
V.4.1- Le tronçon de fossé Fo 30	38
V.4.2- Les fossés bordiers de la voie médiévale (V8)	38
V.4.3- La voie V8 dite « Vieux Chemin de Rouen »	38
V.4.3.a- Le sondage de la tranchée 8	42
V.4.3.b- Le sondage de la tranchée 9	44
V.4.3.c- Conclusion	46
V.4.3.d- Comparaisons	47
V.5- L'époque moderne	48
V.6- L'époque contemporaine	49
V.7- Vestiges d'époque indéterminée	49
VI- Conclusion générale	63
VII- Bibliographie	65
Annexe 1 Inventaire des structures	67
Annexe 2 Inventaire du mobilier	95
Annexe 3 Inventaire des photographies	139
Annexe 4 Inventaire des prélèvements	149

Annexe 5 Étude archéogéographique	155
I- Environnement oro-hydrographique	156
II- Inscription dans le réseau viaire	156
II.1- Inscription dans le réseau de grand parcours : l'itinéraire	
Paris-Rouen orienté nord-ouest/sud-est.....	156
II.2- Autres voies.....	158
III- Organisation des trames parcellaires	158
IV - Historique de la parcelle du XVIII^e siècle à aujourd'hui : carto	
et photo-interprétation	160
V- Liste des plans consultés	171
VI- Liste des missions aériennes consultées	174
VII - Bibliographie	174
Annexe 6 Le mobilier métallique	175
I- Le corpus	176
II- Les ensembles mobiliers	177
III- Conclusion	183
IV- Bibliographie	183
Annexe 7 Étude carpologique du silo F36	185
Liste des figures	189

FICHE SIGNALÉTIQUE

Région : Ile-de-France

Département : 95 **Commune :** Cergy **Code INSEE :** 127

Lieu-dit ou adresse : ZAC de la plaine des Linandes

Cadastre année : Parcelles n° ZC 2, 3, 4, 6, 7, 124, 125, 416 à 418, 420 à 425, 440, 441 du cadastre

Coord. Lambert : Lambert 1 X : 579 393 Y : 1 150 312

Lambert 93 X : 630 947 Y : 6 884 094

Altitude : 91 m NGF

Propriétaire des terrains : Communauté d'Agglomération de Cergy-Pontoise (CACP)

Arrêté de prescription n°: 2010-260 en date du 16 avril 2010

Arrêté de désignation n°: 2010-324 en date du 20 mai 2010

Responsable désigné : Jean-Gabriel PARIAT

Organisme de rattachement : Conseil Général du Val d'Oise

Maître d'ouvrage des travaux : Communauté d'Agglomération de Cergy-Pontoise

Nature de l'aménagement : Aménagement d'équipements sportifs

Opérateur chargé des travaux : Service départemental d'archéologie du Val d'Oise (SDAVO)

Surface du projet d'aménagement : 15 ha

Dates d'intervention sur le terrain : du 01 juin au 30 juin 2010

Surface diagnostiquée : 10,8 ha **% de la surface sondée :** 9,2 % soit 10110 m²

Problématique de recherche et principaux résultats :

Un diagnostic archéologique a été prescrit par les services de l'État au lieu-dit « ZAC de la plaine des Linandes » sur la commune de Cergy (Val d'Oise – 95). Cette opération a été motivée par la création prochaine d'un complexe sportif.

L'attention des services de l'Etat a été alertée en particulier par la présence avérée en 2008 d'une ferme gauloise sur les parcelles attenantes, ainsi que par la proximité de plusieurs grands axes de circulation, la Chaussée Jules César et la voie royale reliant Pontoise à Rouen.

Le diagnostic réalisé en 2010 a révélé différents vestiges témoignant d'une fréquentation régulière de la zone au cours du temps. Quelques rares structures renvoient au Néolithique et au Second Âge du Fer. Une occupation antique très érodée a également été mise au jour. Enfin une voie médiévale, pavée et particulièrement bien conservée, a pu être fouillée.

Lieu de dépôt temporaire du matériel archéologique :

SDAVO – Abbaye de Maubuisson – 95310 Saint-Ouen-l'Aumône

INTERVENANTS ET MOYENS MIS EN ŒUVRE

Intervenants scientifiques :

SRA : Jean-Marc Gouedo Conservateur en charge du dossier
SDAVO : Jean-Gabriel Pariat Responsable scientifique

Intervenants administratifs :

DRAC Ile-de-France, SRA : Bruno Foucray Conservateur régional de l'archéologie
SDAVO : Patrice Rodriguez Chef de service
Bernard Poirier Responsable pôle archéologie préventive
Hélène Chouf Communauté d'Agglomération de Cergy-Pontoise

Aménageur : Communauté d'Agglomération de Cergy-Pontoise

Financement : Redevance

Terrain :

Préparation : Jean-Gabriel Pariat, Sandrine Robert, Bernard Poirier
Fouille : Xavier Bernardeau, Christian Kappès, Jean-Pierre Labbé, Julien Laheye,
Jean-Gabriel Pariat, Julien Spahn
Topographie : Jean-Gabriel Pariat

Post-Fouille :

Lavage et tamisage du mobilier : Xavier Bernardeau, Romain Marque, Jean-Gabriel Pariat
Restauration : Florence Dussère
Mise au propre des plans et coupes, DAO : Xavier Bernardeau, Jean-Gabriel Pariat
Bases de données : Xavier Bernardeau, Jean-Gabriel Pariat
Mise en forme rapport : Jean Cumin

Collaborations :

Archéogéographie :	Sandrine Robert	SDAVO
Expertise céramique : néolithique	Laure Salanova	CNRS, UMR 7055
gauloise	Caroline Laporte-Cassagne	SDAVO
médiévale et moderne	Séverine Hurard	INRAP, UMR 7041
Expertise restes animaux :	Opale Robin	CRAVO
Etude du mobilier métallique :	Aurélien Lefeuvre	SDAVO
Expertise lithique :	Caroline Renard	Doctorante, UMR 7041
Numismatique :	Jean-Bernard Guillaume	Archéologue bénévole
Expertise carpologie :	Florian Jedrusiak	UMR 7041

Intervenants techniques :

Terrassement mécanique : 1 pelle avec godet de curage de 2 et 3 m de large
Conducteur : Taylor Dudouit (Société Beaussire)

MOTS CLÉS DES THESAURUS

Chronologie :

<input type="checkbox"/>	Paléolithique
<input type="checkbox"/>	inférieur
<input type="checkbox"/>	moyen
<input type="checkbox"/>	supérieur
<input type="checkbox"/>	Mésolithique et Épipaléolithique
<input checked="" type="checkbox"/>	Néolithique
<input type="checkbox"/>	ancien
<input checked="" type="checkbox"/>	moyen
<input type="checkbox"/>	récent
<input checked="" type="checkbox"/>	Chalcolithique
<input checked="" type="checkbox"/>	Protohistoire
<input type="checkbox"/>	Âge du Bronze
<input type="checkbox"/>	ancien
<input type="checkbox"/>	moyen
<input type="checkbox"/>	récent
<input type="checkbox"/>	Âge du Fer
<input type="checkbox"/>	Hallstatt (premier âge du Fer)
<input checked="" type="checkbox"/>	La Tène (second âge du fer)

<input type="checkbox"/>	Antiquité romaine (gallo-romain)
<input type="checkbox"/>	République romaine
<input type="checkbox"/>	Empire romain
<input type="checkbox"/>	Haut-Empire (jusqu'en 284)
<input type="checkbox"/>	Bas-Empire (de 285 à 476)
<input type="checkbox"/>	Époque médiévale
<input type="checkbox"/>	haut Moyen Âge
<input type="checkbox"/>	Moyen Âge
<input type="checkbox"/>	bas Moyen Âge
<input checked="" type="checkbox"/>	Temps modernes
<input type="checkbox"/>	Époque contemporaine
<input type="checkbox"/>	Ère industrielle

Sujets et thèmes :

<input type="checkbox"/>	Édifice public
<input type="checkbox"/>	Édifice religieux
<input type="checkbox"/>	Édifice militaire
<input type="checkbox"/>	Bâtiment
<input checked="" type="checkbox"/>	Structure funéraire
<input type="checkbox"/>	Voirie
<input type="checkbox"/>	Hydraulique
<input type="checkbox"/>	Habitat rural
<input type="checkbox"/>	Villa
<input type="checkbox"/>	Bâtiment agricole
<input checked="" type="checkbox"/>	Structure agraire
<input type="checkbox"/>	Urbanisme
<input type="checkbox"/>	Maison
<input type="checkbox"/>	Structure urbaine
<input checked="" type="checkbox"/>	Foyer
<input checked="" type="checkbox"/>	Fosse
<input type="checkbox"/>	Sépulture
<input type="checkbox"/>	Grotte
<input type="checkbox"/>	Abri
<input type="checkbox"/>	Mégalithe

<input type="checkbox"/>	Artisanat
<input type="checkbox"/>	Argile : atelier
<input type="checkbox"/>	Atelier
<input type="checkbox"/>	Artisanat
<input type="checkbox"/>	Autre

Nb	Mobilier
<input checked="" type="checkbox"/>	570 Industrie lithique
<input type="checkbox"/>	Industrie osseuse
<input checked="" type="checkbox"/>	113 Céramique
<input type="checkbox"/>	Restes végétaux
<input checked="" type="checkbox"/>	4 Faune
<input type="checkbox"/>	Flore
<input type="checkbox"/>	Objet métallique
<input type="checkbox"/>	Arme
<input type="checkbox"/>	Outil
<input type="checkbox"/>	Parure
<input type="checkbox"/>	Habillement
<input type="checkbox"/>	Trésor
<input type="checkbox"/>	Monnaie
<input type="checkbox"/>	Verre
<input type="checkbox"/>	Mosaïque
<input type="checkbox"/>	Peinture
<input type="checkbox"/>	Sculpture
<input type="checkbox"/>	Inscription
<input checked="" type="checkbox"/>	175 Ossements

<input checked="" type="checkbox"/>	Études annexes
<input checked="" type="checkbox"/>	Géologie
<input type="checkbox"/>	Datation
<input type="checkbox"/>	Anthropologie
<input type="checkbox"/>	Paléontologie
<input type="checkbox"/>	Zoologie
<input type="checkbox"/>	Botanique
<input type="checkbox"/>	Palynologie
<input type="checkbox"/>	Macrorestes
<input type="checkbox"/>	An. de céramique
<input type="checkbox"/>	An. de métaux
<input type="checkbox"/>	Acq. des données
<input type="checkbox"/>	Numismatique
<input type="checkbox"/>	Conservation
<input type="checkbox"/>	Restauration
<input type="checkbox"/>	Autre

TABLEAU RÉCAPITULATIF DES RÉSULTATS

Chronologie	Structures	Mobilier	Interprétation
Néolithique	Fosses : 2 Fossé : 1	Industrie lithique Céramique	Structures domestiques ?
Protohistoire / âge du Fer	Fossés : 2 Silo : 1	Céramique Faune Fer Restes végétaux Torchis	Activités agricoles Structure de stockage
Antiquité	Fosse : 1 Fossés : 2	Céramique Faune Fer TCA Verre	Abandon
Moyen-Âge	Fossés : 7 Voie : 1	Alliage cuivreux Fer Verre TCA	Voirie
Époque Moderne / Contemporaine	Fossés : 1 Trous de poteau : 3 Voie : 1	Alliage cuivreux Céramique Monnaies Verre TCA	Voirie Activités agricoles
Indéterminé	Fosses : 9 Fossés : 14 Trou de poteau : 1 Fosses ou chablis : 4	Alliage cuivreux Céramique Faune Fer Lithique Scorie Torchis Verre	

NOTICE SCIENTIFIQUE

Notice scientifique résumant les principaux résultats de l'opération :

Un diagnostic archéologique a été réalisé du 1er au 30 juin 2010 « ZAC de la Plaine des Linandes » à Cergy (Val d'Oise), à l'emplacement d'un futur équipement sportif de la Communauté d'Agglomération de Cergy-Pontoise. L'intervention a porté sur une superficie de 10,8 ha, traitée à 9,2 %.

Cette intervention s'est révélée fructueuse. Un petit groupe de structures en creux a pu être attribué au Néolithique récent. Les vestiges céramiques et lithiques associés à cette occupation ont fait l'objet d'une première expertise.

Plus tard, au second âge du Fer, le site semble avoir été fréquenté de façon très sporadique, compte tenu des rares vestiges mis au jour. Outre un silo, deux fossés pourraient renvoyer à cette période.

Quelques vestiges très érodés témoignent d'une occupation au Haut-Empire. Malgré les expertises réalisées sur les mobiliers métallique et céramique, aucune caractérisation fonctionnelle ne peut être proposée pour ce groupe de structures.

Enfin, Moyen-Âge et Époque moderne sont représentés par un axe de circulation correspondant au Vieux Chemin de Rouen. Déjà connu par le biais d'opérations antérieures, mais également grâce aux sources écrites, la bonne surprise de cette opération est l'état de conservation de la voie qui a conservé son pavage sur plusieurs mètres. La fouille en a permis une observation fine, engendrant différentes hypothèses de travail.

En conclusion, ce nouveau diagnostic a confirmé la richesse archéologique de cette zone fortement affectée, ces dernières années, par l'urbanisation. Il a complété les connaissances sur l'occupation du secteur au cours de la Préhistoire récente, de la Protohistoire, et de l'Antiquité. En outre, il a permis de renouveler les informations relatives à la voirie médiévale correspondant au Vieux Chemin de Rouen.

Ministère de la culture et de la communication

Préfecture de la région d'Ile-de-France

Direction régionale des affaires culturelles

Service régional de l'archéologie

Affaire suivie par : Jean-Marc GOUËDO

Tél. : 01 48 13 14 64

Fax : 01 48 13 01 70

Mél : jean-marc.gouedo@culture.fr

BF/IMG/2010-1161/2010 n° 1853

Votre dossier réf.: Courrier en date du 22/03/2010

Arrêté n° : 2010-260

Le Préfet de la Région d'Ile-de-France, Préfet de Paris
Officier de la Légion d'Honneur, Commandeur dans l'ordre national du Mérite

VU le code du patrimoine, livre V :

VU le décret n° 2004-490 du 3 juin 2004 relatif aux procédures administratives et financières en matière d'archéologie préventive :

VU le dossier adressé en date du 22/03/2010, référence Courrier en date du 22/03/2010, concernant des terrains situés à 95027 Cergy-Pontoise, ZAC de la Plaine des Linandes, par COMMUNAUTE D'AGGLOMERATION DE CERGY-PONTOISE ENERGIES OUEST permettant d'établir les emprises du projet et de calculer les superficies soumises à diagnostic ; reçu à la Direction régionale des affaires culturelles - service régional de l'archéologie le 25/03/2010 :

CONSIDERANT que, en raison de leur nature et de leur localisation, les travaux envisagés sont susceptibles d'affecter des éléments du patrimoine archéologique (abords du site gaulois et gallo-romain fouillé en 2008) ;

CONSIDERANT qu'il est nécessaire de mettre en évidence et de caractériser la nature, l'étendue et le degré de conservation des vestiges archéologiques éventuellement présents afin de déterminer le type de mesures dont ils doivent faire l'objet :

ARRETE

Article 1er : Un diagnostic archéologique sera réalisé sur le terrain faisant l'objet des aménagements, ouvrages ou travaux susvisés, sis en :

région : Ile-de-France

département : Val-D'Oise

commune : Cergy-Pontoise

adresse : ZAC de la Plaine des Linandes

cadastre : Section ZC - parc. 2 à 7 - 124- 125- 416 à 425 - 440-441

propriétaire : CACP, EPFVO, autres parcelles en cours d'acquisition par EPFVO

Le diagnostic archéologique comprend, outre une phase d'exploration du terrain, une phase d'étude qui s'achève par la remise du rapport sur les résultats obtenus.

Article 2 : Le diagnostic sera réalisé sous la maîtrise d'ouvrage de l'Institut National de Recherches Archéologiques Préventives ou du service archéologique de collectivité territorialement compétent, agréé au titre de l'article L. 522-8 du code du patrimoine (Conseil général du Val-d'Oise - Service départemental d'archéologie du Val-d'Oise). Les conditions de sa réalisation seront fixées contractuellement en application des articles 28 et 29 du décret n° 2004-490 susvisé. Le demandeur devra s'assurer que les terrains sont en état d'être diagnostiqués. Entre autre, il devra avoir préalablement réglé les questions d'accessibilité et de sécurité et obtenu les autorisations du ou des propriétaires et ayant-droits. Il sera exécuté conformément au projet d'opération élaboré par le maître d'ouvrage désigné pour réaliser le diagnostic archéologique sur la base des prescriptions suivantes :

Objectifs : mise en évidence de la présence ou de l'absence de vestiges archéologiques. Dans l'éventualité de présence de vestiges, l'opération devra caractériser lesdits vestiges : état de conservation, profondeur d'enfouissement, épaisseur des niveaux archéologiques, densité, attribution chronologique, surface concernée.

Principes méthodologiques : réalisation de tranchées d'évaluation ou de sondages ponctuels, adaptés à la morphologie et à la topographie du terrain, avec élargissements localisés autour des vestiges structurés. La surface ouverte en sondage doit être au minimum égale à 10 % de l'emprise du projet. Un quart des structures mises au jour doit être testé au minimum. Préalablement au démarrage sur le terrain de l'opération de diagnostic, le responsable scientifique désigné prendra contact avec l'agent du Service régional de l'archéologie chargé du suivi de cette opération, afin d'établir un premier bilan de la documentation existante sur l'environnement géologique, historique et archéologique.

Qualification du responsable scientifique : archéologue généraliste habitué à sonder de vastes superficies

Article 3 : Le diagnostic portera sur une emprise de 150000 m² conformément au plan joint (voir plan donnés par la CACP).

Article 4 : Le service régional de l'archéologie adressera l'inventaire, transmis par l'Institut National de Recherches Archéologiques Préventives ou le service archéologique de collectivité territorialement compétent, agréé au titre de l'article L. 522-8 du code du patrimoine, des vestiges archéologiques mobiliers recueillis au cours de l'opération de diagnostic à la personne physique ou morale propriétaire du terrain à la date de début de l'intervention archéologique et l'informeront de ses droits.

Le mobilier archéologique ne pourra cependant donner effectivement lieu au partage, prévu par l'article L. 531-11 du code du patrimoine susvisé, qu'au terme de son étude scientifique et après remise du rapport d'opération au service régional de l'archéologie, laquelle remise intervient après l'achèvement de la phase terrain du diagnostic.

La propriété du mobilier archéologique est fixée, après les délais légaux d'étude et de revendication, par l'article L. 523-14 du code du patrimoine.

Article 5 : La Directrice régionale des affaires culturelles est chargée de l'exécution du présent arrêté, qui sera notifié à COMMUNAUTE D'AGGLOMERATION DE CERGY-PONTOISE ENERGIES OUEST et au(x) maître(s) d'ouvrage nommé(s) à l'article 2 du présent arrêté.

Saint-Denis, le 16 avril 2010



Le Préfet de région d'Ile-de-France, Préfet de Paris
et par délégation
La Directrice régionale des affaires culturelles

Bruno Foucray

Conservateur régional de l'archéologie d'Ile-de-France

Original : INRAP Direction Centre/Ile-de-France - 31, rue Delizy - 93698 Pantin cedex

Service archéologique de collectivité agréé (Conseil général du Val-d'Oise - Service départemental d'archéologie du Val-d'Oise - Abbaye de Maubusson - 95310 Saint-Ouen-l'Aumône)

Copies : COMMUNAUTE D'AGGLOMERATION DE CERGY-PONTOISE ENERGIES OUEST - à l'attention de Madame Hélène CHOUFF - Hôtel d'Agglomération Parvis de la Préfecture - B.P. 80309 - 95027 Cergy-Pontoise Cedex

Ministère de la culture et de la communication

Préfecture de la région d'Ile-de-France

Direction régionale des affaires culturelles
Service régional de l'archéologie

Affaire suivie par : Jean-Marc GOUEDO
Tél. : 01 48 13 14 64
Fax : 01 48 13 01 70
Mél : jean-marc.gouedo@culture.fr
BF/JMG/ [2010-1161] 2010 n° 2342
Votre dossier réf.: Courrier en date du 22/03/2010

Arrêté n°:2010-324

Le Préfet de la Région d'Ile-de-France, Préfet de Paris
Officier de la Légion d'Honneur, Commandeur dans l'ordre national du Mérite

VU le code du patrimoine, livre V ;

VU le décret n° 2004-490 du 3 juin 2004 relatif aux procédures administratives et financières en matière d'archéologie préventive, notamment son article 13 ;

Vu l'arrêté n° 2010-260 en date du 16/04/2010 portant prescription de diagnostic archéologique sur le terrain situé : ZAC de la Plaine des Linandes 2e secteur de diagnostic archéologique à Cergy-Pontoise ;

CONSIDERANT que, en raison de leur nature et de leur localisation, les travaux envisagés sont susceptibles d'affecter des éléments du patrimoine archéologique et qu'une opération de diagnostic doit être mise en place ;



ARRETE

Article 1 : L'opération sera réalisée sous la maîtrise d'ouvrage du Conseil général du Val-d'Oise - Service départemental d'archéologie du Val-d'Oise. Les conditions de sa réalisation sont fixées par convention.

Article 2 : Monsieur Jean-Gabriel PARIAT est désigné(e) comme responsable scientifique du diagnostic.

Article 3 : La Directrice régionale des affaires culturelles est chargée de l'exécution du présent arrêté, qui sera notifié au Conseil général du Val-d'Oise - Service départemental d'archéologie du Val-d'Oise.

Saint-Denis, le 20/05/2010

Pour le Préfet de région d'Ile-de-France, Préfet de Paris
et par délégation
La Directrice régionale des affaires culturelles



Bruno Foucray

Conservateur régional de l'archéologie d'Ile-de-France

Originaux : Intéressé(e) et opérateur
Copies : Préfecture de département
Gendarmerie
Mairie de Cergy-Pontoise

DRAC d'Ile-de-France/SRA - 6, rue de Strasbourg - 93 200 Saint-Denis

Introduction

Le Service départemental d'archéologie du Val d'Oise (SDAVO) a effectué un diagnostic archéologique entre le 1^{er} et le 30 juin 2010 sur des parcelles appartenant à la communauté d'agglomération de Cergy-Pontoise, au lieu-dit « ZAC des Linandes » à Cergy (95), préalablement à la construction d'un centre technique de hockey sur glace. L'emprise des terrains à diagnostiquer, de 20 ha, se trouve immédiatement à l'est du stade Salif Keita, en place et lieu duquel la fouille d'un enclos gaulois se déroula à l'automne 2008¹.

Afin de ne pas confondre cette opération avec les précédentes, nous l'avons appelée « ZAC des Linandes » 2^e tranche, phase 1 à la demande du Service Régional de l'Archéologie. Nous n'avons réalisé que la première phase de cette seconde tranche, et le diagnostic de la deuxième phase a débuté le 1^{er} septembre 2010. Ce dernier fera l'objet d'un rapport spécifique.

L'opération de terrain a mobilisé à plein temps trois archéologues du SDAVO : Jean-Gabriel Pariat (responsable d'opération), Xavier Bernardeau (contractuel), Julien Laheye (contractuel). Face à la diversité des découvertes, cette équipe de base s'est ponctuellement renforcée d'étudiants et de bénévoles : Christian Kappès (bénévole), Jean-Pierre Labbé (bénévole), Julien Spahn (étudiant à l'Université de Cergy-Pontoise).

Les travaux de laboratoire ont été menés en collaboration avec plusieurs chercheurs de diverses institutions : Florence Dussère (SDAVO, restauration), Jean-Bernard Guillaume (bénévole, numismatique), Séverine Hurard (INRAP, UMR 7041, céramique médiévale), Caroline Laporte-Cassagne (SDAVO, céramique protohistorique), Aurélien Lefeuvre (SDAVO, métallurgie), Véronique Pissot (INRAP, UMR 7041, céramique antique), Caroline Renard (doctorante Université de Paris 1, industrie lithique), Opale Robin (CRAVO, archéozoologie) et Laure Salanova (CNRS, UMR 7055, céramique néolithique).

¹ Pariat dir. 2009.

I- Contexte géographique et géologique

La ville de Cergy se situe à 30 km au nord-ouest de Paris, en rive droite de l'Oise (fig. 1). Les parcelles soumises au diagnostic, qui investissent un plateau, sont délimitées à l'ouest par le stade Salif Keita, au nord par la route départementale 14, au sud par le boulevard de la Paix et à l'est par un chemin agricole.

Les parcelles culminent à 91 m NGF, la cote la plus faible relevée étant de 82 m dans la partie nord-est de l'emprise. Globalement, le site s'inscrit sur une ligne de crête arrondie qui descend sensiblement d'ouest en est de Puisieux – Pontoise (100 m NGF) vers Cergy (60 m NGF). Cette croupe est marquée dès son sommet par des amorces de thalwegs, sous forme de douces combes qui plongent en se creusant vers les vallées proches de la Viosne au nord (fond de vallée à 30 m NGF) et de l'Oise au sud (fond du méandre à 22 m NGF, fig. 2).

Deux logs ont été réalisés au fond des thalwegs de manière à observer les séquences géologiques en présence. Le « LOG 1 » pratiqué dans la tranchée 7 occupe le fond d'un vallon, approximativement dans la partie centrale de l'emprise à 87 m NGF (fig. 3). Ce sondage réalisé sur 4,30 m de large atteint 2,74 m de profondeur. La couche supérieure, dont l'épaisseur oscille entre 35 et 40 cm, correspond à la terre végétale. Elle recouvre un limon sableux gris clair de 20 à 40 cm d'épaisseur, qui surmonte lui-même un limon argilo-sableux brun-gris foncé au sein duquel des vestiges épars apparaissent (*tegula*, *os*) sur 30 à 50 cm d'épaisseur. La couche inférieure, de 40 à 70 cm d'épaisseur, se caractérise par un limon argileux plastique brun-orangé. Enfin, une ultime couche de 70 à 90 cm d'épaisseur est un lœss gris clair.

Le « LOG 2 », également situé au fond du vallon, a été réalisé dans la tranchée 16 à l'est, à 84 m NGF (fig. 4). Ce sondage atteint 3 m de profondeur. La couche supérieure de 40 à 50 cm d'épaisseur correspond à la terre végétale. Elle recouvre un limon brun-orangé, caractéristique des limons de plateau du secteur, et mesure entre 60 et 90 cm d'épaisseur. La couche 3, de

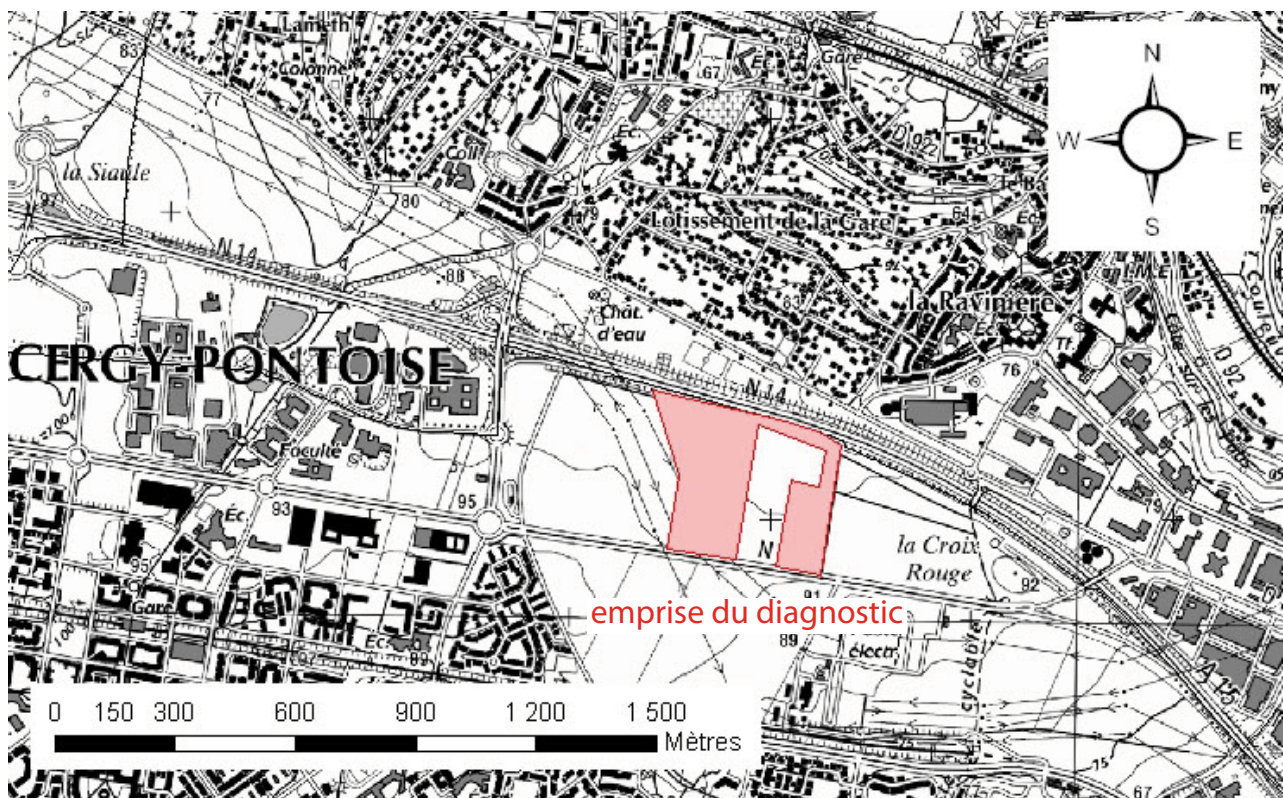
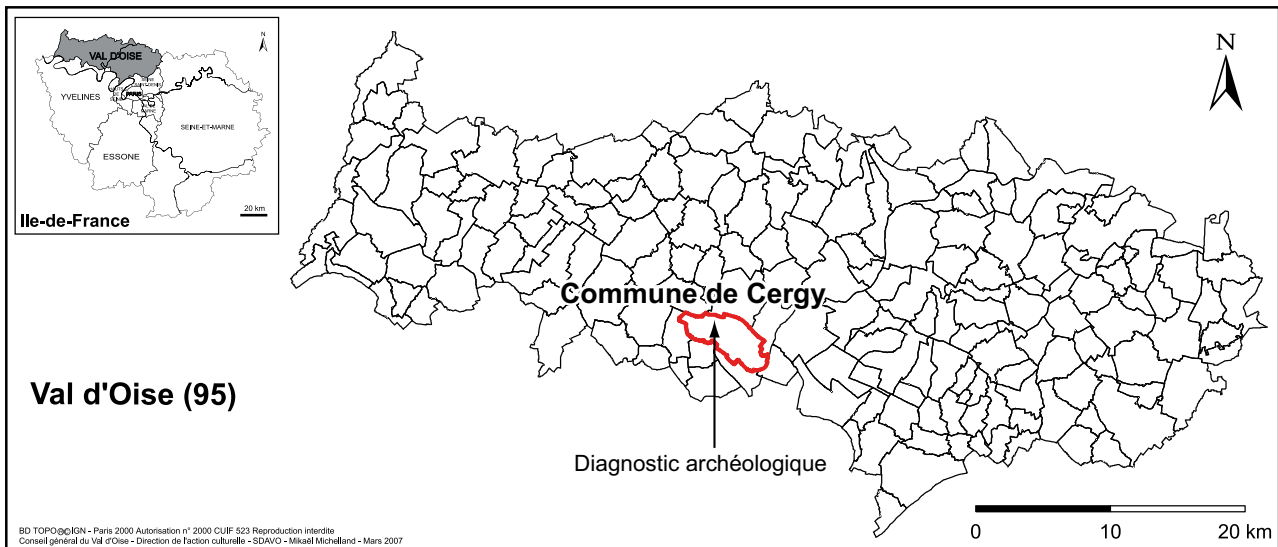


Fig. 1 : Plan de localisation du site.

1,20 à 1,40 m d'épaisseur, est limono-lössique jaune-beige homogène. À la base de cet horizon, des traces de craquelure de gel et de calcaire tertiaire ont été repérées, entre 2,20 et 2,40 m de profondeur. Un lit de silex marque le passage à la couche sous-jacente qui correspond à un calcaire marneux tendre.

En somme, les logs pratiqués au fond du vallon témoignent d'un apport massif de colluvions, sans doute amenés après érosion du sommet du plateau.

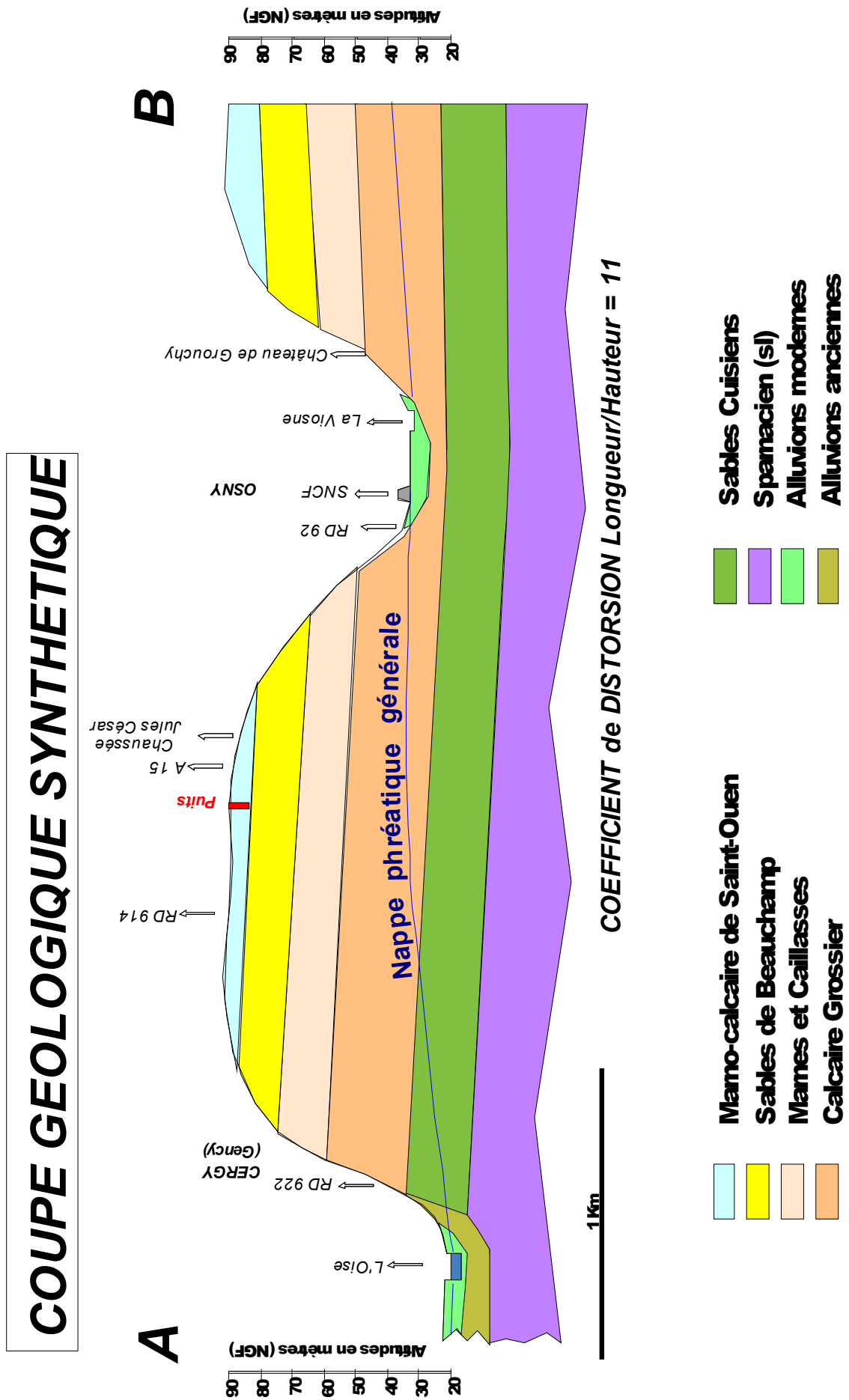


Fig. 2 : Coupe géologique synthétique de la zone.

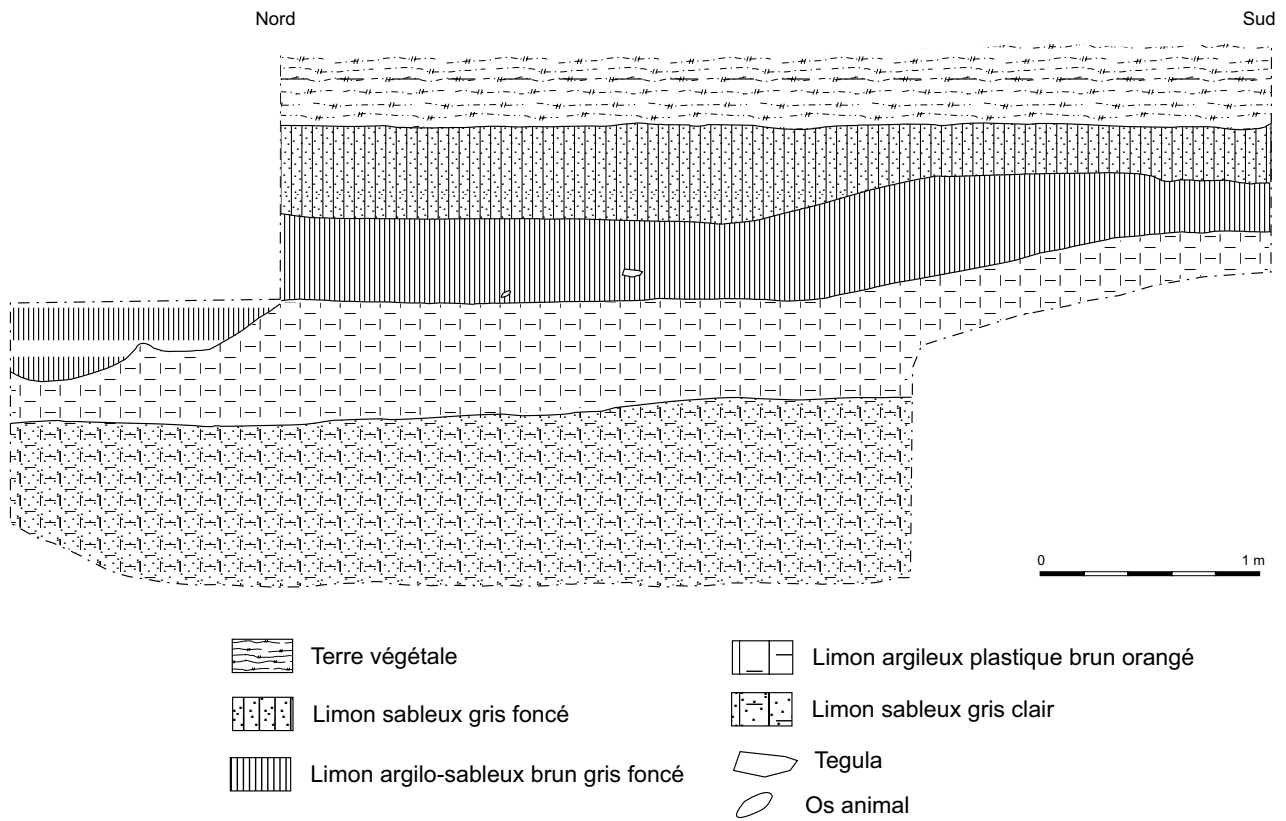
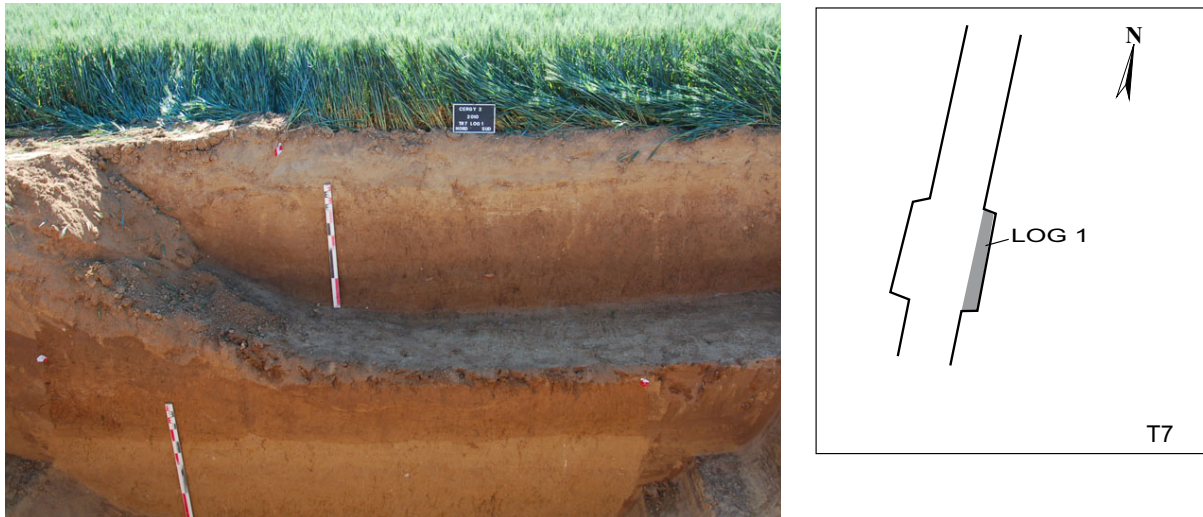


Fig. 3 : Localisation et coupe du LOG 1.

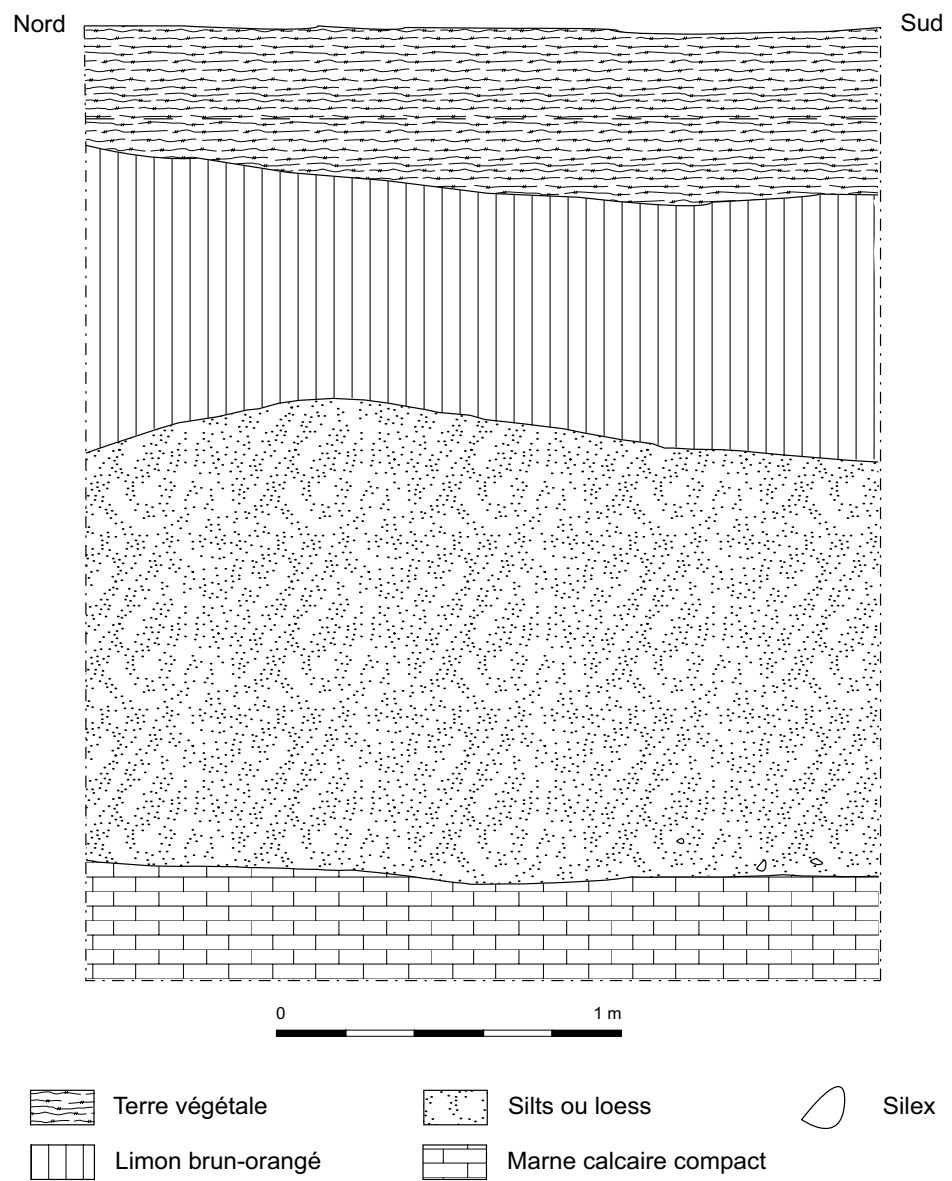
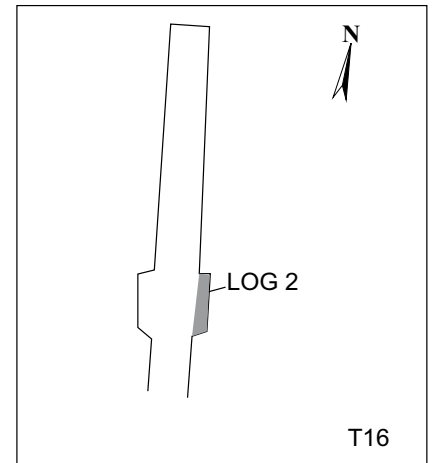


Fig. 4 : Localisation et coupe du LOG 2.

II- Contexte historique et archéologique

Dans la présente section, un bilan des connaissances est dressé dans un rayon de 1 km autour du site (fig. 5). En dehors d'un possible menhir, quelques rares vestiges issus du diagnostic et de la fouille réalisés aux Linandes, à l'ouest des parcelles ici étudiées, renvoient à l'époque néolithique². Exceptés divers vestiges lithiques retrouvés hors contexte, trois fosses ont été datées à l'aide d'échantillons de charbons soumis à des analyses radiocarbones et ont pu être rattachées au Néolithique moyen.

La Protohistoire est représentée exclusivement par des vestiges du Second Âge du Fer. En 2006, un diagnostic archéologique réalisé au Parc d'Activités de l'Horloge a livré quelques tessons protohistoriques roulés hors de tout contexte archéologique³. Plus récemment, en 2007 et 2008, les opérations des Linandes ont révélé un double enclos gaulois associé à des structures renvoyant aux sphères domestique et funéraire. L'étude de cet ouvrage conclut à la présence d'une petite élite rurale gauloise sur ces terres vers la fin du second siècle avant notre ère⁴.

Pour l'Antiquité, les vestiges connus renvoient à des découvertes anciennes (XIX^e siècle) au lieu-dit « Le Parquet » où des poteries gallo-romaines sont signalées. Près du cimetière actuel, au « Grand Plant », une nécropole recelait du mobilier attribué au Bas-Empire⁵. Au début des années 1980, les travaux de l'autoroute A15 au lieu-dit « l'Épine Martin » ont livré des vestiges d'un bâtiment des II^e et III^e siècles ap. J.-C. En 2008, lors de la fouille des Linandes, un établissement rural du I^{er} siècle ap. J.-C., caractérisé par un enclos à caractère agricole, a été mis au jour⁶. Enfin, signalons la présence d'un axe de circulation structurant du territoire : la Chaussée Jules César déjà largement étudiée⁷.

2 Pariat 2007, Pariat dir. 2009.

3 Rosenberger 2006.

4 Pariat dir. 2009.

5 Collin, Toussaint 1992.

6 Pariat dir. 2009.

7 Robert dir. 2010.

L'époque médiévale est attestée au lieu-dit « Le Parquet » où du mobilier mérovingien est issu d'une nécropole⁸. En 2007, le diagnostic de la plaine des Linandes a révélé la présence d'une voie médiévale très érodée correspondant au « Vieux Chemin de Rouen ». Ce même axe fut également repéré en 2006, mais non identifié comme appartenant à cette voirie⁹.

À l'époque moderne, la route royale Paris-Rouen, actuel boulevard de la Paix, supprime ce vieux chemin. Enfin, deux sites caractérisent l'époque contemporaine. La Pyramide de Laneth est un monument élevé en 1828 par Charles de Laneth – (1757-1832), général, homme politique français et propriétaire du château d'Osny – à la mémoire de ses neveux et amis morts pour la patrie. Il fut inscrit au titre des monuments historiques le 27 janvier 1948¹⁰.

Ailleurs, un segment de tranchée de la Première Guerre Mondiale a été mis au jour lors du diagnostic réalisé par le SDAVO en 2007¹¹. Cet ouvrage n'a pas servi.

En somme, le secteur recèle de nombreux indices d'occupation dans les environs proches des parcelles à diagnostiquer. Pour les périodes les plus anciennes, les traces d'occupation demeurent ténues et les occupations « certaines » sont rares (Paléolithique, Néolithique). L'époque gauloise est renseignée par la proximité immédiate de deux sites avérés. Le Moyen-Âge est une époque bien mal documentée dans ce secteur et le statut du « Vieux Chemin de Rouen » reste à définir.

III- Stratégies et méthodes mises en œuvre

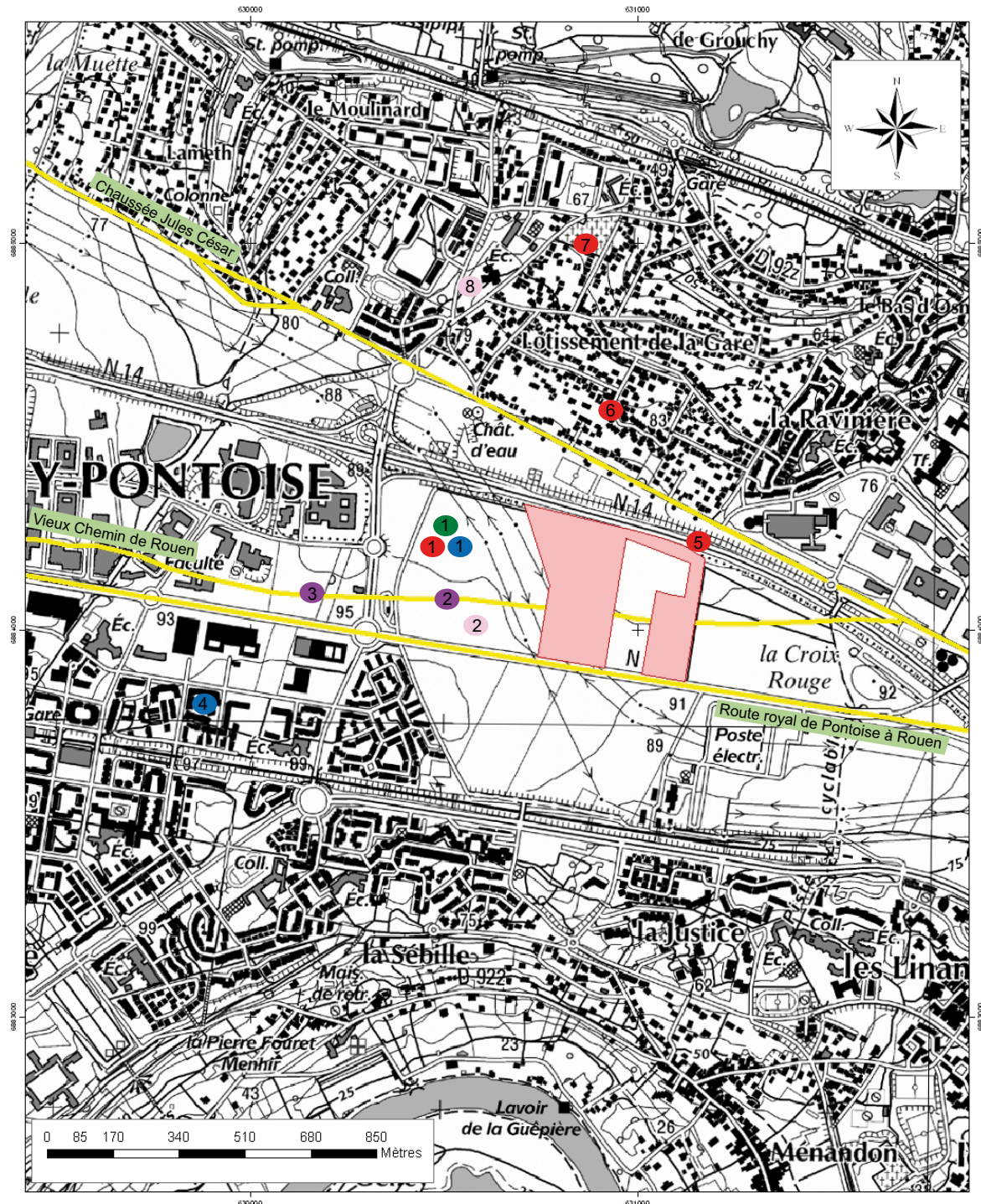
L'emprise totale des terrains délimite une surface de 15 ha. Il n'a pas été possible d'accéder à l'ensemble des terrains le 1^{er} juin 2010, date de démarrage du diagnostic convenu avec l'aménageur. Par conséquent, un phasage de l'opération a été mis en place. Ainsi, 108 752 m² ont été explorés entre le 1^{er} et le 30 juin 2010,

8 Collin, Toussaint 1998.

9 Rosenberger 2006.

10 Wabont *in* Pariat dir. 2009, p. 24.

11 Pariat 2007.



1 : ZAC des Linandes (fouille 2008), 2 : ZAC des Linandes (diagnostic 2007), 3 : Parc d'Activités de l'Horloge
 4 : Pierre du Pas-Saint-Christophe, 5 : Epine-Martin, 6 : Le Parquet, 7 : Le Grand-Plant, 8- Pyramide de Lameth

● Néolithique ● Âge du Fer ● Antiquité ● Moyen-Âge ● Contemporain

Fig. 5 : Sites identifiés dans un rayon de 1 km.

et 39 546 m² sont diagnostiqués depuis le 1^{er} septembre 2010 sous la direction de Aurélien Lefeuvre (fig. 1).

D'un point de vue opérationnel, l'emprise a été scindée en trois secteurs distincts, car les parcelles non accessibles sont situées au milieu de l'emprise soumise à prescription. Le secteur « A » comprend l'ensemble des terrains situés à l'ouest, le secteur « C » caractérisant la zone inaccessible et le secteur « B » regroupant les parcelles qui sont à l'est. Le décapage a été réalisé durant onze jours à l'aide d'une pelleteuse hydraulique de 20 T équipée de deux godets lisses de curage de 2 m et 3 m de large.

À l'issue du décapage, 10 110 m² représentant 9,2 % de la surface totale des 108 752 m² de la phase 1 ont été explorés.

Sur le plan stratégique, des tranchées périphériques ont été réalisées le long des limites d'emprise pour la secteur A, mais pas pour le secteur B, faute de temps. Cette méthode présente un double intérêt. Elle permet à la fois de circonscrire visuellement le terrain et de déterminer si des structures se prolongent ou non au-delà des limites d'emprise (fossés, murs etc.). L'intérieur du terrain a ensuite été exploré au moyen de tranchées parallèles espacées de 30 m les unes des autres, implantées selon un axe nord-est / sud-ouest, de manière à couper les thalwegs et la voie médiévale transversalement. De façon ponctuelle, des élargissements sous forme de fenêtre ont été pratiqués dans des tranchées afin de mieux appréhender la nature de certaines structures (V8, St 21).

La phase de décapage a consisté à enlever, sous le contrôle d'un archéologue, la terre arable à l'aide d'un engin mécanique. Les limons de plateau sont systématiquement apparus sous la terre végétale. Dans un second temps, les structures archéologiques ont été dégagées, et fouillées manuellement à 10 %, 50 % ou 100 % selon leur taille et leur intérêt.

La position géographique des structures a été enregistrée à l'aide d'un GPS de type Leica 1200 Orphéon par J.-G. Pariat et X. Bernardeau. Ponctuellement, certaines structures ont été

photographiées au moyen d'un appareil photo fixé sur une potence.

Enfin, un silo gaulois (F 36) a été l'objet d'un prélèvement de sédiment correspondant à l'intégralité d'une couche très carbonneuse repérée au fond du remplissage.

Les contraintes

L'emprise du diagnostic n'était pas piquetée par l'aménageur lors de la prise de possession du terrain le 1^{er} juin 2010. Cependant, et afin de ne pas retarder les travaux, il a été décidé de commencer le décapage. Par conséquent, les premières tranchées réalisées sont pour partie hors de l'emprise (T1, T2, T3 et T4), mais sur des terrains appartenant à la communauté d'agglomération de Cergy-Pontoise ; le décalage par rapport à la limite d'emprise étant d'environ 10 m.

Pour les mêmes raisons, une tranchée a été pratiquée par erreur dans le secteur C (T13). Les deux structures découvertes à cette occasion n'ont donc pas été traitées.

IV- Traitement et archivage des données

Le mobilier a été lavé et conditionné au SDAVO. Les prélèvements provenant de la structure F36 ont été tamisés à l'eau à l'aide de tamis équipés de mailles de 5 mm, 2 mm et 500 microns. Après séchage, les refus de tamis ont été séparés en deux lots : carpologie / anthracologie et malacologie / archéozoologie. Ces prélèvements ont été enregistrés au sein d'une base de données développée sous le logiciel Access (cf. annexe 4).

La documentation papier constituée sur le terrain a été informatisée. Les inventaires de structures et de mobilier ont été saisis dans une base de données, également développée sous Access (cf. annexes 1 et 2). L'inventaire des photos a été réalisé à l'aide du logiciel OpenOffice.Calc, celles-ci étant rangées dans des sous-dossiers par jour, une mention indiquant si la photo est publiable ou non (cf. annexe 3). Les minutes de fouille ont été vectorisées à l'aide du logiciel

Adobe Illustrator CS. Enfin, les nombreux clichés réalisés à l'aide de la potence ont été traités au moyen du logiciel Adobe Photomerge.

L'ensemble des vestiges est conservé au SDAVO.

V- Les occupations archéologiques

Le diagnostic effectué au printemps 2010 sur la Plaine des Linandes a révélé des indices d'occupation variés mais quantitativement peu nombreux, qui témoignent d'une fréquentation répétée du secteur au cours de la Préhistoire récente, de la Protohistoire et de l'Histoire (fig. 6).

V.1- Le Néolithique

Les vestiges mobiliers du Néolithique ont été découverts dans différentes situations : dans des structures néolithiques, en position secondaire dans des structures occupées au cours de la Protohistoire et de l'Histoire, enfin hors de tout contexte archéologique et isolés dans plusieurs tranchées (fig. 7).

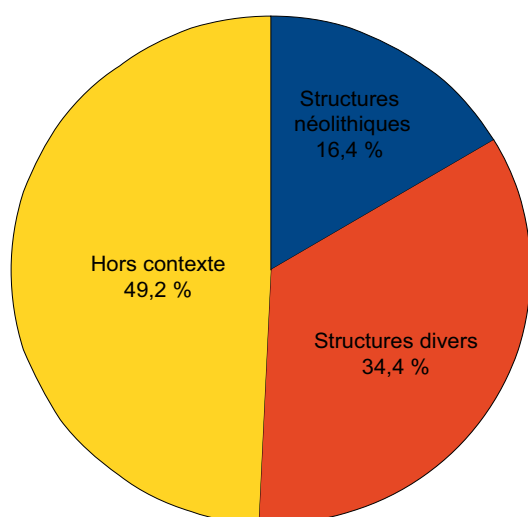


Fig. 7 : Diagramme des contextes d'apparition du mobilier néolithique.

Trois structures issues du secteur B ont pu être rattachées à l'époque néolithique. Toutes ont été mises au jour dans la même zone, au nord-est, en situation de fond de vallon (fig. 6).

La fosse F37 présente un contour ovale et mesure 2,47 m de long par 1,40 m de large pour une profondeur de 0,23 m (fig. 8). Apparue à 0,65 m sous le sol actuel, elle est creusée dans les limons de plateau et ses bords sont en pente douce. La partie nord de la fosse semble avoir été recreusée. Le comblement est pourtant homogène, caractérisé par un limon brun-gris peu compact avec de nombreuses inclusions de charbon. Outre un éclat façonné à partir d'un silex secondaire, cette fosse a livré vingt tessons appartenant à une unique forme (fig. 9). La couleur orangé de la paroi externe combinée à l'absence de dégraissant coquillé ou à l'os permettraient, sous réserve, un rattachement au Néolithique final¹².

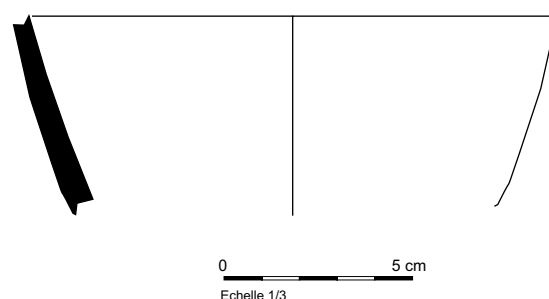


Fig. 9 : Profil du vase issu de la fosse F37 (Dessin : X. Bernardeau).

Le segment de fossé Fo51 se trouve à 3,50 m au nord-est de la fosse F37. D'orientation est-ouest, ce tronçon de fossé n'a pas pu être suivi sur l'ensemble de son tracé, ce dernier se poursuivant au-delà de la coupe vers l'ouest (fig. 10). Il s'interrompt par contre à l'est. Apparue à 0,70 m sous la terre végétale, cette structure est creusée dans le limon. Elle a été intégralement sondée à la main sur près de 3,50 m de long. La profondeur maximale n'excède guère 0,30 m et la largeur est de 0,90 m. Le profil du creusement est en forme de cuvette, et le comblement correspond à un limon argilo-sableux brun-gris compact et hétérogène, comportant de nombreuses inclusions de charbon. Cette structure vraisemblablement contemporaine de la fosse F37 recelait un fragment de meule en grès et sept éclats de silex, dont une troncature à bord abattu.

La fosse F52 se trouve à 0,30 m au sud du fossé Fo51. De forme ovale, elle mesure 1,50 m de long pour 0,70 m de large avec une profondeur 12 Détermination L. Salanova (CNRS, UMR 7055).

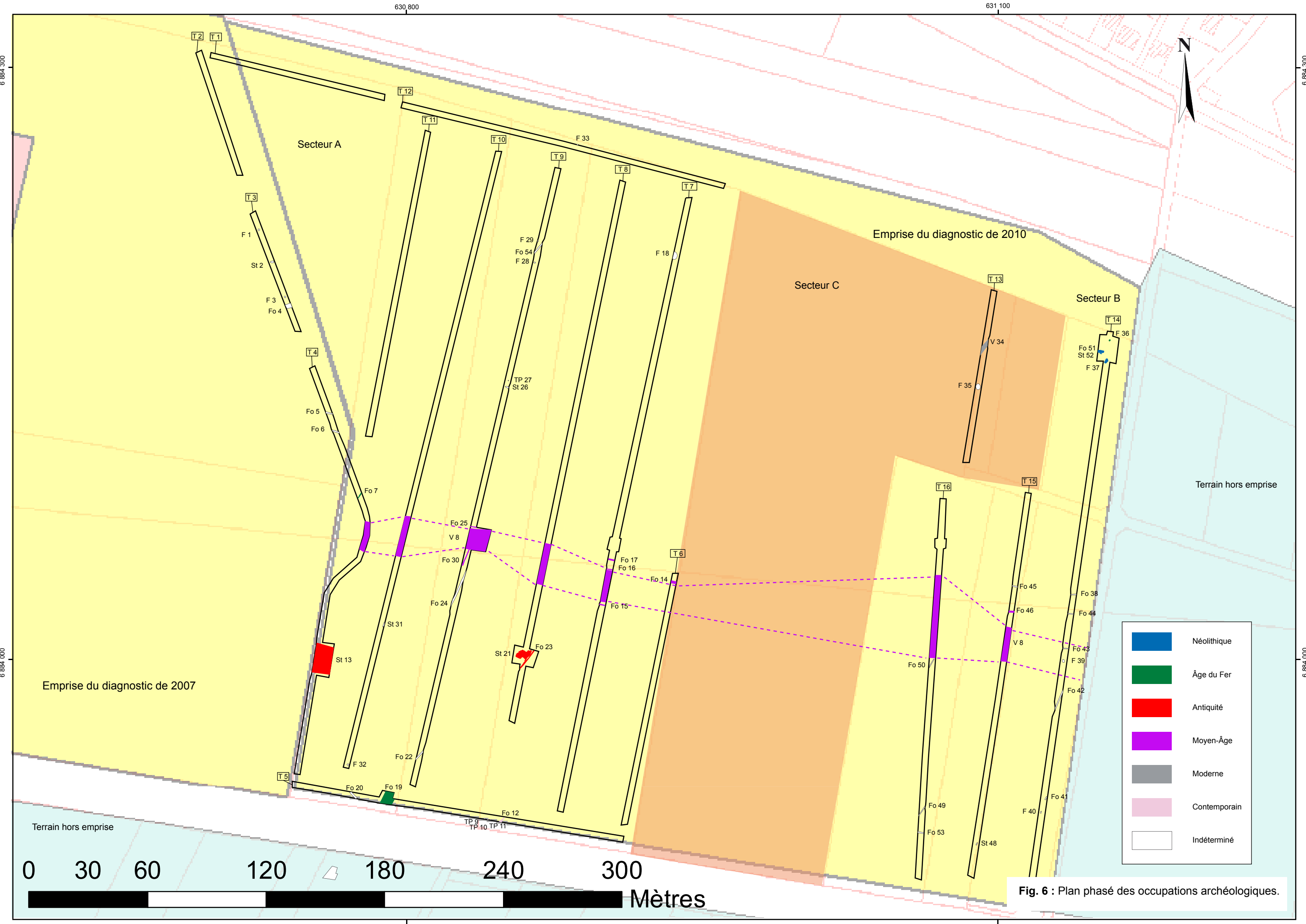


Fig. 6 : Plan phasé des occupations archéologiques.

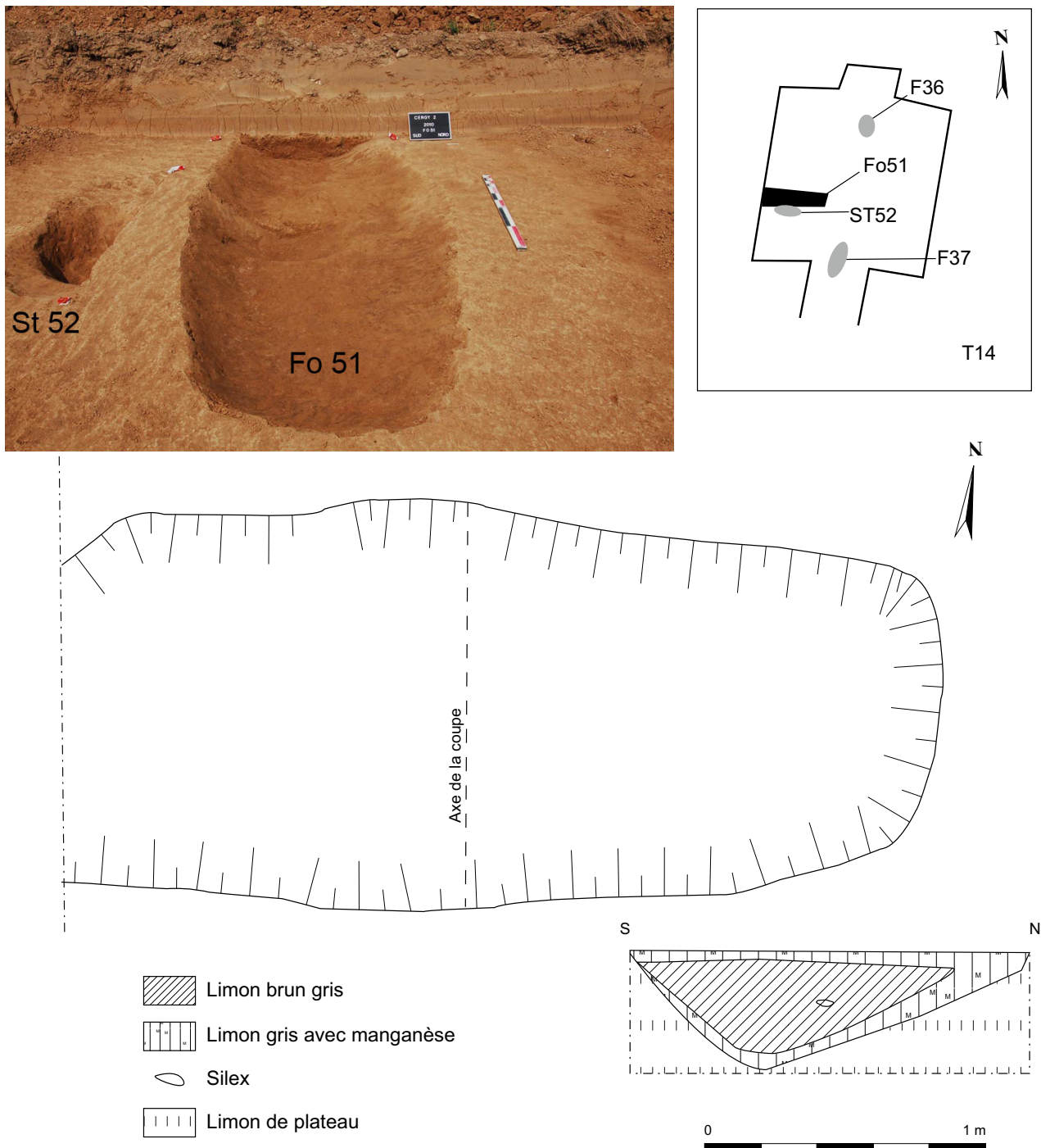


Fig. 10 : Plan et coupe du tronçon de fossé Fo51.

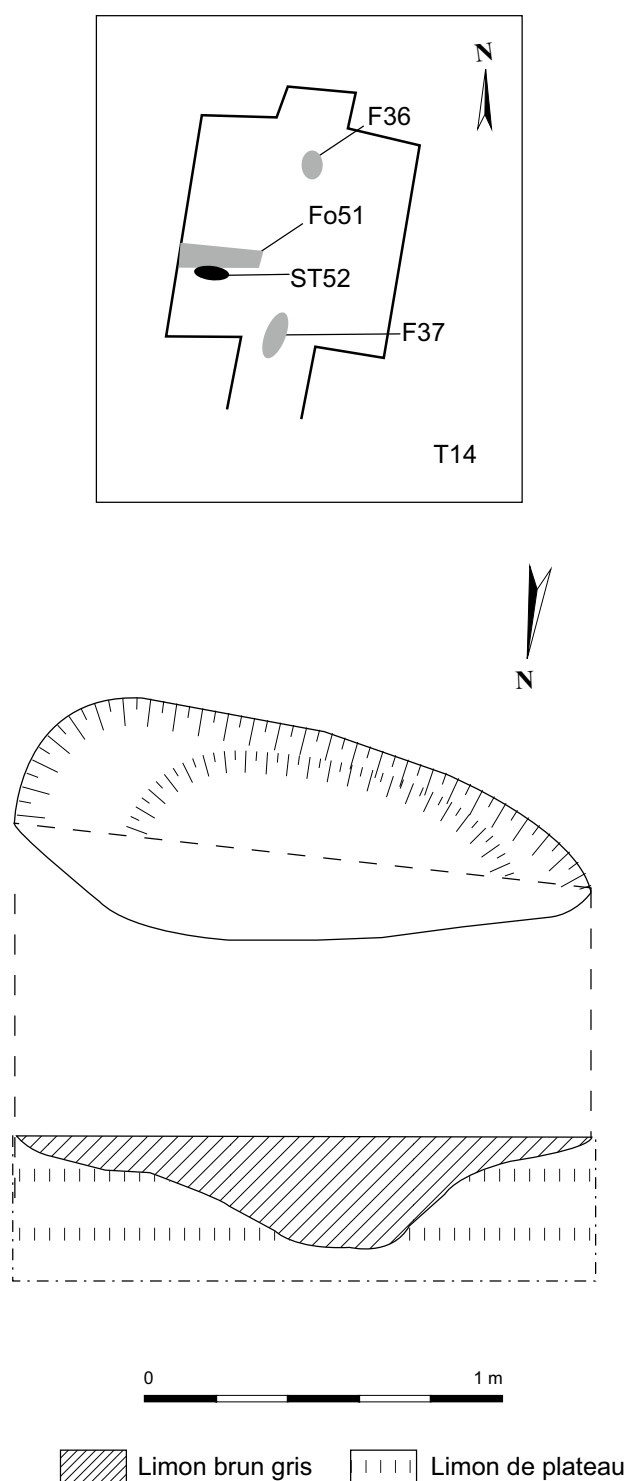


Fig. 11 : Plan et coupe de la fosse F52.

maximale de 0,30 m (fig. 11). Apparue à 0,70 m sous la végétale, cette fosse est creusée dans le limon. Son profil est en cuvette, et son comblement se caractérise par un sédiment gris à inclusions blanchâtres. Elle n'a livré aucun mobilier. Cette structure a été rattachée au Néolithique du fait de sa proximité par rapport au fossé Fo51.

Un second ensemble, très hétérogène, formé de six structures¹³ rattachées à différentes périodes de la Préhistoire récente, de la Protohistoire et de l'Histoire a livré vingt-et-un artefacts en silex retrouvés en position secondaire. Cette série est dominée par les éclats.

Enfin, trente pièces provenant essentiellement du secteur A ont été recueillies dans des tranchées, hors de tout contexte archéologique.

Les soixante-et-une pièces lithiques découvertes dans ces différents contextes ont fait l'objet d'une expertise¹⁴. La matière première exploitée correspond essentiellement à un silex secondaire créacé à zone grenue de type Sénonien ou Campanien. Un seul objet est façonné à partir d'un silex tertiaire. Dans l'ensemble, et quelle que soit la matière première, les sources d'approvisionnement potentielles sont proches et peuvent être considérées comme locales¹⁵. D'un point de vue typologique, la série est dominée par les éclats de petite taille, ce qui impliquerait un débitage à partir de nucléus de petit module. La technique de frappe utilisée est la percussion directe, et l'outillage se scinde en diverses catégories : grattoirs, coches, pics, nucléus, haches polies (fig. 12). La seule pièce laminaire recensée a clairement été utilisée. Sur la base de cet ensemble, il est bien difficile de proposer une datation fine. Toutefois l'attribution au Néolithique final proposée à partir de la céramique n'est pas en contradiction avec les types d'objet en présence.

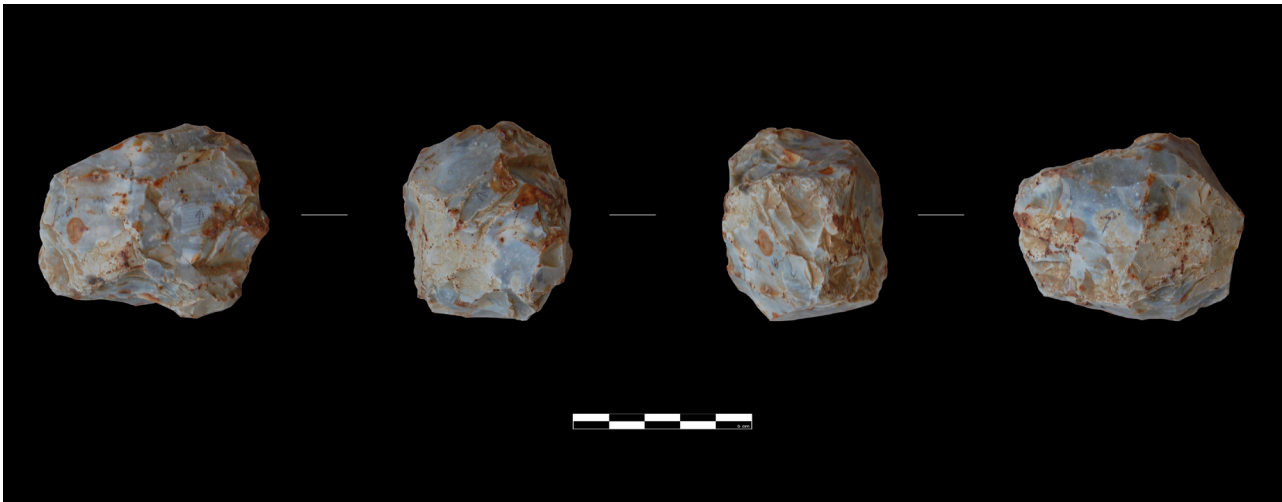
La découverte de ces vestiges néolithiques vient enrichir la connaissance des occupations humaines anciennes de ce secteur du département, ce d'autant plus que le Néolithique final est une période particulièrement mal connue à l'échelle du Bassin parisien, à l'exception des sépultures collectives. En Val d'Oise, la situation n'a guère évolué depuis la fin des années 1970 où les découvertes se rapportent essentiellement à des objets trouvés en prospection pedestre¹⁶. Un projet collectif de recherche récemment mené

13 Structures V8, St13, F18, St21, F29 et F36.

14 Détermination C. Renard (Doctorante Université Paris 1, UMR 7041).

15 Allard 2005.

16 Lardy 1976.



a



b



c



d

Fig. 12 : Exemples d'outils lithiques découverts aux Linande : a- Fragment de hache polie, b- lame, c- nucléus, d- pic.

sur « *Le III^e millénaire av. J.-C. dans le Centre Nord de la France* » a dressé un bilan des sites connus pour le Val d'Oise¹⁷. À Épiais-Rhus « *Le Bois des Menues Terres* », deux fosses sondées en 1983 ont livré divers vestiges parmi lesquels des armatures perçantes à pédoncule et ailerons, un fragment de poignard, des scies à encoches ainsi que de nombreux fragments de gobelets campaniformes¹⁸. À Saint-Clair-sur-Epte « *Le Petit Carreau* », treize structures fouillées à la fin des années 1990 (huit trous de poteau et cinq fosses) ont livré pour trois d'entre elles du mobilier homogène attribuable au Campaniforme / Bronze ancien¹⁹.

V.2- L'âge du Fer

Trois structures réparties sur une large surface ont été attribuées à l'âge du Fer (fig. 6). Deux d'entre elles (Fo7 et 19) sont des tronçons de fossé retrouvés dans le secteur A. La troisième est une fosse (F36) issue du secteur B.

V.2.1- Le tronçon de fossé Fo7

Ce segment de fossé, d'orientation nord-est / sud-ouest, a été repéré dans la moitié nord de la tranchée 4 (fig. 6). D'une largeur de 0,60 m pour une profondeur de 0,20 m, il présente un profil en U à fond arrondi (fig. 13). Les parois sont en pente douce jusqu'au fond. Le sédiment encaissant est limoneux, et le comblement du fossé se démarque nettement, puisqu'il s'agit d'un limon sableux jaune clair homogène.

L'ensemble du tronçon de fossé mis au jour a été curé sur une longueur de 3 m. Seuls deux vestiges ont été découverts. Le premier est un clou en fer peu caractéristique (cf. annexe 6). Le second est une mandibule de jeune cheval²⁰ retrouvée vers le sommet de la paroi sud du fossé. Cet os présente un mauvais état de surface, sans doute du fait d'un environnement sédimentaire très acide. Le gabarit général de l'os est compatible avec la taille des espèces connues pour la Protohistoire. En somme, les arguments relatifs à la chronologie de cette structure sont maigres. Les deux

17 Salanova dir. 2003.

18 Tarrête 1985.

19 Léon, Adrian 1999.

20 Détermination O. Robin (CRAVO).

vestiges découverts sont peu caractéristiques. Nous proposons un rattachement aux âges des métaux sur la base de la nature du sédiment de remplissage du fossé, qui présente des similitudes avec celui des fossés constituant l'enclos fouillé en 2008²¹.

V.2.2- Le fossé Fo19

La portion de fossé Fo19 a été identifiée dans la moitié ouest de la tranchée 5 (fig. 6). Ce fossé, orienté selon un axe nord-est / sud-ouest, se poursuit au-delà de la limite d'emprise vers le sud (fig. 14). Il est creusé jusqu'au lœss. Sa largeur atteint 1,50 m pour une profondeur de 0,60 m. Il présente un profil en « U » évasé vers le sommet. Le fond est arrondi.

Un sondage mécanique a permis d'appréhender la nature du comblement caractérisant cette structure : il s'agit d'un limon sableux gris clair à inclusions de charbons. Le mobilier, indigent, se rapporte à deux fragments à pâte micacée, mi-fine, sableuse et vraisemblablement protohistorique²².

V.2.3- La fosse F36

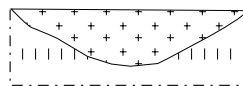
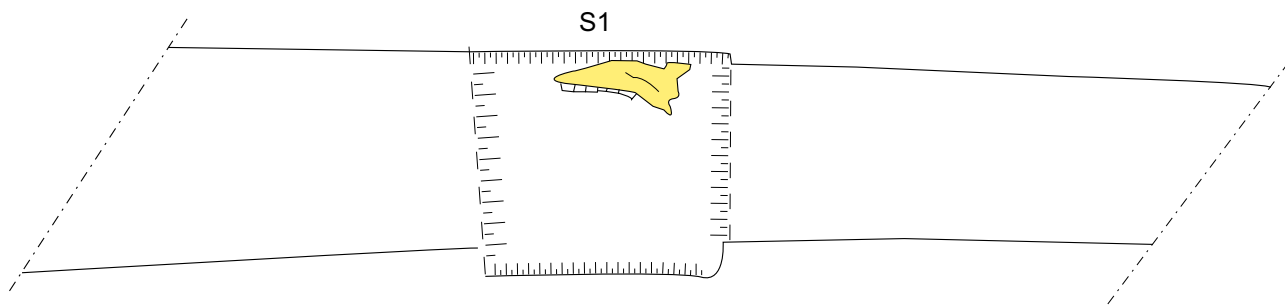
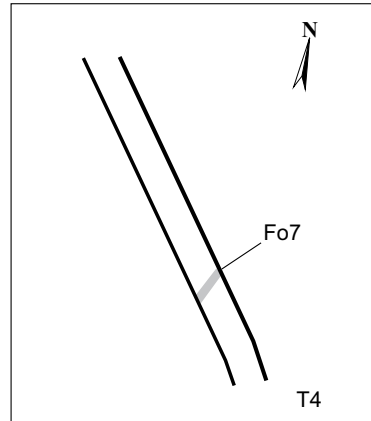
La structure F36 est une fosse de type silo. Elle a été découverte au niveau de l'extrémité nord de la tranchée 14, dans le secteur B (fig. 6). La fosse mesure 1,16 m de diamètre à l'ouverture pour 1,30 m de diamètre à la base, la profondeur totale étant de 1,20 m (fig. 15). La capacité totale de charge de cette fosse a été estimée à 1,42 m³ soit 1,065 T de céréales.

Cette fosse a entièrement été fouillée à la main. En plan, elle est apparue à près de 1 m sous la terre végétale. Elle présente un contour circulaire et se démarque du limon de plateau par un sédiment gris organique (fig. 16). En coupe, la fosse est creusée dans les limons de plateau, puis dans les lœss. Son profil est en forme de poire avec un fond légèrement arrondi.

La stratigraphie du comblement est complexe. Cinq couches ont pu être distinguées (fig. 15). La partie supérieure, entre 0 et 20 cm sous la surface du décapage, correspond à une couche

21 Pariat dir. 2009.

22 Détermination C. Laporte-Cassagne (SDAVO).



Limon sableux



Limon de plateau

Fig. 13 : Plan et coupe du tronçon de fossé Fo7.

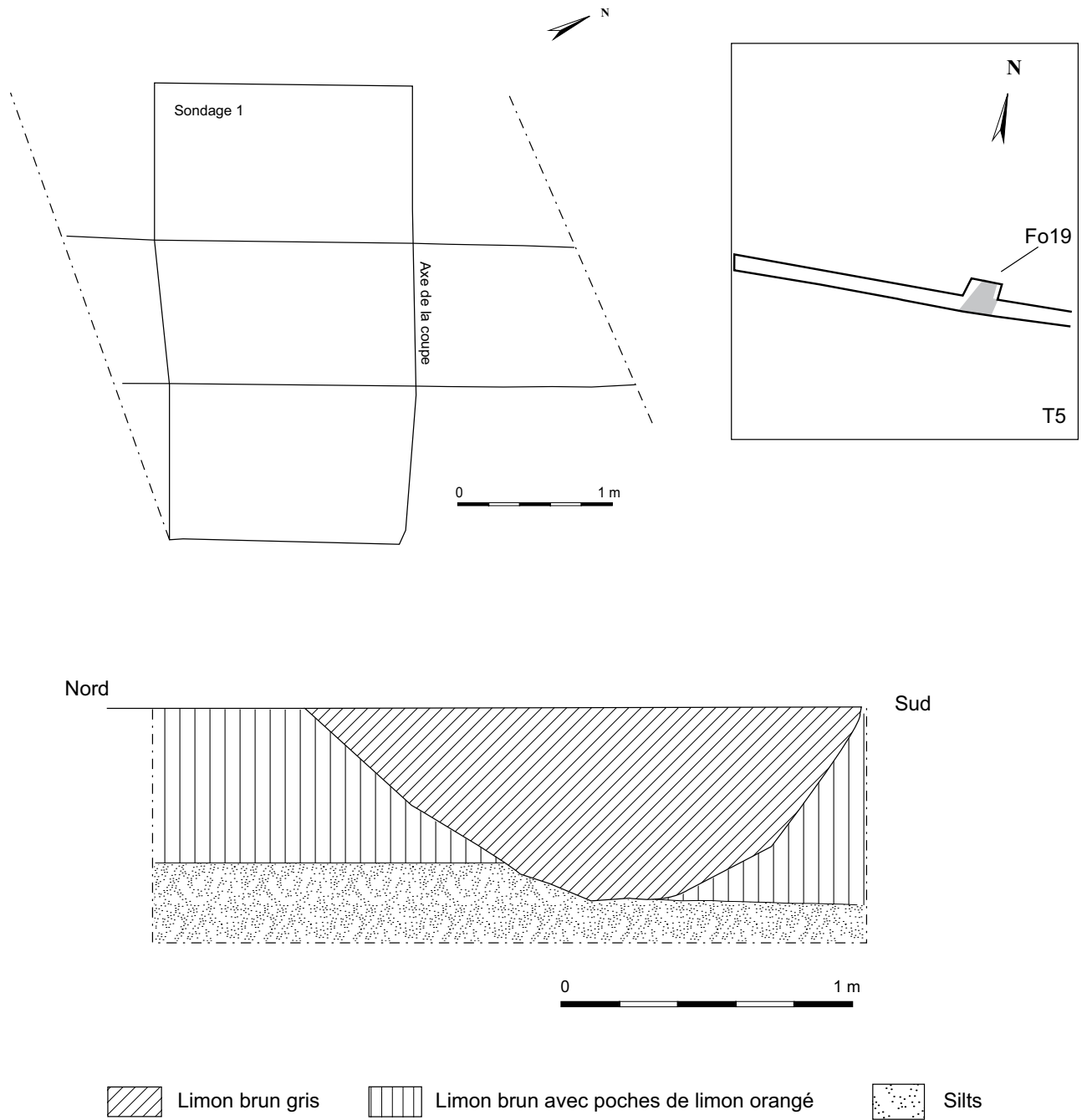
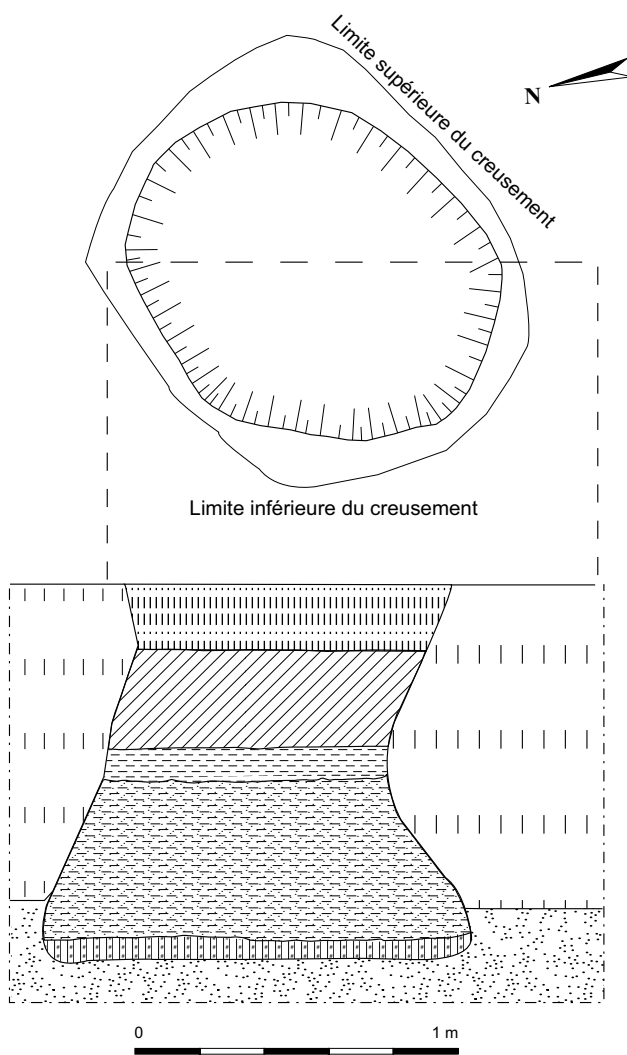


Fig. 14 : Plan et coupe du tronçon de fossé Fo19.



- | | | | |
|--|---|---|--|
|  Limon gris |  Argile |  Limon charbonneux |  Limon de plateau |
|  Limon gris avec terre rubéfiée |  Argile et loess |  Loess | |

Fig. 15 : Plan et coupe de la fosse F36.

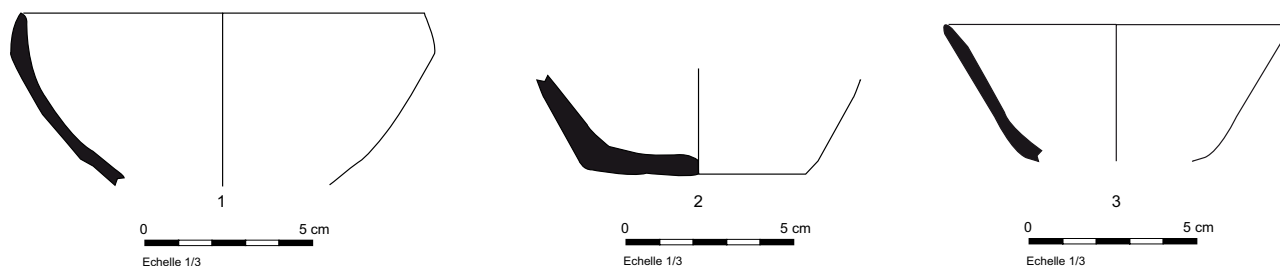


Fig. 18 : Silo F36 : 1. Moitié est, profondeur -50 / -60 cm, 2. Moitié est, profondeur -50 / -60 cm, 3. Moitié est (Dessin : X. Bernardeau).

limoneuse gris foncé au sein de laquelle le mobilier est rare. La couche sous-jacente (-20 / -50 cm) est toujours limoneuse grise. Cependant, elle renferme des nodules de terre rubéfiée et le mobilier y est plus abondant. Entre 50 et 80 cm, on observe une couche d'argile verte homogène et collante. À cet horizon succède un étage constitué d'un mélange d'argile et de lœss, meuble, bleu gris-vert (-80 cm / -1 m). Enfin, la couche qui recouvre le fond est limoneuse, très organique. Le charbon y abonde sur une épaisseur de 20 cm. Dans cette couche, les vestiges sont assez nombreux.



Fig. 16 : Vue oblique de la fosse F36 avant fouille.

Le mobilier découvert dans le remplissage du silo F36 est assez varié. Sur les soixante premiers centimètres, une dizaine d'éclats laminaires, totalisant un poids de 43 g, a été recensée. La matière première employée lors du débitage correspond à un silex secondaire²³. Ces artefacts

²³ Détermination C. Renard (Doctorante Université de Paris 1, UMR 7041).

sont en position secondaire et pourraient provenir de structures plus anciennes implantées dans les environs, et détruites par le creusement de cette fosse. Ce scénario se trouve conforté par la proximité des structures néolithiques décrites précédemment (*cf.* V.1).

Par ailleurs, 77 tessons de céramique d'un poids total de 515 g ont été prélevés. Ils appartiennent à une dizaine de formes différentes au minimum. Globalement très rares dans la partie supérieure du remplissage, les tessons sont présents en plus grande quantité à mi-hauteur et vers le fond (fig. 17).

En première analyse, ces vestiges appartiennent aux formes traditionnellement en vigueur au second âge du Fer, telles les pots, les écuelles etc.²⁴. La cuisson, réductrice, est assez bien maîtrisée et la céramique est soignée (fig. 18). Les pâtes présentent de fines inclusions de paillettes de mica argentées et les surfaces comportent parfois des traces de végétaux (fig. 19).

L'ensemble ainsi constitué forme un assemblage homogène, plutôt caractéristique de La Tène. Certaines productions lustrées renvoient plus particulièrement à la fin de La Tène moyenne.

Au registre du mobilier osseux, les restes n'ont pas fait l'objet d'un décompte fin car la série est issue non seulement d'une fouille manuelle mais également d'un tamisage à l'eau de l'ensemble des couches 4 et 5. La présence de très nombreux macrorestes parmi les refus de tamis a donc fait l'objet d'un tri et d'un traitement par pesée. Ainsi, l'ensemble des restes osseux pèse 223,5 g. Ils sont fréquents dans le remplissage du silo et leur densité est nettement plus forte vers le fond (fig. 17).

²⁴ Détermination C. Laporte-Cassagne (SDAVO).

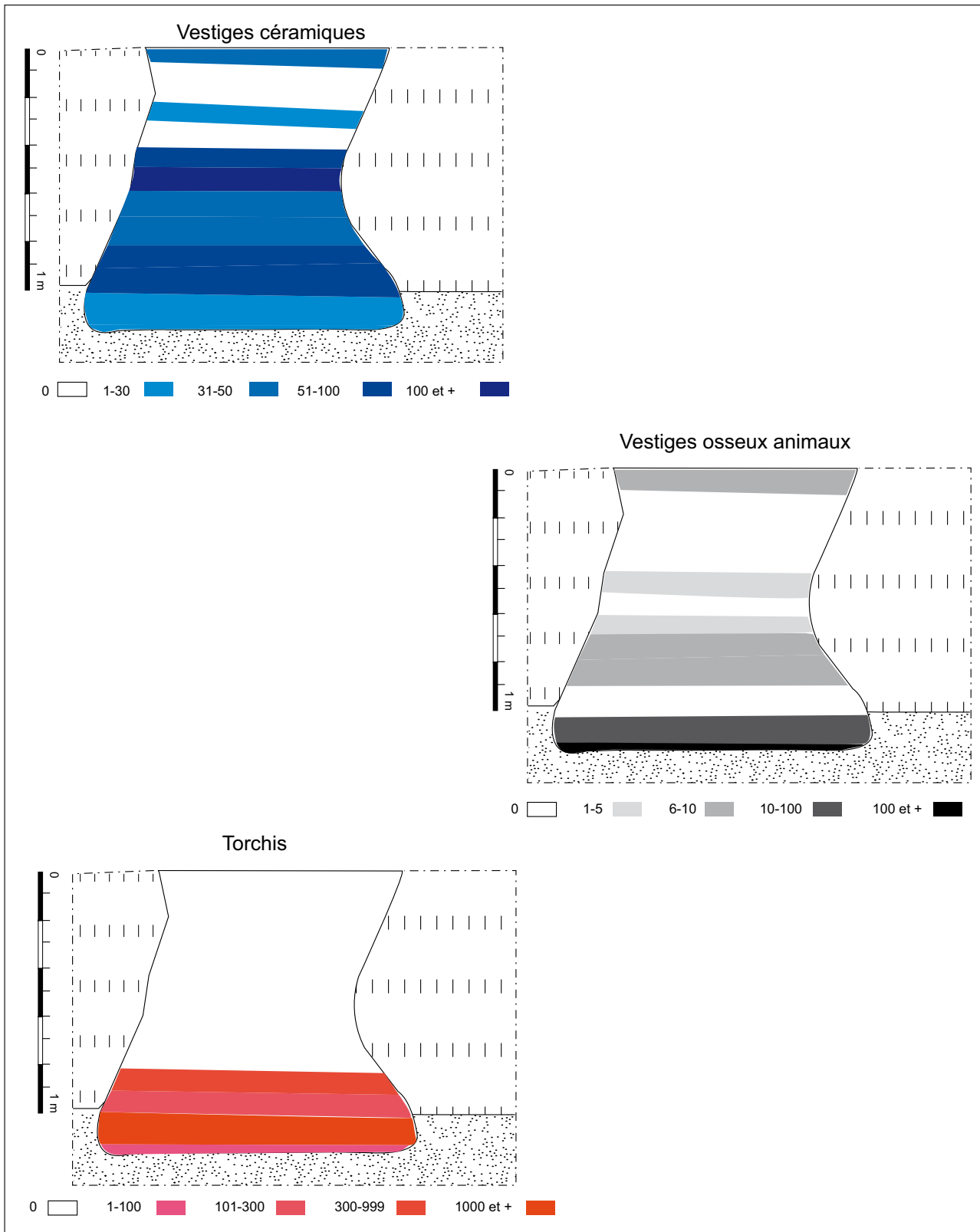


Fig. 17 : Répartition verticale des vestiges en grammes.



Fig. 19 : Fosse F36, exemples de pâtes (Clichés : X. Bernardeau).

Le spectre faunique se caractérise par des espèces classiquement présentes au second âge du Fer : porcs, caprinés, bovidés, canidés²⁵. Les ossements en présence offrent un meilleur état de fraîcheur vers le fond du remplissage. La série est dominée par des os denses qui se conservent bien. Certains d'entre eux comportent des traces de morsure ou de grignotage laissées par des charognards (fig. 20). Ces indices confèrent à cet assemblage une nature détritique. Il pourrait s'agir d'un rejet indirect, consécutif par exemple au nettoyage d'un niveau de sol.



Fig. 20 : Traces de morsures ou de grignotage laissées par les charognards (Cliché : J.-G. Pariat).

²⁵ Détermination O. Robin (CRAVO).

Enfin, parmi les macrorestes, un squelette complet d'un rongeur de type campagnol a été isolé (fig. 21). Signalons également la présence d'écailles et d'arêtes de cyprinidés²⁶.



Fig. 21 : Écailles et vertèbre de poisson (Cliché : J.-G. Pariat).

Plusieurs blocs de torchis ont également été recensés. Leur poids total est de 2237 g et ils se répartissent exclusivement vers le fond du silo, entre 80 cm et 1,30 m de profondeur (fig. 17).

Pour terminer, quelques graines ont été isolées parmi les refus de tamis et sont actuellement en cours d'étude.

²⁶ Détermination B. Clavel (CNRS).

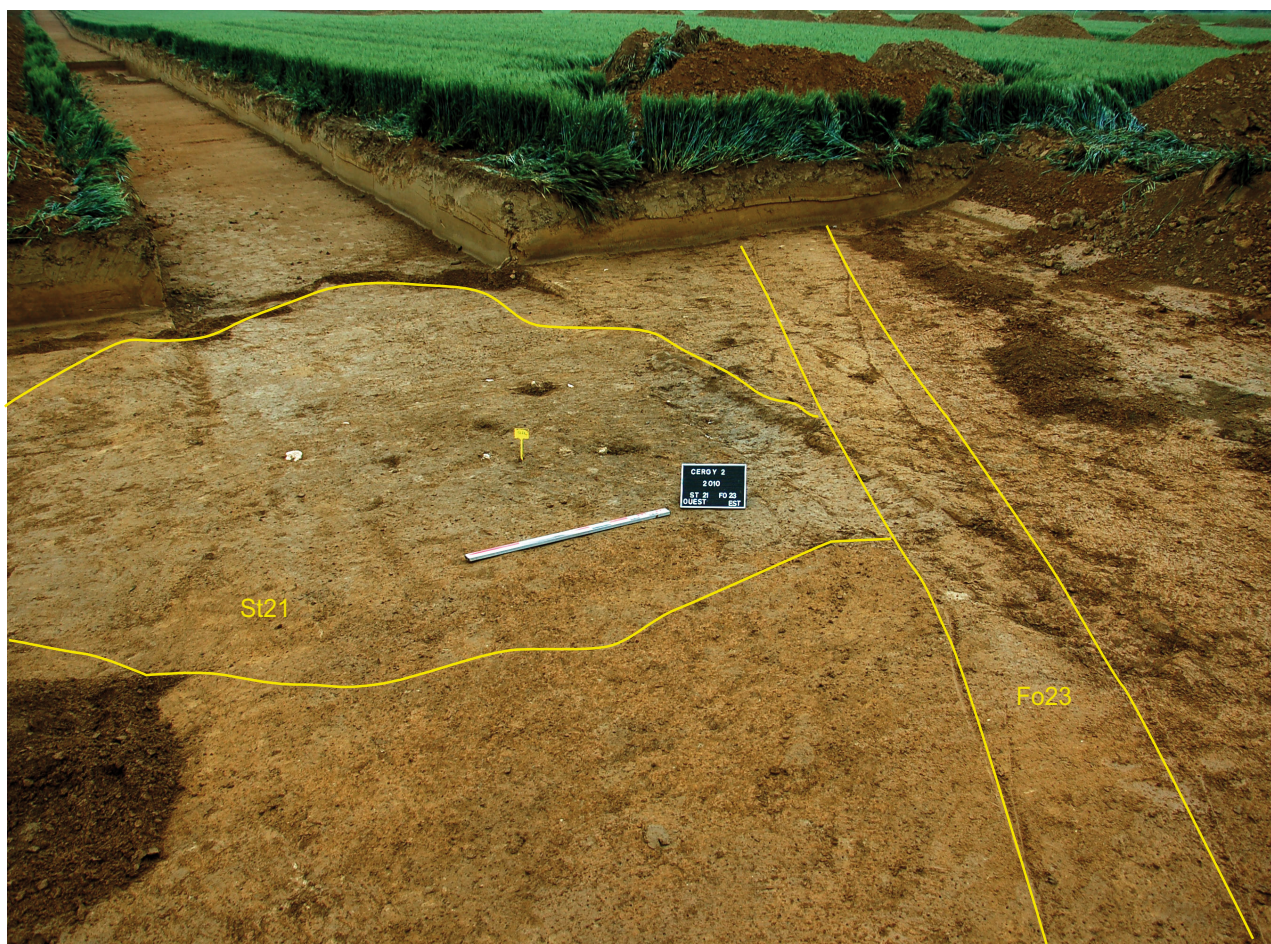


Fig. 22 : Vue générale des structures 21 et 23 (Cliché : J. Laheye).

L'ensemble de ces résultats permet de proposer une hypothèse de restitution du fonctionnement de ce silo. Durant une première phase, la structure est creusée et pourrait avoir détruit des vestiges plus anciens (néolithiques ?). Dans un second temps, elle semble bien avoir été dévolue au stockage des denrées. Puis, la fosse est sans doute ouverte, vidée et reconvertie en fosse détritique.

V.2.4- Conclusion

Les trois structures abritant des vestiges protohistoriques sont très dispersées sur la surface du diagnostic. Seule l'une d'elles (F36) a pu être datée avec une certaine finesse de la fin de La Tène moyenne.

Autrement dit, ces vestiges sont très disparates par rapport à la forte densité de témoins d'occupation mis au jour en 2008 lors de la fouille des parcelles adjacentes vers l'ouest²⁷. Par contre, sur la base du silo F36, les vestiges de ce diagnostic semblent témoigner d'une occupation

27 Pariat dir. 2009.

sporadique du secteur dès La Tène moyenne, hypothèse de travail qui reste à confirmer à l'aune de futures opérations archéologiques.

V.3- L'Antiquité

Plusieurs vestiges issus de deux structures renvoient à l'Antiquité. Dans un cas, ils sont en contexte dans une structure antique, et dans l'autre, ils sont apparus en position secondaire. Enfin, une troisième structure peut être rattachée à l'Antiquité, bien qu'elle n'ait guère livré de mobilier.

Deux structures antiques proviennent de la tranchée 8 pratiquée dans le secteur A, dans le tiers sud-est de l'emprise (fig. 6). La structure St21, apparue à 0,60 m sous le sol actuel, présente des contours peu lisibles (fig. 22). Elle revêt la forme d'une fosse grossièrement ovale de 5,10 m de long par 3,75 m de large (fig. 23). Cette structure a fait l'objet d'un sondage manuel débordant, de façon à observer le profil du comblement (fig 24). La fosse est conservée sur

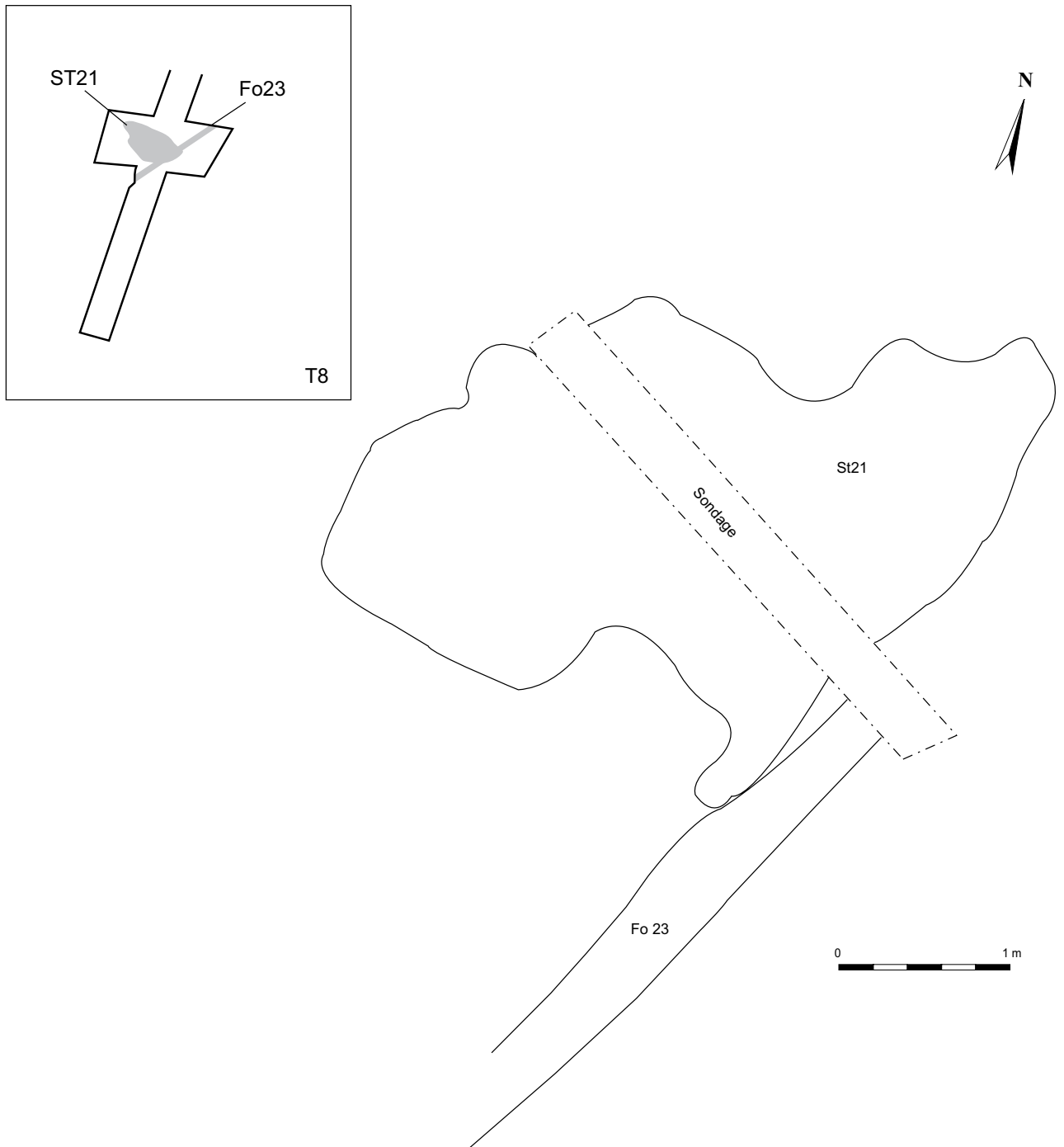


Fig. 23 : Plan des structures 21 et 23.

une épaisseur de 30 cm. En coupe, le creusement réalisé dans les limons est asymétrique. Au sud-est, la paroi est sub-verticale tandis qu'au nord-ouest, elle est en pente douce. Le fond est irrégulier. Le comblement se caractérise par un limon argileux brun compact incluant quelques nodules calcaires.

À l'exception de vestiges très récents provenant de l'interface entre le fond de la couverture végétale et le sommet du remplissage de la structure, de nombreux éléments de mobilier proviennent de la zone sondée manuellement. Ils sont apparus mélangés les uns aux autres, sans organisation claire.

Quatre-vingt huit tessons de céramique totalisant un poids de 709,5 g proviennent de cette structure. Ils correspondent, entre autre, à une Drag 36, une Drag 37, une coupe en Sigillée du centre (type Lezoux 43), un couvercle, une amphore à huile de Bétique (Espagne du Sud), et une cruche régionale²⁸ (fig. 25). La plupart de ces formes céramiques rappellent des styles couramment attestés sur des sites véliocasses. Cet ensemble, homogène et qui évoque la sphère domestique, peut-être rattaché à la première moitié du II^e siècle ap. J.-C.

Outre ces pièces, vingt-quatre fragments de tuile ou de *tegula* proviennent du comblement. Leur rattachement à l'Antiquité ne pose pas de problème.

Un fragment de pied en verre bleuté de 3 g complète cet ensemble (fig. 26).

Enfin, des éléments métalliques ont été découverts. Ils se répartissent en quatre clous dont un clou de chaussure, une clef à tige coudée (fig. 27), et une bague à intaille (cf. annexe 6). Ce dernier objet est singulier. L'intaille en cornaline est sertie sur une bague en fer. Le personnage représenté sur la gemme serait *Bonus Eventus* (cf. annexe 6). Ce type d'objet de parure circule au II^e siècle ap. J.-C. Courant en contexte funéraire ou cultuel, il est bien plus rare en milieu rural, qui plus est dans des structures comme celle de Cergy. Après un rapide tour d'horizon documentaire, cet objet semble ne pas avoir son pareil en Val d'Oise. Un élargissement aux départements limitrophes des Yvelines et de l'Eure n'est guère plus concluant²⁹.

28 Détermination V. Pissot (INRAP, UMR 7041).

29 Cliquet 1993, Barat *et al.* 2007.

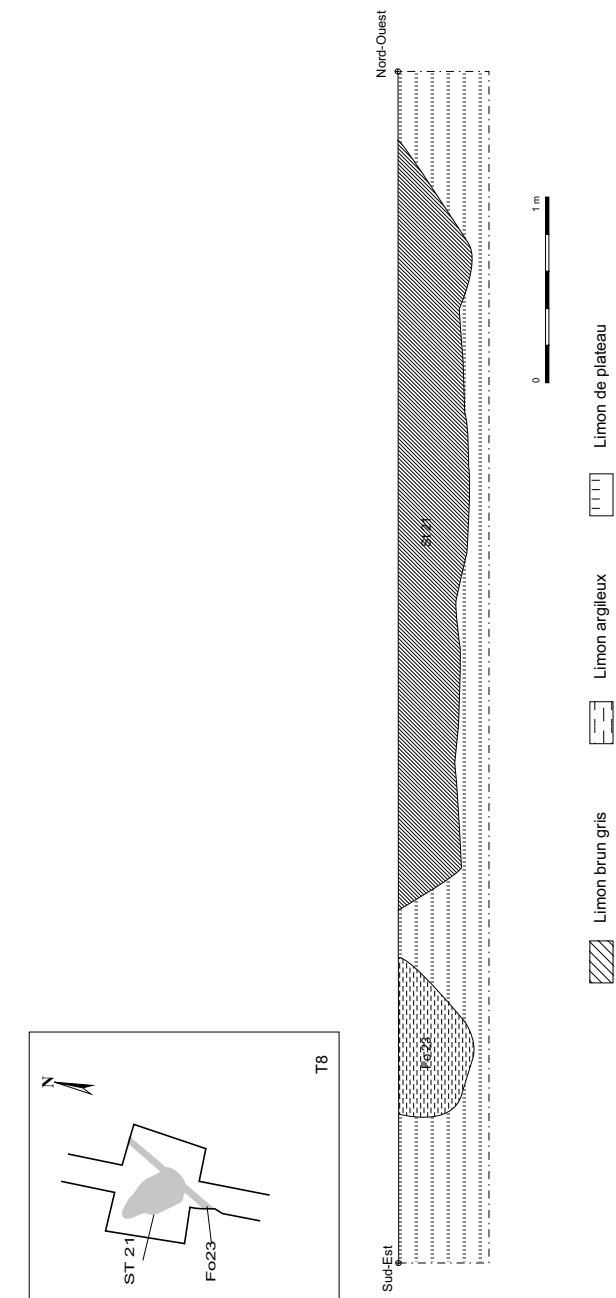


Fig. 24 : Coupe des structures 21 et 23.

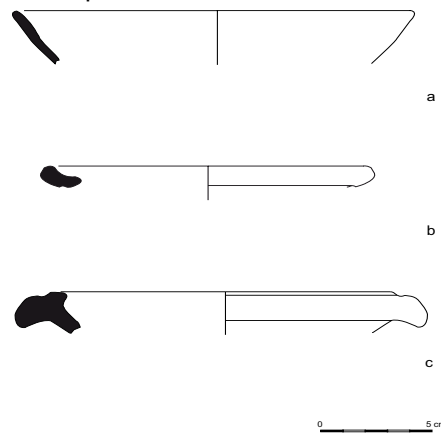


Fig. 25 : Exemples de formes céramiques issues de la structure 21 : a- fragment de DRAG 37, b- fragment de DRAG 27, c- fragment d'amphore (Dessin : X. Bernardeau).

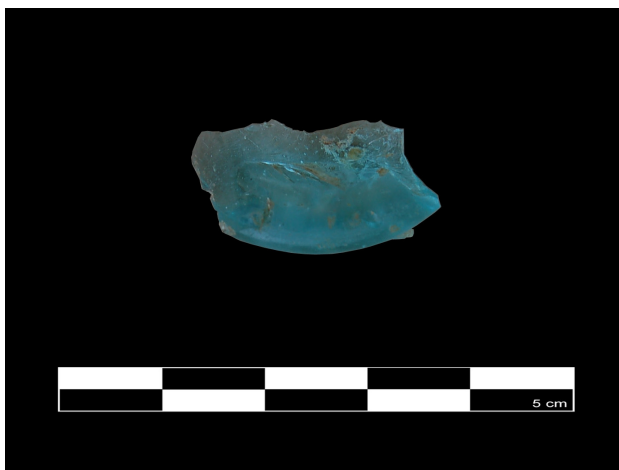


Fig. 26 : Fragment de pied en verre issu de la structure 21 (Cliché : X. Bernardeau).



Fig. 27 : Clef à tige coudée issue de la structure 21 (Cliché : X. Bernardeau).

En somme, la structure St21 recèle un assemblage mobilier très homogène au niveau chronologique, qui permet un rattachement à la première moitié du II^e siècle ap. J.-C. Par contre, la série est bien plus hétérogène du point de vue qualitatif, des vestiges du domaine architectural cotoyant des restes issus du domaine de la parure ou bien encore de la sphère domestique. Au final, cette structure pose des problèmes d'interprétation. Il s'agit d'une fosse très érodée dont la fonction est énigmatique. Peut-être correspond-elle à un fond

de bâtiment, ou plus simplement à une fosse de rejet ?

Le tronçon de fossé Fo23 se trouve à 0,50 m au sud-est de la structure St21 dans la tranchée 8 du secteur A. Il n'abrite aucun mobilier mais sa position relative par rapport à la structure St21 conduit à proposer un rattachement à l'Antiquité.

Ce fossé, d'orientation nord-est / sud-ouest, a été repéré sur une longueur de 10,50 m pour une largeur de 0,30 m (fig. 23). D'une profondeur de 0,30 m, il présente un profil en « U » avec des parois symétriques (fig. 24). Creusé dans le limon, ce fossé est comblé d'un limon argileux jaunâtre homogène. D'un point de vue fonctionnel, il pourrait s'agir d'un fossé d'enclos de drainage circonscrivant l'aire correspondant à l'emprise de la structure St21, ou d'un fossé parcellaire.

Enfin, plusieurs vestiges céramiques proviennent de la structure St13 issue de la tranchée 4 du secteur A. Les tessons retrouvés dans le comblement semblent provenir d'un apport par colluvionnement depuis le plateau.

Qu'ils soient apparus en surface ou à 1,70 m de profondeur, les tessons découverts renvoient à trois formes distinctes de céramique commune sombre typique des II^e et III^e siècle ap. J.-C.

En résumé, l'occupation antique de la « ZAC des Linandes, 2^e tranche, phase 1 », est complexe à caractériser, tant les structures dans lesquelles les vestiges de cette époque apparaissent sont atypiques. Toutefois, elle apporte un éclairage nouveau sur l'occupation de ce secteur du département durant le Haut-Empire.

En 2008, une fouille attenante aux parcelles a révélé un établissement rural du I^{er} siècle ap. J.-C. (Pariat dir. 2009). Anciennement, à la fin des années 1970, une petite opération réalisée sur le tracé de l'autoroute A15, au nord des parcelles sondées en 2010, a livré un radier de fondation de mur et une zone détritique (Lemaire 1980). Cette dernière, très semblable à la structure St21, d'après la description qui en est faite, revêtait l'apparence d'une zone cendreuse de 3,50 m de long par 3 m de large, scindée en deux

couches distinctes recelant du mobilier attribué au II^e-III^e siècle ap. J.-C.

Plus largement, à l'échelle du Val d'Oise et même du nord de la France, il n'existe pas vraiment de synthèse récente sur l'occupation des sols au Haut-Empire. La plupart des travaux existants portent sur des sites de grande ampleur tels des agglomérations antiques, comme Beaumont-sur-Oise (Vermeersch et al. 2007), tandis que les sites plus modestes, souvent très érodés, ne semblant guère être l'objet d'investigations approfondies (Ouzoulias, Van Ossel 2009). Aussi est-il difficile d'avoir une vision d'ensemble de cette période. En l'état actuel des recherches, il semble que certains sites du Haut-Empire perdurent, à l'image de la « ZAC des Tulipes » à Gonesse (référence ???), alors que d'autres périssent comme les « Grandes Ormes » à Roissy (Lefeuvre, Wabont 2010). En ce sens, les II^e et III^e siècle ap. J.-C. pourraient bien marquer dans nos contrées une sorte de charnière correspondant à une période où la société romaine est de toute façon mue par une crise profonde.

V.4- Le Moyen-Âge

Huit structures peuvent être attribuées avec certitude à l'époque médiévale. Six d'entre elles (Fo 14, 15, 16, 17, 25 et 46) forment un ensemble de tronçons de fossés bordiers en lien avec une voie médiévale (V8). La septième structure est un segment de fossé isolé (Fo 30).

V.4.1- Le tronçon de fossé Fo 30

Le tronçon de fossé Fo 30 a été identifié dans la moitié sud de la tranchée 9 (fig. 6). Ce fossé, d'orientation nord / sud, passe sous la voie vers le nord, et se poursuit hors de la tranchée dans la partie sud. Il a pu être suivi sur une longueur de 4,20 m, et mesure en moyenne 0,60 m de large. Un sondage de 50 cm² réalisé manuellement dans la partie nord a permis d'observer le profil du creusement (fig. 28).

Celui-ci, conservé sur 10 cm d'épaisseur, est en cuvette. Le comblement est limono-argileux brun-gris peu compact et homogène, sans inclusions. Aucun mobilier n'a été retrouvé dans

la partie sondée. La datation de cette structure est donc relative, car le fossé Fo 30 passe sous la voie V8. Ainsi, il est, *a minima*, attribuable au Moyen-Âge.

V.4.2- Les fossés bordiers de la voie médiévale (V8)

La voie médiévale V8 est bordée au nord et au sud par des fossés. Malgré une numérotation différente des segments de fossé d'une tranchée à une autre, les tronçons (Fo 14, 16, 17, 25, 48) identifiés au nord de la voie appartiennent vraisemblablement à un seul et unique fossé bordier. Au sud, un seul tronçon a pu être repéré dans la tranchée 7, et rattaché avec certitude à la voie (Fo 15). Par conséquent, un tronçon a été sondé manuellement compte tenu des contraintes de temps imparties.

Ils s'agit du tronçon de fossé Fo 14 localisé au nord de la voie V8, dans la tranchée 6. D'orientation est-ouest, ce segment de fossé mesure 1,50 m de large (fig. 29). Creusé dans les limons de plateau sur 22 cm d'épaisseur, il présente un fond plat et des bords en pente douce, symétriques. Le comblement, homogène, est limono-sableux brun-gris peu compact avec quelques inclusions blanches. Les vestiges issus de cette structure se rapportent à trois tessons et un éclat en silex. L'un des tessons est un fragment à pâte sableuse blanche / noire de pot ovoïde renvoyant plutôt au Moyen-Âge classique (*cf.* annexe 2).

V.4.3- La voie V8 dite « Vieux Chemin de Rouen »

Encore trop souvent appréhendées de façon superficielles, les voies médiévales du département sont méconnues, au profit notamment d'axes plus anciens structurés dès l'Antiquité³⁰. La voie V8 était déjà connue par des opérations réalisées en 2006 puis en 2007 dans ce secteur de l'agglomération de Cergy-Pontoise (fig. 30)³¹. Il a donc été décidé d'implanter les tranchées transversalement à l'axe de cette voie de façon à la recouper systématiquement. Elle a ainsi pu être mise en évidence dans les tranchées 3, 7, 8, 9, 10, 15 et 16. Par contre, elle n'a pas été

30 Hurard 2010, p. 103.
31 Pariat 2007, Rosenberger 2006.

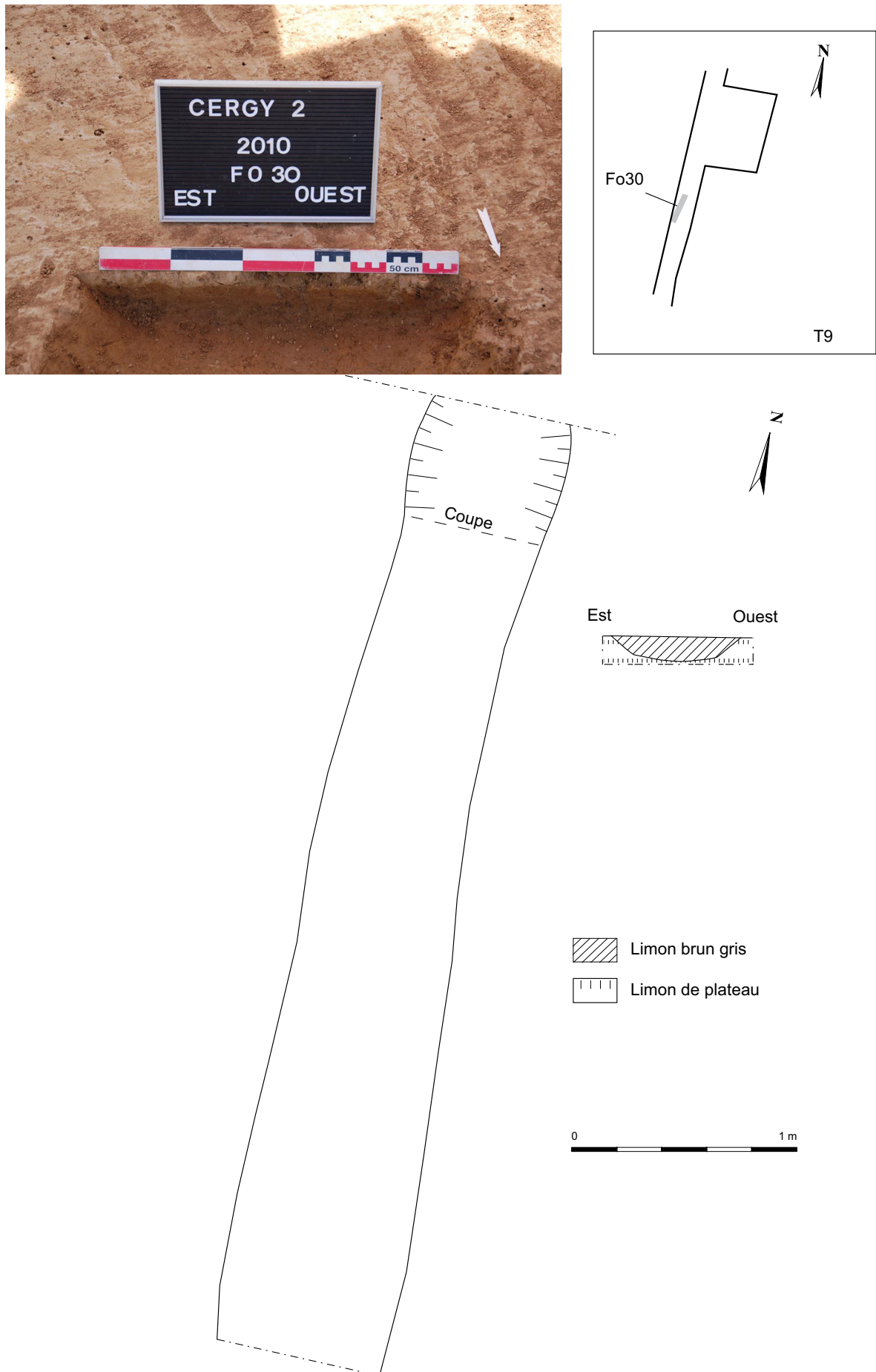


Fig. 28 : Plan et coupe du fossé Fo 30.

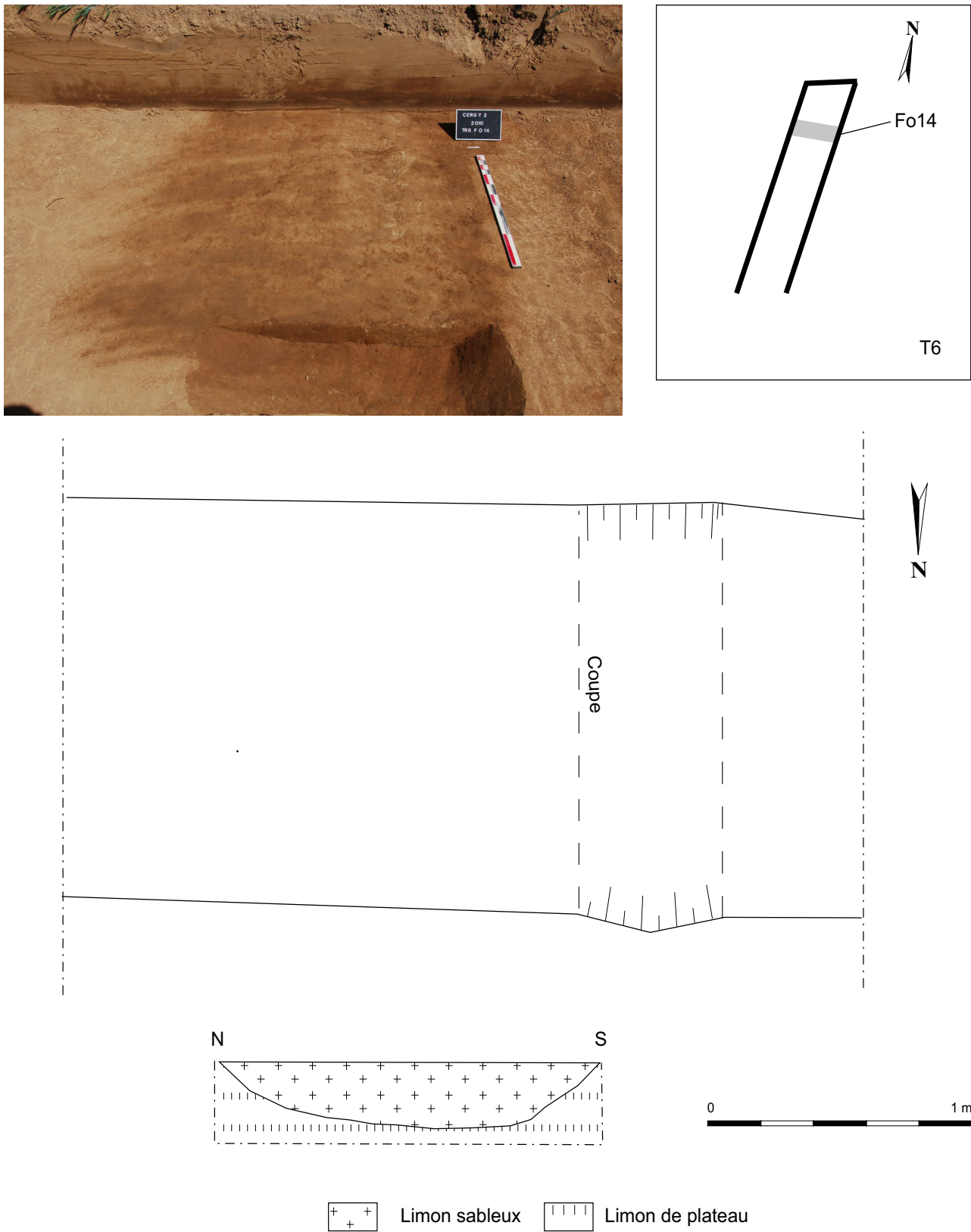


Fig. 29 : Plan et coupe du fossé Fo 14.



Fig. 30 : Le « Vieux Chemin de Rouen » repéré lors de différentes opérations.

retrouvée dans les tranchées 6 et 14, qui auraient pourtant dû la recouper. Dans ces deux cas, il faut envisager un sous-solage trop profond pour que la voie ait résisté à l'épreuve du temps.

La tranchée 9 est le seul endroit où la voie est empierrée dans sa partie supérieure, observation inédite à ce jour (fig. 31). Dans cette zone, les pavés de l'assise supérieure n'ont pas été remaniés au cours de l'histoire, ce malgré leur faible profondeur d'enfouissement sous la terre végétale. Partout ailleurs, seule l'assise inférieure de la voie est conservée. Cette différence de préservation s'explique peut-être par le type de culture pratiqué sur ces terres au cours de ces derniers siècles. La tranchée 9 se trouve sur une parcelle qui abrite des cultures maraîchères alors que les autres parcelles étaient recouvertes de blés, ces derniers nécessitant un labour plus profond que les choux ou pommes de terre.

Dans l'ensemble, la voie V8 suit une orientation est / ouest, et sa largeur oscille entre 15 m et 42 m. Cet ouvrage a été sondé à deux reprises : mécaniquement dans la tranchée 8, et manuellement dans la tranchée 9, suite à l'ouverture d'une fenêtre de fouille.

V.4.3.a- Le sondage de la tranchée 8

Identifiée dans la moitié sud de la tranchée 8, la voie a été observée sur une largeur de 20 m (fig. 32). Elle est apparue directement sous les labours à 0,30 m de profondeur. Son profil revêt la forme d'une cuvette irrégulière aux parois dissymétriques. Le fond de la fosse se caractérise par de nombreuses petites dépressions à fond arrondi dont la largeur moyenne est de 0,30 m. Ces irrégularités pourraient correspondre à des ornières liées à une fréquentation répétée de la voie. Le comblement, de 30 à 50 cm d'épaisseur, est limono-sableux jaune, homogène et friable. Dans cette zone, le substrat a été atteint entre 0,60 m et 0,80 m de profondeur.

Les vestiges issus du comblement, relativement nombreux, sont hélas peu typiques. Outre un os de gros ruminant et des tessons protohistoriques indéterminés, sans doute intrusifs, un fragment de catilus en calcaire blanc autochtone a été découvert. Cet ensemble est enrichi de quatre éléments métalliques : un rivet à refoulement, un clou de ferrure, un ferret médiéval ou moderne ainsi qu'un éperon (fig. 33, cf. annexe 6). Ces différents vestiges mobiliers ne permettent guère une datation fine de la voie.



Fig. 31 : Vue oblique du pavage de la voie 8 (Cliché : J.-G. Pariat).

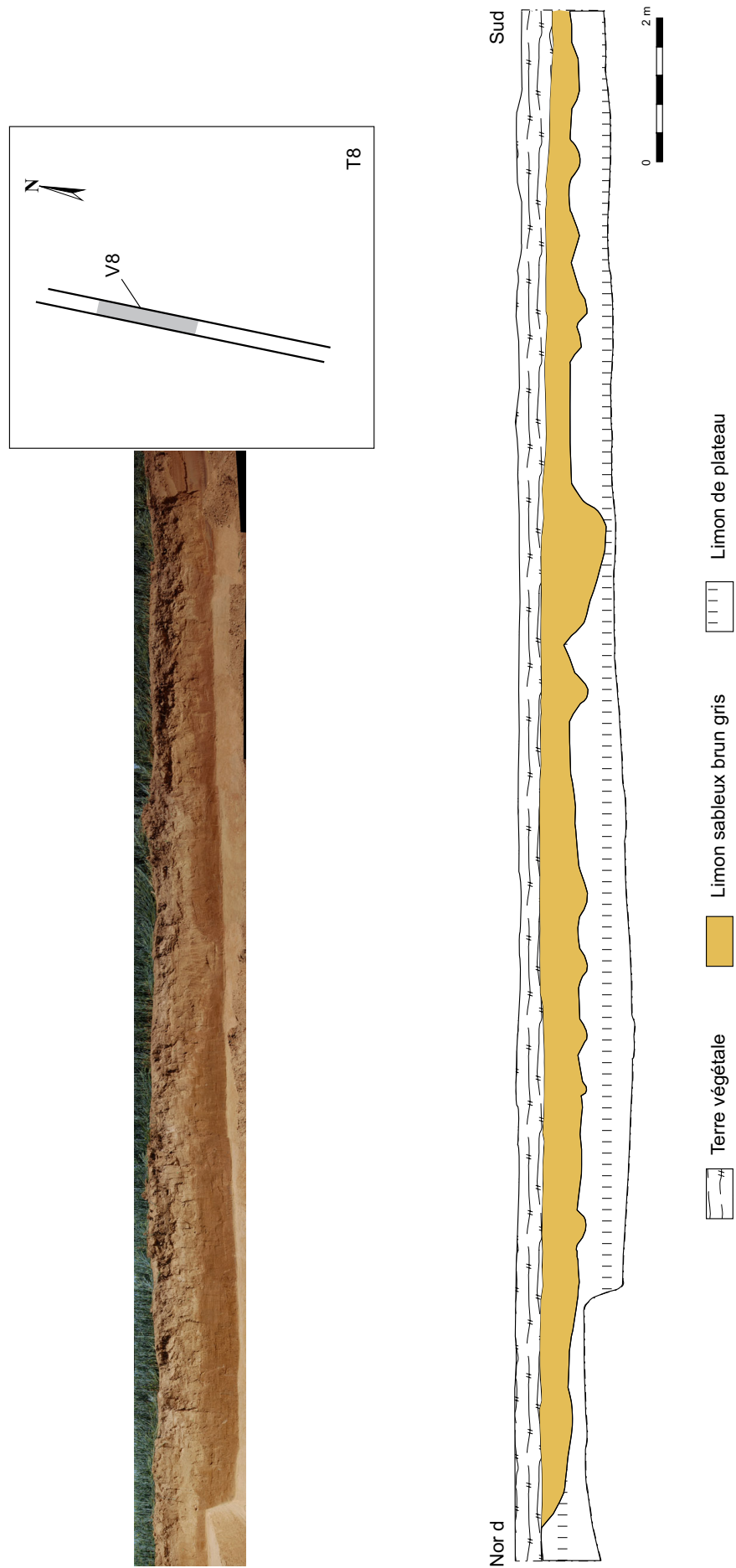


Fig. 32 : Tranchée 8, coupe de la voie V8. (Cliché : X. Bernardeau).



Fig. 33 : Tranché 8, éperon découvert dans le comblement de la voie V8 (Cliché : X. Bernardeau).

V.4.3.b- Le sondage de la tranchée 9

Dès le décapage, la voie V8 est apparue mieux conservée dans la tranchée 9. Il a donc été décidé de procéder à un élargissement du sondage dans ce secteur en retirant mécaniquement la terre végétale. Puis, la zone a fait l'objet d'un grand nettoyage en plan révélant ainsi un pavage (fig. 34). Ce dernier apparaît sous la forme d'une bande rectiligne de 3,2 m de large constituée d'une alternance de blocs de grès et de petits cailloux en calcaire. Les blocs de grès, assez standardisés, sont quadrangulaires et équarris. Leur largeur moyenne est de 28,4 cm pour une hauteur de 23,4 cm et une épaisseur de 16 cm (tab. 1). Bien plus irréguliers, les cailloux qui s'intercalent entre les blocs mesurent 8 cm de large, pour 4,3 cm de haut et 2,5 cm d'épaisseur en moyenne.

Dans un second temps, un sondage débordant a été pratiqué perpendiculairement à l'axe de la voie afin d'observer cette structure en coupe (fig. 35). L'assise supérieure est constituée de blocs de grès formant un dôme de 20 cm d'épaisseur environ, et de 3,2 m de large. Deux fossés bordiers caractérisent cet état de la voie. Ils présentent un profil en cuvette. Le fond du fossé sud a livré un petit groupe de blocs de grès disposés en rond (fig. 35 et 36). Il pourrait s'agir d'un calage de poteau dont la nature demeure énigmatique. L'ensemble confère à la voie une largeur de 3,50 m.



Fig. 36 : Tranchée 9, voie 8, sondage 1, empierrement du fond du fossé bordier sud (Cliché : J.-G. Pariat)

<u>Grès</u>	<u>Largeur (cm)</u>	<u>Hauteur (cm)</u>	<u>Épaisseur (cm)</u>
	24	25	
	22	15	
	21	25	
	37	27	
	25	23	
	30	25	9
	29	27	18
	16	26	
	20	28	
	24	18	
	23	24	
	39,5	30	
	30	22	
	26	24	12
	23	22	
	40	22	
	28	19	
	35	24	
	41	28	
	27	26	16
	33	25	12
	21	24	
	20	29	
	24	23	
	21	29	
	37	34	
	36	24	21
	21	24	19
	30	20	22
	40	9	15
	32	21	
	30	24	
	25	21	
	17	12	
	40	13	
	30	13	
	23	25	
	33	33	
	42	36	
	48	30	
	30	26	
	22	27	
	26	27	
	28	24	
	10	23	
Moyenne:	28,433333	23,466667	16
<u>Calcaire</u>	<u>Largeur (cm)</u>	<u>Hauteur (cm)</u>	<u>Épaisseur (cm)</u>
	9	5	
	7	4	3
	8	4	2
Moyenne:	8	4,333333	2,5

Tab. 1 : Dimensions de blocs et cailloux constituant l'assise supérieure de la voie.

L'assise inférieure de la voie s'étend sur une épaisseur de 20 à 50 cm. Ici, les parois du creusement n'ont pas été atteintes. Le fond irrégulier est tapissé de dépressions qui renvoient



Fig. 34 : Tranchée 9, pavage de l'assise supérieure de la voie V8 (DAO : X. Bernardeau).

sans doute à des ornières. Le comblement est identique à celui du tronçon sondé dans la tranchée 8. De cette phase d'utilisation date sans doute le fossé bordier nord Fo 25. Ainsi, la voie mesurait-elle 20 m dans son état antérieur, à cet endroit.

Les vestiges issus de ce secteur offrent une vision affinée de la chronologie de la voie. Dans l'ensemble, on peut proposer un rattachement au XVI^e siècle pour l'assise supérieure de la voie. Cette datation s'appuie sur des fragments de céramique retrouvés dans les interstices du pavage. Ces tessons, en contexte résiduel,

renvoient aux domaines de la consommation et de la conservation³². Quelques éléments en verre et des épingles en alliage cuivreux peu caractéristiques accompagnent cet ensemble. Enfin, une monnaie « Henri II de Navarre » vient confirmer l'attribution offerte par la céramique (cf. annexe 6). La couche inférieure n'a pas livré de mobilier discriminant, mais elle est soit contemporaine soit antérieure à celle qui la recouvre, et pourrait donc dater du Moyen-Âge classique.

³² Détermination S. Hurard (INRAP, UMR 7041).

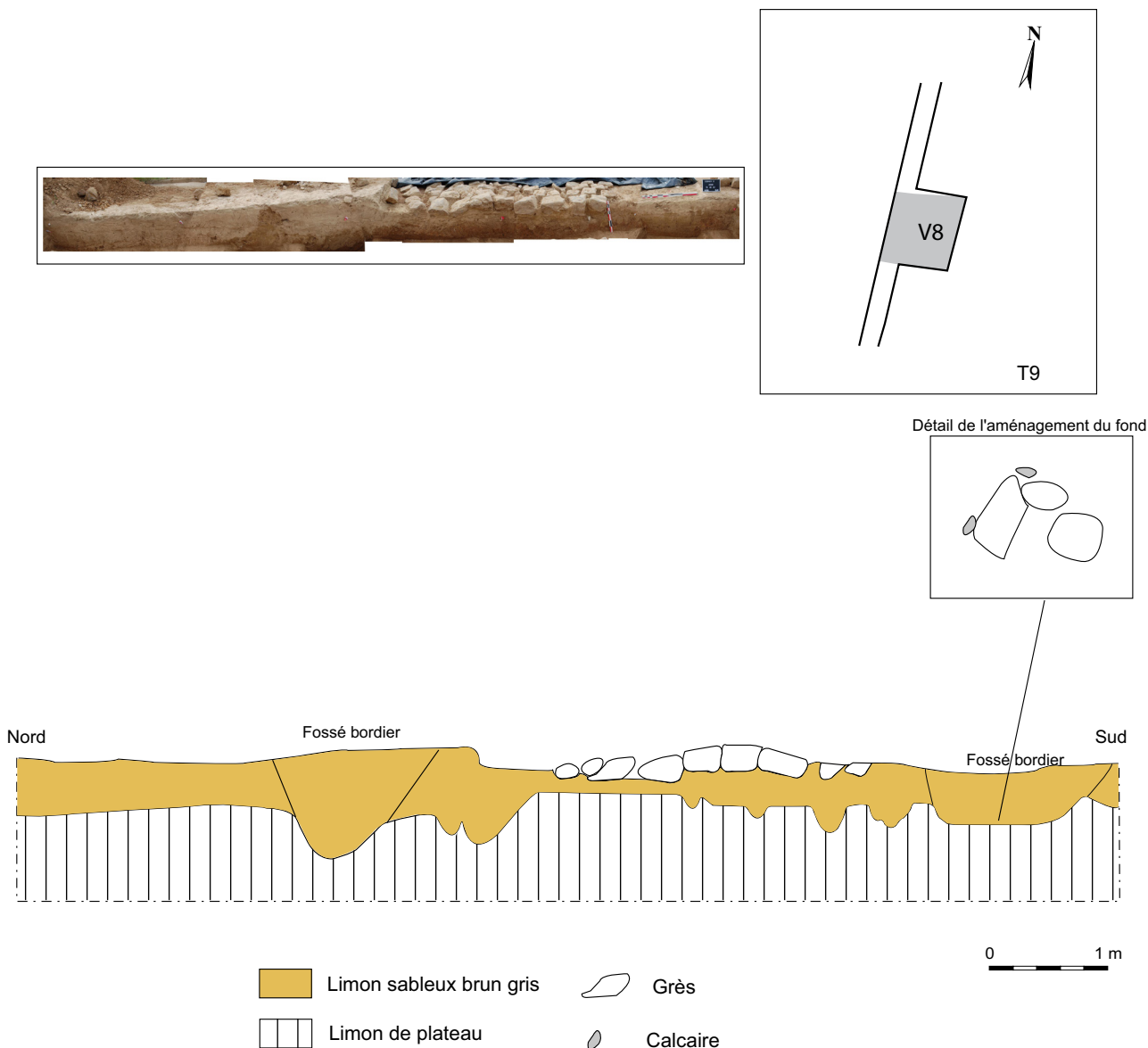


Fig. 35 : Tranchée 9, voie 8, sondage 1 : coupe.

V.4.3.c- Conclusion

En somme, les différents sondages pratiqués sur la voie V8 enrichissent la connaissance relative à cet ouvrage. Sans doute fondée au Moyen-Âge, la voie s'apparente d'abord vraisemblablement à un chemin de terre large d'une vingtaine de mètres, et bordé de fossés. Puis, à la fin du Moyen-Âge ou au début de l'époque moderne, cet axe est considérablement rétréci. D'une largeur de 3,50 m, la voie est pavée et reste bordée de deux fossés. L'un d'eux comporte des traces d'aménagement. Peut-être était-il planté d'arbres ? À moins qu'il ne s'agisse d'un système destiné à se prémunir d'une inondation de la voie.

Ces résultats viennent compléter les sources

historiques jusqu'alors existantes pour ce parcours. Cette voie dite « Vieux Chemin de Rouen » constituait en son temps la frontière naturelle entre Osny et Cergy sur près de 2 km³³. Elle mesurait 5 m de large, sans radier ni couche de forme, avec une simple bande de roulement. Le diagnostic des Linandes complète cette description puisque ce sont deux états de construction qui ont été mis en évidence. Par ailleurs, la largeur semble bien plus variable que ne le disent les écrits connus. Enfin, la mise en place de la grande route royale au XVIII^e siècle (actuel boulevard de la Paix) semble avoir précipité l'abandon de cet axe plus ancien³⁴. Les résultats de cette opération tendent à corroborer

33 Robert, Wabont 2008, p. 26.

34 Ouzoulias 1991, p. 19.

cette hypothèse puisqu'aucun vestige ne renvoie à l'époque contemporaine.

À ce stade des découvertes, les résultats obtenus suscitent de nouvelles interrogations. De quand date la mise en place de la voie ? Était-elle pavée sur toute sa longueur, comme le laisse présager la présence de pavés isolés dans certains secteurs ? Enfin, cet axe de circulation, intensément fréquenté, n'a pour l'heure guère livré d'indices d'occupations médiévaux dans les environs immédiats. Faut-il imaginer que ce secteur du département n'a pas été habité au Moyen-Âge, la ville de Pontoise ayant joué le rôle d'un pôle attractif ?

V.4.3.d- Comparaisons

Au début des années 1990, P. Ouzoulias constatait que les recherches sur les voiries médiévales étaient rares et partielles, les travaux restant dominés par l'étude des voiries antiques³⁵. Vingt ans plus tard, la situation a lentement évolué en Val d'Oise et il reste rare d'aborder ce type d'ouvrage en archéologie préventive. Malgré tout, deux exemples d'opérations récentes permettent d'établir des parallèles avec Cergy. Le premier d'entre eux concerne un diagnostic réalisé au lieu-dit « La Touffe » à Courdimanche³⁶. Il a, entre autre, permis la redécouverte d'une voie moderne, le « Chemin de Courcelles » (fig. 37). Cette structure est morphologiquement assez différente de la voie V8 des Linandes. La largeur totale est de 5 m pour une surface de roulement de 3 m. Après avoir été l'objet d'un décaissement, une couche de préparation incluant de nombreux blocs pris dans l'argile a été mise en place. Le niveau de circulation caractérisé par un limon sableux rouge-jaune se trouve au-dessus. De part et d'autre de celui-ci, des pavés forment un trottoir. L'ensemble est attribué à l'époque contemporaine (fin XVIII^e-XIX^e siècle).

Le second exemple est emprunté à un diagnostic réalisé à l'automne 2009 sur la commune de Bruyères-sur-Oise au lieu-dit « Les Cailloux »³⁷. Cette opération a notamment révélé une voie

³⁵ Ouzoulias 1991, p. 17.

³⁶ Lefevre 2009.

³⁷ Hurard 2010.

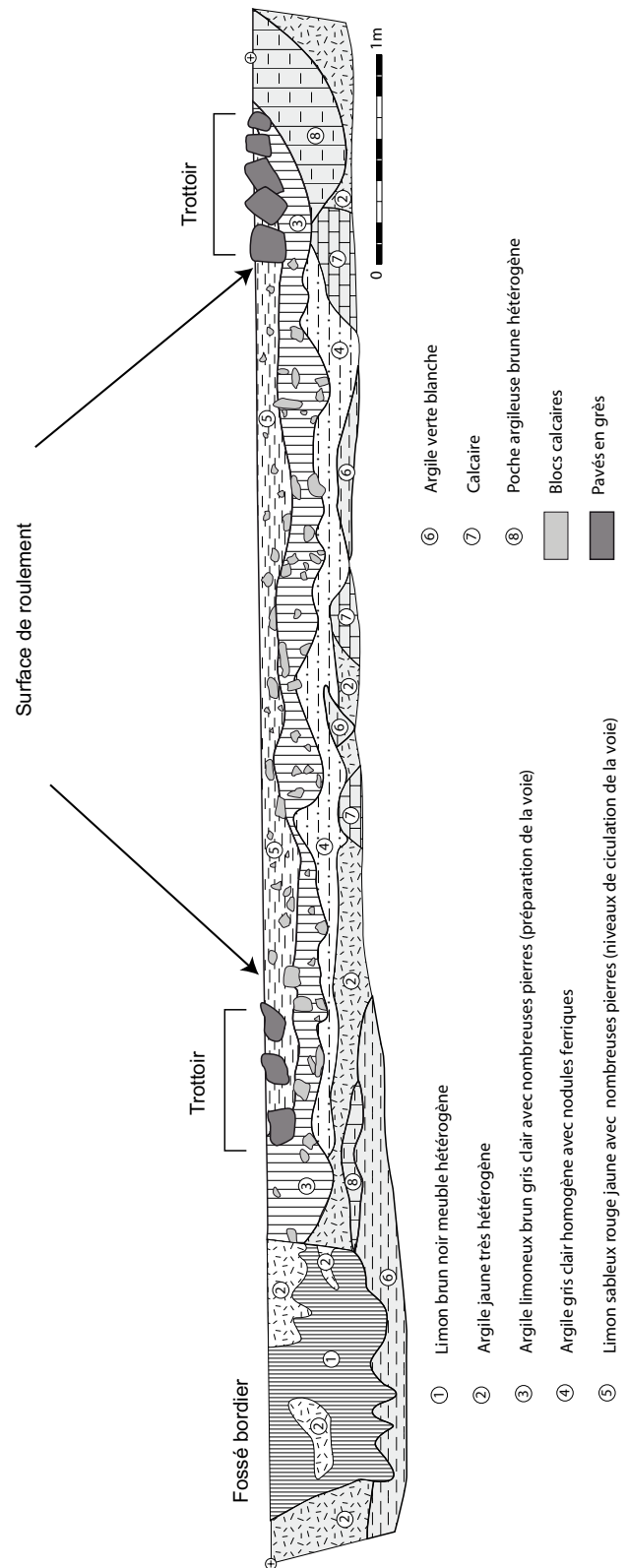


Fig. 37 : Coupe du Chemin de Courcelles à Courdimanche (d'après Lefevre 2009).

médiévale bordée de fossés. Le niveau de circulation avoisine 8 m de large en moyenne. La céramique associée à cette structure renvoie à une large période comprise entre le XI^e siècle et le début du XV^e siècle. Une stratigraphie complexe témoignant d'une utilisation prolongée au fil du temps caractérise cette voie (fig. 38). Comme à Cergy, un phénomène de dilatation du chemin dans la largeur, qui pourrait être le fruit d'un aménagement volontaire, a été observé³⁸. Pour l'auteur du rapport, cela refléterait une fluctuation de l'état du chemin au cours de son utilisation, à cause par exemple de l'humidité saisonnière ou d'un passage de charois sur les côtés, en hiver, afin d'éviter l'enlisement. Ce scénario paraît envisageable pour expliquer les variations de largeur également observées au niveau de la voie V8 de Cergy.

V.5- L'époque moderne

Outre la voie V8, seule une structure a pu être attribuée à l'époque moderne. Il s'agit du tronçon de chemin V34 localisé dans la moitié nord de la tranchée 13, orienté selon un axe nord-est / sud-ouest. Cette structure n'a pas été fouillée car elle se trouve dans une tranchée pratiquée, par erreur, hors de l'emprise correspondant à cette phase des travaux. Il a donc été décidé de protéger cette structure et de la laisser en l'état, afin qu'elle soit traitée ultérieurement lors de la seconde phase de diagnostic.

Ce tronçon de chemin est connu, notamment au travers des plans anciens. Il s'agit du Chemin d'Osny (*cf.* annexe 5). Cependant, cet axe pourrait bien être encore plus ancien.

L'époque moderne est par ailleurs représentée par douze vestiges céramiques, retrouvés hors contexte, sur toute la surface de l'emprise. Parmi eux, trois fragments de grès du Beauvaisis, le fond d'une forme de stockage en grès du Beauvaisis ou de Bourgogne et deux tessons glaçurés jaune à pâte rose correspondent à des types courants entre le XVII^e siècle et le XVIII^e siècle³⁹. Ces vestiges, qui renvoient à la consommation et au stockage, sont très répandus dans la région à cette époque.

38 Hurard 2010, p. 77.

39 Détermination S. Hurard (INRAP, UMR 7041).

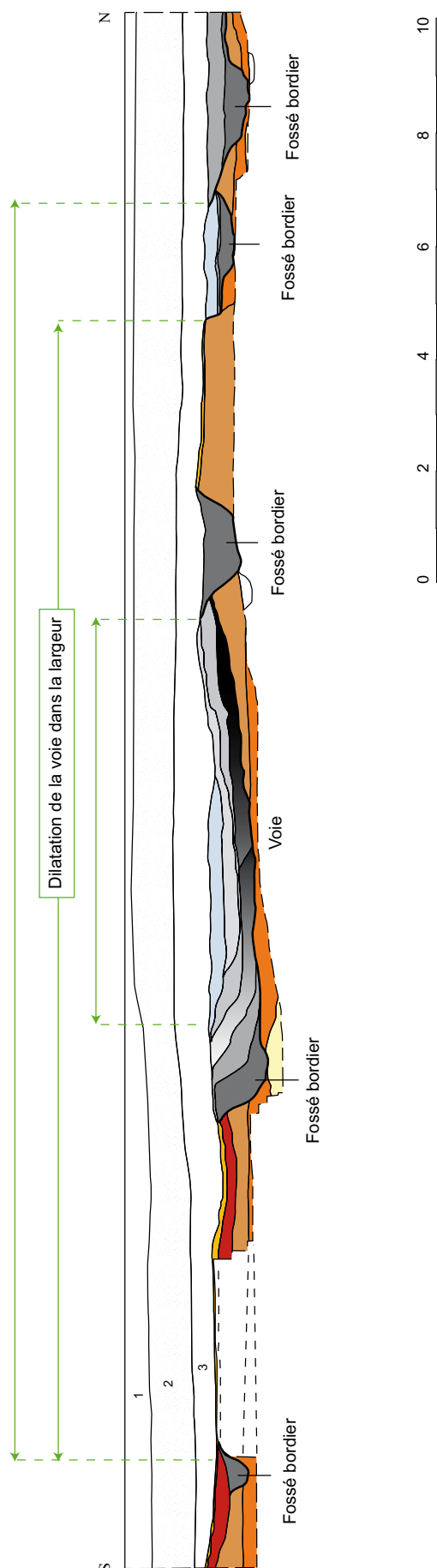


Fig. 38 : Coupe de la voie médiévale de Bruyères-sur-Oise (d'après Hurard 2010).

V.6- L'époque contemporaine

Quatre structures (TP 9, 10, 11, Fo 12) peuvent être rattachées à l'époque contemporaine. Elles forment un ensemble repéré dans la tranchée 5, à 10 m au nord du Boulevard de la Paix (fig. 6).

Trois d'entre elles correspondent à des trous de poteau alignés d'ouest en est, et la quatrième est un tronçon de fossé qui semble constituer une délimitation vers l'est. Le trou de poteau TP9 présente un contour sub-circulaire (fig. 39). Très arasé, il est conservé sur 10 cm d'épaisseur et mesure 0,40 m de diamètre. Le profil du creusement est en cuvette, et le comblement est limoneux brun-jaune compact, incluant de nombreuses tâches grisâtres. Aucun mobilier ne provient de cette structure. Sa datation repose sur la nature du comblement qui paraît très récent et sur la proximité avec le trou de poteau TP10.

Le trou de poteau TP10 est à 1 m à l'est de celui précédemment décrit (fig. 39). De contour sub-circulaire, il mesure 0,60 m de diamètre pour 0,29 m de profondeur. En coupe, les bords sont sub-verticaux et le fond est plat. Le comblement de cette fosse est un limon gris homogène, peu compact avec des cailloux de petit module, en particulier vers le fond. Peut-être s'agit-il là d'un calage ? Le mobilier découvert à cet endroit est un fragment de verre contemporain.

Enfin, le trou de poteau TP11 se trouve à 70 cm à l'est du précédent (fig. 39). Creusé dans le limon, il présente un plan sub-circulaire, et mesure 40 cm de diamètre. Très arasé, il est conservé sur 10 cm d'épaisseur. Les parois sont asymétriques, en pente douce, et le fond est arrondi. Le comblement est limono-argileux brun-gris, homogène et peu compact. Aucun mobilier n'est issu de cette structure. La nature du comblement et l'ensemble formé par les trous de poteau ont permis le rattachement à l'époque contemporaine.

Le tronçon de fossé Fo 12 n'a pas été sondé par manque de temps.

En conclusion, il est difficile d'interpréter cet ensemble. Peut-être est-il à mettre en relation avec des travaux d'assainissement du boulevard de la Paix, compte tenu de la présence de plusieurs regards de bouches d'égoûts dans les environs ?

V.7- Vestiges d'époque indéterminée

Trente et une structures mises au jour lors du diagnostic sont en l'état impossibles à rattacher avec précision à une époque donnée (tab. 2). Dix-huit d'entre elles ont été fouillées, et parmi les treize structures non fouillées, quatre correspondent sans doute à des tronçons de fossés bordiers de la voie V8 (Fo 38, 43, 44 et 45).

Structures fouillées	Structures non fouillées
F1	Fo4
St2	Fo22
F3	F35
Fo5	Fo38
Fo6	Fo41
F18	Fo42
Fo20	Fo43
Fo24	Fo44
St26	Fo45
TP27	Fo49
F28	Fo53
F29	Fo54
St31	
F32	
F33	
F39	
F40	
St48	
Fo50	

Tab. 2 : Inventaire des structures d'époque indéterminée

V.7.1- Les fosses

Les fosses présentées dans cette section sont traitées dans un ordre respectant leur logique de numérotation sur le terrain.

– Fosse F1 : localisée dans la moitié nord de la tranchée 3, la fosse F1 est creusée dans le limon (fig. 40). De plan sub-circulaire, elle mesure 1 m de diamètre pour 0,16 m de profondeur. Son profil est à fond plat et ses bords sont en pente douce. Le seul comblement identifié correspond à un limon brun-gris incluant de nombreux charbons, homogène et peu compact. Cette structure ne recèle aucun mobilier.

– Fosse F3 : localisée au sud de la tranchée 3, la fosse F3 est creusée dans le limon (fig. 40). Elle présente un contour sub-circulaire et son diamètre est de 0,70 m pour une profondeur de 0,40 m. Son profil est asymétrique et son fond

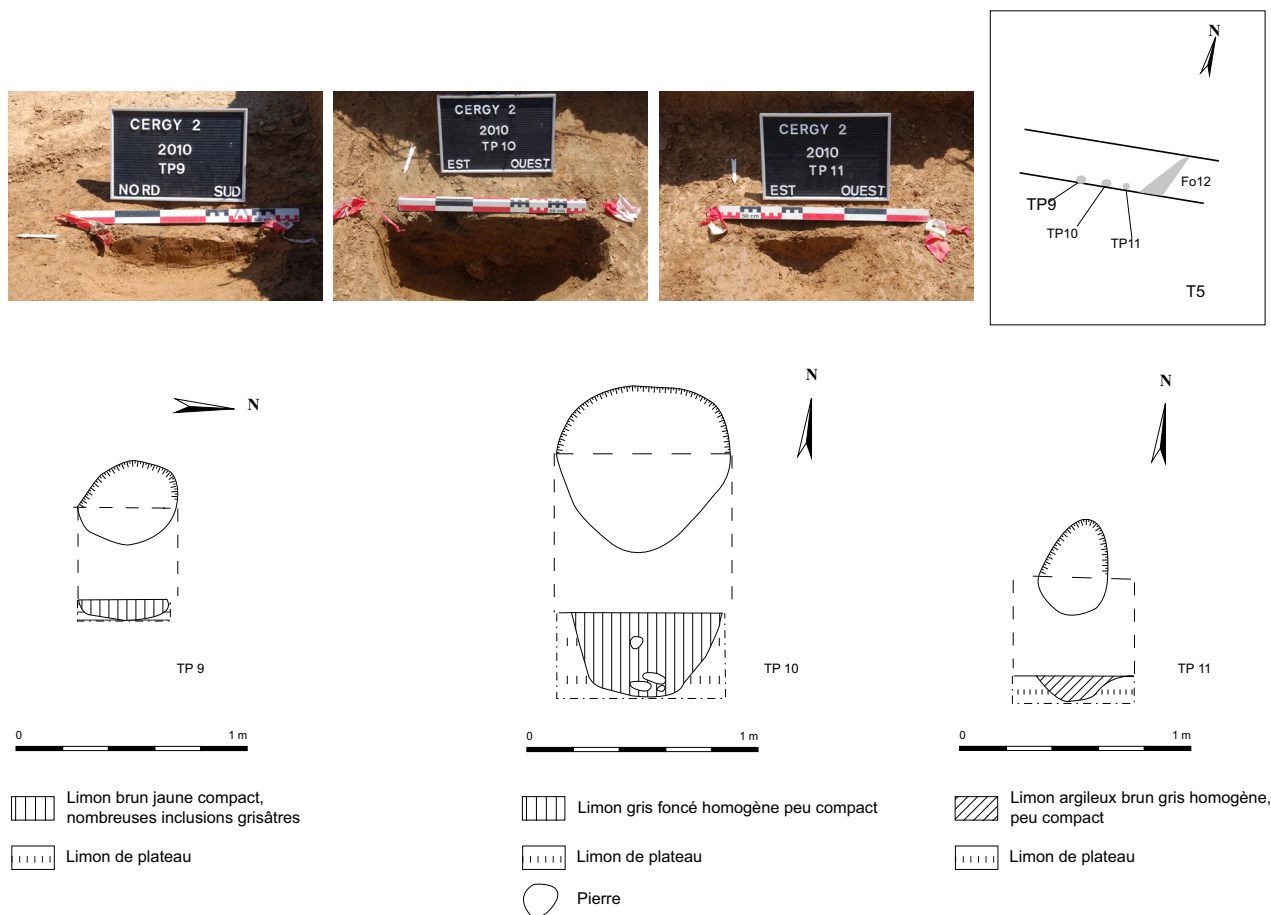


Fig. 39 : Plans et coupes des trous de poteau TP9, 10, 11.

est arrondi. La paroi nord-est est sub-verticale, tandis que la paroi sud-ouest est irrégulière. Le comblement de cette structure est limono-argileux gris clair homogène et présente des inclusions de charbon de bois. Cette structure ne recèle aucun mobilier.

– Fosse F18 : cette fosse, localisée dans la moitié nord de la tranchée 7, est creusée dans le limon (fig. 41). Elle présente un contour ovale et mesure 3 m de diamètre pour 1,70 m de profondeur. Le profil du creusement est en « U » et s'évase vers le sommet. Le comblement, hétérogène, se caractérise par un limon brun-orangé au sein duquel les nodules calcaires abondent. Le mobilier recueilli dans cette fosse se réduit à trois vestiges : un fragment de terre cuite architecturale, un objet en silex et une pièce en alliage cuivreux. Ces rares vestiges renvoient à différentes périodes, le Néolithique, l'Antiquité et le Moyen-Âge. Autrement dit, la structure ne peut pas être datée sur cette base.

– Fosse F28 : apparue dans la moitié nord de la tranchée 9, la fosse F28 est une fosse de plan sub-circulaire, creusée dans le limon (fig. 42). Elle mesure 1,10 m de long pour 0,70 m de large et est conservée sur 8 cm d'épaisseur. Son profil est à fond plat et ses bords sont en pente douce. Le comblement est limono-argileux brun-gris, très compact et homogène. Aucun vestige mobilier ne provient de cette structure.

– Fosse F29 : repérée dans la moitié nord de la tranchée 9, la fosse F29, creusée dans le limon, présente un contour circulaire (fig. 42). Elle mesure 0,70 m de diamètre pour 0,36 m de profondeur. Son profil est en « U » et ses parois sont régulières et symétriques. Le comblement de cette fosse est limono-argileux gris compact, et présente de nombreuses inclusions de charbon. Dix restes ont été découverts dans cette structure. Ils se répartissent en six tessons de céramique à pâte sableuse rose, potentiellement médiévaux,

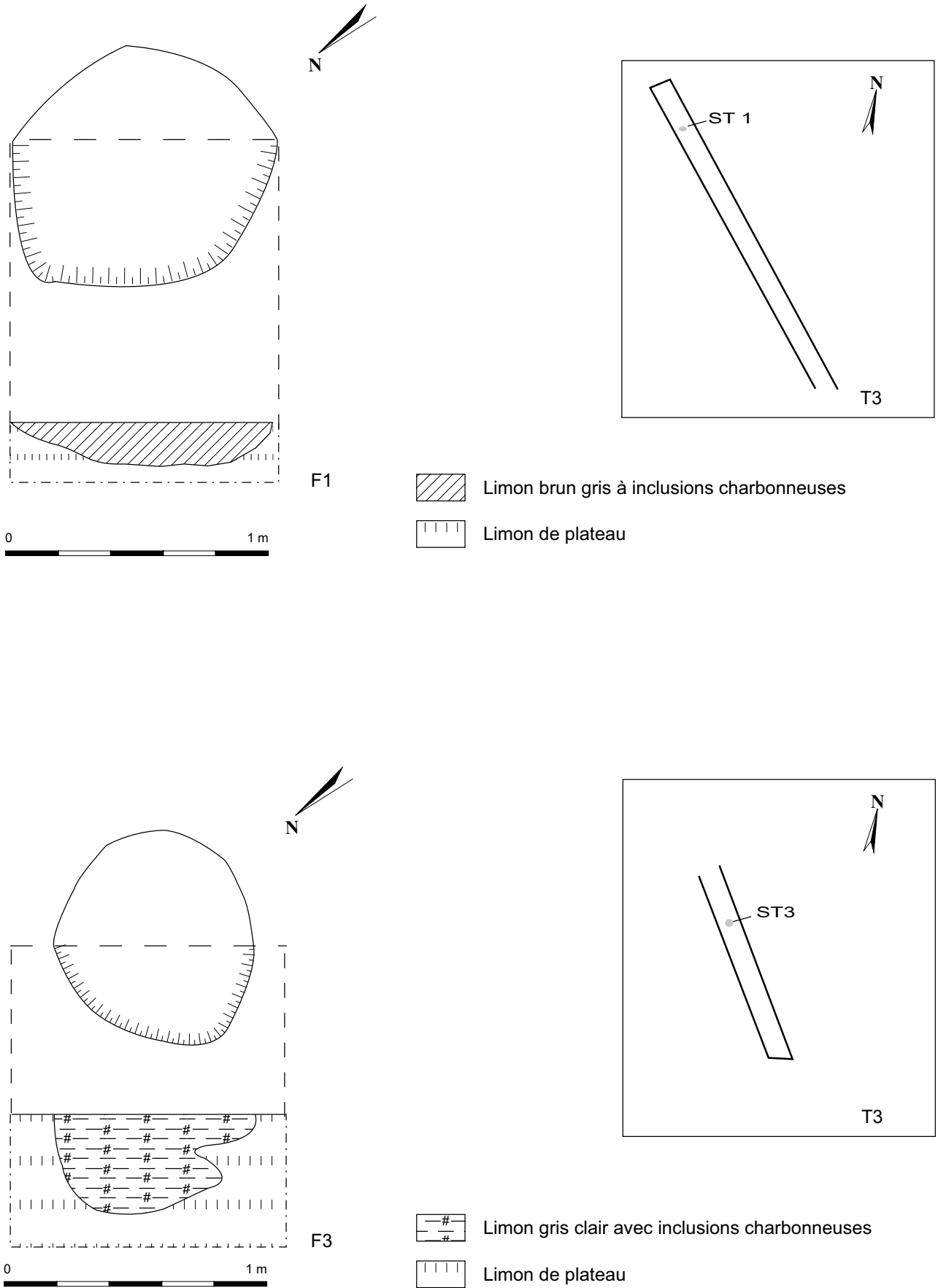


Fig. 40 : Plans et coupes de fosses F1 et F3.

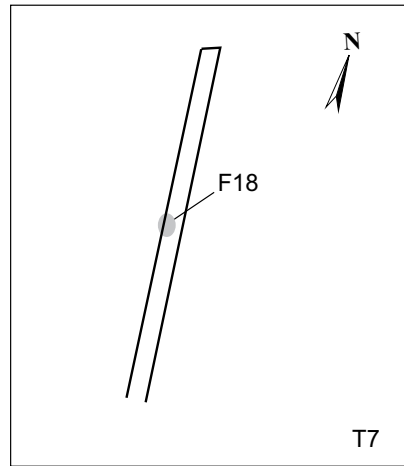


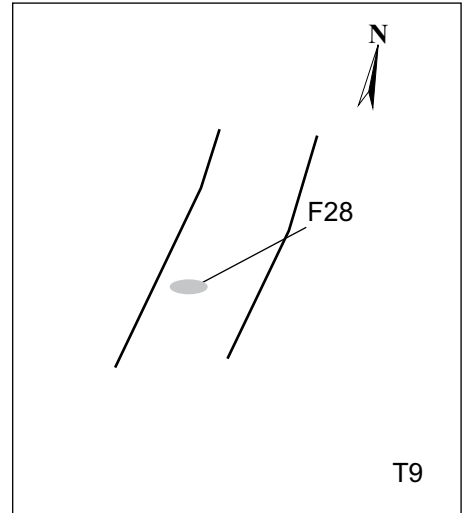
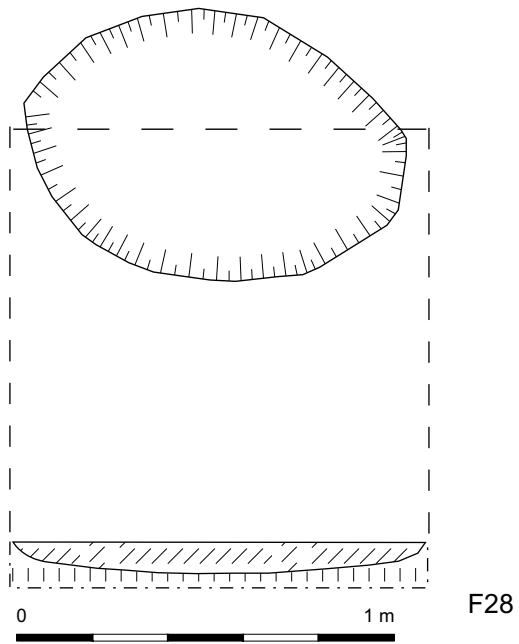
Fig. 41 : Plan et coupe de la fosse F18.

un éclat en silex néolithique et une tête de clou de menuiserie. Cet ensemble n'a pas permis d'attribution chronologique.

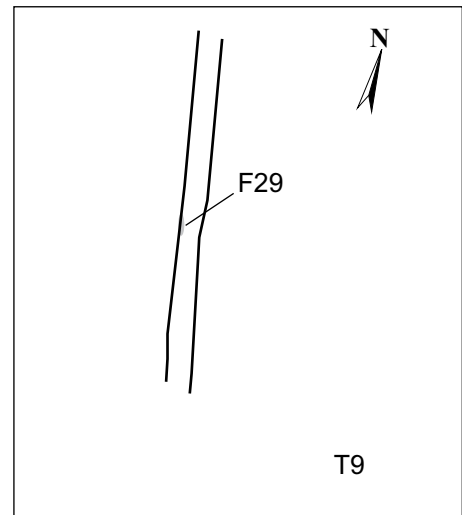
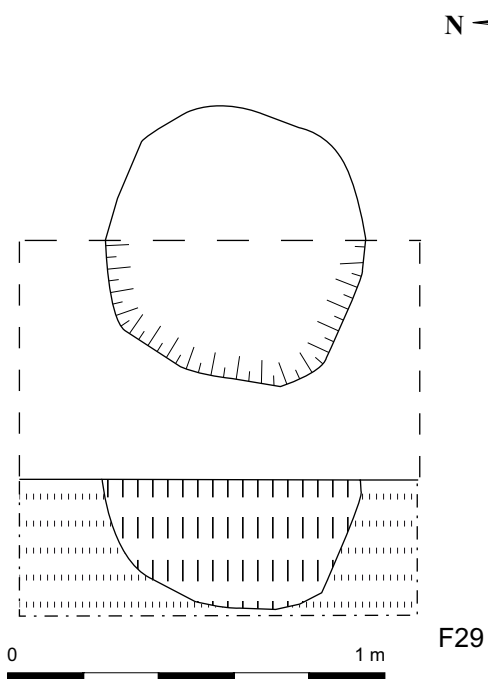
– Fosse F32 : située au niveau de l'extrémité sud de la tranchée 10, la fosse F32 mesure 1 m de diamètre pour une profondeur de 0,20 m (fig. 43). Elle présente un contour sub-circulaire

et son profil est à fond plat, ses bords étant en pente douce. Le comblement correspond à un limon sableux brun-gris homogène et compact au sein duquel se trouvent quelques silex naturels. Aucun vestige mobilier ne provient de cette structure.

– Fosse F33 : cette fosse, localisée dans



-  Limon argileux brun gris
-  Limon de plateau



-  Limon argileux gris
-  Limon de plateau

Fig. 42 : Plans et coupes des fosses F28 et F29.

la tranchée 12, n'a été qu'incomplètement dégagée ; la tranchée en question longeant la limite d'emprise au nord. Elle est creusée dans le limon (fig. 43). Son diamètre est de 0,60 m pour une profondeur de 0,23 m. En coupe, les parois sont dissymétriques et le fond est plat. Le comblement est limono-argileux brun-gris jaune à inclusions de charbon. Aucun mobilier ne provient de cette structure.

– Fosse F39 : localisée dans la moitié sud de la tranchée 14, la fosse 39 est creusée dans le limon (fig. 44). De plan ovale, elle présente un profil en cuvette et mesure 1,32 m de long par 0,90 m de large et 10 cm d'épaisseur. Le comblement est limoneux argilo-sableux brun jaune gris, très compact et homogène. Cette fosse n'a pas livré de mobilier et nous l'interprétons comme étant un chablis.

– Fosse F40 : cette fosse, creusée dans le limon, se situe dans la moitié sud de la tranchée 14 (fig. 44). Elle mesure 1,30 m de long par 0,50 m de large pour 16 cm d'épaisseur. De plan ovale, elle présente un profil irrégulier. La paroi ouest est verticale tandis que la paroi est décrit une pente douce. Son comblement est limoneux argilo-sableux brun-gris très compact et homogène, comportant quelques rares inclusions de charbon dans la partie supérieure. Aucun mobilier ne provient de cette structure.

V.7.2- Les fossés

Quatre segments de fossés sont difficiles à rattacher à une époque donnée. Tous sont localisés dans le secteur A.

– Fossé Fo5 : ce tronçon de fossé, creusé dans le limon, se trouve dans la moitié nord de la tranchée 4. D'orientation nord-est / sud-ouest, il mesure 0,40 m de large pour 0,16 m de profondeur (fig. 45). Les parois du creusement sont verticales et le fond est irrégulier. Le comblement se caractérise par un limon argileux gris homogène au sein duquel des traces de percolation apparaissent. Il pourrait s'agir d'un fossé parcellaire.

– Fossé Fo6 : ce segment de fossé se situe dans la moitié nord de la tranchée 4 (fig. 45). Son orientation suit celle du fossé Fo5, dont il est parallèle. Il mesure 0,90 m de large pour 0,40 m de profondeur. Ce fossé, creusé dans le limon, présente un profil en « V » et un fond arrondi. Le comblement est limono-sableux gris-brun, et comporte des inclusions de charbon. Sans doute s'agit-il là aussi d'un fossé parcellaire.

– Fossé Fo20 : localisé dans la moitié ouest de la tranchée 5, le segment de fossé Fo20 est orienté selon un axe nord-ouest / sud-est (fig. 46). D'une largeur de 1 m pour une profondeur de 0,20 m, ce fossé présente un tracé rectiligne. Il est creusé dans le limon et présente un profil en « U » très évasé vers le sommet. Le comblement se caractérise par un limon brun-gris aux rares inclusions de charbon. Aucun mobilier n'est issu de cette structure.

– Fossé Fo24 : ce tronçon de fossé est localisé dans la moitié sud de la tranchée 9. D'orientation sud-ouest / nord-est, il est parallèle au segment de fossé Fo30 dont l'attribution au Moyen-Âge est possible. Hélas, aucun mobilier ne provient de ce tronçon de fossé.

D'une largeur de 1,60 m et d'une profondeur de 0,34 m, cette structure présente un profil en « U » évasé, les parois décrivant une pente douce (fig. 47). Le fond est arrondi. Cette structure a été sondée manuellement à deux reprises. Elle a révélé un comblement sablo-limoneux dans les deux cas. Par contre, l'exploration du sondage 2 a conduit à la mise au jour de limon rubéfié sur l'une des parois.

V.7.3- Les trous de poteau

Un seul et unique trou de poteau n'a pu être rattaché à une période avec précision. Il s'agit du trou de poteau TP27, localisé dans la moitié nord de la tranchée 9. Son diamètre est de 0,40 m pour une profondeur de 0,12 m (fig. 48). Cette fosse au contour subcirculaire présente un fond arrondi. La paroi sud est verticale et la paroi nord est en pente douce. Le comblement se caractérise par un sédiment charbonneux avec inclusions de terre rubéfiée. Il n'a livré aucun vestige.

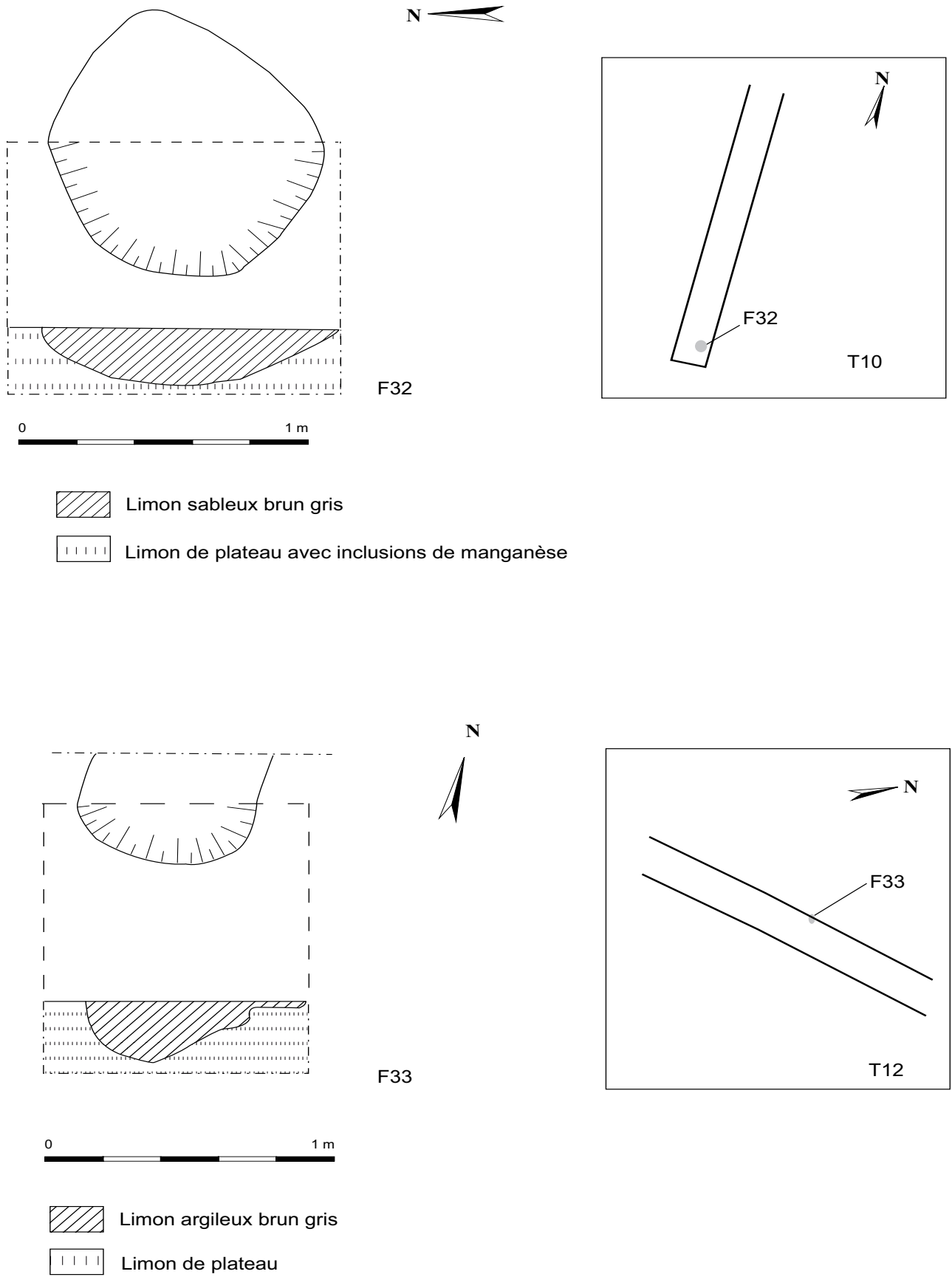
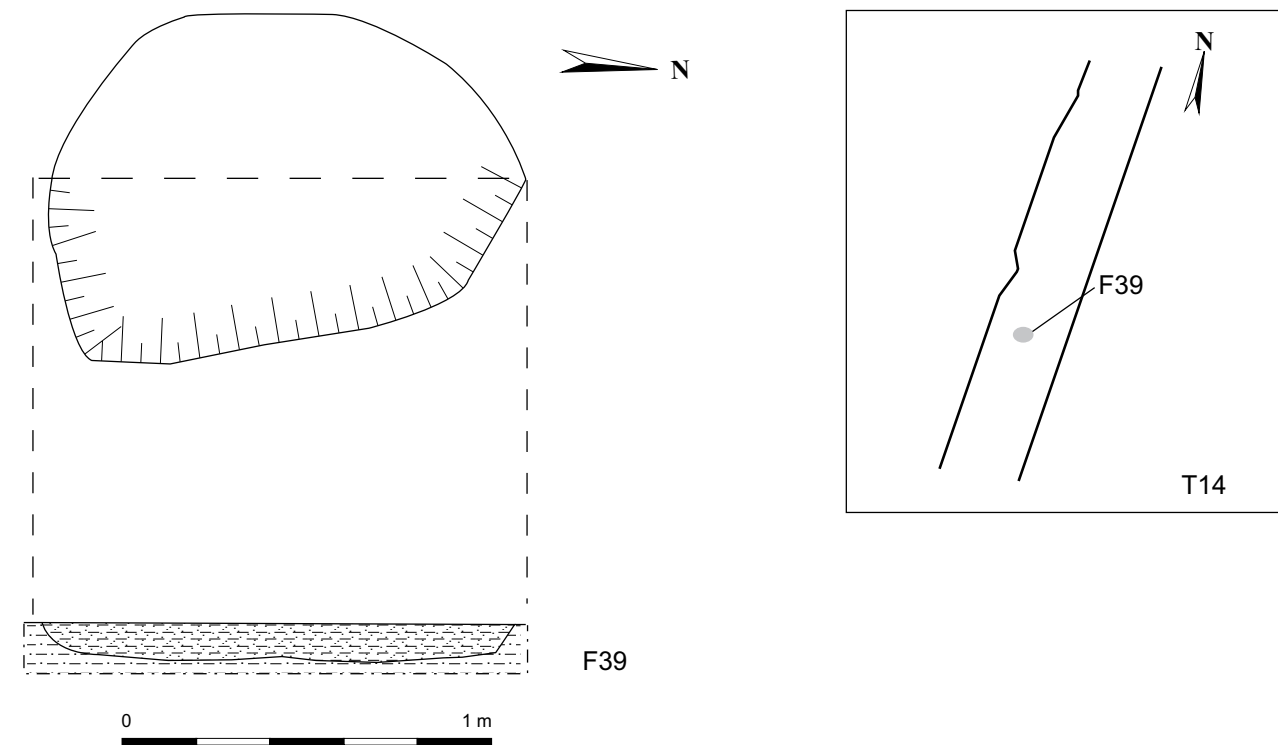
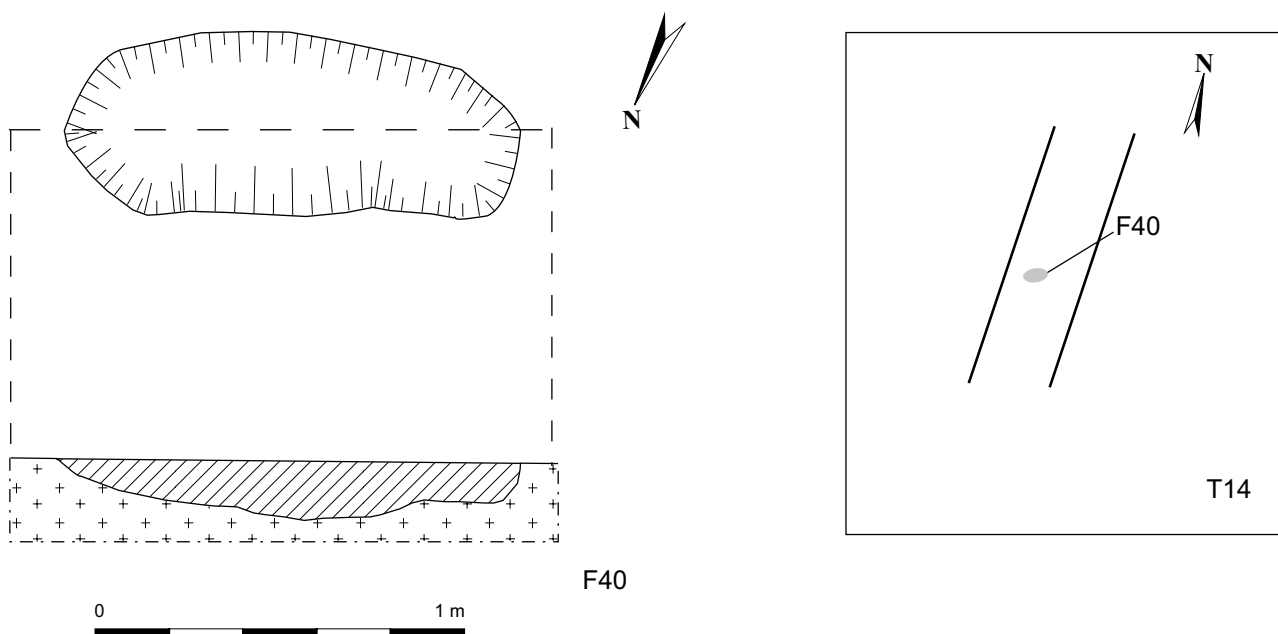


Fig. 43 : Plans et coupes des fosses F32 et F33.



Limon argilo-sableux brun jaune gris

Limon argilo-sableux brun jaune



Limon argilo-sableux brun gris

Limon sableux

Fig. 44 : Plans et coupes des fosses F39 et F40.

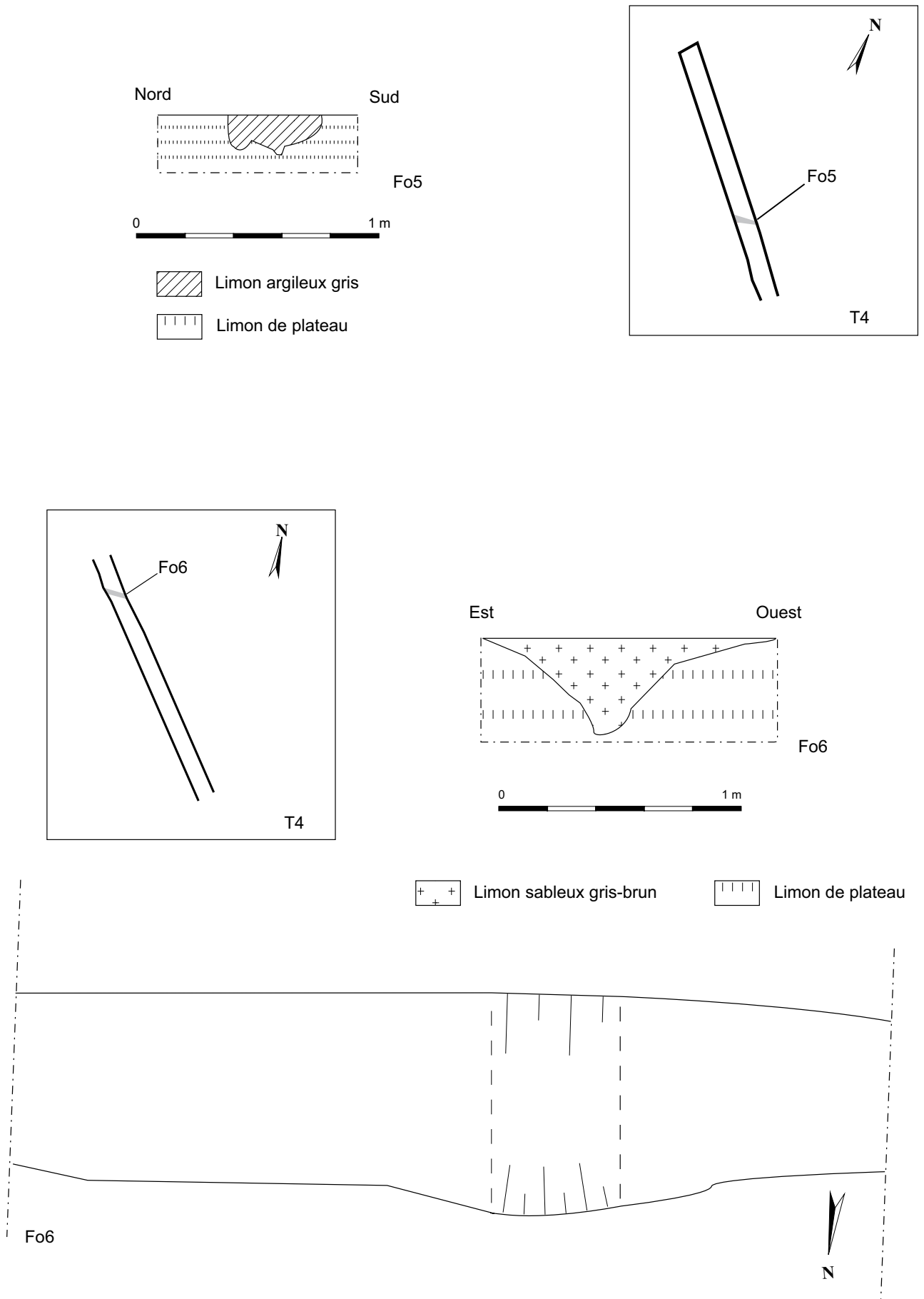


Fig. 45 : Plans et coupes des tronçons de fossé Fo5 et Fo6.

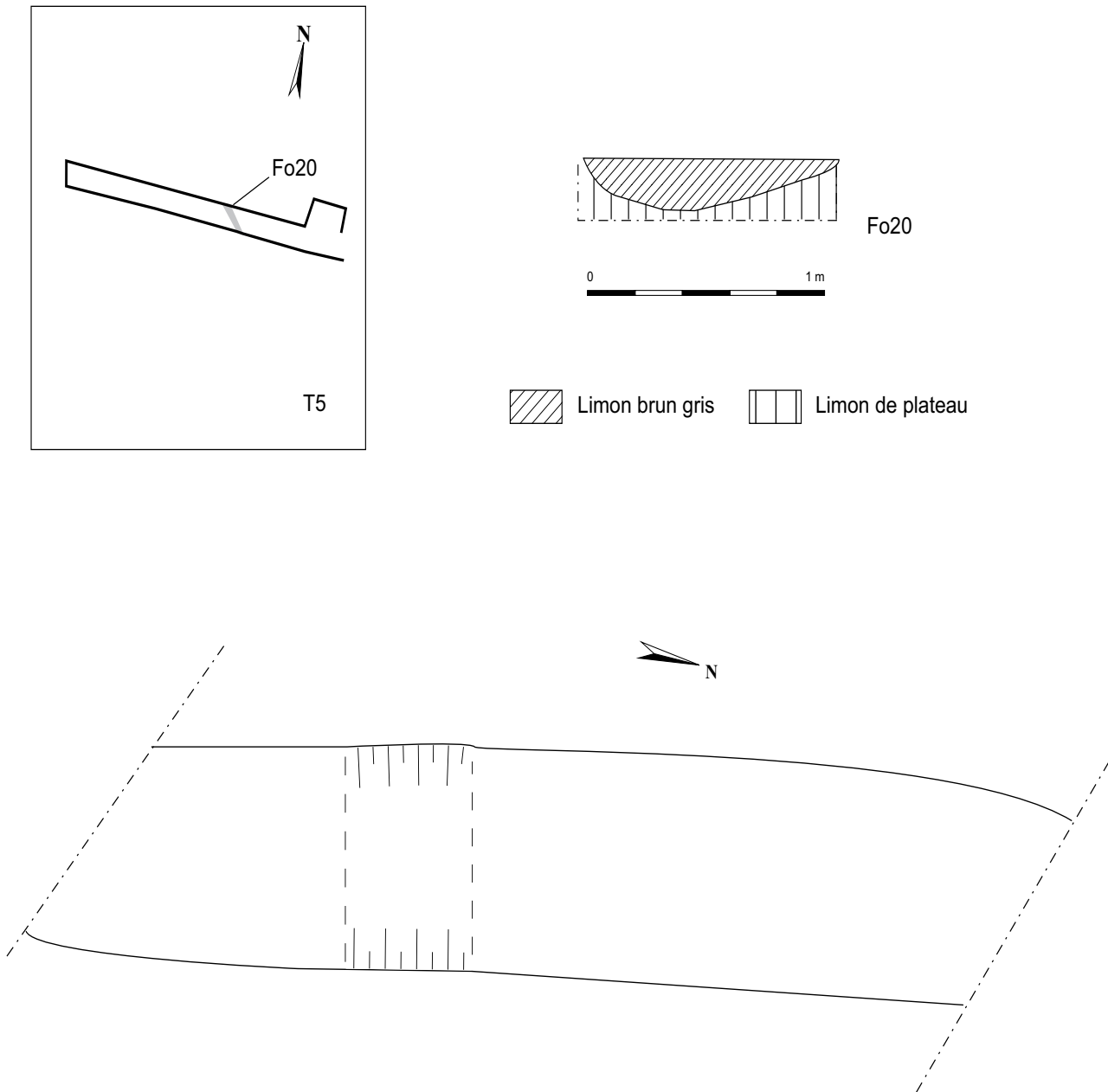


Fig. 46 : Plan et coupe du segment de fossé Fo20.

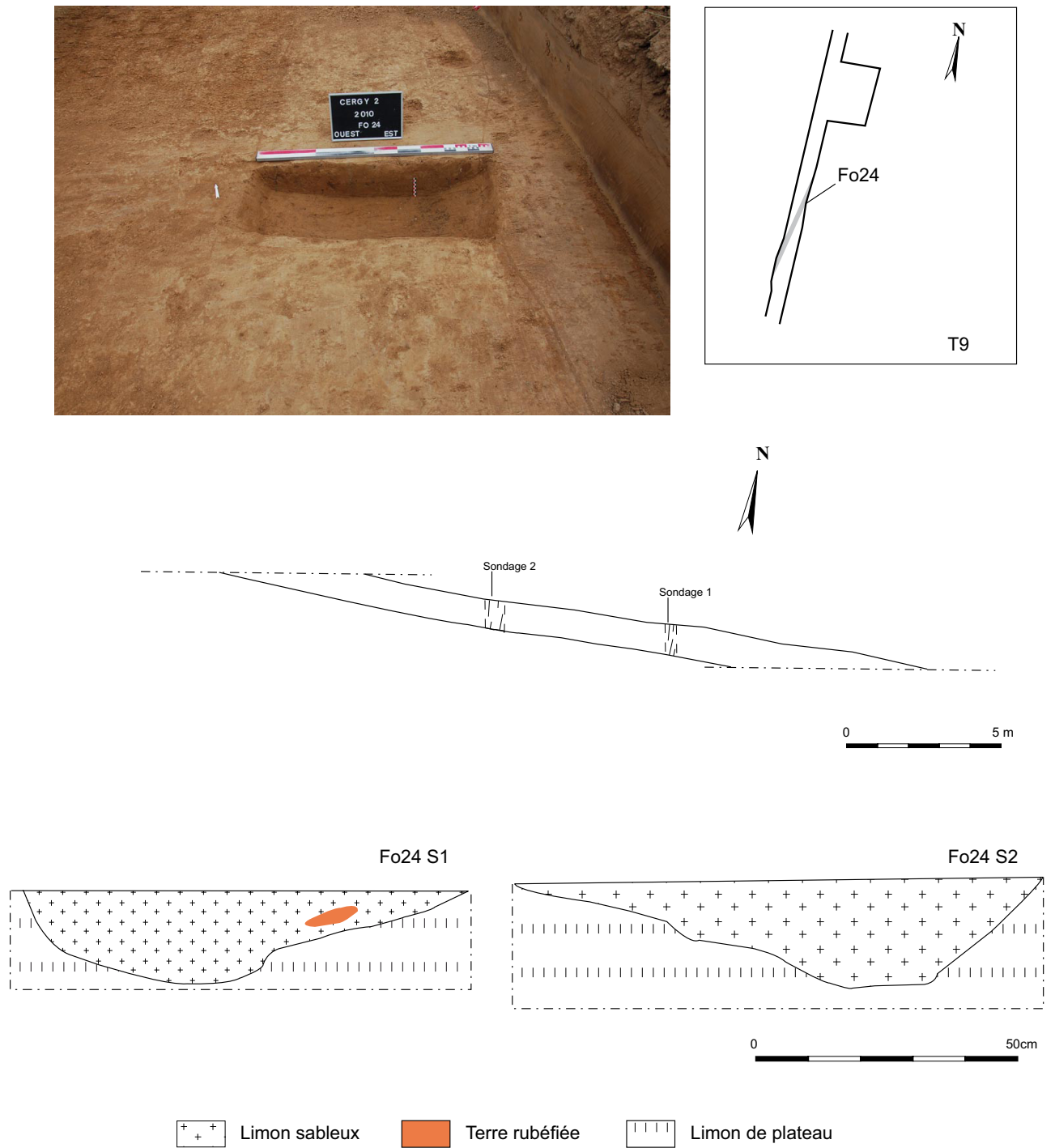


Fig. 47 : Plans et coupes des sondages 1 et 2 du tronçon de fossé Fo 24.

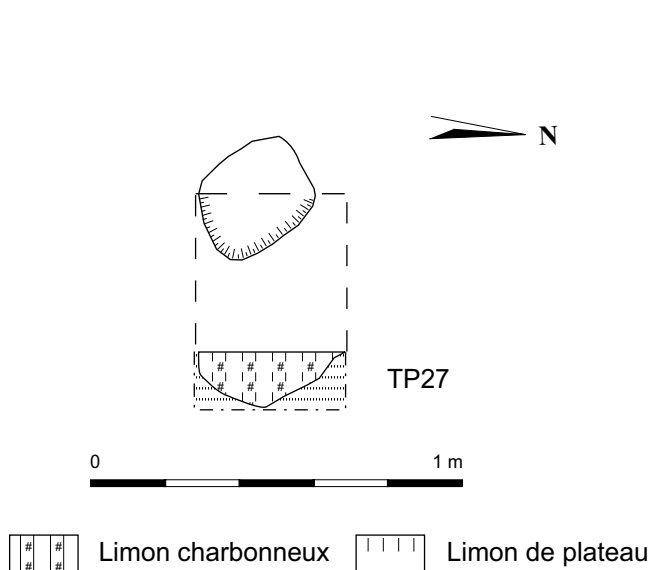


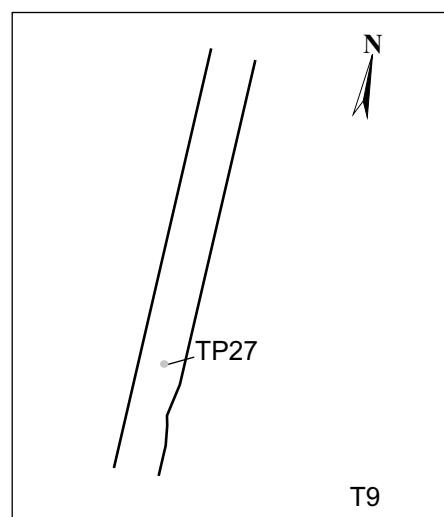
Fig. 48 : Plan et coupe du trou de poteau TP27.

V.7.4- Les structures non caractérisées

Les structures non caractérisées tant du point de vue chronologique que typologique sont au nombre de quatre.

– Structure St2 : cette structure se trouve dans la moitié nord de la tranchée 3. Il s'agit d'une fosse polylobée ou de deux fosses accolées dont le contour est sub-circulaire (fig. 49). D'un diamètre de 0,80 m pour une profondeur de 0,19 m, cette structure est creusée dans le limon. En coupe, elle présente un fond plat et des bords en pente douce. Le comblement est limoneux brun-gris avec quelques inclusions de charbon.

– Structure St13 : cette structure est localisée dans la partie sud de la tranchée 4 (fig. 6). En surface, les contours de la structure apparaissent immédiatement sous la terre végétale, à 0,40 m de profondeur. Ils forment deux bandes parallèles distantes de 13,80 m et orientées d'est en ouest, qui se poursuivent hors de l'emprise de la tranchée. Cette structure n'a pas pu être sondée sur toute sa profondeur, les investigations ayant été stoppées à 1,80 m par manque de temps (fig. 50). Les parois sont obliques et le comblement principal correspond à un limon sableux gris homogène meuble. Quelques lentilles hyromorphes apparaissent ponctuellement en coupe. Enfin, le fond du sondage a révélé une couche de limon sableux gris riche en inclusions de charbon. Divers éléments de mobilier proviennent du



comblement de cette structure. Outre des vestiges lithiques vraisemblablement néolithiques issus du comblement supérieur, plusieurs objets métalliques et des céramiques antiques proviennent du comblement inférieur. Il est donc impossible en l'état de dater cette structure. Elle reste difficile à interpréter d'un point de vue fonctionnel et nous n'excluons pas l'hypothèse d'un thalweg.

– Structure St26 : située dans la moitié nord de la tranchée 9, la structure 26 est creusée dans le limon. De plan sub-circulaire, elle mesure 1,83 m de long pour 0,77 m de large et 0,34 m de profondeur (fig. 51). Cette structure, d'orientation est / ouest, se prolonge dans la berme vers l'est. Le fond plat et les bords, en pente douce, sont irréguliers. Le comblement est limoneux argilo-sableux brun-gris, hétérogène et compact avec des inclusions blanchâtres à l'ouest et ferreuses à l'est. Aucun élément de mobilier n'est issu de cette structure.

– Structure St31 : localisée dans la moitié sud de la tranchée 10, cette structure présente un contour sub-circulaire. Elle mesure 2,50 m de long par 0,70 m de large et 0,12 m de profondeur (fig. 52). Les bords sont en pente douce et le fond est plat. Le comblement correspond à un limon brun-gris. Malgré un fort arasement, nous avons tendance à interpréter cette structure comme étant une anomalie géologique.

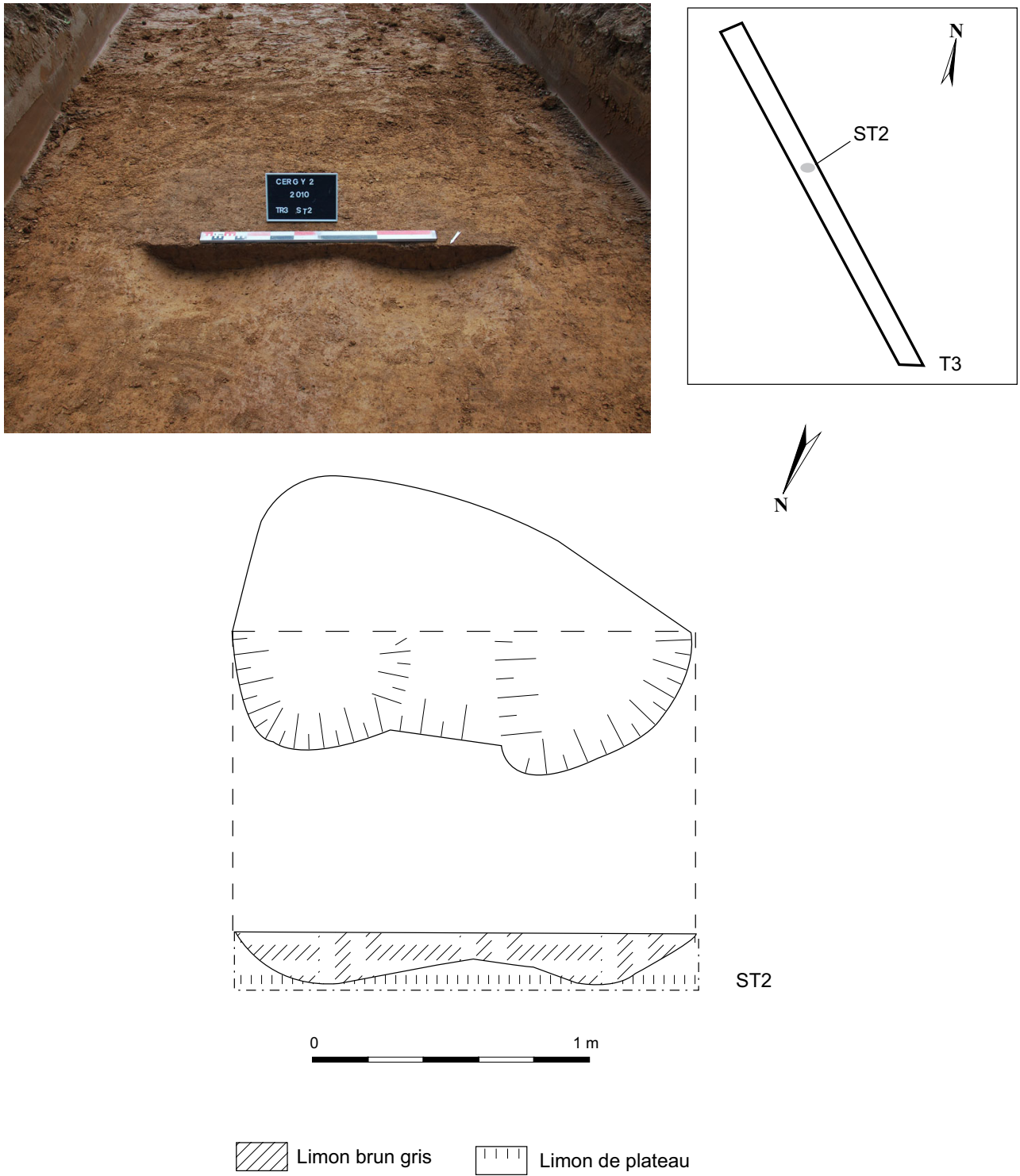


Fig. 49 : Plan et coupe de la structure ST2.

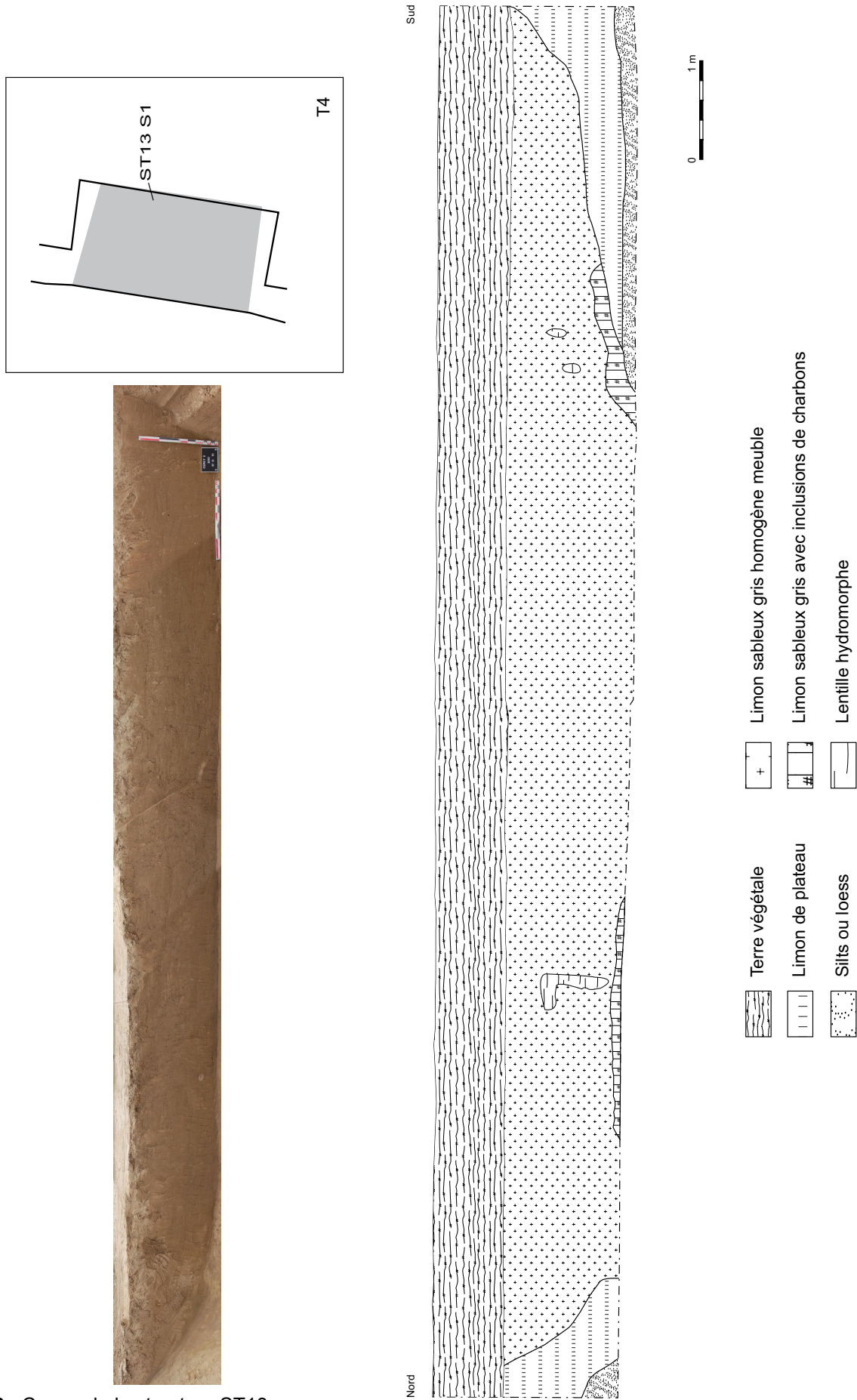


Fig. 50 : Coupe de la structure ST13.

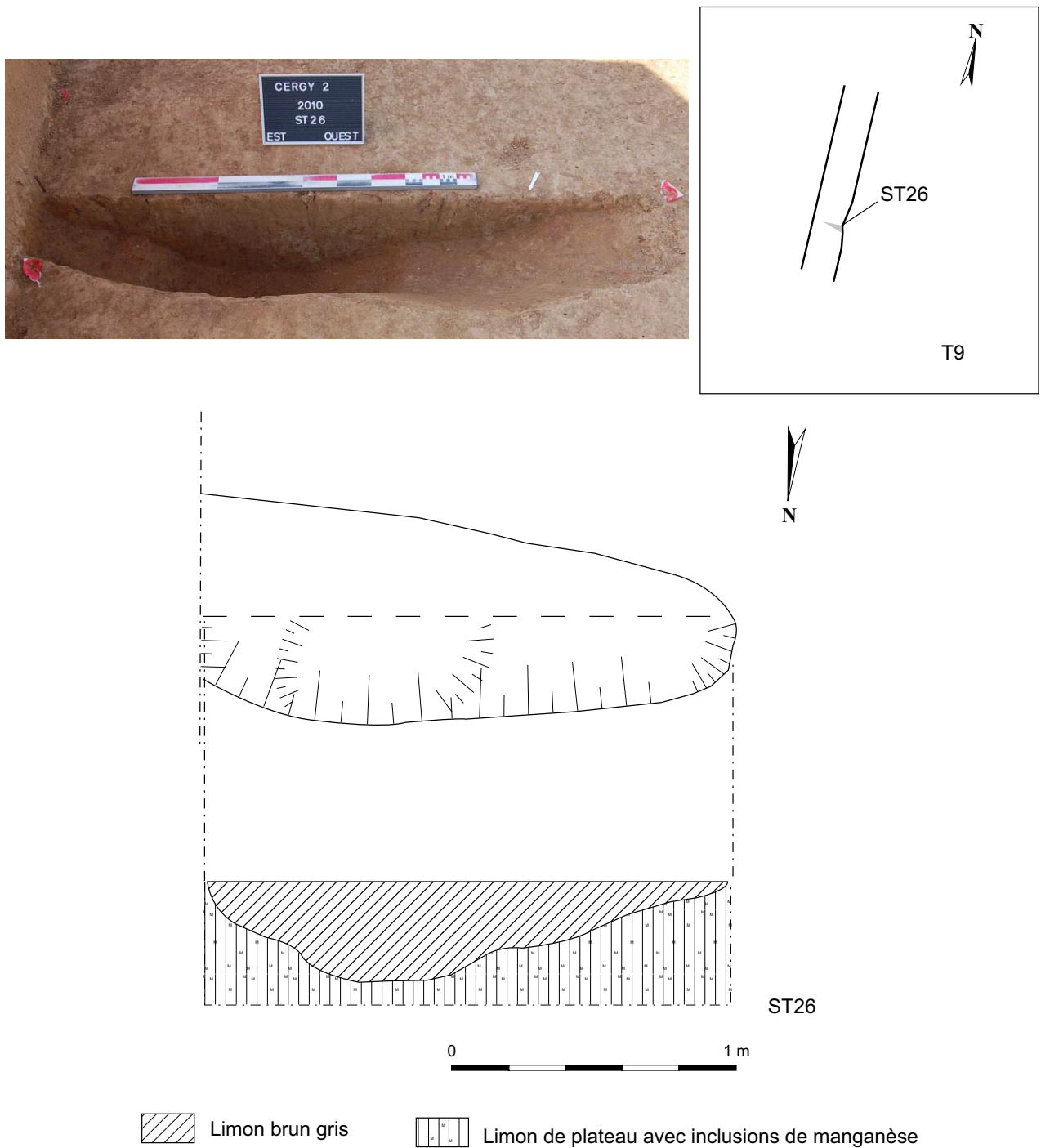


Fig. 51 : Plan et coupe de la structure ST26.

– Structure St48 : repérée dans la moitié sud de la tranchée 15, cette structure mesure 1,76 m de long par 0,50 m de large et 0,08 m de profondeur (fig. 52). En plan, le contour décrit une forme ovale, et en coupe les bords sont en pente douce ; le fond étant plat. Le remplissage se caractérise par un limon sableux très compact, homogène brun-gris clair comportant de petites inclusions de charbon. Il pourrait ici s’agir d’un chablis.

VI- Conclusion générale

Le diagnostic réalisé au lieu-dit « ZAC des Linandes » à Cergy entre le 1^{er} et le 30 juin 2010 a révélé de nouveaux indices d’occupation témoignant d’une fréquentation répétée du site au cours du temps.

L’époque néolithique est illustrée par un petit groupe de structures repéré dans l’emprise du

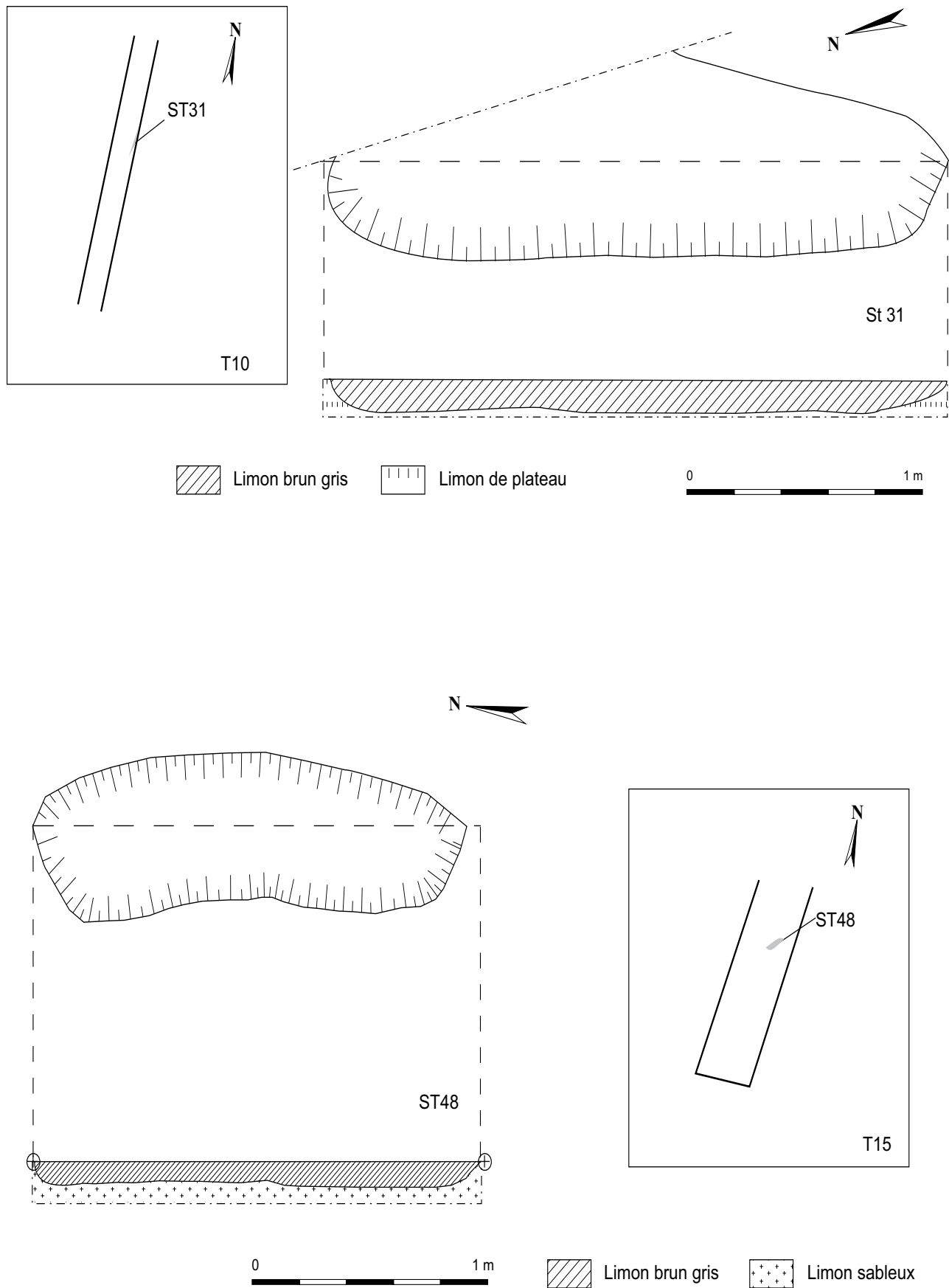


Fig. 52 : Plans et coupes des structures ST31 et ST48.

secteur C, au nord-est. Ce petit ensemble de fosses et de fossés attribué au Néolithique récent pourrait correspondre à un habitat sommaire qui n'est pas sans rappeler les vestiges découverts sur le site de la ZAC Olympium à Herblay.

Les témoins d'occupation renvoyant au second âge du Fer sont peu nombreux et très dispersés. Certains d'entre eux attestent d'une occupation dès la fin de la Tène moyenne, c'est-à-dire peu avant l'implantation d'un vaste système d'enclos plus à l'ouest.

L'Antiquité est une époque représentée par deux structures très arasées complexe à interpréter. Peut-être trahissent-elles la proximité d'un établissement beaucoup plus conséquent, qui reste à découvrir ?

Le Moyen-Âge et l'Époque moderne sont des périodes principalement représentées par une voie de grande circulation correspondant au Vieux Chemin de Rouen, déjà repéré par des opérations antérieures. Cependant, cette voie présente un meilleur état de conservation dans ce secteur de la plaine, puisqu'elle est apparue pavée sur plusieurs mètres.

Ce résultat suscite de nouvelles interrogations. L'axe de circulation était-il pavé sur l'ensemble de son tracé ? Pourrait-on dater avec finesse le premier état de la voie, ce que ce diagnostic n'a pas permis ? Peut-on enfin envisager la présence de sites médiévaux aux abords immédiats de ce chemin (relais, maladrerie etc.) comme semblent le suggérer les plans anciens ?

La nouvelle phase de diagnostic, qui se déroule depuis le 1^{er} septembre 2010 dans la plaine des Linandes (Cergy « ZAC des Linandes » 2, phase 2) viendra sans doute compléter ces données et enrichir notre connaissance de l'évolution d'un territoire au cours du temps.

VII- Bibliographie

Allard 2005 : ALLARD (P.) – L'industrie lithique des populations rubanées du nord-est de la France et de la Belgique. M. Leidorf, Rahden, 2005 = éditeur ? (pas à la doc..)

Provost et al. 2007 : PROVOST (M.) dir. , BARAT (Y.), DUFAÏ (B.), RENAULT (I.) – Les Yvelines, 78. Paris : Académie des Inscriptions et Belles-Lettres, 2007. (Carte archéologique de la Gaule ; 78).

Provost 1993 : PROVOST (M.) dir., CLIQUET (D.) – L'Eure, 27. Paris : Académie des Inscriptions et Belles-Lettres, 1993 (Carte archéologique de la Gaule ; 27).

Hurard 2010 : HURARD (S.) – Val-d'Oise, Bruyères-sur-Oise, Rue de Boran, « Les Cailloux », archéologie du village médiéval et réseau routier (Xe-XVe s.) : Enclos fossoyé et habitat laténien (Tène moyenne – Tène finale) : Rapport de diagnostic archéologique du 07/10/09 au 06/11/09. Paris : INRAP, SRA Ile-de-France, 2010.

Lardy 1976 : LARDY (J.-M.) – De la Préhistoire à l'Histoire en Vexin Français. Bulletin Archéologique du Vexin Français, 11, 1976, p. 85-114.

Lemaire 1980 : LEMAIRE (G.) – Osny, découverte et sauvetage d'un site gallo-romain en bordure de la Chaussée Jules-César. Bulletin Archéologique du Vexin Français, 16, 1980, p. 30-31.

Léon, Adrian 1999 : LÉON (G.), ADRIAN (Y.-M.) – Déviation de la RN 14 – Saint-Clair-Sur-Epte (Val d'Oise 95) / Guerny (Eure 27), diagnostic phase versants : Document final de synthèse de diagnostic du 12 avril au 26 juillet 1999. Paris : AFAN, SRA Ile-de-France, SRA Haute-Normandie, 1999.

Lefevre 2009 : LEFEUVRE (A.) – Courdimanche, département du Val d'Oise (95), « La Touffe II » : Rapport de diagnostic archéologique du 16/02/09 au 23/007/09. Saint-Ouen-l'Aumône : SDAVO ; Paris : SRAIF, 2009.

Lefevre, Wabont 2010 : LEFEUVRE (A.), WABONT (M.) – L'antiquité gallo-romaine dans le Val-d'Oise. Vivre en Val d'Oise, 120, 2010, p. 46-49.

Ouzoulias, Van Ossel 2009 : OUZOULIAS (P.), VAN OSSEL (P.) – Petites et grandes exploitations agricoles : le cas de la Plaine de France. In : LEVAU (P.), RAYNAUD (C.), SABLAYROLLES (R.), TRÉMENT (F.) – Les formes de l’habitat gallo-romain : Terminologies et typologies à l’épreuve des réalités archéologiques : Colloque AGER VIIIO, Toulouse 2007. Bordeaux : Aquitania, 2009, p. 111-121. (Aquitania, supplément ; 17)

Ouzoulias 1991 : OUZOULIAS (P.) – Eudes Rigaud et le « Vieux Chemin » Paris-Rouen. In : CUISENIER (J.) dir. – Matière et figure. Paris, p. 17-45. (Etudes et travaux ; 3)

Pariat dir. 2009 : PARIAT (J.-G.) dir. – Cergy « ZAC des Linandes » (95), un établissement rural de la fin de l’Âge du Fer : Rapport final d’opération du 01/09/08 au 29/11/08. Saint-Ouen-l’Aumône : SDAVO ; Paris : SRAIF, 2009.

Pariat 2007 : PARIAT (J.-G.) – Cergy « ZAC des Linandes » (95) : Rapport de diagnostic archéologique du 01/10/2007 au 19/10/2007. Saint-Ouen-l’Aumône : SDAVO ; Paris : SRAIF, 2007.

Rosenberger 2006 : ROSENBERGER (F.) – Cergy « Parc d’Activités de l’Horloge – Lot B » (Val-d’Oise) : Rapport de diagnostic archéologique du 02/02/06 au 10/02/06. Paris : INRAP, SRAIF, 2006.

Collin, Toussaint 1998 : COLLIN (E.), TOUSSAINT (P.) – Nécropole mérovingienne d’Osny (Seine-et-Oise). Association française pour l’avancement des sciences, 1, 1998, p. 188.

Robert dir. 2010 : ROBERT (S.) dir. – Commeny / Guiry-en-Vexin (95), « Chaussée Jules-César – La Porte de Mantes » : Rapport de sondage archéologique programmé du 01/07/2009 au 31/07/2009 et rapport de prospection géophysique du 08/02/2010 au 09/02/2010. Saint-Ouen-l’Aumône : SDAVO, 2010.

Robert, Wabont 2008 : ROBERT (S.),

WABONT (M.) – Les odonymes ou noms de routes du Vexin français, cinq exemples de voies anciennes. Courrier scientifique du Parc Naturel Régional du Vexin Français, 4, 2008, p. 10-33.

Salanova dir. 2003 : SALANOVA (L.) dir. et AUGEREAU (A.), BOUQUET (L.), BRUNET (P.), COTTIAUX (R.), COURDERC (J.), GOUTELARD (A.), HAMON (T.), IHUEL (I.), JAMET (E.), LANGRY-FRANÇOIS (F.), LOUBOUTIN (C.), MAGNE (P.), MAINGAUD (A.), MALLET (N.), MARTINEAU (R.), MILLE (B.), MILLET-RICHARD (L.-A.), POLLONI (A.), RENARD (C.), RICHARD (G.), SAMZUN (A.), SIDÉRA (I.), SOHN (M.) – Le III^e millénaire avant J.-C. dans le Centre Nord de la France : définitions et interactions des groupes culturels : Bilan de 3 années de recherche, Rapport de 3^e année. Nanterre : CNRS, 2003. 2 vol.

Tarrête 1985 : TARRÊTE (J.) – Informations archéologiques. Gallia Préhistoire, 28, 1985, p. 263-266.

Vermeersch et al. 2007 : VERMEERSCH (D.), JOBIC (F.), WABONT (M.) – L’agglomération antique de Beaumont-sur-Oise (Val-d’Oise). In : HANOUNE (R.) dir. – Les villes romaines du Nord de la Gaule, vingt ans de recherches nouvelles : actes du XXV^e colloque international de HALMA-IPEL UMR CNRS 8164. Villeneuve-d’Ascq : Université Charles-de-Gaulles – Lille 3, 2007. p. 99-132. (Revue du Nord, hors série, coll. Art et Archéologie ; 10).

Annexe 1

Inventaire des structures

structures

n° st/US	Tranchée	Secteur	Type	Description	Plan	Photo	Coup	Lon	Larg	Dia	Prof	Fouille	Traité à	Mobilier	Attribution
6	4	A	Fossé	Fossé peu profond, profil en V. Remplissage de limon sableux gris-brun avec rares inclusions de charbon. Encaissant : limon de plateau.	<input checked="" type="checkbox"/>	<input checked="" type="checkbox"/>	<input checked="" type="checkbox"/>		0,90		0,40	manuelle	10%	absent	indéterminé
7	4	A	Fossé	Fossé à profil en U, parois évasées. Fond arrondi. Comblement limono-sableux jaune clair homogène. Encaissant : limon de plateau.	<input checked="" type="checkbox"/>	<input checked="" type="checkbox"/>	<input checked="" type="checkbox"/>		0,60		0,20	manuelle	10%	présent	âge du fer
8	4	A	Voie	Structure empierrée très large apparue immédiatement sous les labours. Non fouillée dans cette tranchée.	<input type="checkbox"/>	<input type="checkbox"/>	<input type="checkbox"/>					non fouillée	0%	non renseigné	moderne

n°st/US	Tranchée	Secteur	Type	Description	Plan	Photo	Coup	Lon	Larg	Dia	Prof	Fouille	Traité à	Mobilier	Attribution
13	4	A	Indéterminé	<p>Sondage 1 : Structure très large sondée mécaniquement. Sous la végétale, les bords sont rectilignes. Par contre, les parois sont obliques vers la limite du sondage à 1,80 m. Au final, le fond n'a pas été atteint du fait de la trop grande profondeur. Dans le comblement, nombreuses percolations. A 1,80 m, lit irrégulier de charbon. Problème de strati inversée : silix plutôt néo à 1 m sous la surface, céramique et métal vers 1,80 m.</p> <p>Hypothèse d'interprétation : ancien talweg.</p>	<input type="checkbox"/>	<input checked="" type="checkbox"/>	<input checked="" type="checkbox"/>		13,60		1,80	mécanique	10%	présent	antiquité

n° st/ US	Tranchée	Secteur	Type	Description	Plan	Photo	Coup	Lon	Larg	Dia	Prof	Fouille	Traité à	Mobilier	Attribution
9	5	A	Trou de poteau	Structure sub-circulaire peu profonde (10 cm max), bords en pente douce. Remblai brun jaune compact et homogène sans mobilier, nombreuses tâches grisâtres dans remblai.	<input checked="" type="checkbox"/>	<input checked="" type="checkbox"/>	<input checked="" type="checkbox"/>		0,40	0,10		manuelle	50%	absent	contemporain
10	5	A	Trou de poteau	Trou de poteau au contour circulaire. Bords droits et fond plat. Remblai gris foncé homogène peu compact avec nombreux cailloux, en particulier vers le fond de couche (calage ?). Encaissant : limon de plateau.	<input checked="" type="checkbox"/>	<input checked="" type="checkbox"/>	<input checked="" type="checkbox"/>		0,60	0,29		manuelle	50%	présent	contemporain

n°st/US	Tranchée	Secteur	Type	Description	Plan	Photo	Coup	Lon	Larg	Dia	Prof	Fouille	Traité à	Mobilier	Attribution
11	5	A	Trou de poteau	Trou de poteau au contour circulaire, peu profond. Bords en pente douce. Remblai limono-argileux brun gris homogène et peu compact sans mobilier ni inclusion. Encaissant : limon de plateau.	<input checked="" type="checkbox"/>	<input checked="" type="checkbox"/>	<input checked="" type="checkbox"/>		0,40	0,10		manuelle	50%	absent	contemporain
12	5	A	Fossé	Non fouillé. Hyp : contemporain car fonctionne avec TP 9, 10, 11.	<input type="checkbox"/>	<input type="checkbox"/>	<input type="checkbox"/>					non fouillé	0%	non renseigné	contemporain

n° st/ US	Tranchée	Secteur	Type	Description	Plan	Photo	Coup	Lon	Larg	Dia	Prof	Fouille	Traité à	Mobilier	Attribution
19	5	A	Fossé	Fossé dont le tracé semble se prolonger sous la route départementale 913. Il présente un profil en U avec évasement des parois. Le comblement est sableux limoneux gris clair et comporte des inclusions de charbon. Le mobilier est rare. Orientation nord-est / sud-ouest	<input checked="" type="checkbox"/>	<input checked="" type="checkbox"/>	<input checked="" type="checkbox"/>		1,50		0,60	mécanique	10%	présent	protohistoire
20	5	A	Fossé	Fossé rectiligne, d'orientation nord-sud, avec remplissage limoneux brun gris et rares inclusions de charbon. Pas de mobilier. Bords en pente douce. Faible profondeur : arasement ? Encaissant : limon de plateau.	<input checked="" type="checkbox"/>	<input checked="" type="checkbox"/>	<input checked="" type="checkbox"/>		1		0,20	manuelle	10%	absent	indéterminé

n°st/ US	Tranchée	Secteur	Type	Description	Plan	Photo	Coup	Lon	Larg	Dia	Prof	Fouille	Traité à	Mobilier	Attribution
14	6	A	Fossé	Fossé bordier de la voie 8 d'environ 1,50 m de large, bords en pente douce. Fond plat. Complètement limono-sableux brun gris peu compact homogène avec quelques inclusions blanches. Encaissant : limon de plateau. Profil régulier. Céramique médiévale ou moderne.	<input checked="" type="checkbox"/>	<input checked="" type="checkbox"/>	<input checked="" type="checkbox"/>		1,50		0,22	manuelle	10%	présent	moderne
15	7	A	Fossé	Fossé bordier de la voie V8, non fouillé.	<input type="checkbox"/>	<input type="checkbox"/>	<input type="checkbox"/>					non fouillé	0%	non renseigné	moyen âge
8	7	A	Voie	Non fouillé.	<input type="checkbox"/>	<input type="checkbox"/>	<input type="checkbox"/>					non fouillé	0%	non renseigné	moyen âge
16	7	A	Fossé	Fossé bordier de V8. Non fouillé.	<input type="checkbox"/>	<input type="checkbox"/>	<input type="checkbox"/>					non fouillé	0%	non renseigné	moyen âge
17	7	A	Fossé	Fossé bordier de V8. Non fouillé.	<input type="checkbox"/>	<input type="checkbox"/>	<input type="checkbox"/>					non fouillé	0%	non renseigné	moyen âge

n°s/ US	Tranchée	Secteur	Type	Description	Plan	Photo	Coup	Lon	Larg	Dia	Prof	Fouille	Traité à	Mobilier	Attribution
LOG1	7	A	Sondage géologique	Quelques vestiges proviennent d'un horizon sablo-limoneux gris.	<input checked="" type="checkbox"/>	<input checked="" type="checkbox"/>	<input checked="" type="checkbox"/>					mécanique	0%	présent	indéterminé
18	7	A	Fosse	Contour ovale. Profil en U évasé vers le haut. Comblement : limon brun orangé hétérogène, présence de nodules calcaires, silex, mobilier métallique et céramique, nucléus roulé (1,20 m sous décapage). Encaissant : limon de plateau puis loess. Structure difficilement datable, présence de TCA antique, de lithique néolithique et de métal médiéval.	<input checked="" type="checkbox"/>	<input checked="" type="checkbox"/>	<input checked="" type="checkbox"/>		3		1,70	manuelle	10%	présent	indéterminé

n°st/ US	Tranchée	Secteur	Type	Description	Plan	Photo	Coup	Lon	Larg	Dia	Prof	Fouille	Traité à	Mobilier	Attribution
21	8	A	Fosse	Fosse au contour très irrégulier. Les bords sont réguliers et en pente douce. Par contre, le fond est irrégulier. Comblement : limon argileux brun, compact. Quelques nodules calcaires, TCA, silex, céramique, petit bloc de mortier jaune, clous, intaille. Présence de mobilier lithique attribuable au Néolithique (intrusif). Encaissant : limon de plateau.	<input checked="" type="checkbox"/>	<input checked="" type="checkbox"/>	<input checked="" type="checkbox"/>	5,10	3,75	0,30	0,30	manuelle	50%	présent	antiquité
23	8	A	Fossé	Fossé d'orientation nord-est / sud-ouest. Fossé qui semble fonctionner avec st 21. Comblement : limon argileux jaunâtre homogène. Encaissant : limon de plateau.	<input type="checkbox"/>	<input type="checkbox"/>	<input checked="" type="checkbox"/>			0,30	0,30	manuelle	10%	absent	antiquité

n° st/ US	Tranchée	Secteur	Type	Description	Plan	Photo	Coup	Lon	Larg	Dia	Prof	Fouille	Traité à	Mobilier	Attribution
8	8	A	Voie	Orientation est/ouest. Coupe : 1- Limon sableux jaune, homogène, friable. 2- Limon argileux orangé, homogène compact, présence d'oxyde de fer. Mobilier : céramique antique ? Os animal, matériel de mouture, métal. Lithique néolithique, céramique protohistorique, fer médiéval, alliage cuivreux moderne.	<input type="checkbox"/>	<input checked="" type="checkbox"/>	<input checked="" type="checkbox"/>					mécanique	10%	présent	moderne
22	9	A	Fossé	Fossé d'orientation nord-est / sud-ouest. Non fouillé.	<input type="checkbox"/>	<input type="checkbox"/>	<input type="checkbox"/>					non fouillé	0%	non renseigné	indéterminé

n°st/US	Tranchée	Secteur	Type	Description	Plan	Photo	Coup	Lon	Larg	Dia	Prof	Fouille	Traité à	Mobilier	Attribution
24	9	A	Fossé	Fossé à profil en U évasé. Parois en pente douce. Fond arrondi. Comblement : sédiment sablo-limoneux (mélange limon/loess). Deux sondages S1 et S2. Dans S2, présence de limon rubéfié.	<input checked="" type="checkbox"/>	<input checked="" type="checkbox"/>	<input checked="" type="checkbox"/>		1,60	0,34	0,34	manuelle	10%	absent	indéterminé
25	9	A	Fossé	Fossé bordier de V8. Ce fossé présente un fond arrondi et les parois sont en pente douce. Le comblement se caractérise par un limon sableux brun gris homogène compact, sans inclusions.	<input type="checkbox"/>	<input checked="" type="checkbox"/>	<input checked="" type="checkbox"/>		0,30	0,50	0,50	manuelle	10%	absent	moyen âge

n°s/ US	Tranchée	Secteur	Type	Description	Plan	Photo	Coup	Lon	Larg	Dia	Prof	Fouille	Traité à	Mobilier	Attribution
8	9	A	Voie	<p>Sondage 1 : en coupe, les deux fossés bordiers latéraux ont livré des pierres à la base du remplissage. Au nord, il y a un fossé bordier et de nombreuses ornières.</p> <p>Hypothèse : la voie a été pavée uniquement dans son étape finale.</p> <p>Au cours d'une étape antérieure, la voie se caractérise par un limon sableux brun gris.</p> <p>Mobilier : métal, céramique, verre, monnaie, TCA.</p> <p>Céramique et verre moderne, monnaie Bas Moyen-Âge / Moderne.</p>	<input type="checkbox"/>	<input checked="" type="checkbox"/>	<input checked="" type="checkbox"/>		1,80		0,30	manuelle	10%	présent	moderne

n°st/US	Tranchée	Secteur	Type	Description	Plan	Photo	Coup	Lon	Larg	Dia	Prof	Fouille	Traité à	Mobilier	Attribution
26	9	A	Fosse	Fosse oblongue d'orientation est / ouest. Fosse qui se prolonge possiblement au-delà dans la berme est. Bords en pente douce sur les extrémités et en pente forte sur le bord nord. Comblement : limon argilo-sableux brun gris hétérogène et compact avec inclusions blanchâtres vers l'ouest et inclusions ferreuses vers l'est. Absence de mobilier. Encaissant : limon argileux jaune gris avec inclusions (magnésée?). Niveau d'apparition sous végétale : 0,64 m.	<input checked="" type="checkbox"/>	<input checked="" type="checkbox"/>	<input checked="" type="checkbox"/>	1,83	0,77		0,34	manuelle	50%	absent	indéterminé

n° st/ US	Tranchée	Secteur	Type	Description	Plan	Photo	Coup	Lon	Larg	Dia	Prof	Fouille	Traité à	Mobilier	Attribution
27	9	A	Trou de poteau	Trou de poteau circulaire dont les bords sont en pente douce. Comblement : remblai charbonneux avec quelques petites inclusions de terre rubéfiée mélangée à un limon brun jaune argileux.	<input type="checkbox"/>	<input type="checkbox"/>	<input type="checkbox"/>		0,40	0,12		manuelle	50%	absent	indéterminé
28	9	A	Fosse	Petite fosse subovale peu profonde. Bords en pente très douce, fond plat. Comblement : limon argileux brun gris très compact et homogène sans inclusions ni mobilier. Encaissant : limon de plateau. Niveau d'apparition : 0,60 m sous végétale.	<input checked="" type="checkbox"/>	<input checked="" type="checkbox"/>	<input checked="" type="checkbox"/>	1,10	0,70		0,08	manuelle	50%	absent	indéterminé

n°st/US	Tranchée	Secteur	Type	Description	Plan	Photo	Coup	Lon	Larg	Dia	Prof	Fouille	Traité à	Mobilier	Attribution
29	9	A	Fosse	Fosse au contour circulaire et à profil en U. Parois régulières et symétriques. Comblement : limon argileux gris compact, inclusions de charbon. Encaissant : limon de plateau. Mobilier : silex, céramique, métal. Céramique Haut Moyen Age, lithique Néolithique.	<input checked="" type="checkbox"/>	<input checked="" type="checkbox"/>	<input checked="" type="checkbox"/>		0,70	0,36		manuelle	50%	présent	indéterminé
30	9	A	Fossé	Fossé d'orientation nord / sud. Fossé passant sous la voir V8 au nord, et disparaissant au sud. Bords en pente douce, fond plat. Comblement : limon argileux brun gris peu compact et homogène sans inclusions, ni mobilier. Encaissant : limon de plateau.	<input checked="" type="checkbox"/>	<input checked="" type="checkbox"/>	<input checked="" type="checkbox"/>		0,60	0,10		manuelle	10%	absent	moyen âge

n° st/ US	Tranchée	Secteur	Type	Description	Plan	Photo	Coup	Lon	Larg	Dia	Prof	Fouille	Traité à	Mobilier	Attribution
54	9	A	Fossé	Fossé d'orientation nord-est/sud-ouest. Non fouillé.	<input type="checkbox"/>	<input type="checkbox"/>	<input type="checkbox"/>					non fouillé	0%	non renseigné	indéterminé
8	10	A	Voie	Non fouillée. Mobilier découvert lors du décapage : verre, TCA.	<input type="checkbox"/>	<input type="checkbox"/>	<input type="checkbox"/>					non fouillé	0%	non renseigné	moyen âge
31	10	A	Fosse ou chablis	Structure dont le creusement n'est peut-être pas d'origine anthropique. Bords en pente douce, fond plat très peu profond. Comblement : limon brun gris. Encaissant : limon de plateau. Niveau d'apparition sous végétale : 0,45 m.	<input checked="" type="checkbox"/>	<input checked="" type="checkbox"/>	<input checked="" type="checkbox"/>	2,50	0,70		0,12	manuelle	50%	absent	indéterminé

n°st/US	Tranchée	Secteur	Type	Description	Plan	Photo	Coup	Lon	Larg	Dia	Prof	Fouille	Traité à	Mobilier	Attribution
32	10	A	Fosse	Fosse subcirculaire de 1 m de diamètre, peu profonde. Fond plat et bords en pente douce. Comblement : limon sableux brun gris homogène et compact. Présence de quelques silex naturels. Encaissant : limon de plateau. Niveau d'apparition sous végétale : 0,50 m.	<input checked="" type="checkbox"/>	<input checked="" type="checkbox"/>	<input checked="" type="checkbox"/>		1	0,20		manuelle	50%	absent	indéterminé
33	12	A	Fosse	Une partie de la structure se trouve dans la berme (la moitié à peu près). Les bords suivent un pendage assez fort et le profil est en cuvette. Faible profondeur. Comblement : limon argileux brun gris jaune avec inclusions de charbon. Encaissant : limon de plateau. Niveau d'apparition : 0,65 m sous végétale.	<input checked="" type="checkbox"/>	<input checked="" type="checkbox"/>	<input checked="" type="checkbox"/>		0,60	0,23		manuelle	50%	absent	indéterminé

n° st/ US	Tranchée	Secteur	Type	Description	Plan	Photo	Coup	Lon	Larg	Dia	Prof	Fouille	Traité à	Mobilier	Attribution
34	13	B	Voie	Chemin d'Osny, non fouillé car tranchée réalisée par erreur dans l'emprise de la phase 2.	<input type="checkbox"/>	<input type="checkbox"/>	<input type="checkbox"/>					non fouillé	0%	non renseigné	moderne
35	13	B	Fosse ?	Non fouillé car tranchée réalisée par erreur dans l'emprise de la phase 2.	<input type="checkbox"/>	<input type="checkbox"/>	<input type="checkbox"/>					non fouillé	0%	non renseigné	indéterminé

n°st/US	Tranchée	Secteur	Type	Description	Plan	Photo	Coup	Lon	Larg	Dia	Prof	Fouille	Traité à	Mobilier	Attribution
36	14	B	Silo	Contour circulaire et profil en forme de poire. Fond légèrement arrondi. Diamètre à la base : 1,30 m. Au moins cinq couches se distinguent : 1- couche supérieure : limon gris foncé avec peu de mobilier (0-20 cm). 2- Couche de limon gris avec terre rubéfiée et mobilier (20-50 cm). 3- Argile verte homogène collante (50-80 cm). 4- Argile et loess meuble, bleu gris vert (80-1m). 5- Limon et charbons très denses (1m jusqu'au fond). Le sédiment de cette dernière couche a été prélevé. Mobilier : silex, céramique, os, gros lithique (mouture), torchis.	<input checked="" type="checkbox"/>	<input checked="" type="checkbox"/>	<input checked="" type="checkbox"/>	1,16	1,20		manuelle	100%	présent	âge du fer	

n° s/ US	Tranchée	Secteur	Type	Description	Plan	Photo	Coup	Lon	Larg	Dia	Prof	Fouille	Traité à	Mobilier	Attribution
37	14	B	Fosse	Fosse ovale aux bords en pente douce, peu profonde. La partie nord semble avoir été recoupée par un second creusement au sud. Complètement homogène limoneux brun gris peu compact avec de nombreuses inclusions charbonneuses. Profondeur d'apparition sous végétale : 0,65 m. Encaissant : limon de plateau.	<input type="checkbox"/>	<input type="checkbox"/>	<input type="checkbox"/>	2,47	1,40		0,23	manuelle	100%	présent	néolithique
38	14	B	Fossé	Fossé bordier de V8 ? Non fouillé.	<input type="checkbox"/>	<input type="checkbox"/>	<input type="checkbox"/>					non fouillé	0%	non renseigné	moderne

n°st/US	Tranchée	Secteur	Type	Description	Plan	Photo	Coup	Lon	Larg	Dia	Prof	Fouille	Traité à	Mobilier	Attribution
39	14	B	Chablis	Contour ovale, bords en pente douce, fond plat. Faible profondeur. Comblement : limon argilo-sableux brun jaune gris très compact et homogène. Absence d'inclusions et de mobilier. Encaissant : limon de plateau. Niveau d'apparition sous végétale : 0,55 m.	<input checked="" type="checkbox"/>	<input checked="" type="checkbox"/>	<input checked="" type="checkbox"/>	1,32	0,90		0,10	manuelle	50%	absent	indéterminé
40	14	B	Fosse ou chablis	Fosse ou chablis ovale. Bords sud et nord en pente douce. Bord est plus accentué. Comblement : limon argilo-sableux brun gris très compact et homogène, quelques rares charbons dans la partie supérieure. Absence de mobilier. Encaissant : limon de plateau. Niveau d'apparition sous végétale : 0,60 m.	<input checked="" type="checkbox"/>	<input checked="" type="checkbox"/>	<input checked="" type="checkbox"/>	1,30	0,50		0,16	manuelle	50%	absent	indéterminé

n° st/ US	Tranchée	Secteur	Type	Description	Plan	Photo	Coup	Lon	Larg	Dia	Prof	Fouille	Traité à	Mobilier	Attribution
41	14	B	Fossé	Tronçon de fossé d'orientation nord-est / sud-ouest, non fouillé.	<input type="checkbox"/>	<input type="checkbox"/>	<input type="checkbox"/>					non fouillé	0%	non renseigné	indéterminé
42	14	B	Fossé	Fossé d'orientation nord-est / sud-ouest, non fouillé.	<input type="checkbox"/>	<input type="checkbox"/>	<input type="checkbox"/>					non fouillé	0%	non renseigné	indéterminé
43	14	B	Fossé	Fossé bordier de V8? d'orientation est-ouest, bordier de la voie médiévale V8? Non fouillé.	<input type="checkbox"/>	<input type="checkbox"/>	<input type="checkbox"/>					non fouillé	0%	non renseigné	indéterminé
44	14	B	Fossé	Fossé d'orientation est/ouest, bordier de la voie médiévale V8? Non fouillé.	<input type="checkbox"/>	<input type="checkbox"/>	<input type="checkbox"/>					non fouillé	0%	non renseigné	indéterminé

n°st/US	Tranchée	Secteur	Type	Description	Plan	Photo	Coup	Lon	Larg	Dia	Prof	Fouille	Traité à	Mobilier	Attribution
51	14	B	Fossé	Fossé rectiligne d'orientation est/ouest. Bords en pente douce, fond relativement plat mais incliné. Comblement : limon argilo-sableux brun gris avec nombreuses inclusions voire poches charbonneuses, compact et hétérogène. Encaissant : limon de plateau. Fossé qui s'interrompt vers l'est, et qui se prolonge sous la berme vers l'ouest. Niveau d'apparition sous végétale : 0,70 m.	<input checked="" type="checkbox"/>	<input checked="" type="checkbox"/>	<input checked="" type="checkbox"/>		0,90		0,30	manuelle	10%	présent	néolithique

n° st/ US	Tranchée	Secteur	Type	Description	Plan	Photo	Coup	Lon	Larg	Dia	Prof	Fouille	Traité à	Mobilier	Attribution
52	14	B	Fosse	Fonctionne avec Fo 51. Fosse de forme ovale (chablis ?). Bords en pente douce, creusement en cuvette en bordure de Fo 51. Complément gris avec inclusions blanchâtres. Absence de mobilier. Niveau d'apparition sous végétale : 0,70 m.	<input checked="" type="checkbox"/>	<input checked="" type="checkbox"/>	<input checked="" type="checkbox"/>	1,50	0,70		0,30	manuelle	100%	absent	néolithique
45	15	B	Fossé	Fossé d'orientation nord-nord-ouest / sud-sud-est, non fouillé.	<input type="checkbox"/>	<input type="checkbox"/>	<input type="checkbox"/>					non fouillé	0%	non renseigné	indéterminé
46	15	B	Fossé	Fossé bordier de V8, orientation est/ouest. Non fouillé.	<input type="checkbox"/>	<input type="checkbox"/>	<input type="checkbox"/>					non fouillé	0%	non renseigné	moyen âge
8	15	B	Voie	Non fouillée	<input type="checkbox"/>	<input type="checkbox"/>	<input type="checkbox"/>					non fouillé	0%	non renseigné	moyen âge

n°st/US	Tranchée	Secteur	Type	Description	Plan	Photo	Coup	Lon	Larg	Dia	Prof	Fouille	Traité à	Mobilier	Attribution
48	15	B	Chablis ?	Fosse / chablis ovale, peu profond. Bords en pente douce, fond plat. Remplissage de limon sableux très compact et homogène brun gris clair avec petites inclusions charbonneuses. Encaissant : limon de plateau. Niveau d'apparition sous végétale : 0,50 m.	<input checked="" type="checkbox"/>	<input checked="" type="checkbox"/>	<input checked="" type="checkbox"/>	1,76	0,50	0,08		manuelle	50%	absent	indéterminé
49	16	B	Fossé	Fossé d'orientation sud-ouest / nord-est. Non fouillé.	<input type="checkbox"/>	<input type="checkbox"/>	<input type="checkbox"/>					non fouillé	0%	non renseigné	indéterminé
53	16	B	Fossé	Fossé d'orientation est/ouest. Non fouillé.	<input type="checkbox"/>	<input type="checkbox"/>	<input type="checkbox"/>					non fouillé	0%	non renseigné	indéterminé
8	16	B	Voie	Non fouillée, 3 fg métal indéterminé	<input type="checkbox"/>	<input type="checkbox"/>	<input type="checkbox"/>					manuelle	0%	présent	moyen âge
50	16	B	Fossé	Fossé d'orientation sud-ouest / nord-est. Semble se prolonger sous V8. Non fouillé.	<input type="checkbox"/>	<input type="checkbox"/>	<input type="checkbox"/>					manuelle	0%	non renseigné	indéterminé

n° st/ US	Tranchée	Secteur	Type	Description	Plan	Photo	Coup	Lon	Larg	Dia	Prof	Fouille	Traité à	Mobilier	Attribution
LOG2	16	B	Sondage géologique	Sondage réalisé par paliers de 1,30 m jusqu'à 3 m de profondeur. De nombreux silix apparaissent entre 2,20 m et 2,40 m au fond de la couche de loess, juste avant d'arriver sur le calcaire en place.	<input type="checkbox"/>	<input checked="" type="checkbox"/>	<input checked="" type="checkbox"/>					manuelle	0%	présent	indéterminé
1	3	A	Fosse	Petite fosse de forme sub-circulaire, peu profonde. I seul complètement observé, homogène, peu compact limoneux brun-gris avec nombreuses petites inclusions de charbons. Fond plat, bords en pente douce. Substrat : creusée dans le limon de plateau.	<input checked="" type="checkbox"/>	<input checked="" type="checkbox"/>	<input checked="" type="checkbox"/>		1		0,16	manuelle	50%	absent	indéterminé

n°st/US	Tranchée	Secteur	Type	Description	Plan	Photo	Coup	Lon	Larg	Dia	Prof	Fouille	Traité à	Mobilier	Attribution
2	3	A	Fosse	Deux fosses sub-circulaires, accolées. Peu profondes (max : 19 cm). Le comblement correspond à un limon gris brun avec quelques inclusions de charbons. Fond plat et bords en pente douce creusés dans le limon de plateau.	<input checked="" type="checkbox"/>	<input checked="" type="checkbox"/>	<input checked="" type="checkbox"/>		0,80	0,19		manuelle	50%	absent	indéterminé
3	3	A	Fosse	Comblement limoneux argileux gris clair homogène, inclusions de charbons de bois. Contour circulaire, profil asymétrique. Fond arrondi. Encaissant : limon de plateau	<input checked="" type="checkbox"/>	<input checked="" type="checkbox"/>	<input checked="" type="checkbox"/>		0,70	0,40		manuelle	50%	absent	indéterminé
4	3	A	Fossé	Non fouillé, orientation est-ouest.	<input type="checkbox"/>	<input type="checkbox"/>	<input type="checkbox"/>					non fouillé	0%	non renseigné	indéterminé

n° st/ US	Tranchée	Secteur	Type	Description	Plan	Photo	Coup	Lon	Larg	Dia	Prof	Fouille	Traité à	Mobilier	Attribution
5	4	A	Fossé	Fossé aux parois obliques et à fond irrégulier. Peu large et peu profond. Comblement limono-argileux gris homogène, traces de percolation. Encaissant : limon de plateau.	<input type="checkbox"/>	<input checked="" type="checkbox"/>	<input checked="" type="checkbox"/>		0,40		0,16	manuelle	10%	absent	indéterminé

Annexe 2
Inventaire du mobilier

meublier

Matériau	NSTUS	Description	Attribution	NR	Boîte n°	Sac n°	Dessin
alliage cuivreux	F18 T7	Moitié Est -50cm. Elément d'applique moulé muni de deux trous de fixation sur les côtés. Domaine: Mobilier Parure. Dimensions: Long: 13mm, Largeur: 7 mm. Poids: 0,5g. Chronologie: Antique ou Médiéval. Lieu de conservation: Labo SDAVO.	moyen âge	1	14	15	<input type="checkbox"/>
alliage cuivreux	ST21 T8	9 Fragments contemporains. Déblais. Domaine: Divers. Poids: 26g. Lieu de conservation: Labo SDAVO.	contemporain	8	14	14	<input type="checkbox"/>
alliage cuivreux	V8 T8	Dans pavés. Ferret formé d'une tôle de cuivre enroulée sur elle-même. Domaine: Personnel. Dimensions: Long: 20mm. Poids: 0,5g. Datation: Médiéval ou Moderne. Lieu de conservation: Labo SDAVO.	moderne	1	14	26	<input type="checkbox"/>

Matériau	NSTUS	Description	Attribution	NR	Boîte n°	Sac n°	Dessin
alliage cuivreux	V8 T9	Plaque rectangulaire. Traces de fixation circulaire par enfoncement. Domaine: indéterminé. Poids: 0,5g. Lieu de conservation: Labo SDAVO.	indéterminé	1	14	31	<input type="checkbox"/>
alliage cuivreux	V8 T9	Dans pavés. 2 fragments épingle. Datation: Moderne ou Médiéval. Poids: 0,5g. Lieu de conservation: Labo SDAVO.	moderne	2	14	37	<input type="checkbox"/>
alliage cuivreux	V8 T9	Dans pavement. Monnaie en billon. Droit: Grand "H" Couronne. Légende: [+Henri]DEI.G.REX.NAVAR.D.B.Re vers: Croix pattée. Légende: [GR]A.DEI.SVM.ID. QVOD.SVM.Pays: Navarre. Autorité: Henri II de Navarre. Espèce: Liard. Datation: 1516-1555. Etat de conservation: B. Dia: 12mm. Couche: V851 Phase 1. Domaine: Economique. Poids: 1g. Lieu de conservation: Labo SDAVO.	moderne	1	14	36	<input type="checkbox"/>

Matériau	NSTUS	Description	Attribution	NR	Boîte n°	Sac n°	Dessin
alliage cuivreux	V8 T9	Fouille dans pavement.Monnaie très détériorée, illisible. Billon.Droit: Flan lisse.Revers: Flan lisse. Datation: Indéterminé (Moderne ou Médiévale ?)Domaine:Economique.Poids: 0,5g.Lieu de conservation:Labo SDAVO.	moderne	1	14	35	<input type="checkbox"/>
alliage cuivreux	V8 T9	Dans pavés. Epingle à tête sphérique rapportée obtenue par enroulement d'un fil. Domaine: Personnel. Dimensions: Long: 11mm. Poids: 0,5g. Datation: Médiéval-Moderne.Lieu de conservation: Labo SDAVO	moderne	1	14	33	<input type="checkbox"/>
alliage cuivreux	V8 T9	Dans pavés. Tige de section circulaire.Domaine: indéterminé. Poids: 0,5g.Lieu de conservation:Labo SDAVO.	indéterminé	1	14	32	<input type="checkbox"/>
alliage cuivreux	V8 T9	Dans Pavés. Epingle à tête sphérique rapportée.Domaine: Personnel.Dimensions: Long: 22mm.Datation: Médiéval ou Moderne ? Poids: 0,5g.Lieu de conservation:Labo SDAVO.	moderne	1	14	27	<input type="checkbox"/>

Matériau	NSTUS	Description	Attribution	NR	Boîte n°	Sac n°	Dessin
céramique	F29 T9	Plusieurs fragments à pâte sableuse rose. Surface un peu granuleuse. Poids: 21,5g	haut moyen âge	6	3	121	<input type="checkbox"/>
céramique	F36 T14	Décapage surface. 2 fragments mi-fins, pâte sableuse, micacée, non tournés d'un même vase. Poids: 6,5g.	âge du fer	2	13	210	<input type="checkbox"/>
céramique	F36 T14	Moitié ouest. Profondeur: -60-70cm. 1 fragment non tourné, grossier, sableux, quartz. Poids: 8,5g.	âge du fer	1	13	207	<input type="checkbox"/>
céramique	F36 T14	Profondeur: 0-10cm. 1 fragment non tourné, grossier, sableux (quartz). Face extérieure grossière, régularisée à la main. / 1 fragment de pâte mi-fine sableuse, micacée/Plusieurs fragments de fond: grossier, sableux, traces de végétal (NR:6), fond de pot. Poids: 40,5g.	âge du fer	9	13	212	<input type="checkbox"/>
céramique	F36 T14	Moitié est. Profondeur: -80-90cm. 2 fragments à pâte mi-fine sableuse, micacée, lissée. Poids: 22g.	âge du fer	2	13	201	<input type="checkbox"/>
céramique	F36 T14	Moitié ouest. Profondeur: -20cm. Fragment indéterminé. Poids: 4g.	âge du fer	1	13	190	<input type="checkbox"/>

Matériau	NSTUS	Description	Attribution	NR	Boîte n°	Sac n°	Dessin
céramique	F36 T14	Moitié est.Profondeur: 1m-1,10m.2 fragments non tournés, mi-fins, sableux.Face extérieure polie. Aspect savonneux, doux et brillant. Bord de petite jatte carénée. Lèvre droite simple, col haut.Poids: 17g.	âge du fer	2	13	189	<input type="checkbox"/>
céramique	F36 T14	Nettoyage parois et fond. 1 fragment non tourné, mi-fin, sableux.Face extérieure polie. Poids: 10g.	âge du fer	1	13	188	<input type="checkbox"/>
céramique	F36 T14	Moitié est.Profondeur: -20-30cm.1 fragment grossier, sableux, non tourné./1 fragment indéterminé, mi-fin, sableux, bord indéterminé. Datation: Tène finale/Gallo-romain.Poids: 8,5g.	âge du fer	2	13	209	<input type="checkbox"/>
céramique	F36 T14	Moitié ouest.Profondeur: 0,90m-1m.1 fragment mi-fine, micacée. Poids: 6,5g.	âge du fer	1	13	208	<input type="checkbox"/>
céramique	F36 T14	Moitié ouest.Profondeur: -40cm.1 fragment non tourné, grossier, sableux, cuisson réductrice irrégulière. Poids: 12,5g.	âge du fer	2	13	192	<input type="checkbox"/>

Matériau	NSTUS	Description	Attribution	NR	Boîte n°	Sac n°	Dessin
céramique	F36 T14	Moitié ouest.Profondeur: -80-90cm.1 fragment à pâte sableuse, non tournée, micacée, mi-fine./1 peu plus épais. Vase non tourné.Poids: 22,5g.	âge du fer	2	13	206	<input type="checkbox"/>
céramique	F36 T14	Moitié ouest.Profondeur: 1m-1,20m.1 fragment mi-fin lustré./1 fragment non tourné, grossier, sableux, dégraissant coquillé. Poids: 9g.	âge du fer	2	13	205	<input type="checkbox"/>
céramique	F36 T14	Moitié est.Profondeur: -60-70cm. 1 tesson non tourné, grossier, sableux, traces de végétal, mal cuit, lissé.Poids: 17,5g.	âge du fer	1	13	204	<input type="checkbox"/>
céramique	F36 T14	Moitié est. Profondeur: -40-50cm. 2 fragments de non tourné, grossier, sableux, mal cuit../9 fragments non tournés, pâte mi-fine, sableuse, légèrement micacée, lissée avec soin.Cuisson réductrice assez bien maîtrisée./1 fragments indéterminé.Poids: 61,5g.	âge du fer	12	13	187	<input type="checkbox"/>
céramique	F36 T14	Moitié ouest.Profondeur: 0,90m-1m.4 fragments du même vase, non tourné, pâte mi-fine, sableux, dégraissant micacé, surface lissée. Poids: 41g.	âge du fer	4	13	202	<input type="checkbox"/>

Matériau	NSTUS	Description	Attribution	NR	Boîte n°	Sac n°	Dessin
céramique	F36 T14	Moitié ouest. Profondeur: -30cm.1 fragment non tourné, mi-fin, sableux, surfaces lissées. Idem à Sac 184. Poids: 13g.	âge du fer	1	13	183	<input type="checkbox"/>
céramique	F36 T14	Moitié est.Profondeur: -50-60cm.5 fragments d'un fond plat: galette non tournée, mi-fin, sableux, micacé./1 fragment de grossier non tourné, sableux, lissé. Poids: 34g.	âge du fer	6	13	199	<input type="checkbox"/>
céramique	F36 T14	Parois et fond.1 tesson à pâte mi-fine, non tourné, lustré à l'intérieur et à l'extérieur. Probable reprise au tour ? Poids: 12g.	âge du fer	1	13	198	<input type="checkbox"/>
céramique	F36 T14	Nettoyage fond. 1 bord qui recolle avec Sac 196, très bien cuit. Ecuelle.Poids: 4g.	âge du fer	1	13	197	<input type="checkbox"/>
céramique	F36 T14	Moitié est. Profondeur: 1m-1,20m.Céramique provenant du tri des refus de tamis des prélèvements 5/7, 6/7 et 7/7.3 fragments jointifs à pâte mi-fine, sableuse avec calcaire / 1 bord à lèvre droite simple arrondie. Hypothèse: même vase. Ecuelle. Recollage avec Sac 197.Poids: 14g.	âge du fer	3	13	196	<input type="checkbox"/>

Matériau	NSTUS	Description	Attribution	NR	Boîte n°	Sac n°	Dessin
céramique	F36 T14	Moitié ouest. Profondeur: 1m-1,20m. 1 fragment à pâte mi-fine sableuse et lustrée. Poids: 4,5g.	âge du fer	1	13	195	<input type="checkbox"/>
céramique	F36 T14	Moitié ouest. Profondeur: -60-70cm. 1 fragment à pâte mi-fine sableuse, micacée, lissée. Poids: 5g.	âge du fer	1	13	194	<input type="checkbox"/>
céramique	F36 T14	Moitié ouest. Profondeur: -70-80cm. 11 fragments du même vase. Pâte sableuse mi-fine, non tournée, micacée. Poids: 37,5g.	âge du fer	11	13	203	<input type="checkbox"/>
céramique	F36 T14	Moitié est. Profondeur: -50-60cm. 1 fragment non tourné, grossier, sableux, dégraissant à base de quartz. /3 fragments jointifs, mi-fin-micacés, lissés avec soin. Cuisson assez bien maîtrisée. 1 profil: écuelle à fond plat et à lèvres simple droite arrondie. /2 fragments jointifs non tournés, grossiers, sableux, traces de végétaux, lissés. Poids: 104g.	âge du fer	6	13	185	<input type="checkbox"/>
céramique	F36 T14	Moitié ouest. Profondeur: -12cm. 1 fragment de bord, non tourné ? Pâte mi-fine sableuse. Poids: 2g.	âge du fer	1	13	193	<input type="checkbox"/>

Matériau	NSTUS	Description	Attribution	NR	Boîte n°	Sac n°	Dessin
<u>céramique</u>	F36 T14	Moitié ouest. Profondeur: -50-60cm sous décapage. 2 fragments non tournés, mi-fin, sableux, fine, dégraissants micacés, surfaces lissées. Idem à Sac 183. Poids: 8g.	<u>âge du fer</u>	2	13	184	<input type="checkbox"/>
<u>céramique</u>	F36 T14	Moitié ouest. Profondeur: -30cm. 1 tesson non tourné, grossier, sableux, grains de quartz, surfaces lissées. Paillettes de mica. Cuisson réductrice. Poids: 18g.	<u>âge du fer</u>	1	13	186	<input type="checkbox"/>
<u>céramique</u>	F37 T14	Moitié ouest (2ème creusement ?). Céramique appartenant au même individu que Sac 176 ?. Poids: 8,5g.	<u>néolithique</u>	2	12	177	<input type="checkbox"/>
<u>céramique</u>	F37 T14	Moitié est. Même récipient que Sacs 176 et 177 ?. Poids: 2,5g.	<u>néolithique</u>	1	12	181	<input type="checkbox"/>
<u>céramique</u>	F37 T14	Décapage surface. 20 fragments de céramique Néolithique final sans doute car pas de dégraissant à l'os ou coquillé, ce qui militerait pour une datation plus ancienne. De plus, la couleur orange sur la paroi externe renforce l'hypothèse du Néolithique final. Très roulée. Poids: 170g.	<u>néolithique</u>	20	12	176	<input type="checkbox"/>

Matériau	NSTUS	Description	Attribution	NR	Boîte n°	Sac n°	Dessin
céramique	F37 T14	Décapage/Nettoyage.1 tesson.Datation: Néolithique ou Protohistoire. Poids: 13,5g.	protohistoire	1	12	180	<input type="checkbox"/>
céramique	Fo14 T6	Décapage surface.1 fragment marqué d'une croix à la surface lissée.Datation: Indéterminée /1 fragment à pâte sableuse blanche/noire de pot ovoïde.Datation: X-XIIème s. ap. J.-C.Poids: 23g.	moyen âge classiq	2	3	122	<input type="checkbox"/>
céramique	Fo14 T6	Remplissage. 1 fragment indéterminé à pâte grise.Datation: Indéterminée.Poids: 4,5g.	indéterminé	1	3	123	<input type="checkbox"/>
céramique	Fo19 T5	Décapage puis fouille.2 fragments à pâte micacée, indéterminée, mi-fine, sableuse. Datation: Protohistoire ? .Poids: 5,5g.	protohistoire	2	13	200	<input type="checkbox"/>
céramique	ST13 S1	1/3 Sud. Profondeur: - 1,70m.Datation: IIème ou IIIème s. ap. J.-C. 9 fragments de Céramique commune à pâte grise. Poids: 113g.	antiquité	9	8	117	<input type="checkbox"/>
céramique	ST13 S1	1/3 Sud. Profondeur: - 1,70m.Datation: IIème s. ap. J.-C. Céramique commune à pâte grise. Poids: 14,5g.	antiquité	1	8	119	<input type="checkbox"/>

Matériau	NSTUS	Description	Attribution	NR	Boîte n°	Sac n°	Dessin
céramique	ST13 S1	1/3 Sud. Profondeur: - 1,80m. Datation: Ilème ou IIIème s. ap. J.-C. 6 fragments de céramique commune à pâte grise. Poids: 23,5g.	antiquité	6	8	118	<input type="checkbox"/>
céramique	ST13 S1	Décapage surface. Datation: Ilème ou IIIème s. ap. J.-C. Céramique commune à pâte grise. Poids: 6g.	antiquité	1	8	120	<input type="checkbox"/>
céramique	ST21 T8	Présence d'un couvercle./1 fragment d'amphore (importation)/1 fragment de cruche (régionale)/11 fragments de céramique commune à pâte grise/6 fragments de céramique à pâte sombre/ 10 fragments de céramique à pâte sableuse rosée indéterminée. Poids: 128,5g.	antiquité	30	8	113	<input type="checkbox"/>
céramique	ST21 T8	1 fragment de pot à cuire. Poids: 15g.	antiquité	1	8	116	<input type="checkbox"/>
céramique	ST21 T8	Profondeur: 0,20m. 1 fragment de Drag 36 (70-150 ap. J.-C./1 fragment d'amphore à huile de Bétique (Espagne du Sud)/1 fragment de bord de sigillée. Poids: 32g.	antiquité	3	8	114	<input type="checkbox"/>

Matériau	NSTUS	Description	Attribution	NR	Boîte n°	Sac n°	Dessin
céramique	ST21 T8	1 fragment de coupe en sigillée du centre. Lezoux 43. Datation: milieu II ^{ème} s. ap. J.-C./3 fragments de céramique commune à pâte grise. Poids: 42g.	antiquité	4	8	112	<input type="checkbox"/>
céramique	ST21 T8	1 fragment de Drag 37 type pot à cuire, vaisselle de table: grande variété/ 1 fragment de mortier. Datation: Première moitié II ^{ème} s. ap. J.-C./ 8 fragments de céramique à pâte blanche/ 1 bord de sigillée/ 2 fragments de céramique à pâte rose orangée/ 37 tessons de céramique commune à pâte sombre dont trois bords et un fragment d'anse. Poids: 479,5g.	antiquité	50	8	111	<input type="checkbox"/>
céramique	ST21 T8	1 fragment de céramique régionale. Poids: 12,5g.	antiquité	1	8	115	<input type="checkbox"/>
céramique	T10	Moitié nord décapage. 3 fragments de grès du Beauvaisis. Poids: 14,5g.	moderne	3	3	126	<input type="checkbox"/>
céramique	T13	Décapage. 1 fragment indéterminé. Poids: 1g.	indéterminé	1	13	211	<input type="checkbox"/>
céramique	T14	Fenêtre est. Décapage. 1 tesson. Datation: Néolithique indéterminée. Poids: 5,5g.	néolithique	1	12	179	<input type="checkbox"/>

Matériau	NSTUS	Description	Attribution	NR	Boîte n°	Sac n°	Dessin
céramique	T14	Moitié nord. Décapage.3 fragments indéterminés, non tournés ?, pâte mi-fine, sableuse, roulés. Poids: 10,5g.	protohistoire	3	13	191	<input type="checkbox"/>
céramique	T14	Décapage. 1 tesson glacuré à pâte orange. Datation: XVIIème-XVIIIème s.Poids: 11g	moderne	1	3	52	<input type="checkbox"/>
céramique	T14	Ouverture fenêtre ouest. Décapage. 1 tesson.Datation: Néolithique indéterminée.Poids: 4g.	néolithique	1	12	178	<input type="checkbox"/>
céramique	T2	Décapage. 2 tessons dont un glacuré jaune à pâte rose. Datation: XVIIème-XVIIIème s.Poids: 15,5g	moderne	2	3	54	<input type="checkbox"/>
céramique	T4	Décapage. 1 tesson de grès, fond d'une forme de stockage. Grès du beauvaisis ou de Bourgogne. Datation: XVIIème ? Poids: 57g	moderne	1	3	46	<input type="checkbox"/>
céramique	T4	Décapage. 1 tuile/ 1 anse à pâte grise en grès du beauvaisis.Datation XVIIIe-XIXème s./ 1 fond à pâte orangée.Poids: 45g	moderne	3	3	45	<input type="checkbox"/>
céramique	T5	Décapage.Un tesson glacuré à pâte claire. Forme de conservation en grès. Contextes très résiduels. Datation: XVII-XVIIIème s.Poids: 9g	moderne	1	3	51	<input type="checkbox"/>

Matériau	NSTUS	Description	Attribution	NR	Boîte n°	Sac n°	Dessin
céramique	T6	Décapage. Fragments d'une anse vernisée. Datation: XVIIIème-XVIIIème s. Poids: 32,5g	moderne	2	3	47	<input type="checkbox"/>
céramique	T7	Moitié nord. Décapage. 5 fragments grossiers, non tournés, pâte sableuse. Surface égalisée de manière assez frustrée. / 1 bord, tourné ?, pâte mi-fine sableuse, micacée: bord d'écuelle. / 2 fragments sont jointifs formant un bord légèrement déversé. Rainure sous lèvre simple arrondie. Datation: Gallo-romain précoce. Poids: 45,5g.	antiquité	8	13	182	<input type="checkbox"/>
céramique	T8	Décapage moitié sud. Fragments Tène Finale/ Antiquité gallo-romaine précoce. (1er s. ap. J.-C. maximum). Poids: 6,5g.	âge du fer	2	8	127	<input type="checkbox"/>
céramique	V8 T4	Décapage. Fragment d'une anse en grès du beauvaisis, bord de cruche, pot de conservation. Datation: XVI-XVIIème s. (au plus tôt). Poids: 89g	moderne	1	3	50	<input type="checkbox"/>
céramique	V8 T8	Profondeur: -1m. Fragments céramique proto indéterminés. Poids: 6,5g.	protohistoire	3	8	124	<input type="checkbox"/>

Matériau	NSTUS	Description	Attribution	NR	Boîte n°	Sac n°	Dessin
céramique	V8 T8	Fragments céramique proto indéterminés. Poids: 8,5g.	protohistoire	10	8	125	<input type="checkbox"/>
céramique	V8 T9	Décapage. 4 tessons en faïence de pot de chambre. Datation: XVIIIème-XIXème s.Poids: 16,5g	moderne	4	3	55	<input type="checkbox"/>
céramique	V8 T9	Décapage. 4 tessons. Ensemble hétérogène indéterminé. Datation: XIXème s.Poids: 50g	contemporain	4	3	56	<input type="checkbox"/>
céramique	V8 T9	Dans pavement. Un tesson en faïence d'un pot de chambre. Datation: XVIIIème-XIXème s.Poids: 6g	moderne	1	3	49	<input type="checkbox"/>
céramique	V8 T9	Dans pavement. 12 tessons dont une glaçure verte à pâte beige et une tuile. Contexte de consommation. Datation: XVII-XVIIIème s.Poids: 56,5g	moderne	12	3	57	<input type="checkbox"/>
céramique	V8 T9	Décapage surface. 4 tessons dont 1 fragment émoussé avec glacurée jaune. Aspect résiduel. Datation: mélange Xvème-XVIIIème.Poids: 14g	moderne	4	3	53	<input type="checkbox"/>
céramique	V8 T9	Dans pavement. 10 tessons dont un de pot de chambre. Datation: XVIIIème-XIXème s.Poids: 33g	moderne	10	3	48	<input type="checkbox"/>

Matériau	NSTUS	Description	Attribution	NR	Boîte n°	Sac n°	Dessin
divers	F36 T14	Moitié est. Graines provenant du tri des refus de tamis des prélèvements 5/7, 6/7 et 7/7 dans couche charbonneuse. Profondeur: -1m/-1,20m. Poids: 2,5g	âge du fer	8	10	140	<input type="checkbox"/>
divers	F36 T14	Refus de tamis pour malaco, microfaune et autre provenant de la moitié ouest. Fond de structure, couche de comblement. Profondeur: -1m / -1,20m. Couche charbonneuse. Prélèvements 1/7 et 4/7. Poids après tamisage : 565g	âge du fer	0	2	44	<input type="checkbox"/>
divers	F36 T14	Refus de tamis pour malaco, microfaune et autre provenant du nettoyage fond de structure. Couche charbonneuse. Poids après tamisage : 463,5g	âge du fer	0	2	43	<input type="checkbox"/>
divers	F36 T14	Refus de tamis pour malaco, microfaune et autre provenant de la moitié ouest. Fond de structure, couche de comblement. Profondeur: -1m / -1,20m. Couche charbonneuse. Prélèvements 2/7 et 3/7. Poids après tamisage : 473g	âge du fer	0	2	42	<input type="checkbox"/>

Matériau	NSTUS	Description	Attribution	NR	Boîte n°	Sac n°	Dessin
divers	F36 T14	Moitié ouest. Graines provenant du tri des refus de tamis des prélèvements 5/7, 6/7 et 7/7. Profondeur: -1m/-1,20m. Poids: 2,5g	âge du fer	4	10	136	<input type="checkbox"/>
divers	F36 T14	Moitié ouest. Graines provenant du tri des refus de tamis des prélèvements 1/7 et 4/7 dans couche charbonneuse. Profondeur: -1m/-1,20m. Poids: 1,5g	âge du fer	5	10	137	<input type="checkbox"/>
divers	F36 T14	Moitié ouest. Torchis. Profondeur: -1m/-1,20m. Dimensions: Long: 5cm Largeur: 2,5cm. Epaisseur: 2cm. Poids: 40g	âge du fer	1	4	70	<input type="checkbox"/>
divers	F36 T14	Moitié ouest. Graines provenant du tri des refus de tamis des prélèvements 1/7 et 4/7 dans couche charbonneuse. Profondeur: -1m/-1,20m. Poids: 2g	âge du fer	3	10	139	<input type="checkbox"/>
divers	F36 T14	Moitié est. Torchis (petits nodules). Profondeur: -1m/-1,20m. Poids du sac: 344g	âge du fer	0	4	67	<input type="checkbox"/>

Matériau	NSTUS	Description	Attribution	NR	Boîte n°	Sac n°	Dessin
divers	F36 T14	Refus de tamis pour malaco, microfaune et autre provenant de la moitié est. Fond de structure, couche de comblement. Profondeur: -1m / -1,20m. Couche carbonneuse. Prélèvement 5/7, 6/7 et 7/7. Poids après tamisage : 956,5g	âge du fer	0	2	41	<input type="checkbox"/>
divers	F36 T14	Moitié ouest. 1 Graine.Profondeur: -1m/-1,20m.Poids: 2g	âge du fer	1	10	138	<input type="checkbox"/>
divers	F36 T14	Refus de tamis pour charbons et carpo,provenant de la moitié ouest. Fond de structure, couche de comblement.Profondeur: -1m / -1,20m. Couche carbonneuse. Prélèvement 1/7 et 4/7. Poids après tamisage : 67,5g	âge du fer	0	2	38	<input type="checkbox"/>
divers	F36 T14	Nettoyage fond. Torchis (petits nodules).Poids du sac: 34,5g	âge du fer	0	4	68	<input type="checkbox"/>
divers	F36 T14	Refus de tamis pour charbons et carpo, provenant de la moitié est. Fond de structure, couche de comblement. Profondeur: -1m / -1,20m. Couche carbonneuse. Prélèvements 5/7 6/7 et 7/7. Poids après tamisage : 107g	âge du fer	0	2	40	<input type="checkbox"/>

Matériau	NSTUS	Description	Attribution	NR	Boîte n°	Sac n°	Dessin
divers	F36 T14	Moitié ouest. Torchis (petits nodules) provenant du tri des refus de tamis des prélèvements 4/7 et 1/7. Profondeur: -1m/-1,20m. Poids du sac: 136,5g	âge du fer	0	4	66	<input type="checkbox"/>
divers	F36 T14	Moitié ouest. Torchis (petits nodules) provenant du tri des refus de tamis des prélèvements 2/7 et 3/7. Profondeur: -1m/-1,20m. Poids du sac: 138,5g	âge du fer	0	4	65	<input type="checkbox"/>
divers	F36 T14	Moitié ouest. Torchis (petits nodules). Profondeur: -1m/-1,20m. Poids du sac: 57,5g	âge du fer	0	4	64	<input type="checkbox"/>
divers	F36 T14	Moitié est. Torchis (petits nodules) provenant du tri des refus de tamis des prélèvements 5/7, 6/7 et 7/7. Profondeur: -1m/-1,20m. Dimensions: Long: 8cm Largeur: 5cm Epaisseur: 2cm. Poids: 64,5g	âge du fer	0	4	63	<input type="checkbox"/>
divers	F36 T14	Parois et fond (nettoyage). Torchis. Dimensions: Long: 8cm Largeur: 5cm Epaisseur: 2cm. Poids: 49,5g	âge du fer	1	4	62	<input type="checkbox"/>

Matériau	NSTUS	Description	Attribution	NR	Boîte n°	Sac n°	Dessin
divers	F36 T14	Torchis. Echantillon de terre rubéfiée retrouvée au dessus du mélange loess/limon qui caractérise le fond. Hypothèse: bouchon suite à effondrement de paroi. Profondeur: -0,80m / -0,90m. Dimensions: Long: 10cm Largeur: 9cm Epaisseur: 6cm. Poids: 305g	âge du fer	1	4	61	<input type="checkbox"/>
divers	F36 T14	Moitié est. Torchis. Profondeur: -1m/-1,20m. Dimensions: Long: 8cm Largeur: 5cm. Epaisseur: 2cm. Poids: 64,5g / Dimensions: Long: 11cm Largeur: 8cm Epaisseur: 5cm. Poids: 259g / Dimensions: Long: 3cm Largeur: 2cm Epaisseur: 1cm. Poids: 5g / Dimensions: Long: 3cm Largeur: 5cm Epaisseur: 1cm. Poids: 3g	âge du fer	4	4	60	<input type="checkbox"/>
divers	F36 T14	Moitié ouest. Torchis. Profondeur: 1m/1,20m. Dimensions: Long: 13cm Largeur: 6cm Epaisseur: 3cm. Poids: 260g	âge du fer	1	4	59	<input type="checkbox"/>
divers	F36 T14	Moitié ouest. Torchis. Profondeur: 0,90m-1m. Dimensions: Long: 11cm Largeur: 8cm Epaisseur: 3cm. Poids: 257,5g	âge du fer	1	4	58	<input type="checkbox"/>

Matériau	NSTUS	Description	Attribution	NR	Boîte n°	Sac n°	Dessin
divers	F36 T14	Moitié ouest. Torchis (nodules).Profondeur: -1m/-1,20m.Poids du sac: 218g	âge du fer	0	4	69	<input type="checkbox"/>
divers	F36 T14	Refus de tamis pour charbons et carpo, provenant de la moitié ouest. Fond de structure, couche de comblement. Profondeur: -1m / -1,20m. Couche charbonneuse. Prélèvements 2/7 et 3/7. Poids après tamisage : 108,5g	âge du fer	0	2	39	<input type="checkbox"/>
divers	Fo T14	Torchis. Poids: 17,5g	indéterminé	4	5	72	<input type="checkbox"/>
fer	F29 T9	Tête de clou de menuiserie plate carré. Domaine: Construction. Poids: 11,5g/ 3 fragments de tige de section carré. Domaine: Indéterminé. Poids: 9,5g.Lieu de conservation:Dépôt.	indéterminé	3	1	23	<input type="checkbox"/>
fer	Fo19 S1	Clou de menuiserie tête plate circulaire, tige de section carrée. Domaine: Construction.Lieu de conservation: Dépôt. Dimensions: Long: 60mm.Poids: 14g.	âge du fer	1	1	28	<input type="checkbox"/>

Matériau	NSTUS	Description	Attribution	NR	Boîte n°	Sac n°	Dessin
fer	Fo7 T4	Clou décoratif, tête plate circulaire. Domaine: Mobilier. Poids: 3,5g.Dimensions: Dia tête: 16mm Long: 18 mm. Lieu de conservation: Dépôt.	indéterminé	1	1	9	<input type="checkbox"/>
fer	ST13 S1	Prof d'apparition: 1,70m.Indéterminable. Domaine: Indéterminé.Poids: 8,5g.Lieu de conservation: Dépôt.	indéterminé	1	1	17	<input type="checkbox"/>
fer	ST13 S1	Sondage 1 -1,50m Zone centrale. 3 éléments métalliques dont 2 indéterminables et une tige de section carré. Domaine: Indéterminé.Lieu de conservation: Dépôt. Poids total: 21g	indéterminé	3	1	4	<input type="checkbox"/>
fer	ST13 S1	Scorie. Domaine: Production. Poids: 4g.Lieu de conservation:Dépôt.	indéterminé	1	1	7	<input type="checkbox"/>
fer	ST21 T8	Clé à tige coudée fonctionnant par retrait.Anneau méplat fragmentaire, bossettes losangiques. Domaine: Mobilier. Dimensions: Long: 83mm. Poids: 14,5g.Lieu de conservation:Dépôt.	antiquité	1	1	24	<input type="checkbox"/>

Matériau	NSTUS	Description	Attribution	NR	Boîte n°	Sac n°	Dessin
fer	ST21 T8	Bague à intaille: support en fer, ornement en cornaline. Domaine: Personnel. Datation: Ile s. apr.	antiquité	1	1	34	<input type="checkbox"/>
fer	ST21 T8	1 clou de chaussure à tête pleine pyramidale et tige de section carré. Domaine transport. Dimensions: Long: 14mm. Poids: 1,5g / 4 fragments de tige de section rectangulaire.Poids: 4,5g.Lieu de conservation: Dépôt.	antiquité	5	1	11	<input type="checkbox"/>
fer	ST21 T8	3 clous de menuiserie, tête plate circulaire, tige de section carré. Domaine: Construction. Poids: 31g./ Clou de chaussure à tête pleine pyramidale et tige de section carré. Lieu de conservation: Dépôt.Poids: 1,5g.	antiquité	4	1	18	<input type="checkbox"/>
fer	T1	Décapage. 2 scories. Domaine: Production.Poids: 28,5g.Lieu de conservation: Dépôt.	indéterminé	2	1	21	<input type="checkbox"/>
fer	T1	Décapage (0,60cm). Plaque rectangulaire. Domaine: indéterminé. Lieu de conservation: Dépôt.Poids: 68,5g.	indéterminé	1	1	8	<input type="checkbox"/>

Matériau	NSTUS	Description	Attribution	NR	Boîte n°	Sac n°	Dessin
fer	T13	Clou de menuiserie, tête plate circulaire, tige de section carré. Domaine: Construction. Poids: 4g. Dimensions: Long: 36mm dia tête: 12mm. Lieu de conservation: Dépôt.	indéterminé	1	1	3	<input type="checkbox"/>
fer	T2	Hors contexte. Fragment de tige. Domaine: Indéterminé. Dimensions: Long: 50 mm. Poids: 17g. Lieu de conservation: Dépôt.	indéterminé	1	1	13	<input type="checkbox"/>
fer	T6	Décapage, clou de menuiserie, tête plate circulaire, tige de section carré. Domaine: construction. Dimensions: dia tête 23 mm long: 32 mm. Lieu de conservation: Dépôt. Poids: 8,5g.	indéterminé	1	1	1	<input type="checkbox"/>
fer	T8	Décapage Zone centrale. Scorie. Domaine: Production. Poids: 116,5g. Lieu de conservation: Dépôt.	indéterminé	10	1	25	<input type="checkbox"/>
fer	V8 S1 T9	-0,15m. Clou de ferrure en clé de violon, probablement riveté par retournement. Domaine: Transport. Dimensions: Long: 29mm. Poids: 3,5g. Antiquité ? Lieu de conservation: Dépôt.	antiquité	1	1	5	<input type="checkbox"/>

Matériau	NSTUS	Description	Attribution	NR	Boîte n°	Sac n°	Dessin
fer	V8 S1 T9	Clou de ferrure en clé de violon, probablement riveté par retournement. Domaine: Transport. Poids: 17,5g.Lieu de conservation:Dépôt.	indéterminé	1	1	30	<input type="checkbox"/>
fer	V8 T16	Indéterminable. Domaine: indéterminé.Dimensions: long: 56 mm largeur: 33 mm épaisseur: 16 mm. Lieu de conservation: Dépôt.Poids:62g.	indéterminé	1	1	2	<input type="checkbox"/>
fer	V8 T16	Décapage. Tige plate lacunaire.Domaine: Indéterminé. Dimensions: Long: 36 mm. Poids: 4,5g.Lieu de conservation: Dépôt.	indéterminé	2	1	6	<input type="checkbox"/>
fer	V8 T8	Clou de ferrure en clé de violon. Domaine: Transport. Dimensions: Long: 23mm. Poids: 3,5g / Clou indéterminable. Domaine: indéterminé. Lieu de conservation: Dépôt. Poids: 4g	indéterminé	2	1	20	<input type="checkbox"/>

Matériau	NSTUS	Description	Attribution	NR	Boîte n°	Sac n°	Dessin
fer	V8 T8	Eperon ?. La tige de section quadrangulaire ayant subi un fort écrasement comprend à une extrémité un système de fixation lacunaire. Les branches sont arrondies et droites. La branche opposée est brisée, la pointe massive est repliée à son extrémité. Domaine: Transport. Dimensions: Long: 14 mm. Poids: 58,5g Médiéval ?.Lieu de conservation: Dépôt.	moyen âge	1	1	12	<input type="checkbox"/>
fer	V8 T8	Décapage. Rivet à refoulement. Domaine: Indéterminé. Dimensions: Long: 27 mm. Poids: 3,5g./ Clou de ferrure ? Domaine: Transport. Dimensions: Long: 53mm. Poids: 20,5g. / Clou de menuiserie, tête plate circulaire, tige de section carré fragmentaire. Domaine: Construction. Poids: 28g. Lieu de conservation: Dépôt.	indéterminé	3	1	19	<input type="checkbox"/>
fer	V8 T9	Fouille. Prof: 0,30m. Clou de menuiserie à tête plate circulaire et à tige de section carré. Domaine: Construction. Dimensions: Long: 53mm. Lieu de conservation: Dépôt. Poids: 17,5g	indéterminé	1	1	29	<input type="checkbox"/>

Matériau	NSTUS	Description	Attribution	NR	Boîte n°	Sac n°	Dessin
fer	V8 T9	Décapage. Clou de menuiserie, tête plate carré, tige de section carré. Domaine: Construction. Poids: 14 g. Dimensions: Dia tête: 23mm Long: 32mm / Clou de menuiserie, tête plate carré, tige de section carré lacunaire. Poids: 18g Dimensions: Dia tête: 22mm. Lieu de conservation: Dépôt.	indéterminé	2	1	10	<input type="checkbox"/>
fer	V8 T9	Fouille. Crochet?. Domaine: Indéterminé. Dimensions: Long: 44mm. Poids: 14,5g. Lieu de conservation: Dépôt.	indéterminé	1	1	16	<input type="checkbox"/>
fer	V8 T9	Dans pavés. Objet indéterminé. Tige de section rectangulaire effilée se terminant par un crochet. Domaine: Indéterminé. Dimensions: Long: 46 mm. Poids: 5g / Clou ou clavette. Domaine indéterminé. Dimensions: Long: 75mm. Poids: 30,5g / Clou de ferrure ? Domaine: Transport?. Dimensions: Long: 75 mm. Poids: 4,5g. / Tête de clou de construction tête plate rectangulaire massive. Domaine: Construction. Poids: 88g. Lieu de conservation: Dépôt.	indéterminé	4	1	22	<input type="checkbox"/>

Matériau	NSTUS	Description	Attribution	NR	Boîte n°	Sac n°	Dessin
lithique	F18 T7	< 1,20m. Nucléus à éclat sans plan de frappe préférentiel (enlèvement au coup par coup). Silex secondaire.Poids: 142g.	néolithique	1	11	145	<input type="checkbox"/>
lithique	F29 T9	1 éclat brûlé.Silex secondaire.Poids: 3g.	néolithique	1	11	166	<input type="checkbox"/>
lithique	F36 T14	Moitié ouest. Profondeur: -30cm.1 éclat. Silex secondaire.Poids: 1g.	néolithique	1	11	162	<input type="checkbox"/>
lithique	F36 T14	Moitié ouest. Profondeur: -60cm.1 éclat. Silex secondaire.Poids: 0,5g.	néolithique	1	11	160	<input type="checkbox"/>
lithique	F36 T14	Moitié est. Profondeur: -20-30cm.2 éclats. Silex secondaire.Poids: 1g.	néolithique	2	11	169	<input type="checkbox"/>
lithique	F36 T14	Moitié Est. Profondeur: -50cm-60cm1 éclat. Silex secondaire.Poids: 18,5g.	néolithique	1	11	173	<input type="checkbox"/>
lithique	F36 T14	Moitié est. Profondeur: 40-50cm.1 éclat. Silex secondaire.Poids: 18g.	néolithique	1	11	159	<input type="checkbox"/>
lithique	F36 T14	Moitié ouest. Profondeur: -60cm-70cm.2 éclats. Silex secondaire.Poids: 0,5g.	néolithique	2	11	163	<input type="checkbox"/>
lithique	F36 T14	Décapage surface. 1 éclat. Silex secondaire.Poids: 2,5g.	néolithique	1	11	158	<input type="checkbox"/>

Matériau	NSTUS	Description	Attribution	NR	Boîte n°	Sac n°	Dessin
lithique	F36 T14	Moitié ouest. Profondeur: -12cm.3 éclats. Silex secondaire.Poids: 1g.	néolithique	3	11	168	<input type="checkbox"/>
lithique	F36 T14	Moitié ouest. Profondeur: -26cm.1 éclat. Silex secondaire.Poids: 0,2g.	néolithique	1	11	167	<input type="checkbox"/>
lithique	F37 T14	Décapage surface. Distal. Silex du Secondaire crétacé à zone grenue (Sénonien ou Campanien).Poids: 2,5g.	néolithique	1	11	142	<input type="checkbox"/>
lithique	Fo14 T6	Surface. 1 éclat obtenu par percussion directe avec micro retouche. Silex secondaire. Poids: 5,5g.	néolithique	1	11	144	<input type="checkbox"/>
lithique	Fo51 T14	Décapage. 1 éclat. Silex secondaire.Poids: 4g.	néolithique	1	11	161	<input type="checkbox"/>
lithique	Fo51 T14	Curage.1 éclat. Silex secondaire.Poids: 1g.	néolithique	1	11	164	<input type="checkbox"/>
lithique	Fo51 T14	Fragment de meule dormante en grès. Datation: Néolithique. Poids: 1278,5g	néolithique	1	6	109	<input type="checkbox"/>
lithique	Fo51 T14	Fouille. 3 éclats brûlés. 1 éclat obtenu par percussion directe avec 1 retouche.Hypothèse: troncature à bord abattu.Silex secondaire.Poids: 23g.	néolithique	4	11	143	<input type="checkbox"/>

Matériau	NSTUS	Description	Attribution	NR	Boîte n°	Sac n°	Dessin
lithique	ST13 S1	Zone centrale. Profondeur: -1,50m. 1 casson indéterminé. Silex secondaire. Poids: 8g.	néolithique	1	11	155	<input type="checkbox"/>
lithique	ST13 S1	Profondeur: -1,50m. 1 coche retouchée, lustrée sur éclat laminaire. Silex secondaire. Poids: 2,5g.	néolithique	1	11	146	<input type="checkbox"/>
lithique	ST13 S1	Profondeur: -1m. 1 éclat obtenu par percussion directe. Cônes de percussions violentes visibles sur le dessus. Silex secondaire. Poids: 54,5g.	néolithique	1	11	147	<input type="checkbox"/>
lithique	ST21 T8	1 fragment retouché. Silex secondaire. Poids: 60,5g.	néolithique	1	11	148	<input type="checkbox"/>
lithique	T1	Décapage 1 (0-60cm). Fragment de meule. Poids: 591,5g	néolithique	1	6	110	<input type="checkbox"/>
lithique	T1	Hors contexte. Décapage 1 (0-0,60cm). 2 éclats/ 1 coche. Silex secondaire. Poids: 21,5g.	néolithique	3	11	157	<input type="checkbox"/>

Matériau	NSTUS	Description	Attribution	NR	Boîte n°	Sac n°	Dessin
lithique	T10	Moitié nord. Décapage. 1 grattoir typique obtenu par percussion directe dure à partir d'un éclat. Hypothèse: provient de partie supérieure d'un nucléus. Silex secondaire. / 1 denticulé obtenu par percussion directe dure à partir d'un éclat. Silex secondaire. Poids: 65 g.	néolithique	2	11	150	<input type="checkbox"/>
lithique	T11	Décapage moitié nord. 3 éclats. Silex secondaire. Poids: 40,5g.	néolithique	3	11	172	<input type="checkbox"/>
lithique	T11	Décapage. Dans la coupe. 1 fragment de hache polie cassée puis reprise en grattoir sur partie distale. Talon également repris. Silex secondaire. Poids: 111,5g.	néolithique	1	11	152	<input type="checkbox"/>
lithique	T12	Hors contexte. 1 éclat obtenu par percussion indirecte. Silex secondaire. Poids: 12g.	néolithique	1	11	149	<input type="checkbox"/>
lithique	T13	Décapage. 1 éclat. Silex secondaire. Poids: 2g.	néolithique	1	11	170	<input type="checkbox"/>
lithique	T14	Moitié nord décapage. 1 coche. Silex secondaire. Poids: 33g.	néolithique	1	11	156	<input type="checkbox"/>
lithique	T4	Décapage moitié sud. 1 éclat. Silex secondaire. Poids: 35g.	néolithique	1	11	165	<input type="checkbox"/>

Matériau	NSTUS	Description	Attribution	NR	Boîte n°	Sac n°	Dessin
<u>lithique</u>	T5	Décapage.3 éclats. Silex secondaire.Poids: 72g.	<u>néolithique</u>	3	11	175	<input type="checkbox"/>
<u>lithique</u>	T6	Décapage.2 éclats. Silex secondaire. /1 pic massif avec retouches sur toutes les arêtes. Lustré sur la partie active. Silex secondaire.Date: Néolithique moyen à Néolithique final. Poids: 147,5g.	<u>néolithique</u>	3	11	153	<input type="checkbox"/>
<u>lithique</u>	T7	Décapage moitié nord.1 lame rebrousée obtenue par percussion directe dure.Lustrée sur les deux bords sans préparation. Objet utilisé mais pas forcément retouché. Silex secondaire. / 1 fragment de silex tertiaire. Racloir à retouches plates. / 1 éclat cortical obtenu par percussion directe dure, non retouché. Silex secondaire. /5 éclats non retouchés. Silex secondaire.Poids: 172g.	<u>néolithique</u>	8	11	154	<input type="checkbox"/>
<u>lithique</u>	T8	Zone centrale. Décapage.1 éclat. Silex secondaire.Poids: 7g.	<u>néolithique</u>	1	11	171	<input type="checkbox"/>

Matériau	NSTUS	Description	Attribution	NR	Boîte n°	Sac n°	Dessin
lithique	T9	Hors contexte. 1 fragment de hache polie. Silex secondaire. Hache polie cassée ayant fait l'objet d'une reprise. Quelques négatifs d'enlèvements.Hypothèse: reprise pour amincissement ou pour débitage. Poids: 142,5g.	néolithique	1	11	151	<input type="checkbox"/>
lithique	V8 T8	Décapage. Fragment de meule rotative, partie Catillus. Calcaire blanc d'aspect massif d'origine locale. Possible traitement ou façonnage de la surface meulante inobservable faute de nettoyage.Possibles traces de piquetage dans l'œil ?.Aménagement pour l'actionnement du Catillus non visible. Dimensions: Dia maximale: 24 cm Dia/écartement max: 10 cm hauteur max meule: 9 cm Hauteur du flanc: 9cm Epaisseur œil: 8 cm.Datation: Indéterminée.Poids: 2270g	indéterminé	1	6	108	<input type="checkbox"/>
lithique	V8 T8	2 éclats. Silex secondaire.Poids: 49g.	néolithique	2	11	174	<input type="checkbox"/>

Matériau	NSTUS	Description	Attribution	NR	Boîte n°	Sac n°	Dessin
os animal	F36 T14	Moitié est. Microfaune provenant du tri des refus de tamis des prélèvements 5/7, 6/7 et 7/7. Profondeur: -1m/-1,20m. Nombreux fragments d'un petit rongeur. 1 vertèbre de poisson (cyprinidé). Poids: 6g	âge du fer	0	7	85	<input type="checkbox"/>
os animal	F36 T14	Moitié Ouest. Profondeur: -60cm. Nombreux fragments de petit bétail. Poids: 2,5g.	âge du fer	0	7	100	<input type="checkbox"/>
os animal	F36 T14	Nettoyage fond. Microfaune issu des refus de tamis de des prélèvements de sédiments dans couche carbonneuse. 1 rongeur complet de type campagnol. Poids: 10g	âge du fer	0	7	83	<input type="checkbox"/>
os animal	F36 T14	Moitié Est. Profondeur: 80-90cm. 1 fragment de côte de bœuf. Absence de trace pouvant s'expliquer par une mauvaise conservation. Poids: 8,5g.	âge du fer	2	7	99	<input type="checkbox"/>

Matériau	NSTUS	Description	Attribution	NR	Boîte n°	Sac n°	Dessin
os animal	F36 T14	Moitié ouest. Profondeur: 1m-1,20m. 1 fragment de scapula de capriné. 2 à 4 fragments de côte de capriné. 1 esquille de métacarpe de capriné. Observation générale: Meilleure conservation due à faible attaque du sédiment, séjour prolongé à l'air libre. Sujet adulte. Poids: 15,5g	âge du fer	9	7	97	<input type="checkbox"/>
os animal	F36 T14	Nettoyage parois et fond. 1 phalange 3 de bœuf (immature plutôt que juvénile). 1 esquille de capriné. 1 esquille de bœuf jeune ou immature. Poids: 28,5g.	âge du fer	3	7	96	<input type="checkbox"/>
os animal	F36 T14	Moitié ouest. Microfaune provenant du tri des refus de tamis des prélèvements 2/7 et 3/7. Profondeur: - 1m/-1,20m. Nombreux fragments d'un petit rongeur de type campagnol. Poids: 3,5g	âge du fer	0	7	86	<input type="checkbox"/>
os animal	F36 T14	Moitié ouest. Microfaune provenant du tri des refus de tamis des prélèvements 4/7 et 1/7. Couche charbonneuse. Une tarse ou carpe de cochon, nombreux fragments de rongeur (plus de deux individus) de type campagnole, écailles de poisson. Profondeur: - 1m/-1,20m. Poids: 20g	âge du fer	0	7	84	<input type="checkbox"/>

Matériau	NSTUS	Description	Attribution	NR	Boîte n°	Sac n°	Dessin
os animal	F36 T14	Moitié ouest. Profondeur: -1m/-1,20m.1 fragment de côte de petit bétail. 1 trace de découpe (boucherie).Poids: 1g	âge du fer	1	7	91	<input type="checkbox"/>
os animal	F36 T14	Moitié ouest. Profondeur: 70-80cm. 1 radius, esquille de capriné./1 métapode de canidé./Observation générale: Bon état de surface et traces de charognards sur les deux pièces. Poids: 7,5g.	âge du fer	2	7	106	<input type="checkbox"/>
os animal	F36 T14	Moitié ouest. Microfaune provenant du tri des refus de tamis des prélèvements 2/7 et 3/7.Nombreux fragments d'un petit rongeur de type campagnole.Poids: 12,5g	âge du fer	0	7	92	<input type="checkbox"/>
os animal	F36 T14	Moitié Est. Profondeur: 1m-1,20m. 1 tibia de cochon./1 esquille avec nombreuses traces de charognards carnivores./1 épine neurale indéterminée de petit bétail./1 esquille de métapode de capriné./2 esquilles indéterminées./1 fragment de côte./1 esquille indéterminé de petit bétail./4 fragments indéterminés.Poids: 51,5g	âge du fer	12	7	101	<input type="checkbox"/>

Matériau	NSTUS	Description	Attribution	NR	Boîte n°	Sac n°	Dessin
os animal	F36 T14	Moitié ouest. Profondeur: -1m/-1,20m. 1 fragment de vertèbre de petit bétail et une épine dorsale (jeune). Un fragment brûlé. Poids: 5g	âge du fer	4	7	87	<input type="checkbox"/>
os animal	F36 T14	Moitié est. Microfaune provenant du tri des refus de tamis des prélèvements 5/7, 6/7 et 7/7. Profondeur: -1m/-1,20m. 1 crâne de rongeur de type campagnole. 1 fragment de petit bétail carbonisé. Nombreux restes rongeur. Poids: 18g	âge du fer	0	7	89	<input type="checkbox"/>
os animal	F36 T14	Moitié ouest. Microfaune provenant du tri des refus de tamis des prélèvements 1/7 et 4/7. Profondeur: -1m/-1,20m. Nombreux fragments d'un petit rongeur de type campagnole. Poids: 3g	âge du fer	0	7	90	<input type="checkbox"/>
os animal	F36 T14	Moitié ouest. 1 fragment de scapula de capriné. Poids: 3,5g	âge du fer	2	7	93	<input type="checkbox"/>
os animal	F36 T14	Moitié Est. Profondeur: 0-10cm. 1 fragment d'humérus de petit bétail. Poids: 6,5g.	âge du fer	1	7	102	<input type="checkbox"/>

Matériau	NSTUS	Description	Attribution	NR	Boîte n°	Sac n°	Dessin
os animal	F36 T14	Moitié Ouest. Profondeur: 60-70cm. 1 fragment de côte de petit bétail jeune.Poids: 0,5g.	âge du fer	1	7	103	<input type="checkbox"/>
os animal	F36 T14	Moitié Est. Profondeur: 40-50cm. 1 dent supérieure de porc/ 1 fragment d'os long de petit bétail.Poids: 3,5g.	âge du fer	2	7	105	<input type="checkbox"/>
os animal	F36 T14	Nettoyage parois et fond. 1 fragment uha de capriné avec traces de charognard./2 fragments de côte indéterminés de petit bétail./1 épine neurale indéterminée de petit bétail./1 esquille de métapode de capriné./2 esquilles indéterminées./1 fragment de côte./1 esquille indéterminée de petit bétail.Poids: 16,5g.	âge du fer	9	7	104	<input type="checkbox"/>
os animal	Fo7 S1 T	1 mandibule de jeune cheval. Même sujet que dans Sac 88. Mauvais état de surface lié à une sédimentation acide.Possibilité que le reste des os se soit dissout. Datation: Protohistoire? Poids Sac 107: 514g. Poids Sac 107+Sac 88: 521,5g.	protohistoire	6	7	107	<input type="checkbox"/>

Matériau	NSTUS	Description	Attribution	NR	Boîte n°	Sac n°	Dessin
os animal	Fo7 S1 T	Fragments mandibule de jeune cheval. Même sujet que dans Sac 107. Mauvais état de surface lié à une sédimentation acide. Possibilité que le reste des os se soit dissout. Datation: Protohistoire?. Poids Sac 88: 7,5g. Poids Sac 107+Sac 88: 521,5g.	protohistoire	4	7	88	<input type="checkbox"/>
os animal	ST13 S1	Un fragment d'os coxal de bœuf. Poids: 15,5g	antiquité	9	7	94	<input type="checkbox"/>
os animal	T1	Hors contexte. Décapage 1 (-0-60cm). 2 fragments de coquille(malaco) et 1 fragment indéterminé. Poids: 5g.	indéterminé	3	7	98	<input type="checkbox"/>
os animal	V8 T8	1 fragment indéterminé de gros ruminant. Poids: 5g	indéterminé	1	7	95	<input type="checkbox"/>
score	T10	Moitié nord décapage. Domaine: production. Datation: Indéterminée. Poids: 8,5g. Lieu de conservation: Dépôt.	indéterminé	3	1	141	<input type="checkbox"/>
TCA	F18 T7	<1,20m. 1 fragment de tuile avec traces carbonneuses sur l'une des faces. Datation: Antique ou Médiévale. Poids: 48,5g.	antiquité	1	5	73	<input type="checkbox"/>

Matériau	NSTUS	Description	Attribution	NR	Boîte n°	Sac n°	Dessin
TCA	ST21 T8	Deux fragments de tuile à pâte sableuse rose-orangée. Datation: Antiquité. Poids: 52g.	antiquité	2	5	75	<input type="checkbox"/>
TCA	ST21 T8	7 petits fragments de tegula dont 4 à pâte sableuse rose orangée, et trois à pâte sableuse jaune-blanchâtre. Datation: Antiquité. Poids: 48,5g./ 3 fragments de bords de tegula dont 2 à pâte sableuse rose-orangée et 1 à pâte sableuse jaune-blanchâtre. Datation: Antiquité. Poids: 183,5g. / 2 fragments plats de tegula dont 1 à pâte sableuse orangé et 1 à pâte sableuse rose clair. Datation: Antiquité. Poids: 290g. / 1 gros fragment avec rebord de tegula à pâte sableuse rose-orangée. Datation: Antiquité. Dimensions: Long: 11cm largeur: 12 cm Epaisseur: 2cm. Poids: 307g./ Poids total du sac: 830 g.	antiquité	13	5	82	<input type="checkbox"/>

Matériau	NSTUS	Description	Attribution	NR	Boîte n°	Sac n°	Dessin
TCA	ST21 T8	8 fragments de tegula dont 7 à pâte orangée sableuse et 1 à pâte sableuse blanchâtre. Datation: Antiquité Poids: 120,5g. / 1 fragment de coin de tegula avec encoche à pâte orangée sableuse. Datation: Antiquité. Dimensions: Long (au plus long): 12 cm Largeur: 8 cm Epaisseur: 1,5cm. Poids: 155,5g. / Poids total du sac: 276g	antiquité	9	5	81	<input type="checkbox"/>
TCA	T10	Décapage moitié sud. 3 petits fragments et un plus gros de tuile présentant une forme légèrement recourbé (imbrex ?). Pâte rose peu poreuse. Datation: Indéterminée. Poids: 38g.	indéterminé	4	5	80	<input type="checkbox"/>
TCA	T13	Décapage. 1 fragment de tuile. Poids: 31g	indéterminé	1	5	71	<input type="checkbox"/>
TCA	T13	Décapage. 1 fragment de tuile plate (?) à pâte orangée-grise avec inclusions de petits cailloux. Datation: Moderne (?) (Proximité V34) Poids: 99g.	moderne	1	5	79	<input type="checkbox"/>
TCA	T8	Zone centrale. 2 fragments à pâte grise poreuse. Datation: Antique ? (proximité ST21) Poids: 15,5g.	antiquité	2	5	77	<input type="checkbox"/>

Matériau	NSTUS	Description	Attribution	NR	Boîte n°	Sac n°	Dessin
TCA	V8 T10	Décapage. 1 fragment de tuile. Datation: Antiquité, Médiévale ou Moderne.Poids: 19g.	moyen âge	1	5	76	<input type="checkbox"/>
TCA	V8 T9	Décapage. Un fragment à pâte rose-orangée.Datation: Médiévale ou Moderne ?.Poids: 9,5g	moderne	1	5	78	<input type="checkbox"/>
TCA	V8 T9	Décapage. Trois fragments de tuile dont deux à pâte orangée et un à pâte plus grise. Datation: médiévale ou moderne ? Poids: 66g.	moderne	3	5	74	<input type="checkbox"/>
verre	ST21 T8	1 fragment de pied bleuté.Datation: Antiquité.Poids: 3g.	antiquité	1	9	131	<input type="checkbox"/>
verre	TP10 T5	1 fragment de stylo.Datation:Contemporaine.Poids: 2,5g	contemporain	1	9	128	<input type="checkbox"/>
verre	V8 T10	Décapage.6 fragments d'un 1 cul de bouteille.Datation: Médiévale.Poids: 43g.	moyen âge	6	9	129	<input type="checkbox"/>
verre	V8 T9	8 fragments de verre dont deux de teinte verte, 5 de teinte transparente et 1 de teinte bleutée./1 fragment de verre plat./1 fragment de flacon (verre moulé).Datation: Moderne ou contemporaine. Poids: 22g.	moderne	8	9	130	<input type="checkbox"/>

Matériau	NSTUS	Description	Attribution	NR	Boîte n°	Sac n°	Dessin
verre	V8 T9	Dans pavement. 1 fragment de verre plat. Datation: Moderne ou Contemporaine. Poids: 2,5g.	moderne	1	9	132	<input type="checkbox"/>
verre	V8 T9	Décapage. 3 fragments de verre plat. Datation: Indéterminée. Poids: 6,5g.	indéterminé	3	9	134	<input type="checkbox"/>
verre	V8 T9	Fouille dans pavement. 1 fragment de verre plat. Datation: Médiévale. /Plusieurs fragments de verre. Datation: Moderne ou contemporaine. Poids: 28,5g	moderne	7	9	135	<input type="checkbox"/>
verre	V8 T9	Dans pavement. 2 fragments de bouteille. /1 fragment de flacon. /10 fragments de verre plat. /3 fragments de verre rosé. /Datation: Moderne ou contemporaine. Poids: 66,5g.	moderne	16	9	133	<input type="checkbox"/>

Annexe 3

Inventaire des

photographies

Nom du fichier	N° structure	Description	Auteur	Publiable
ARC10N10260-1		Xavier et Julien en fouille	J.-G. Pariat	oui
ARC10N10260-2		Xavier et Julien en fouille	J.-G. Pariat	oui
ARC10N10260-3		Pelle en cours de décapage	J.-G. Pariat	oui
ARC10N10260-4	1	Coupe de la structure 1	X. Bernardeau	non
ARC10N10260-5	1	Vue oblique de la structure 1	X. Bernardeau	non
ARC10N10260-6	2	Vue en coupe de la structure 2	X. Bernardeau	non
ARC10N10260-7	2	Vue oblique de la structure 2	X. Bernardeau	non
ARC10N10260-8	Fo5	Vue en coupe du fossé 5	J. Laheye	non
ARC10N10260-9	Fo5	Vue en coupe du fossé 5	J. Laheye	non
ARC10N10260-10	Fo5	Vue en coupe du fossé 5	J. Laheye	non
ARC10N10260-11	Fo5	Vue en coupe du fossé 5	J. Laheye	non
ARC10N10260-12	Fo5	Vue en coupe du fossé 5	J. Laheye	non
ARC10N10260-13	Fo5	Vue en coupe du fossé 5	J. Laheye	non
ARC10N10260-14	Fo5	Vue en coupe du fossé 5	J. Laheye	non
ARC10N10260-15	Fo5	Vue en coupe du fossé 5	J. Laheye	non
ARC10N10260-16	3	Vue en plan	J. Laheye	non
ARC10N10260-17	3	Vue en plan	J. Laheye	non
ARC10N10260-18	3	Vue en coupe	J. Laheye	non
ARC10N10260-19	3	Vue en plan	J. Laheye	oui
ARC10N10260-20	3	Vue en coupe	J. Laheye	non
ARC10N10260-21	3	Vue en coupe	J. Laheye	non
ARC10N10260-22	ambiance	Vue de l'équipe dans les blés	J. Spahn	oui
ARC10N10260-23	ambiance 2	Vue de l'équipe dans les blés	J. Spahn	oui
ARC10N10260-24	Fo14	Vue oblique	X. Bernardeau	non
ARC10N10260-25	Fo14	Vue en coupe	X. Bernardeau	non
ARC10N10260-26	Fo7	Vue en coupe	J. Spahn	non
ARC10N10260-27	Fo7	Vue en coupe	J. Spahn	non
ARC10N10260-28	Fo7	Vue oblique	J. Spahn	non
ARC10N10260-29	Fo7	Vue oblique rapprochée	J. Spahn	non
ARC10N10260-30	Fo7	Vue oblique rapprochée	J. Spahn	non
ARC10N10260-31	Fo7	Vue sans échelle	J. Spahn	oui
ARC10N10260-32	Fo7	Vue sans échelle	J. Spahn	oui
ARC10N10260-33	Fo7	Vue sans échelle rapprochée	J. Spahn	oui
ARC10N10260-34	Tr7Log1	Vue en coupe du log 1	X. Bernardeau	non
ARC10N10260-35	Tr7Log1	Vue en coupe du log 1	X. Bernardeau	non
ARC10N10260-36	Tr7Log1	Vue en coupe des deux passes du log 1	X. Bernardeau	oui
ARC10N10260-37	Tr7Log1	Vue en coupe des deux passes du log 1	X. Bernardeau	oui
ARC10N10260-38	Tr7Log1	Vue en coupe des deux passes du log 1	X. Bernardeau	oui
ARC10N10260-39		Mise en sécurité	J.-G. Pariat	non
ARC10N10260-40		Mise en sécurité	J.-G. Pariat	non
ARC10N10260-41	Tranchée 1	Détail	J.-G. Pariat	non
ARC10N10260-42	Tranchée 1	Vue générale	J.-G. Pariat	oui
ARC10N10260-43	Tranchée 1	Vue générale	J.-G. Pariat	oui
ARC10N10260-44		Vue générale des tranchées	J.-G. Pariat	oui
ARC10N10260-45		Point topo	J.-G. Pariat	non
ARC10N10260-46		Bloc de grès en bord d'emprise	J.-G. Pariat	non

ARC10N10260-47		En cours de décapage	J.-G. Pariat	oui
ARC10N10260-48	Fo6	Plaquette photo	X. Bernardeau	non
ARC10N10260-49	Fo6	Vue oblique du fossé	X. Bernardeau	non
ARC10N10260-50	Fo6	Coupe du fossé	X. Bernardeau	non
ARC10N10260-51	Fo20	Vue en coupe du fossé	X. Bernardeau	non
ARC10N10260-52	V8 (Tr 8)	Vue en coupe depuis le nord (1)	J. Laheye	non
ARC10N10260-53	V8 (Tr 8)	Vue en coupe depuis le nord (2)	J. Laheye	non
ARC10N10260-54	V8 (Tr 8)	Prise de vue depuis le point n° 2 (1)	J. Laheye	non
ARC10N10260-55	V8 (Tr 8)	Prise de vue depuis le point n° 2 (2)	J. Laheye	non
ARC10N10260-56	V8 (Tr 8)	Prise de vue depuis le point n° 3 (1)	J. Laheye	non
ARC10N10260-57	V8 (Tr 8)	Prise de vue depuis le point n° 3 (2)	J. Laheye	non
ARC10N10260-58	V8 (Tr 8)	Prise de vue depuis le point n° 4 (1)	J. Laheye	non
ARC10N10260-59	V8 (Tr 8)	Prise de vue depuis le point n° 4 (2)	J. Laheye	non
ARC10N10260-60	V8 (Tr 8)	Prise de vue depuis le point n° 5 (1)	J. Laheye	non
ARC10N10260-61	V8 (Tr 8)	Prise de vue depuis le point n° 5 (2)	J. Laheye	non
ARC10N10260-62	V8 (Tr 8)	Prise de vue depuis le point n° 6 (1)	J. Laheye	non
ARC10N10260-63	V8 (Tr 8)	Prise de vue depuis le point n° 6 (2)	J. Laheye	non
ARC10N10260-64	V8 (Tr 8)	Prise de vue depuis le point n° 7 (1)	J. Laheye	non
ARC10N10260-65	V8 (Tr 8)	Prise de vue depuis le point n° 7 (2)	J. Laheye	non
ARC10N10260-66	V8 (Tr 8)	Prise de vue depuis le point n° 8 (1)	J. Laheye	non
ARC10N10260-67	V8 (Tr 8)	Prise de vue depuis le point n° 8 (2)	J. Laheye	non
ARC10N10260-68	V8 (Tr 8)	Prise de vue depuis le point n° 9 (1)	J. Laheye	non
ARC10N10260-69	V8 (Tr 8)	Prise de vue depuis le point n° 9 (2)	J. Laheye	non
ARC10N10260-70	V8 (Tr 8)	Prise de vue depuis le point n° 10 (1)	J. Laheye	non
ARC10N10260-71	V8 (Tr 8)	Prise de vue depuis le point n° 10 (2)	J. Laheye	non
ARC10N10260-72	V8 (Tr 8)	Prise de vue depuis le point n° 11 (1)	J. Laheye	non
ARC10N10260-73	V8 (Tr 8)	Prise de vue depuis le point n° 11 (2)	J. Laheye	non
ARC10N10260-74	V8 (Tr 9)	Vue du pavage en cours de fouille	X. Bernardeau	oui
ARC10N10260-75	V8 (Tr 9)	Vue du pavage en cours de fouille	X. Bernardeau	oui
ARC10N10260-76	Fo24	Vue en coupe du sondage effectué dans la tranchée 9	J. Spahn	non
ARC10N10260-77	Fo24	Vue en coupe du sondage effectué dans la tranchée 9	J. Spahn	non
ARC10N10260-78	V8 (Tr 9)	Xavier en fouille	J. Spahn	oui
ARC10N10260-79	V8 (Tr 9)	Xavier en fouille	J. Spahn	oui
ARC10N10260-80	V8 (Tr 9)	Xavier en fouille	J. Spahn	oui
ARC10N10260-81	Fo24	Vue en coupe	J. Spahn	non
ARC10N10260-82	Fo24	Vue en coupe	J. Spahn	non
ARC10N10260-83	Fo24	Vue de la fenêtre	J. Spahn	non
ARC10N10260-84	ST21-Fo23	Vue oblique d'ensemble du fossé et de la structure antiques	J. Laheye	oui
ARC10N10260-85	ST21-Fo23	Vue oblique d'ensemble du fossé et de la structure antiques	J. Laheye	oui
ARC10N10260-86	ST21-Fo23	Vue oblique d'ensemble du fossé et de la structure antiques	J. Laheye	oui
ARC10N10260-87	ST21-Fo23	Vue de détail	J. Laheye	non
ARC10N10260-88	ST21-Fo23	Vue oblique d'ensemble du fossé et de la structure antiques	J. Laheye	oui
ARC10N10260-89	ST21-Fo23	Vue oblique d'ensemble du fossé et de la structure antiques	J. Laheye	oui

ARC10N10260-90	ST21-Fo23	Vue de détail	J. Laheye	non
ARC10N10260-91	ST21-Fo23	Vue de détail	J. Laheye	non
ARC10N10260-92	ST21-Fo23	Vue oblique d'ensemble du fossé et de la structure antiques	J. Laheye	non
ARC10N10260-93	ST21-Fo23	Vue de détail	J. Laheye	non
ARC10N10260-94	ST21-Fo23	Vue de détail	J. Laheye	non
ARC10N10260-95	ST21-Fo23	Vue de détail	J. Laheye	non
ARC10N10260-96	ST21-Fo23	Vue de détail	J. Laheye	non
ARC10N10260-97	ST21-Fo23	Vue oblique d'ensemble du fossé et de la structure antiques	J. Laheye	oui
ARC10N10260-98	ST21-Fo23	Vue oblique d'ensemble du fossé et de la structure antiques	J. Laheye	oui
ARC10N10260-99	ST21-Fo23	Vue de détail	J. Laheye	non
ARC10N10260-100	V8 (Tr 9)	Vue oblique	J. Laheye	oui
ARC10N10260-101	V8 (Tr 9)	Vue oblique	J. Laheye	oui
ARC10N10260-102	V8 (Tr 9)	Vue oblique	J. Laheye	oui
ARC10N10260-103	V8 (Tr 9)	Vue oblique	J. Laheye	oui
ARC10N10260-104	ambiance	Vue des tranchées décapées	J.-G. Pariat	non
ARC10N10260-105	ambiance	Vue des tranchées décapées	J.-G. Pariat	non
ARC10N10260-106	Fo51-St52	Vue oblique	J.-G. Pariat	non
ARC10N10260-107	Fo51-St52	Vue oblique	J.-G. Pariat	non
ARC10N10260-108	Fo51-St52	Vue oblique	J.-G. Pariat	non
ARC10N10260-109	Fo51-St52	Vue oblique	J.-G. Pariat	oui
ARC10N10260-110	Fo51-St52	Vue oblique	J.-G. Pariat	non
ARC10N10260-111	Fo51-St52	Vue oblique	J.-G. Pariat	non
ARC10N10260-112	Fo51-St52	Vue oblique	J.-G. Pariat	non
ARC10N10260-113	Log2	Vue frontale	J.-G. Pariat	non
ARC10N10260-114	Log2	Vue frontale	J.-G. Pariat	non
ARC10N10260-115	Log2	Vue frontale	J.-G. Pariat	oui
ARC10N10260-116	Fo19 S1	Vue en coupe	J.-G. Pariat	non
ARC10N10260-117	Fo19 S1	Vue en coupe	J.-G. Pariat	oui
ARC10N10260-118	Fo19 S1	Vue en coupe sans échelle	J.-G. Pariat	oui
ARC10N10260-119	ST21-Fo23	Vue générale	J. Laheye	non
ARC10N10260-120	ST21-Fo23	Vue générale	J. Laheye	non
ARC10N10260-121	ST21-Fo23	Vue en coupe	J. Laheye	non
ARC10N10260-122	ST21-Fo23	Vue générale	J. Laheye	non
ARC10N10260-123	ST21-Fo23	Vue générale	J. Laheye	non
ARC10N10260-124	ST21-Fo23	Vue générale	J. Laheye	oui
ARC10N10260-125	ST21-Fo23	Vue générale	J. Laheye	non
ARC10N10260-126	ST21-Fo23	Vue générale	J. Laheye	non
ARC10N10260-127	ST21-Fo23	Vue générale	J. Laheye	oui
ARC10N10260-128	ST21-Fo23	Vue générale	J. Laheye	oui
ARC10N10260-129	ST21-Fo23	Vue générale	J. Laheye	non
ARC10N10260-130	ST21-Fo23	Vue en coupe pour remontage	J. Laheye	non
ARC10N10260-131	ST21-Fo23	Vue en coupe pour remontage	J. Laheye	non
ARC10N10260-132	ST21-Fo23	Vue en coupe pour remontage	J. Laheye	non
ARC10N10260-133	ST21-Fo23	Vue en coupe pour remontage	J. Laheye	non
ARC10N10260-134	St13S1	Vue générale	J.-G. Pariat	non
ARC10N10260-135	St13S1	Vue en coupe pour remontage	J.-G. Pariat	non

ARC10N10260-136	St13S1	Vue en coupe pour remontage	J.-G. Pariat	non
ARC10N10260-137	St13S1	Vue en coupe pour remontage	J.-G. Pariat	non
ARC10N10260-138	St13S1	Vue en coupe pour remontage	J.-G. Pariat	non
ARC10N10260-139	St13S1	Vue en coupe pour remontage	J.-G. Pariat	non
ARC10N10260-140	St13S1	Vue en coupe pour remontage	J.-G. Pariat	non
ARC10N10260-141	St13S1	Vue en coupe pour remontage	J.-G. Pariat	non
ARC10N10260-142	St13S1	Vue en coupe pour remontage	J.-G. Pariat	non
ARC10N10260-143	St13S1	Vue en coupe pour remontage	J.-G. Pariat	non
ARC10N10260-144	St13S1	Vue en coupe pour remontage	J.-G. Pariat	non
ARC10N10260-145	St13S1	Vue en coupe pour remontage	J.-G. Pariat	non
ARC10N10260-146	St13S1	Vue en coupe pour remontage	J.-G. Pariat	non
ARC10N10260-147	St13S1	Vue en coupe pour remontage	J.-G. Pariat	non
ARC10N10260-148	St13S1	Vue en coupe pour remontage	J.-G. Pariat	non
ARC10N10260-149	St13S1	Vue en coupe pour remontage	J.-G. Pariat	non
ARC10N10260-150	F36	Vue oblique avant fouille	J.-G. Pariat	non
ARC10N10260-151	F36	Vue oblique avant fouille	J.-G. Pariat	non
ARC10N10260-152	F36	Vue oblique avant fouille	J.-G. Pariat	non
ARC10N10260-153	F36	Vue oblique avant fouille	J.-G. Pariat	non
ARC10N10260-154	F37	Vue générale avant fouille	X. Bernardeau	non
ARC10N10260-155	F37	Vue générale avant fouille	X. Bernardeau	non
ARC10N10260-156	F37	Vue générale avant fouille	X. Bernardeau	non
ARC10N10260-157	F37	Vue en coupe	X. Bernardeau	non
ARC10N10260-158	F37	Vue en coupe	X. Bernardeau	non
ARC10N10260-159	F37	Vue oblique	X. Bernardeau	non
ARC10N10260-160	F37	Vue oblique	X. Bernardeau	non
ARC10N10260-161	F37	Vue du fond de fosse	X. Bernardeau	non
ARC10N10260-162	F37	Vue du fond de fosse	X. Bernardeau	non
ARC10N10260-163	F36	Vue en cours de fouille avant week-end (sauvegarde)	J.-G. Pariat	non
ARC10N10260-164	F36	Vue en cours de fouille avant week-end (sauvegarde)	J.-G. Pariat	non
ARC10N10260-165	F36	Vue en cours de fouille avant week-end (sauvegarde)	J.-G. Pariat	non
ARC10N10260-166	F36	Vue en cours de fouille avant week-end (sauvegarde)	J.-G. Pariat	non
ARC10N10260-167	F36	Vue en cours de fouille avant week-end (sauvegarde)	J.-G. Pariat	non
ARC10N10260-168	F29	plaquette	J. Laheye	non
ARC10N10260-169	paysage		J. Laheye	non
ARC10N10260-170	F29	vue en coupe	J. Laheye	non
ARC10N10260-171	F18	Vue oblique avant fouille	J. Laheye	non
ARC10N10260-172	F18	Vue oblique avant fouille	J. Laheye	non
ARC10N10260-173	F18	Vue oblique avant fouille	J. Laheye	non
ARC10N10260-174	F18	Vue oblique avant fouille	J. Laheye	non
ARC10N10260-175	F18	Vue oblique avant fouille	J. Laheye	non
ARC10N10260-176	F18	Vue oblique avant fouille	J. Laheye	non
ARC10N10260-177	V8	Vue générale de la voie	J.-G. Pariat	non
ARC10N10260-178	V8	Vue générale de la voie	J.-G. Pariat	non
ARC10N10260-179	V8	Vue générale de la voie	J.-G. Pariat	non
ARC10N10260-180	V8	Vue générale de la voie	J.-G. Pariat	non
ARC10N10260-181	V8	Vue générale de la voie	J.-G. Pariat	non
ARC10N10260-182	V8	Vue générale de la voie	J.-G. Pariat	non
ARC10N10260-183	V8	Vue générale de la voie	J.-G. Pariat	non

ARC10N10260-184	V8	Vue générale de la voie	J.-G. Pariat	non
ARC10N10260-185	V8	Vue générale de la voie	J.-G. Pariat	oui
ARC10N10260-186	V8	Vue générale de la voie	J.-G. Pariat	oui
ARC10N10260-187	V8	Passe pour remontage photo	J.-G. Pariat	non
ARC10N10260-188	V8	Passe pour remontage photo	J.-G. Pariat	non
ARC10N10260-189	V8	Passe pour remontage photo	J.-G. Pariat	non
ARC10N10260-190	V8	Passe pour remontage photo	J.-G. Pariat	non
ARC10N10260-191	V8	Passe pour remontage photo	J.-G. Pariat	non
ARC10N10260-192	V8	Passe pour remontage photo	J.-G. Pariat	non
ARC10N10260-193	V8	Passe pour remontage photo	J.-G. Pariat	non
ARC10N10260-194	V8	Passe pour remontage photo	J.-G. Pariat	non
ARC10N10260-195	V8	Passe pour remontage photo	J.-G. Pariat	non
ARC10N10260-196	V8	Passe pour remontage photo	J.-G. Pariat	non
ARC10N10260-197	V8	Passe pour remontage photo	J.-G. Pariat	non
ARC10N10260-198	V8	Passe pour remontage photo	J.-G. Pariat	non
ARC10N10260-199	V8	Passe pour remontage photo	J.-G. Pariat	non
ARC10N10260-200	V8	Passe pour remontage photo	J.-G. Pariat	non
ARC10N10260-201	V8	Passe pour remontage photo	J.-G. Pariat	non
ARC10N10260-202	V8	Passe pour remontage photo	J.-G. Pariat	non
ARC10N10260-203	V8	Passe pour remontage photo	J.-G. Pariat	non
ARC10N10260-204	V8	Passe pour remontage photo	J.-G. Pariat	non
ARC10N10260-205	V8	Passe pour remontage photo	J.-G. Pariat	non
ARC10N10260-206	V8	Passe pour remontage photo	J.-G. Pariat	non
ARC10N10260-207	V8	Passe pour remontage photo	J.-G. Pariat	non
ARC10N10260-208	V8	Passe pour remontage photo	J.-G. Pariat	non
ARC10N10260-209	V8	Passe pour remontage photo	J.-G. Pariat	non
ARC10N10260-210	V8	Passe pour remontage photo	J.-G. Pariat	non
ARC10N10260-211	V8	Passe pour remontage photo	J.-G. Pariat	non
ARC10N10260-212	V8	Passe pour remontage photo	J.-G. Pariat	non
ARC10N10260-213	V8	Passe pour remontage photo	J.-G. Pariat	non
ARC10N10260-214	V8	Passe pour remontage photo	J.-G. Pariat	non
ARC10N10260-215	V8	Passe pour remontage photo	J.-G. Pariat	non
ARC10N10260-216	V8	Passe pour remontage photo	J.-G. Pariat	non
ARC10N10260-217	V8	Passe pour remontage photo	J.-G. Pariat	non
ARC10N10260-218	V8	Passe pour remontage photo	J.-G. Pariat	non
ARC10N10260-219	V8	Passe pour remontage photo	J.-G. Pariat	non
ARC10N10260-220	V8	Passe pour remontage photo	J.-G. Pariat	non
ARC10N10260-221	V8	Passe pour remontage photo	J.-G. Pariat	non
ARC10N10260-222	V8	Passe pour remontage photo	J.-G. Pariat	non
ARC10N10260-223	V8	Passe pour remontage photo	J.-G. Pariat	non
ARC10N10260-224	Fo51	Vue en coupe	X. Bernardeau	oui
ARC10N10260-225	Fo51	Vue en coupe	X. Bernardeau	oui
ARC10N10260-226	Fo51	Vue en coupe	X. Bernardeau	oui
ARC10N10260-227	Fo51	Vue en coupe	X. Bernardeau	oui
ARC10N10260-228	Fo24	Vue en coupe	X. Bernardeau	non
ARC10N10260-229	Fo24	Vue en coupe	X. Bernardeau	non
ARC10N10260-230	Fo24	Vue en coupe	X. Bernardeau	non
ARC10N10260-231	Fo24	Vue en coupe	X. Bernardeau	non

ARC10N10260-232	Fo24	Vue en coupe	X. Bernardeau	non
ARC10N10260-233	Fo24	Vue en coupe	X. Bernardeau	non
ARC10N10260-234	St52	Vue en coupe	X. Bernardeau	non
ARC10N10260-235	St52	Vue en coupe	X. Bernardeau	non
ARC10N10260-236	TP9	Vue en coupe	X. Bernardeau	non
ARC10N10260-237	F36	Vue en coupe	J.-G. Pariat	non
ARC10N10260-238	F36	Vue en coupe	J.-G. Pariat	non
ARC10N10260-239	F36	Vue en coupe	J.-G. Pariat	non
ARC10N10260-240	F36	Vue en plan	J.-G. Pariat	oui
ARC10N10260-241	TP10	Vue en coupe	X. Bernardeau	non
ARC10N10260-242	TP10	Vue en coupe	X. Bernardeau	non
ARC10N10260-243	TP11	Vue en coupe	X. Bernardeau	non
ARC10N10260-244	TP11	Vue en coupe	X. Bernardeau	non
ARC10N10260-245	TP27	Vue zénithale	X. Bernardeau	non
ARC10N10260-246	TP27	Vue zénithale	X. Bernardeau	non
ARC10N10260-247	F33	Vue en coupe	X. Bernardeau	non
ARC10N10260-248	F33	Vue en coupe	X. Bernardeau	non
ARC10N10260-249	F32	Vue en coupe	X. Bernardeau	non
ARC10N10260-250	F32	Vue en coupe	X. Bernardeau	non
ARC10N10260-251	F29	Vue en coupe	J. Laheye	non
ARC10N10260-252	F29	Vue en coupe	J. Laheye	non
ARC10N10260-253	F29	Vue en coupe	J. Laheye	non
ARC10N10260-254	F29	Vue en coupe rapprochée	J. Laheye	non
ARC10N10260-255	F29	Vue en coupe rapprochée	J. Laheye	non
ARC10N10260-256	F29	Vue en coupe rapprochée	J. Laheye	non
ARC10N10260-257	F29	Vue en coupe rapprochée	J. Laheye	non
ARC10N10260-258	St31	Vue après nettoyage	J. Laheye	non
ARC10N10260-259	St31	Vue après nettoyage	J. Laheye	non
ARC10N10260-260	St26	Vue en coupe	X. Bernardeau	oui
ARC10N10260-261	St26	Vue en coupe	X. Bernardeau	oui
ARC10N10260-262	F36	Vue oblique en cours de fouille (sauvegarde avant week end)	J.-G. Pariat	non
ARC10N10260-263	F36	Vue zénithale en cours de fouille (sauvegarde avant week end)	J.-G. Pariat	non
ARC10N10260-264	F36	Vue zénithale en cours de fouille (sauvegarde avant week end)	J.-G. Pariat	non
ARC10N10260-265	F36	Vue zénithale en cours de fouille (sauvegarde avant week end)	J.-G. Pariat	non
ARC10N10260-266	F36	Vue rasante (sauvegarde avant week end)	J.-G. Pariat	non
ARC10N10260-267	F28	Vue en coupe	X. Bernardeau	non
ARC10N10260-268	F28	Vue en coupe	X. Bernardeau	non
ARC10N10260-269	V8 S1	Vue zénithale de l'ensemble de pierre issu du fossé bordier	X. Bernardeau	oui
ARC10N10260-270	V8 S1	Vue zénithale de l'ensemble de pierre issu du fossé bordier	X. Bernardeau	oui
ARC10N10260-271	V8 S1	Vue zénithale de l'ensemble de pierre issu du fossé bordier	X. Bernardeau	oui
ARC10N10260-272	V8 S1	Vue en coupe de la voie pour remontage photo	X. Bernardeau	non
ARC10N10260-273	V8 S1	Vue en coupe de la voie pour remontage photo	X. Bernardeau	non

ARC10N10260-274	V8 S1	Vue en coupe de la voie pour remontage photo	X. Bernardeau	non
ARC10N10260-275	V8 S1	Vue en coupe de la voie pour remontage photo	X. Bernardeau	non
ARC10N10260-276	V8 S1	Vue en coupe de la voie pour remontage photo	X. Bernardeau	non
ARC10N10260-277	V8 S1	Vue en coupe de la voie pour remontage photo	X. Bernardeau	non
ARC10N10260-278	V8 S1	Vue en coupe de la voie pour remontage photo	X. Bernardeau	non
ARC10N10260-279	V8 S1	Vue en coupe de la voie pour remontage photo	X. Bernardeau	non
ARC10N10260-280	V8 S1	Vue en coupe de la voie pour remontage photo	X. Bernardeau	non
ARC10N10260-281	V8 S1	Vue en coupe de la voie pour remontage photo	X. Bernardeau	non
ARC10N10260-282	V8 S1	Vue en coupe de la voie pour remontage photo	X. Bernardeau	non
ARC10N10260-283	Fo 30	Vue en coupe	X. Bernardeau	non
ARC10N10260-284	Fo 30	Vue en coupe	X. Bernardeau	non
ARC10N10260-285	Fo 51	Vue d'ensemble du fond de fossé	X. Bernardeau	non
ARC10N10260-286	Fo 51	Vue d'ensemble du fond de fossé	X. Bernardeau	non
ARC10N10260-287	F36	Vue du fond de fosse (sauvegarde)	J.-G. Pariat	non
ARC10N10260-288	F36	Vue du fond de fosse (sauvegarde)	J.-G. Pariat	non
ARC10N10260-289	V8 S1	Passe pour remontage photo (def)	J.-G. Pariat	non
ARC10N10260-290	V8 S1	Passe pour remontage photo (def)	J.-G. Pariat	non
ARC10N10260-291	V8 S1	Passe pour remontage photo (def)	J.-G. Pariat	non
ARC10N10260-292	V8 S1	Passe pour remontage photo (def)	J.-G. Pariat	non
ARC10N10260-293	V8 S1	Passe pour remontage photo (def)	J.-G. Pariat	non
ARC10N10260-294	V8 S1	Passe pour remontage photo (def)	J.-G. Pariat	non
ARC10N10260-295	V8 S1	Passe pour remontage photo (def)	J.-G. Pariat	non
ARC10N10260-296	V8 S1	Passe pour remontage photo (def)	J.-G. Pariat	non
ARC10N10260-297	V8 S1	Passe pour remontage photo (def)	J.-G. Pariat	non
ARC10N10260-298	V8 S1	Passe pour remontage photo (def)	J.-G. Pariat	non
ARC10N10260-299	V8 S1	Passe pour remontage photo (def)	J.-G. Pariat	non
ARC10N10260-300	V8 S1	Passe pour remontage photo (def)	J.-G. Pariat	non
ARC10N10260-301	V8 S1	Passe pour remontage photo (def)	J.-G. Pariat	non
ARC10N10260-302	V8 S1	Passe pour remontage photo (def)	J.-G. Pariat	non
ARC10N10260-303	V8 S1	Passe pour remontage photo (def)	J.-G. Pariat	non
ARC10N10260-304	V8 S1	Passe pour remontage photo (def)	J.-G. Pariat	non
ARC10N10260-305	V8 S1	Passe pour remontage photo (def)	J.-G. Pariat	non
ARC10N10260-306	V8 S1	Passe pour remontage photo (def)	J.-G. Pariat	non
ARC10N10260-307	V8 S1	Vue zénithale de l'empierrement du fossé bordier nord	J.-G. Pariat	non
ARC10N10260-308	V8 S1	Vue zénithale de l'empierrement du fossé bordier nord	J.-G. Pariat	non
ARC10N10260-309	F39	Vue en coupe	X. Bernardeau	non
ARC10N10260-310	F40	Vue en coupe	X. Bernardeau	non
ARC10N10260-311	F40	Vue en coupe	X. Bernardeau	non
ARC10N10260-312	F36	Vue générale	J.-G. Pariat	non
ARC10N10260-313	F36	Vue générale	J.-G. Pariat	non
ARC10N10260-314	F36	Vue générale	J.-G. Pariat	non
ARC10N10260-315	F36	Vue générale	J.-G. Pariat	non
ARC10N10260-316	F36	Vue générale	J.-G. Pariat	non
ARC10N10260-317	F36	Vue depuis l'intérieur	J.-G. Pariat	non
ARC10N10260-318	F36	Vue depuis l'intérieur	J.-G. Pariat	non
ARC10N10260-319	F36	Vue depuis l'intérieur	J.-G. Pariat	non
ARC10N10260-320	F36	Vue depuis l'intérieur	J.-G. Pariat	non
ARC10N10260-321	F36	Vue depuis l'intérieur	J.-G. Pariat	non

ARC10N10260-322	F36	Vue générale à l'ombre	J.-G. Pariat	oui
ARC10N10260-323	F36	Vue générale à l'ombre	J.-G. Pariat	oui
ARC10N10260-324	St48	Vue en coupe de la fosse	X. Bernardeau	non
ARC10N10260-325	St48	Vue en coupe de la fosse	X. Bernardeau	non
ARC10N10260-326	Fo7	Vue du fossé curé	X. Bernardeau	non
ARC10N10260-327	Fo7	Vue du fossé curé	X. Bernardeau	non
ARC10N10260-328	F18	Ambiance en fin de fouille, relevé de la coupe	J.-G. Pariat	non
ARC10N10260-329	F18	Ambiance en fin de fouille, relevé de la coupe	J.-G. Pariat	non
ARC10N10260-330	T9 V8 S1	Vue oblique de la colonne micromorpho	J.-G. Pariat	oui
ARC10N10260-331	T9 V8 S1	Vue oblique de la colonne micromorpho	J.-G. Pariat	oui
ARC10N10260-332	T9 V8 S1	Vue oblique de la colonne micromorpho	J.-G. Pariat	oui
ARC10N10260-333	T9 V8 S1	Vue oblique de la colonne micromorpho	J.-G. Pariat	oui
ARC10N10260-334	T8 St 21	Photo de l'intaille après restauration	A. Lefeuvre	oui
ARC10N10260-335	T8 St 21	Photo de l'intaille après restauration	A. Lefeuvre	oui
ARC10N10260-336	T8 St 21	Photo de l'intaille après restauration	A. Lefeuvre	oui
ARC10N10260-337	T8 St 21	Photo de l'intaille après restauration	A. Lefeuvre	oui
ARC10N10260-338	T8 St 21	Photo de l'intaille après restauration	A. Lefeuvre	oui
ARC10N10260-339	T8 St 21	Photo de l'intaille après restauration	A. Lefeuvre	oui
ARC10N10260-340	T8 St 21	Photo de l'intaille après restauration	A. Lefeuvre	oui
ARC10N10260-341	T8 St 21	Photo de l'intaille après restauration	A. Lefeuvre	oui
ARC10N10260-342	T8 St 21	Photo de l'intaille après restauration	A. Lefeuvre	oui
ARC10N10260-343	T8 St 21	Photo du moulage de l'intaille dans la plasticine	A. Lefeuvre	oui
ARC10N10260-344	T8 St 21	Photo du moulage de l'intaille dans la plasticine	A. Lefeuvre	oui
ARC10N10260-345	T8 St 21	Photo du moulage de l'intaille dans la plasticine	A. Lefeuvre	oui
ARC10N10260-346	T8 St 21	Photo du moulage de l'intaille dans la plasticine	A. Lefeuvre	oui
ARC10N10260-347	T8 St 21	Photo du moulage de l'intaille dans la plasticine	A. Lefeuvre	oui
ARC10N10260-348	T8 St 21	Photo du moulage de l'intaille dans la plasticine	A. Lefeuvre	oui
ARC10N10260-349	T8 St 21	Photo du moulage de l'intaille dans la plasticine	A. Lefeuvre	oui
ARC10N10260-350	St13 S1	Photo montage de la coupe	J.-G. Pariat	oui
ARC10N10260-351	St21 Fo23	Photo montage de la coupe	J. Laheye	oui
ARC10N10260-352	V8 S1	Photo montage de la coupe	J.-G. Pariat	oui
ARC10N10260-353	T8 V8	Photo montage de la coupe	J.-G. Pariat	oui
ARC10N10260-354	T9 V8	Photo montage de la voie	J.-G. Pariat	oui
ARC10N10260-355	St13 S1	Photo montage de la coupe	A. Lefeuvre	oui
ARC10N10260-356	T8 V8	Photo montage de la coupe	A. Lefeuvre	oui
ARC10N10260-357	T8 V8	Photo montage de la coupe	A. Lefeuvre	non
ARC10N10260-358	ambiance	Pause déjeuner	J. Spahn	non
ARC10N10260-359	décapage	Vue de Jean-Gabriel en cours de décapage	J. Spahn	non
ARC10N10260-360	décapage	Vue en cours de décapage	J. Spahn	oui
ARC10N10260-361	fouille	Vue de Xavier en cours de fouille	J. Spahn	oui
ARC10N10260-362	fouille	Vue de Xavier en cours de fouille	J. Spahn	oui
ARC10N10260-363	décapage	Vue de Jean-Gabriel en cours de décapage	J. Spahn	non
ARC10N10260-364	Attache bronze	Détail de mobilier (sac 15)	X. Bernardeau	oui
ARC10N10260-365	Clé	Détail de mobilier (sac 24)	X. Bernardeau	oui
ARC10N10260-366	Éclat	Détail de mobilier (sac 154)	X. Bernardeau	oui
ARC10N10260-367	Éclat	Détail de mobilier (sac 154)	X. Bernardeau	oui
ARC10N10260-368	Éperon	Détail de mobilier (sac 12)	X. Bernardeau	oui
ARC10N10260-369	Épingle	Détail de mobilier (sac 27)	X. Bernardeau	oui

ARC10N10260-370	Hache polie	Détail de mobilier (sac 152)	X. Bernardeau	oui
ARC10N10260-371	Hache polie	Détail de mobilier (sac 151)	X. Bernardeau	oui
ARC10N10260-372	Lame	Détail de mobilier (sac 154)	X. Bernardeau	oui
ARC10N10260-373	Meule	Détail de mobilier (sac 108)	X. Bernardeau	oui
ARC10N10260-374	Monnaie	Détail de mobilier (sac 36)	X. Bernardeau	oui
ARC10N10260-375	Nucléus	Détail de mobilier (sac 145)	X. Bernardeau	oui
ARC10N10260-376	Pic	Détail de mobilier (sac 153)	X. Bernardeau	oui
ARC10N10260-377	Torchis	Détail de mobilier (sac 62)	X. Bernardeau	oui
ARC10N10260-378	Torchis	Détail de mobilier (sac 59)	X. Bernardeau	oui
ARC10N10260-379	Verre	Détail de mobilier (sac 131)	X. Bernardeau	oui
ARC10N10260-380	Céramique	Détail de pâte (sac 50)	X. Bernardeau	oui
ARC10N10260-381	Céramique	Détail de pâte (sac 111)	X. Bernardeau	oui
ARC10N10260-382	Céramique	Détail de pâte (sac 111)	X. Bernardeau	oui
ARC10N10260-383	Céramique	Détail de pâte (sac 113)	X. Bernardeau	oui
ARC10N10260-384	Céramique	Détail de pâte (sac 185)	X. Bernardeau	oui
ARC10N10260-385	Céramique	Détail de pâte (sac 185)	X. Bernardeau	oui
ARC10N10260-386	Céramique	Détail de pâte (sac 189)	X. Bernardeau	oui
ARC10N10260-387	Céramique	Détail de pâte (sac 199)	X. Bernardeau	oui
ARC10N10260-388	Vue aérienne	Vue aérienne du diagnostic	A. Lefeuvre	oui
ARC10N10260-389	Vue aérienne	Vue aérienne du diagnostic	A. Lefeuvre	oui
ARC10N10260-390	Vue aérienne	Vue aérienne du diagnostic	A. Lefeuvre	oui
ARC10N10260-391	Vue aérienne	Vue aérienne du diagnostic	A. Lefeuvre	oui
ARC10N10260-392	Vue aérienne	Vue aérienne du diagnostic	A. Lefeuvre	oui
ARC10N10260-393	Vue aérienne	Vue aérienne du diagnostic	A. Lefeuvre	oui
ARC10N10260-394	Vue aérienne	Vue aérienne du diagnostic	A. Lefeuvre	oui
ARC10N10260-395	Vue aérienne	Vue aérienne du diagnostic	A. Lefeuvre	oui
ARC10N10260-396	Vue aérienne	Vue aérienne du diagnostic	A. Lefeuvre	oui
ARC10N10260-397	Vue aérienne	Vue aérienne du diagnostic	A. Lefeuvre	oui
ARC10N10260-398	Vue aérienne	Vue aérienne du diagnostic	A. Lefeuvre	oui
ARC10N10260-399	Vue aérienne	Vue aérienne du diagnostic	A. Lefeuvre	oui
ARC10N10260-400	Vue aérienne	Vue aérienne du diagnostic	A. Lefeuvre	oui
ARC10N10260-401	Vue aérienne	Vue aérienne du diagnostic	A. Lefeuvre	oui
ARC10N10260-402	Vue aérienne	Vue aérienne du diagnostic	A. Lefeuvre	oui
ARC10N10260-403	Vue aérienne	Vue aérienne du diagnostic	A. Lefeuvre	oui
ARC10N10260-404	Vue aérienne	Vue aérienne du diagnostic	A. Lefeuvre	oui
ARC10N10260-405	Vue aérienne	Vue aérienne du diagnostic	A. Lefeuvre	oui
ARC10N10260-406	Microfaune	Vue de détail d'os de type campagnol	J.-G. Pariat	oui
ARC10N10260-407	Microfaune	Vue de détail d'une vertèbre de cyprinidé et d'écailles	J.-G. Pariat	oui
ARC10N10260-408	Faune	Détail de traces de morsure occasionnées par des carnivores	J.-G. Pariat	oui
ARC10N10260-409	Faune	Détail de traces de morsure occasionnées par des carnivores	J.-G. Pariat	oui

Annexe 4

Inventaire des prélèvements

Prélèvements

N° d'échantillon		Enregistré par	Xavier	Date	02/07/2010
Type de structure	F	N° de structure	36	N° de sondage	0
Paroi	<input type="checkbox"/> Couche de comblement <input checked="" type="checkbox"/> Substrat naturel	Quantité prélevée dans la structure	25 % 10 %	Volume du prélèvement	
Fond de structure	<input checked="" type="checkbox"/> Au tamisage Par flottation	5 mm	<input checked="" type="checkbox"/>	Observation	6
Mode de récupération		2 mm	<input checked="" type="checkbox"/>	Nettoyage fond. Poids après tamisage: sac malaco uniquement.	
Poids après tamisage (g)	463,5	500 mm	<input checked="" type="checkbox"/>		

N° d'échantillon	1/7	Enregistré par	Xavier	Date	02/07/2010
Type de structure	F	N° de structure	36	N° de sondage	0
Paroi	<input type="checkbox"/> Couche de comblement <input checked="" type="checkbox"/> Substrat naturel	Quantité prélevée dans la structure	25 % 10 %	Volume du prélèvement	
Fond de structure	<input checked="" type="checkbox"/> Au tamisage Par flottation	5 mm	<input checked="" type="checkbox"/>	Observation	6
Mode de récupération		2 mm	<input checked="" type="checkbox"/>	Moitié ouest. Profondeur: -1m-1,20m. Associé à 4/7.	
Poids après tamisage (g)	67,5 + 565 = 632,5	500 mm	<input checked="" type="checkbox"/>		

N° d'échantillon	2/7	Enregistré par	Xavier	Date	02/07/2010
Type de structure	F	N° de structure	36	N° de sondage	0
Paroi	<input type="checkbox"/> Couche de comblement <input checked="" type="checkbox"/> Substrat naturel	Quantité prélevée dans la structure	25 % 10 %	Volume du prélèvement	6
Fond de structure	<input checked="" type="checkbox"/> Au tamisage Par flottation	5 mm	<input checked="" type="checkbox"/> Observation		
Mode de récupération	108,5 + 473 = 581,5	2 mm	Moitié ouest. Profondeur: 1 m-1,20m. Associé à 3/7		
Poids après tamisage (g)		500 mm			
N° d'échantillon	3/7	Enregistré par	Xavier	Date	02/07/2010
Type de structure	F	N° de structure	36	N° de sondage	0
Paroi	<input type="checkbox"/> Couche de comblement <input checked="" type="checkbox"/> Substrat naturel	Quantité prélevée dans la structure	25 % 10 %	Volume du prélèvement	6
Fond de structure	<input checked="" type="checkbox"/> Au tamisage Par flottation	5 mm	<input checked="" type="checkbox"/> Observation		
Mode de récupération	108,5 + 473 = 581,5	2 mm	Moitié ouest. Profondeur: 1 m-1,20m. Associé à 2/7		
Poids après tamisage (g)		500 mm			

N° d'échantillon	4/7	Enregistré par	Xavier	Date	02/07/2010
Type de structure	F	N° de structure	36	N° de sondage	0
Paroi	<input type="checkbox"/> Couche de comblement <input checked="" type="checkbox"/> Substrat naturel	Quantité prélevée dans la structure	25 % 10 %	Volume du prélèvement	6
Fond de structure	<input checked="" type="checkbox"/> Au tamisage <input type="checkbox"/> Par flottation	5 mm	<input checked="" type="checkbox"/>	Observation	Moitié ouest. Profondeur: -1m-1,20m. Associé à 1/7.
Mode de récupération		2 mm	<input checked="" type="checkbox"/>		
Poids après tamisage (g)	67,5 + 565 = 632,5	500 mm	<input checked="" type="checkbox"/>		

N° d'échantillon	5/7	Enregistré par	Xavier	Date	02/07/2010
Type de structure	F	N° de structure	36	N° de sondage	0
Paroi	<input type="checkbox"/> Couche de comblement <input checked="" type="checkbox"/> Substrat naturel	Quantité prélevée dans la structure	25 % 10 %	Volume du prélèvement	6
Fond de structure	<input checked="" type="checkbox"/> Au tamisage <input type="checkbox"/> Par flottation	5 mm	<input checked="" type="checkbox"/>	Observation	Moitié est. Profondeur: -1m-1,20m. Associé à 6/7 et 7/7.
Mode de récupération		2 mm	<input checked="" type="checkbox"/>		
Poids après tamisage (g)	107 + 956,5 = 1063	500 mm	<input checked="" type="checkbox"/>		

N° d'échantillon	6/7	Enregistré par	Xavier	Date	02/07/2010
Type de structure	F	N° de sondage	36	N° de sondage	0
Paroi	<input type="checkbox"/> Couche de comblement <input checked="" type="checkbox"/> Substrat naturel	Quantité prélevée dans la structure	25 % 10 %	Volume du prélèvement	
Fond de structure	<input checked="" type="checkbox"/> Au tamisage Par flottation	5 mm	<input checked="" type="checkbox"/> Observation	6	
Mode de récupération	107 + 956,5 = 1063	2 mm	<input checked="" type="checkbox"/> Moitié est. Profondeur: -1m-1,20m. Associé à 5/7 et 7/7.		
Poids après tamisage (g)		500 mm	<input checked="" type="checkbox"/>		
N° d'échantillon	7/7	Enregistré par	Xavier	Date	02/07/2010
Type de structure	F	N° de sondage	36	N° de sondage	0
Paroi	<input type="checkbox"/> Couche de comblement <input checked="" type="checkbox"/> Substrat naturel	Quantité prélevée dans la structure	25 % 10 %	Volume du prélèvement	
Fond de structure	<input checked="" type="checkbox"/> Au tamisage Par flottation	5 mm	<input checked="" type="checkbox"/> Observation	6	
Mode de récupération	107 + 956,5 = 1063	2 mm	<input checked="" type="checkbox"/> Moitié est. Profondeur: -1m-1,20m. Associé à 5/7 et 6/7.		
Poids après tamisage (g)		500 mm	<input checked="" type="checkbox"/>		

Annexe 5
Étude archéogéographique
par Sandrine Robert

I- Environnement oro-hydrographique

(fig. 1)

L'emprise de l'opération est située sur la ligne de crête partageant les bassins versants de l'Oise et de la Viosne. La ligne de crête est matérialisée par le passage de la N14 qui est implantée à son sommet. La zone du diagnostic est drainée vers la Viosne. Ce secteur n'est actuellement traversé par aucun cours d'eau pérenne cartographié mais l'analyse du Modèle numérique de terrain de la BD TOPO IGN, des courbes de niveaux sur le scan 25 et des photographies aériennes permet de restituer un écoulement qui entame les courbes de niveaux au nord-est de la zone à prospecter. Le chenal d'érosion est visible en photo-interprétation.

II- Inscription dans le réseau viaire

(fig. 2)

II.1- Inscription dans le réseau de grand parcours : l'itinéraire Paris-Rouen orienté nord-ouest/sud-est

La zone diagnostiquée est située à 300 m au sud de la *Chaussée Jules-César*, associée traditionnellement à l'itinéraire Paris-Rouen par Pontoise connu par la Table de Peutinger et l'Itinéraire d'Antonin¹. Cette voie a fait l'objet de cinq opérations de diagnostics et de fouilles entre 1999 et 2009, qui ont permis son observation stratigraphique et sa datation. Elle présente les caractéristiques des grandes voies publiques antiques : tracé arpenté et succession de couches construites en dur. Sa mise en place a été datée à Courcelles-sur-Viosne, Commeny et Guerny du I^{er} siècle après J.-C.². Elle pourrait correspondre à une phase d'activité routière sous Claude (41-54), proposée traditionnellement par les chercheurs à partir de la reconnaissance d'un grand nombre de bornes milliaires datant de son règne³. L'existence d'un chemin antérieur à la

1 Dutilleul 1881 p. 505 et 512

2 Robert 2010

3 Grenier 1985 (1934)

voie antique a été mise en évidence à Guiry-en-Vexin et à Commeny⁴.

Dans le Vexin français, la *Chaussée Jules-César* a été entretenue jusqu'au III^e siècle, (aménagement du talus, nouveau niveau de circulation à Commeny), à Courcelles (recharges, nouveau niveau de circulation), à Guerny (pose de deux nouveaux niveaux de fondation et deux niveaux de circulation) puis une rupture est lisible au début du III^e siècle : fin de la construction en dur de la voie à Courcelles et Commeny, abandon des occupations à Guerny et Commeny. Mais elle semble utilisée jusqu'au VI^e siècle à Commeny et a perduré sous la forme d'un chemin de terre sur une grande partie de son parcours.

Cette voie ancienne a été concurrencée à partir du Moyen-Âge par deux chemins plus méridionnaux : le « Vieux Chemin » passant par Genainville et un tracé passant par Puiseux, Le Bord'Haut de Vigny etc., qui a été redressé par la route royale puis a été aménagé pour constituer l'actuelle nationale 14⁵. Ce chemin traverse l'emprise de l'opération d'est en ouest tandis que l'actuelle N 14 correspond au redressement effectué au XVIII^e siècle.

Le premier chemin parallèle à la route royale daterait au moins de la période médiévale. À Ableiges, il structure fortement le plan de la fondation de la Villeneuve-Saint-Martin qui daterait du Moyen-Âge⁶. À Vigny, la maladrerie de la Madeleine est située sur son axe et à Magny-en-Vexin, trois nécropoles sont sur le tracé de l'ancienne Rue de Rouen.

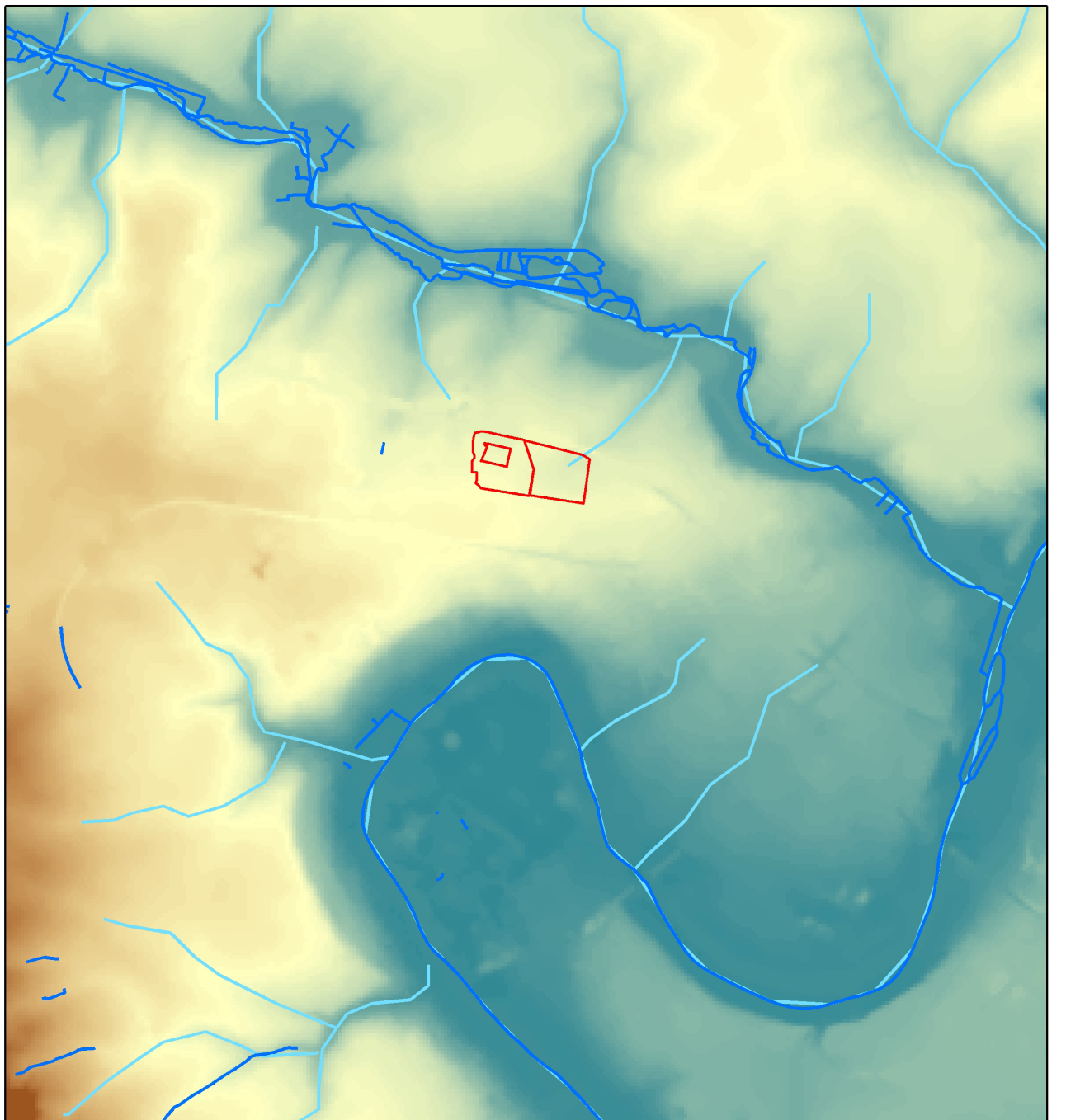
Il traverse la parcelle à diagnostiquer d'est en ouest sous la forme d'une limite fossile. Sur les plans anciens, il constituait la limite paroissiale entre Osny et Cergy⁷. Il est représenté en utilisation uniquement sur l'atlas de Trudaine (1745-1780) puis comme simple limite sur le plan d'intendance de 1778. Il ne semble donc pas avoir survécu à l'aménagement de la route royale (entre 1745 et 1778). Celle-ci l'a redressé au sud et forme l'actuelle limite de la ZAC au sud. Le vieux chemin a été perçu lors du diagnostic de

4 Robert 2010

5 Robert 2002 et 2006

6 Robert 2002 p. 183

7 Atlas de Trudaine, Arch. Nat. F14, 8448, pl. 9, milieu XVIII^e siècle.



0 500 1 000 2 000 3 000 4 000
m

-  Emprise de la ZAC des Linandes
-  Cours d'eau actuels d'ap. BD Topo
-  Hydrographie restituée d'ap. MNT BD Topo

CG95/DAC/SDAVO - S. Robert 2010
BD TOPO®Pays © IGN – Paris 2007
Autorisation n° 2007 CUJ 1615 - Reproduction interdite

MNT-BD Topo IGN



Fig. 1 : Localisation de l'emprise de l'opération dans le contexte oro-hydrographique.

la ZAC – Les Linandes en 2007⁸. Il est apparu sous la forme d'un niveau de circulation large d'environ 3 à 4 m, compacté associant limon et cailloutis. Il était bordé de fossés bordiers. Une des problématiques associées à ce chemin est d'en préciser la datation et également son rôle dans l'organisation du parcellaire. Il ne semble pas morphogénétique⁹, contrairement à la *Chaussée Jules-César* ce qui plaiderait également pour une datation postérieure à celle-ci.

II.2- Autres voies

L'emprise de l'opération est traversée par l'ancien *Chemin d'Osny* dit aussi *Chemin de Gency à Osny*. Ce chemin n'est pas structurant pour le parcellaire et s'inscrit plutôt dans une relation de petit parcours entre deux communes limitrophes. Il est déjà présent en 1745-1780 puis reste actif jusqu'en 1956-1959. Il semble avoir disparu lors des remembrements intervenus à cette date (cf. § Historique de la parcelle). Il apparaît ensuite de manière très nette en photo-interprétation.

Le chemin qui limite la parcelle à l'est est un chemin récent non figuré sur le cadastre napoléonien. Il est tracé entre 1959 et 1964 (cf. § Historique de la parcelle).

III- Organisation des trames parcellaires

(fig. 3)

Une orientation sud-ouest/nord-est structure l'ensemble de la zone. Elle est lisible dans une série de limites fortes du parcellaire¹⁰ et quelques tronçons de chemins. La *Chaussée Jules-César* apparaît nettement comme l'axe morphogénétique pour cette orientation. Plusieurs limites fortes du parcellaire sont parallèles ou perpendiculaires à son axe. L'ancien chemin de Rouen orienté ici est-ouest ne s'inscrit pas dans cette orientation. Quelques parcelles viennent s'appuyer sur son axe mais son rôle morphogénétique reste très limité. Cette orientation a été observée

sur les communes de Courcelles-sur-Viosne, Puiseux-Pontoise et Courdimanche où elle a été repérée sur une bande de 4 km sur 1,5 km environ. À Courdimanche, les structures archéologiques repérées lors des opérations de la *ZAC Sainte-Apolline*, du *Fief à Cavan* et de *La Touffe* ont montré que cette orientation était déjà dominante à La Tène Finale, du I^{er} siècle au III^e siècle ap. J.-C. et jusqu'au VIII^e siècle ap. J.-C.¹¹.

Aux Linandes, l'établissement rural daté du Second Âge du Fer (La Tène D1) fouillé en 2008 entre également dans cette orientation. Par contre, l'orientation de l'établissement qui lui succède au Haut-Empire, bien que situé au même emplacement que l'enclos précédent, bascule pour adopter une direction sud-est / nord-est. Cette orientation reste relativement marginale car elle n'apparaît plus sur le cadastre napoléonien dans le découpage parcellaire. Elle est celle d'un chemin de petit parcours recoupant le parcellaire et passant à 100 m à l'est de l'enclos antique.

Cette orientation ne s'imprime pas durablement dans le paysage car c'est l'orientation sud-ouest / nord-est, dominante depuis la fin de la protohistoire, qui marque encore fortement le parcellaire au début du XIX^e siècle.

Elle correspond à celle de la *Chaussée Jules-César* mais également à l'orientation générale du plateau axé sur le synclinal de la Viosne. Les écoulements drainant le plateau s'y inscrivent en partie. Se pose également la question de l'existence d'un axe de circulation antérieur à la *Chaussée Jules-César* qui aurait pu servir d'élément morphogénétique avant la construction de celle-ci. Localement la correspondance entre l'oro-hydrographie et un axe de circulation de grand parcours a pu imprimer une orientation durable dans le paysage¹².

L'étendue de l'orientation de la trame parcellaire, la présence d'éléments structurants (chemin, limites fortes du parcellaire, fossés) ainsi que les éléments de datation (apparition de cette orientation dès La Tène et le gallo-romain précoce,

11 Lefeuvre et al 2009 p. 32.

12 On note qu'à Pontoise et à Saint-Ouen-l'Aumône, la Chaussée Jules-César n'est pas morphogénétique pour le parcellaire (Robert 2002). On ne peut donc pas supposer la mise en place d'un parcellaire systématique associé à cet axe.

8 Pariat 2007.

9 Qui organise et transmet les formes du paysage.

10 limites sur lesquelles s'ouvrent les parcelles.

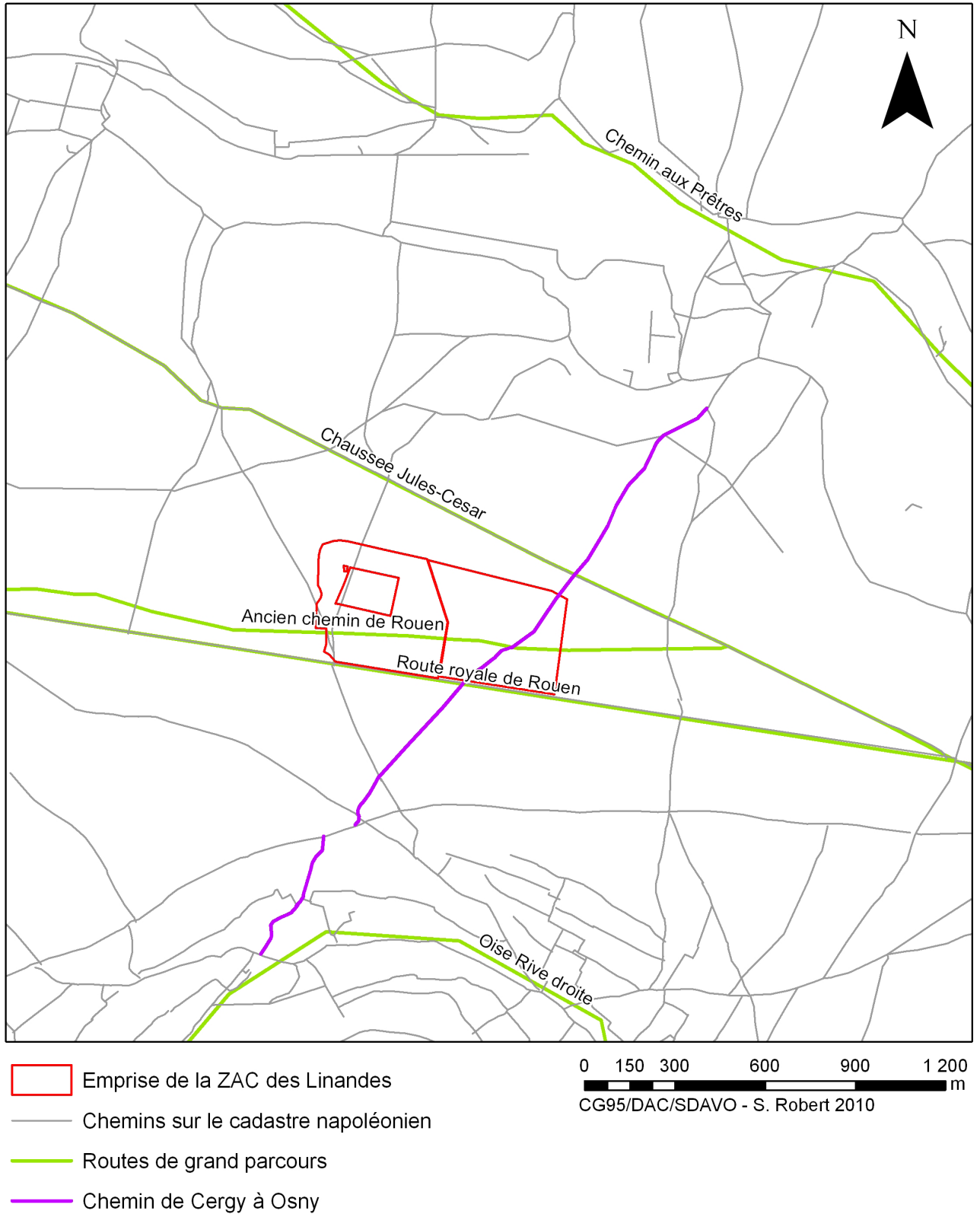


Fig. 2 : Insertion de la zone à diagnostiquer dans le réseau routier.

puis développement durant l'Antiquité et le Haut Moyen-Âge) l'apparentent aux réseaux de formation mis en évidence en archéogéographie depuis les années 1990. Ces réseaux présentent une organisation régulière s'appuyant sur de longs linéaments organisant une trame quadrillée, mais non orthonormée. Ils s'appuient sur des éléments géographiques exerçant une influence persistante sur les formes, au-delà de leur époque de création et de fonctionnement qui sont dits « morphogènes » (voies, formes du relief, limites fortes du parcellaire etc). Ils sont perceptibles à travers les effets qu'ils induisent dans le temps : transmission de l'orientation (isoclinie), de l'alignement (iso-axialité), de l'implantation (isotopie), de la relation entre des éléments (connexion) ou de mesures périodiques (périodicité)¹³.

Ces parcellaires ont été mis en évidence dans plusieurs régions de France¹⁴ et la mise en place de leurs morphogènes, datés de La Tène au Haut Moyen-Âge. G. Chouquer propose de les rapprocher des *cohesive system* mis en évidence dans la recherche anglo-saxonne¹⁵. Ces grandes trames semblent émerger concomitamment à la densification de l'habitat dont ils constitueraient une mise en réseau.

Ces réseaux s'organisent et se transmettent dans la longue durée, ce qui explique souvent une grande hétérogénéité de datation dans les limites observées sur le terrain. Cependant, on pourra être attentif lors du diagnostic de la ZAC des Linandes à la datation des limites fortes entrant dans l'orientation sud-ouest/nord-est, et plus particulièrement au *Chemin d'Osny* qui en fait partie. Ce chemin ainsi que plusieurs de ces limites sont apparues en photo-interprétation, ce qui indique qu'elles possèdent peut-être une forme de matérialité perceptible sur le terrain par l'archéologue (cf. § historique de la parcelle).

IV - Historique de la parcelle du XVIII^e siècle à aujourd'hui : carto et photo-interprétation

– État 1745-1780 : Atlas de Trudaine, planche

13 Chouquer 2000, Robert soumis

14 Synthèse dans Robert soumis

15 Chouquer 2006

9, Archives Nationales, F14 bis/8448.

La parcelle est emblavée. L'ancien chemin de Paris à Rouen est actif et représenté comme un chemin relativement large bordé de plantations d'alignement. Des projets d'aménagements sont indiqués sur la parcelle à diagnostiquer. La future nationale 14 qui dresse le tracé du chemin précédent est en projet dans son tracé actuel.

Le chemin d'Osny est figuré.

– État 1778 : Plan d'Intendance de Cergy, ADVO 25Fi 23.

L'emprise sud est sur la paroisse de Cergy. Elle est située dans des terres emblavées.

La « Nouvelle Route de Rouen à Pontoise » est tracée. C'est un axe rectiligne qui redresse l'ancien chemin. Celui-ci apparaît comme simple limite paroissiale et ne semble plus actif.

Le « chemin de Gency à Osny » est figuré.

– État 1778 : Plan d'Intendance de Génicourt - Osny, 1778, Cergy, ADVO 25Fi 23.

L'emprise nord-est sur la paroisse d'Osny. Elle est située dans des terres emblavées.

La « Nouvelle Route de Rouen à Pontoise » est tracée. C'est un axe rectiligne qui redresse l'ancien chemin. Celui-ci apparaît comme simple limite paroissiale et ne semble plus actif.

Le « chemin de Gency à Osny » est figuré et dit « Chemin de Vauréal à Osny ». Le talweg signalé dans l'étude oro-hydrographique a été cartographié par les ingénieurs. Il n'y a pas d'écoulement pérenne mais des zones de vergers entrent dans son alignement.

– État 1813 : Cadastre Napoléonien, Parcellaire de Cergy et d'Osny, 1813, Archives départementales du Val-d'Oise.

Le parcellaire foncier est représenté précisément pour la première fois. Son orientation est relativement constante et nord-est / sud-ouest. Il est perpendiculaire à la chaussée Jules-César. L'emprise de l'opération est située au sud sur la commune de Cergy aux lieux-dits « Chemin d'Osny » et « La Croix-Rouge », et au nord sur la commune d'Osny, aux lieux-dit « Le Vieux chemin de Rouen » et le « Le Poirier Vallerane ».

L'ancienne route de Rouen n'apparaît plus

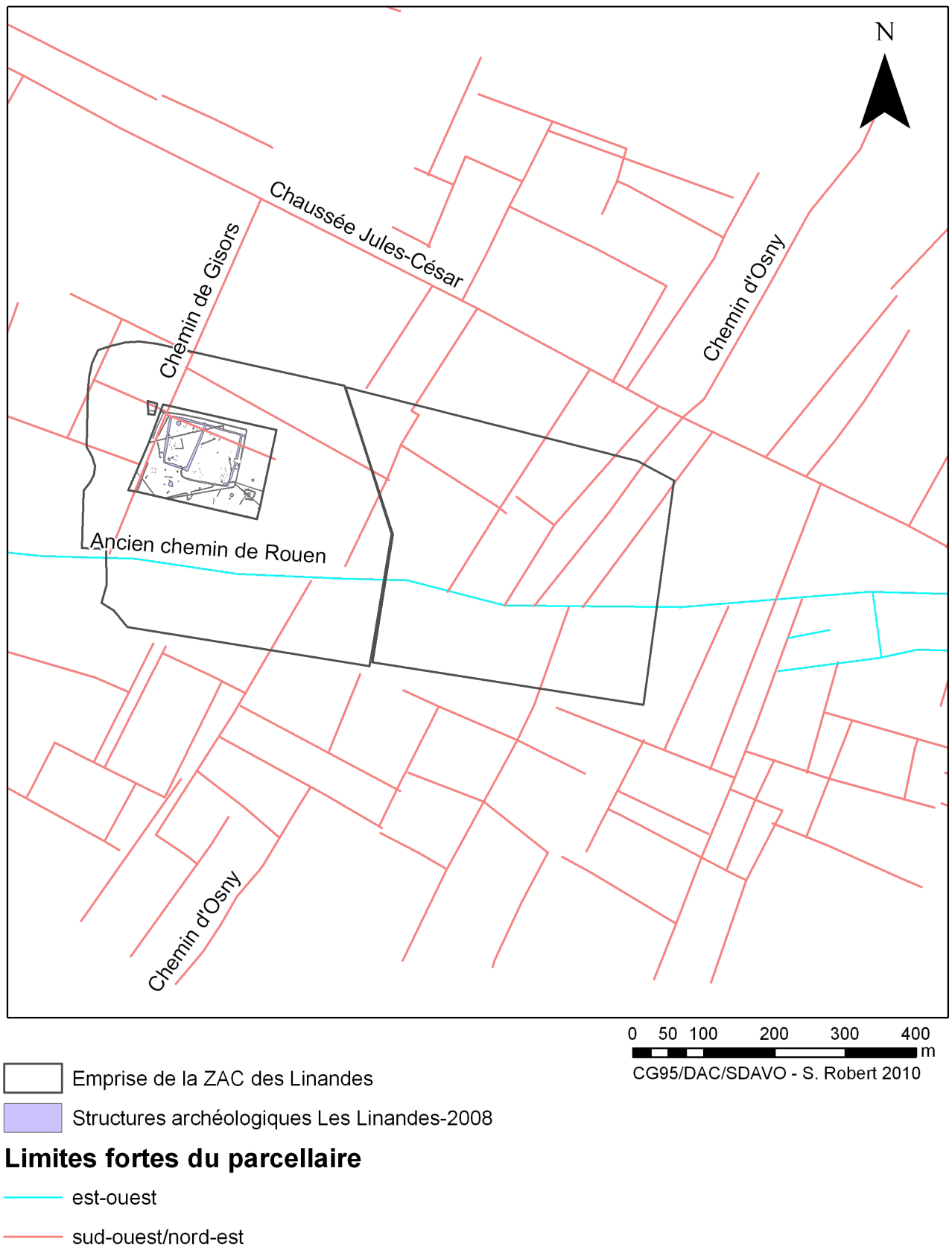
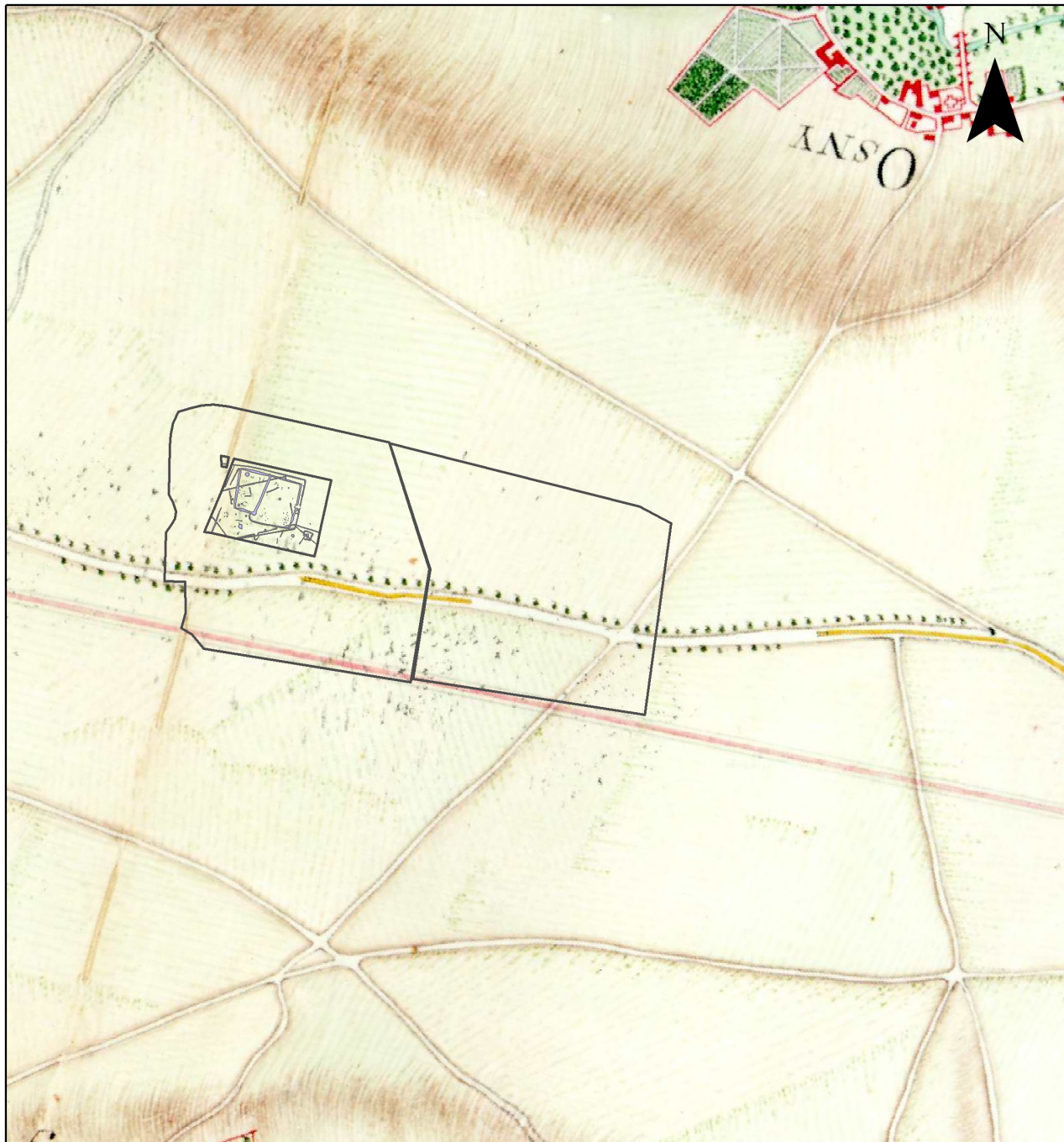


Fig. 3 : Organisation du parcellaire aux Linandes.

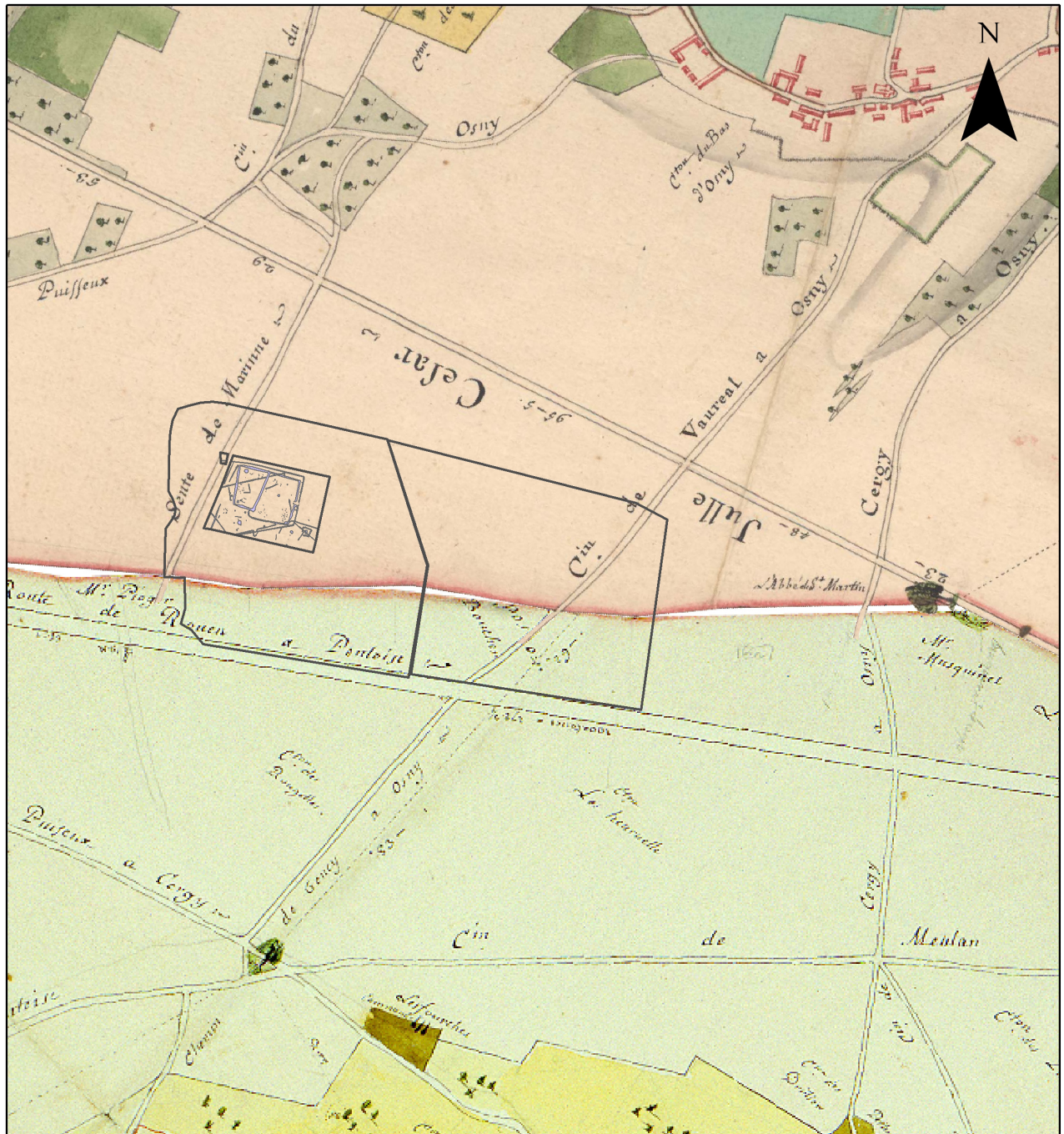


-  Emprise de la ZAC des Linandes
-  Structures archéologiques Les Linandes-2008

0 50 100 200 300 400
m

CG95/DAC/SDAVO - S. Robert 2010
Archives Nationales F14 bis/8448

Fig. 4 : Emprise de l'opération sur l'Atlas de Trudaine (1745-1780) : L'ancien chemin de Rouen est figuré avec des plantation d'alignement, la nouvelle route est en projet (tracé rouge), le chemin d'Osny traverse la parcelle.



-  Emprise de la ZAC des Linandes
-  Structures archéologiques Les Linandes-2008

0 50 100 200 300 400
m

CG95/DAC/SDAVO - S. Robert 2010
Archives départementales 95

Fig. 5 : Emprise de l'opération sur les plans d'intendance de 1778. La route royale est active et l'ancien chemin de Rouen a disparu mais il fait toujours office de limite paroissiale.

comme axe de circulation mais reste la limite de commune. Le chemin d'Osny est toujours actif et a donné son nom à un toponyme.

– **État 1818-1839** : Minutes d'État-Major au 1/10 000^e, archives de la cartothèque de l'IGN.
La zone est emblavée. Une remise est figurée au nord-est de la parcelle à diagnostiquer. Le chemin d'Osny est figuré. L'ancien Chemin de Paris à Rouen est figuré sous la forme de la limite communale (deux tracés superposés). On note que des parcelles en vignes sont toujours présentes au sud de la N14. Un important vignoble se développait autour de Pontoise et Cergy jusqu'à la fin du XVIII^e siècle.

– **État 1870** : Plan directeur feuille 2213-3d, archives de la cartothèque de l'IGN.
Le chemin d'Osny est cartographié.
Idem sur la révision en 1929.

– **État 1934** : Mission Pontoise 1934, 2213-n°1, cliché 69, Archives de l'Institut Géographique National.
La zone est emblavée. Le parcellaire n'est pas remembré. Une ligne double de plantations fossiles apparaissent à l'emplacement du diagnostic réalisé aux Linandes en 2007. L'ancien chemin de Paris à Rouen apparaît comme une limite pour le parcellaire et sous une forme fossile. La nationale 14 est bordée de plantations d'alignement.

– **État 1949** : Mission Pontoise-Meaux F 2213-2313 1949, 2213- n°472 - Pontoise, 1949, Archives de l'Institut Géographique National, cliché 181
idem

– **État 1956** : Carte de France au 1/20 000^e - Levés directs, XXII 13 F 5-6 - Pontoise, 1956, Archives de l'Institut Géographique National
La zone est emblavée. Le chemin d'Osny est figuré. L'Ancien chemin de Paris à Rouen n'apparaît que sous la forme de la limite communale. Un réseau est construit le long de la nationale 14 (enfoui ? Il est cartographié mais n'apparaît pas sur la mission de 1959).

– **État 1959** : Mission aérienne verticale, F 2213-2413, 1/25 000, IGN, 1959, Cliché 191, Archives de l'Institut Géographique National
Le parcellaire est remembré et aligné sur la N14. Les limites de l'ancien parcellaire apparaissent nettement sous une forme fossile, ainsi que le Chemin d'Osny. L'écoulement potentiel reconstitué via le MNT (cf. §1) apparaît sous la forme d'une limite sinueuse sombre.
Le N14 est réaménagée. Les plantations d'alignement ont disparu.

– **État 1964** : Mission aérienne verticale CDP 5087 1964 1964, 1/8100^e, 2213 - n°8140 - Archives de l'Institut Géographique National
Cette mission semble de bonne qualité pour la révélation des structures archéologiques. L'enclos des Linandes fouillé en 2008 apparaît nettement. Sur la parcelle à diagnostiquer, aucune structure archéologique n'est visible ; l'ancien chemin de Paris à Rouen apparaît de manière très nette. Plusieurs limites fossiles correspondent à des limites figurées sur le cadastre napoléonien. On voit nettement la trace fossile du chemin d'Osny à partir de la N14. Une limite forte nord-ouest/sud-est est bien marquée dans le parcellaire actif. Le chemin marquant la limite de l'emprise à l'est est tracé.

– **État 1987** : Mission aérienne verticale F 87 200-4053 P de juillet-août et octobre-novembre 1987 au 1/20 000^e, cliché n°236, Archives de l'Institut Géographique National
L'A15 et les pylones ont été construits. De nouvelles parcelles sont individualisées en nord-est d'emprise au-dessus de la limite forte. Des aménagements semblent présents de long de cette limite sur la parcelle diagnostiquée et les parcelles adjacentes à l'est .

– **État 1993** : Mission aérienne verticale, F 2213-2214, 1/30 000, IGN, 1993, cliché 046, Archives de l'Institut Géographique National
L'ancien chemin de Paris à Rouen est visible sous la forme d'une trace fossile ainsi que des limites parcellaires (présentes sur le cadastre napoléonien au nord).

– **État 2000** : Mission aérienne verticale , 2000 FR 5381/300, des 25 et 26 janvier 2000,



-  Emprise de la ZAC des Linandes
-  Structures archéologiques Les Linandes-2008

0 25 50 100 150 200 250
m

CG95/DAC/SDAVO - S. Robert 2010
Archives départementales 95

Fig. 6 : Emprise de l'opération sur le cadastre napoléonien (1813). Le découpage parcellaire s'appuie sur la Chaussée Jules-César.



-  Emprise de la ZAC des Linandes
-  Structures archéologiques Les Linandes-2008

0 50 100 200 300 400 500 m
CG95/DAC/SDAVO - S. Robert 2010
Archives de la cartothèque de l'IGN

Fig. 7 : Emprise de l'opération sur la Minute d'État-Major au 1/10 000 (1818-1839). Une remise est présente au nord-est de la parcelle à diagnostiquer. Des vignes (en grise) sont encore cultivées au sud de la route royale.



-  Emprise de la ZAC des Linandes
-  Structures archéologiques Les Linandes-2008

0 25 50 100 150 200 250
m

CG95/DAC/SDAVO - S. Robert 2010
Archives de la photothèque de l'IGN

Fig. 8 : Emprise de l'opération sur la mission IGN 1934.



-  Emprise de la ZAC des Linandes
-  Structures archéologiques Les Linandes-2008

0 250 100 150 200 250
m

CG95/DAC/SDAVO - S. Robert 2010
Archives de la photothèque de l'IGN

Fig. 9 : Emprise de l'opération sur la mission IGN 1959.



Fig. 10 : Emprise de l'opération sur la mission IGN 1964.



- Emprise de la ZAC des Linandes
- Structures archéologiques Les Linandes-2008

0 25 50 100 150 200 250
m

CG95/DAC/SDAVO - S. Robert 2010
Archives de la photothèque de l'IGN

Fig. 11 : Emprise de l'opération sur la mission IGN 1987.

au 1/30 000^e, cliché 139, Archives de l'Institut Géographique National

idem

Une tache plus sombre de forme allongée (85 X 5m) apparaît au nord à côté d'une ancienne limite parcellaire.

– **État 2003** : Orthophoto IGN 2003, résolution à 0,50cm, dalle sud-ouest.

Le parcellaire semble plus découpé. L'ancien chemin d'Osny apparaît sous la forme d'une trace fossile. Une trace sinueuse parallèle apparaît à 100m au nord .

V- Liste des plans consultés

– Atlas de Trudaine, PL 6, 1776 © Document conservé au Centre historique des Archives Nationales à Paris, ANF14 bis/8448, Reproduction CG95/DAC/SDAVO Atlas de Trudaine

– Atlas de Trudaine, PL 9, 1776 © Document conservé au Centre historique des Archives Nationales à Paris, ANF14 bis/8448, Reproduction CG95/DAC/SDAVO

– Plan d'Intendance ou Cadastre de Berthier de Sauvigny, 95127 – Cergy, 1778 © ADVO 25Fi 23, Reproduction CG95/DAC/SDAVO

– Plan d'Intendance ou Cadastre de Berthier de Sauvigny, 95127 – Osny-Génicourt, 1778 © ,ADVO 25Fi 23, Reproduction CG95/DAC/SDAVO

– Cadastre Napoléonien, Parcellaire, Impérial ou Ancien Cadastre, feuille C1 de la Croix Rouge, Cergy, 1813, ADVO, Reproduction CG95/DAC/SDAVO

– Cadastre Napoléonien, Parcellaire, Impérial ou Ancien Cadastre, feuille C2 de la Croix Rouge, Cergy, 1813, ADVO, Reproduction CG95/DAC/SDAVO

– Cadastre Napoléonien, Parcellaire, Impérial ou Ancien Cadastre, feuille B1 des Rougettes, Cergy, 1813, ADVO, Reproduction CG95/DAC/SDAVO

– Cadastre Napoléonien, Parcellaire, Impérial ou Ancien Cadastre, feuille B2 des Rougettes, Cergy, 1813, ADVO, Reproduction CG95/DAC/SDAVO

– Cadastre Napoléonien, Parcellaire, Impérial ou Ancien Cadastre, feuille G de la Croix Buche,

Osny, 1813, ADVO, Reproduction CG95/DAC/SDAVO

– Cadastre Napoléonien, Parcellaire, Impérial ou Ancien Cadastre, feuille F des Côtes, Osny, 1813, ADVO, Reproduction CG95/DAC/SDAVO

– Minutes d'État-Major au 1/10 000^e, 1818-1839, archives de la cartotheque de l'IGN, fond assemblé CG95/DAC/SDAVO

– Plan directeur au 1/10 000, feuille 2213-3d, 1870, archives de la cartotheque de l'IGN.

– Plan directeur au 1/10 000, feuille 2213-3d, feuille révisée en 1929, archives de la cartotheque de l'IGN.

– Carte de France au 1/20 000^e – Levés directs, XXII 13 F 5-6 - Pontoise, 1956, cartotheque du SDAVO

– SCAN EDR ® 1 : 25 000 © IGN – Paris 2005 Autorisation n° 2005 CUJ 0530 – Reproduction interdite

– BD TOPO®Pays © IGN – Paris 2007 Autorisation n° 2007 CUJ 1615 – Reproduction interdite



-  Emprise de la ZAC des Linandes
-  Structures archéologiques Les Linandes-2008

0 25 50 100 150 200 250
m

CG95/DAC/SDAVO - S. Robert 2010
Archives de la photothèque de l'IGN

Fig. 12 : Emprise de l'opération sur la mission IGN 2000.

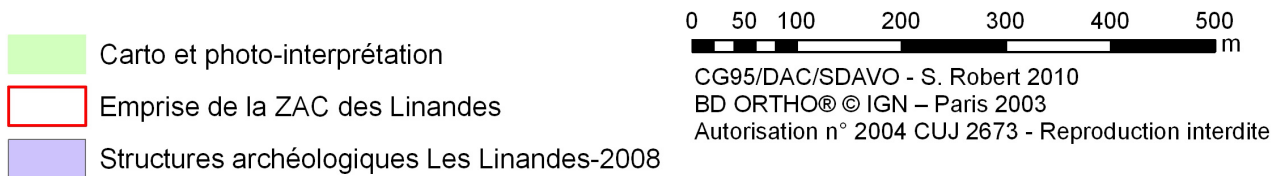
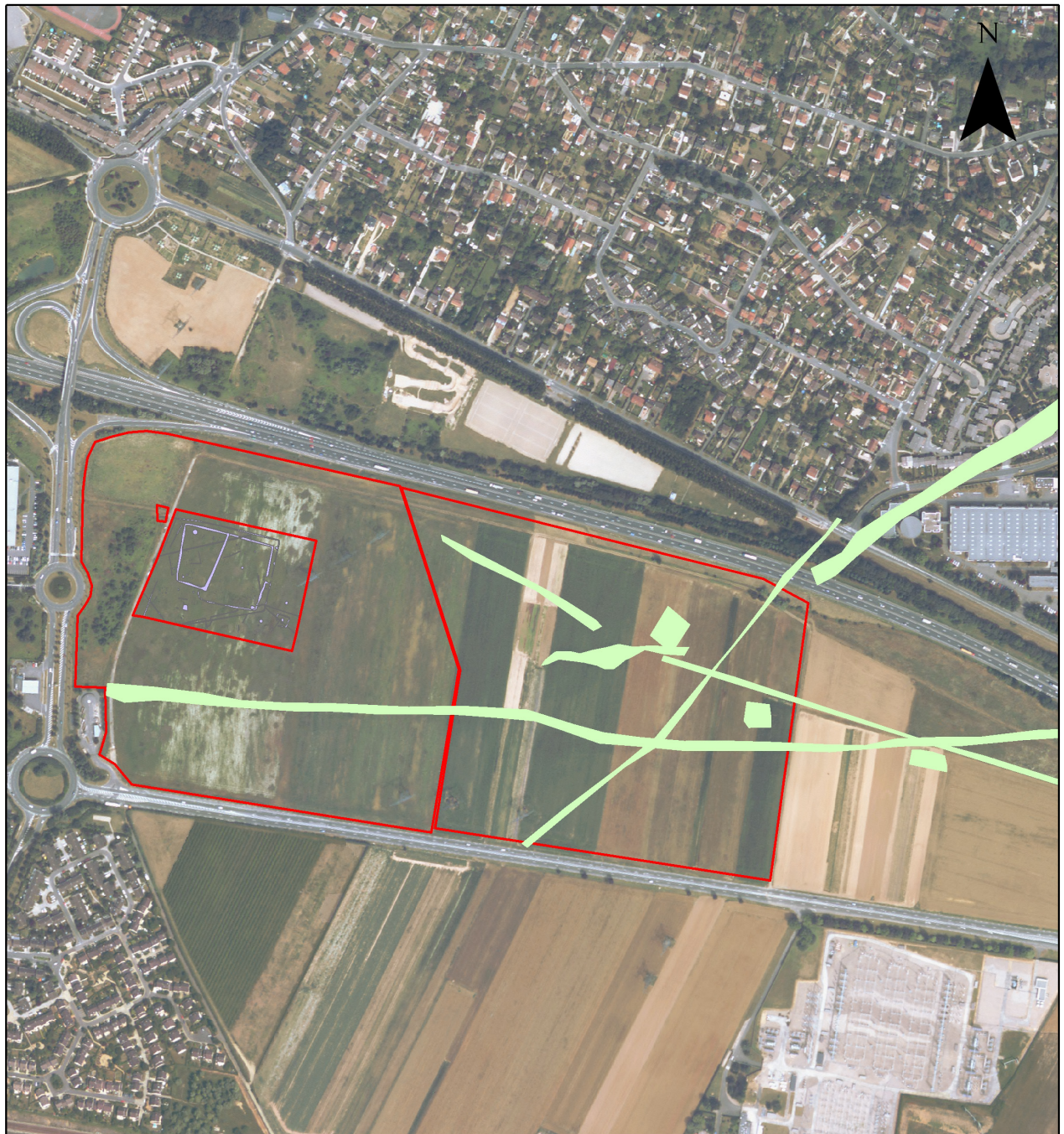


Fig. 13 : Synthèse de la photo-interprétation sur l'orthophoto de 2003.

VI- Liste des missions aériennes consultées

- Mission Pontoise 1934, 2213-n°1 – Région de Pontoise, 1934 © Archives de l'Institut Géographique National, Reproduction CG95/DAC/SDAVO. Cliché 69
- Mission aérienne verticale F 2213-2313, Pontoise Meaux, 1/25 000, © Archives de l'Institut Géographique National, Reproduction CG95/DAC/SDAVO. Cliché 181
- Mission aérienne verticale, F 2213-2413, 1/25 000, IGN, 1959. © Archives de l'Institut Géographique National, Reproduction CG95/DAC/SDAVO. Cliché 191
- Mission aérienne verticale CDP 5087 1964 1964, 1/8100e, 2213 – n°8136 – Pontoise, IGN © Archives de l'Institut Géographique National, Reproduction CG95/DAC/SDAVO.1964. Cliché 8140
- Mission aérienne verticale, FR 1436, 1/5000, IGN, 1967 et 1968. © Archives de l'Institut Géographique National, Reproduction CG95/DAC/SDAVO. Aucun cliché sur la zone.
- Mission aérienne verticale, F 4053, 1/20 000, IGN, 1987. © Archives de l'Institut Géographique National, Reproduction CG95/DAC/SDAVO. Cliché 236
- Mission aérienne verticale, F 2213-2214, 1/30 000, IGN, 1993. © Archives de l'Institut Géographique National, Reproduction CG95/DAC/SDAVO. Cliché n°046.
- Mission aérienne verticale, 2000 FR 5381/300, des 25 et 26 janvier 2000, au 1/30 000^e, © Archives de l'Institut Géographique National, Reproduction CG95/DAC/SDAVO. Cliché 139
- Orthophoto IGN 2003, résolution à 0,50cm, dalle sud-ouest, CG95/DAC/SDAVO

VII - Bibliographie

- Chouquer 2000** : CHOUQUER (G.) – *Essai sur les formes du paysage*, Errance, Paris, 2000.
- Chouquer 2006** : CHOUQUER (G.) – « L'émergence de la planimétrie agraire à l'Âge du Fer », *Études Rurales* n° 175-176, p. 29-52.
- Dutilleux 1881** : DUTILLEUX (A.) – *Recherches sur les routes anciennes dans le département de Seine-et-Oise*, 1881, pp. 494-558.
- Grenier 1934** : Grenier (A.) – *Manuel d'archéologie gallo-romaine. tome 2, L'archéologie du sol. Les routes*, Éditions Picard, Paris, 1934 (rééd. 1985), 468 p.
- Lefevre et al.** : LEFEUVRE (A.) – *Courdimanche « La Touffe II, rapport de diagnostic, archéologique*, CG 95, DRAC–SRA Ile-de-France, juillet 2009.
- Pariat 2007** : PARIAT (J.-G.) – *Cergy « ZAC des Linandes » (95). Rapport de diagnostic archéologique du 01/10/2007 au 19/10/2007*. SDAVO, SRAIF, Saint-Ouen-l'Aumône, 2007.
- Robert 2010** : *Sondage programmé sur la Chaussée Jules-César à Guiry-en-Vexin, Commeny (95) du 6 au 31 juillet 2009*, CG95, PNR Vexin français, SRA Ile-de-France
- Robert 2002b** : Étude morphologique de la Chaussée Jules-César dans le département du Val-d'Oise. In : *Revue archéologique du Centre de la France*, Tome 41, 2002, pp. 173-186
- Robert 2006** : ROBERT (S.) – *Les itinéraires anciens traversant le département du Val-d'Oise*. In : *Bulletin archéologique du Vexin Français et du Val-d'Oise*, n°38, pp. 7-23 <http://hal.archives-ouvertes.fr/docs/00/40/54/57/PDF/BAVFS.RobertHAL.pdf>
- Robert soumis** : ROBERT (S.) – *Sources et techniques de l'archéogéographie planimétrique*. Soumis aux Presses universitaires de Franche-Comté. À paraître en 2010

Annexe 6
Le mobilier métallique
par Aurélien Lefeuvre

Le diagnostic « ZAC des Linandes », 2e tranche – Phase 1 à Cergy (95) a livré un modeste corpus de mobilier métallique. On dénombre 62 artefacts, ou fragments, en fer ou alliage à base cuivre. La masse totale de l'ensemble métallique est de 792,5 g.

Ces vestiges ont été découverts en majorité dans des contextes archéologiques bien identifiés. Le pourcentage de matériel hors contexte est de seulement 6,4 %.

I- Le corpus

Sur les 62 objets et fragments découverts, 44 sont en fer, soit 71 %, et 18 sont en alliage à base cuivre (alliages cuivreux, bronze et billon), soit 29%. Les scories de réduction du fer collectées en très faible proportion (149 g.), dans des contextes mal définis, sont inexploitable des points de vue statistique et typologique. Leur présence sera seulement mentionnée dans cette étude.

Les vestiges ont été collectés principalement dans des structures en creux (fosses et fossés) ou dans les niveaux de construction et d'utilisation d'une voie moderne.

Le lot pâtit de la présence, dans les niveaux supérieurs de la voie 8 et de la structure 21, d'éléments intrusifs contemporains (non étudiés) en liaison probable avec des labours profonds. L'état sanitaire est satisfaisant. La corrosion est la plupart du temps assez limitée. Cependant, un nettoyage et une stabilisation préalable à l'étude ont été réalisés en laboratoire, au SDAVO.

Les datations sont principalement obtenues par l'étude du mobilier céramique associé dans la même unité de dépôt. Cependant, dans quelques cas, l'attribution chronologique peut être affinée par les particularités chrono-typologiques des objets.

L'étude du mobilier est présentée selon des rubriques fonctionnelles inspirées de celles utilisées par M. Feugère dans la collection *Lattara* et des méthodes préconisées par J.-P. Guillaumet¹. Le principe primordial étant de coupler l'identification factuelle des objets avec une caractérisation de leur domaine fonctionnel.

Structure	Tranchée	Objets métalliques
Fossé 7	4	* Mobilier : 1 clou décoratif (fer)
Voie 8	8, 9, 16	* Personnel : 1 ferret (alliage cuivreux), 3 épingles (alliage cuivreux) * Économique : 2 monnaies (billon) * Transport : 1 éperon ? (fer), 5 clous de ferrure (fer) * Construction : 6 clous de menuiserie (fer), 1 crochet ? (fer) * Indéterminé : 1 plaque rectangulaire (alliage cuivreux), 1 rivet (bronze), 1 tige (alliage cuivreux), crochet ? (fer), Clavette ? (fer), 1 fragment indéterminable (fer), 1 tige (fer)
Structure 13	4	* Production : Scorie (fer) * Indéterminé : 1 tige (fer), 3 fragments indéterminables (fer)
Fosse 18	9	* Mobilier : 1 élément d'applique (bronze)
Fossé 19	5	* Construction : 1 clou de menuiserie (fer)
Structure 21	8	* Personnel : 1 bague (mixte base fer) * Mobilier : 1 clé (fer) * Transport : 2 clous de chaussure (fer) * Construction : 3 clous de menuiserie (fer) * Indéterminé : 4 fragments de tiges (fer), 9 fragments (alliage cuivreux)
Fosse 29	9	* Construction : 1 clou de menuiserie (fer) * Indéterminé : 3 fragments de tiges (fer)
Hors contexte	1, 2, 6, 8, 13	* Construction : 2 clous de menuiserie (fer) * Production : scories (fer) * Indéterminé : 1 plaque rectangulaire (fer), 1 tige (fer)

Tab. 1 : Inventaire du mobilier métallique.

¹ Guillaumet 2003

II- Les ensembles mobiliers

Fossé 7

Ce fossé sondé dans la tranchée 4 n'a livré qu'un seul élément métallique sous la forme d'un clou décoratif en fer. Cet élément de petite dimension mesure seulement 18 mm de longueur. La tête, plate et circulaire, a un diamètre de 16 mm. Les dimensions de cet objet indiquent probablement un emploi en tant qu'élément décoratif appartenant au domaine mobilier.

Le matériel associé (faune) ne permet pas d'affiner la datation. Nous proposons une attribution laténienne ou antique.

Voie 8

La voie 8 a livré le lot de mobilier proportionnellement le plus important, avec 40,32 % du corpus. Cette voie, partiellement pavée, a piégé de nombreux éléments métalliques. Des éléments ferreux indistincts et fortement corrodés ont été exclus de la présente étude. Ces restes de petite taille correspondent selon toute vraisemblance à des artefacts concassés par le passage.

Le domaine personnel est illustré par des éléments de vêtements de petite taille aisément perdus par les voyageurs. On dénombre un ferret formé d'une simple tôle de bronze enroulée sur elle-même, en forme de tube conique, et 3 épingles en alliage cuivreux. Ces épingles d'une longueur comprise entre 11 et 22 mm sont constituées d'une tige de section circulaire appointée en biseau et d'une tête sphérique rapportée formée d'un fil de bronze enroulé en hélice. De tels objets et leur mode de réalisation sont documentés à Laon (Aisne)² pour la période de la fin du XV^e au début du XVI^e siècle.

Le domaine économique est représenté par deux monnaies modernes³ :

Liard de Henri II de Navarre

A/ [+HENRI] DEI.G.REX.NAVAR.D.B

Type grand « H » couronné

R/ [GR]A.DEI.SVM.ID.QVOD.SVM

type crois pattée

Datation : 1516-1555

Ref. : Poey d'Avant 3412, p. 187, Pl. XXIII n° 8, BD 584 1F

Billon, diam. : 12 mm, poids : 0,5 g.

² Jorrand 1986

³ Détermination J.-B. Guillaume



Fig. 1 : Liard de Henri II de Navarre issu de la voie V8 (Cliché : X. Bernardeau).

Liard ?

A/ illisible

R/ illisible

Datation : moderne

Billon, diam. : 12 mm, poids : 0,5 g.

Le domaine des transports est, sans surprise, bien présent. Un élément fortement écrasé et partiellement conservé pourrait correspondre à un éperon. Il est constitué d'une tige de section rectangulaire comprenant à une extrémité un système de fixation lacunaire. Il se divise en deux branches arrondies et droites pouvant épouser le pieds du cavalier. La pointe relativement massive est étonnamment repliée à l'équerre.

Les clous de ferrure sont au nombre de 5. Trois d'entre eux sont du type 2 « en clé de violon » selon la typologie de J.-P. Guillaumet⁴. Pour au moins deux exemplaires, le rivetage a été obtenu par retournement de la lame. Les deux exemplaires restant sont trop dégradés pour effectuer un classement typologique mais sont discernables grâce à leur lame triangulaire.

Le domaine de la construction est présent grâce à 6 clous à tête plate circulaire et tige de section carré, ainsi que par une tige recourbée s'apparentant à un crochet ou à un piton ouvert.

Les éléments indéterminés n'appellent pas de commentaires particuliers mais témoignent parfois de l'intrusion de mobilier contemporain au contact de la semelle de labour.

La datation de cet ensemble est assurée par le *terminus post quem* du début du XVI^e siècle apporté par le liard de Henri II de Navarre. Cette attribution moderne est confirmée par la typologie des épingles, et en partie par la céramique associée.

Structure 13

la structure 13 dans la tranchée 4 a livré une scorie de réduction du fer de petite taille (4 g.) ainsi que 4 éléments en fer indéterminés.

⁴ Guillaumet 2003, p. 52

Fosse 18

Cette fosse contenait un seule élément métallique. Il s'agit d'un élément d'applique en bronze de 13 par 7 mm muni de 2 trous de fixations. Cet élément décoratif pourrait appartenir indifféremment à l'Antiquité ou au Moyen-Âge.

Fossé 19

Ce fossé de la tranchée 5 ne contenait qu'un clou de menuiserie à tête plate circulaire et tige de section carré de 60 mm de long.

Structure 21

Parmi le mobilier découvert à l'occasion du diagnostic «Zac des Linandes» 2e tranche, Phase 1 à Cergy (95), un artefact se démarque par son caractère relativement exceptionnel. Il s'agit d'une bague à intaille collectée dans les niveaux inférieurs de la structure 21. Cette structure se présentait lors de la fouille comme un large aplat de terre noirâtre à la fonction indéfinie.

fond de son logement, un peu de métal ayant été rabattu autour de l'ornement pour en renforcer la fixation. Le modèle est proche des types 2 (a ou b) de la typologie de H. Guiraud⁵.

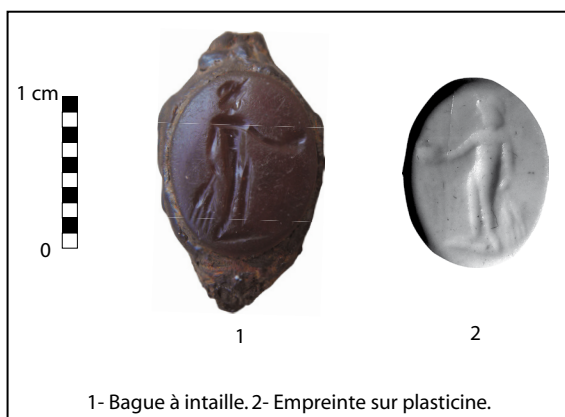


Fig. 2 : Intaille romaine découverte dans la structure 21 (Cliché : A. Lefevre).

Le corps de la bague en fer est très lacunaire. La forte corrosion rend la détermination mal aisée. Ne subsiste que le dessus de l'anneau, d'une épaisseur de 4 mm s'élargissant progressivement en un ovale horizontal de 14 par 12 mm portant la pierre. Les montants convexes se réduisent progressivement à un jonc de section quadrangulaire brisé des deux côtés directement à la jonction avec l'épaule. Le diamètre originel est impossible à restituer. La pierre enchâssée par le dessus dépasse légèrement de la surface du métal. Elle est probablement collée au

⁵ Guiraud 1988, p. 79.

La gemme est une pierre unie de couleur orangé profond, translucide, sans inclusions. Dans les limites d'un examen visuel, nous proposons de l'attribuer à la cornaline⁶. De forme ovale et très légèrement convexe, elle mesure 12 mm de long pour 11 mm de large. Le sujet gravé est un personnage debout de face, la tête tournée vers la gauche ; il tient deux gros épis de blé dans sa main droite baissée et une patère dans sa main gauche tendue vers l'avant. Le corps est légèrement déhanché vers la gauche, le trait d'épaule pourrait évoquer une chlamyde dont le drapé situé dans le dos est invisible. Autour de la tête, on discerne un large bandeau ou ténie. Le sol est figuré par un trait.

Le style de gravure est lisse. Le profil est fait de quelques traits. La tête est légèrement surdimensionnée, le dessin de la ténie forme un bourrelet qui accentue encore cette impression de grosseur. L'épaule est un simple sillon en écharpe, les bras et les jambes simplifiés à l'extrême se détachent mal du corps. Les pieds et les mains sont évoqués par des traits. Les détails anatomiques sont absents et le visage est seulement suggéré. Le travail de gravure a été exécuté soit avec des limes demi-rondes, soit avec des scies arrondies. L'ensemble s'apparente au Style C2⁷. Dans l'état actuel des connaissances, il est impossible de déterminer si la production de cette intaille est d'origine locale ou d'importation.

Des parallèles sont possibles avec des exemplaires de Seraincourt (18) en nicolo (IIe-IIIe s.)⁸, de Dieulouard-Scarponne (54) en Onyx (IIe s.)⁹, de Aime (73) en jaspe rouge (IIe-IIIe s.)¹⁰, de Lectoure (32) en nicolo (IIe-IIIe s.)¹¹, d'Argentomagus (36) en jaspe rouge (IIe s.)¹², et de Lavoye (55) en cornaline (IIe s.)¹³.

6 L'origine de la pierre pourrait être orientale (Inde) comme pour la majeure partie de l'empire, à ce propos voir Guiraud 2008, p. 27.

7 Guiraud 1988, p. 54.

8 Guiraud 1988, p. 111, n° 227 ; Guiraud 1974, p. 219, n°1.

9 Guiraud 1988, p. 112, n° 228.

10 Guiraud 1988, p. 112, n° 230.

11 Guiraud 1988, p. 112, n° 231.

12 Fauduet 1978, p. 29, n° 4.

13 Guiraud 1998, p. 136, n°15.

La détermination de l'identité du personnage représenté est ici difficile, comme souvent en glyptique où la dimension du support oblige à une grande simplification des formes.

La représentation pourrait correspondre à *Fides publica*, déesse de la fidélité à la parole jurée (en particulier à l'empereur de la part de l'armée) mais aussi plus largement de l'honnêteté. Son sanctuaire à Rome était utilisé pour conserver les traités et documents de l'État. Par extension, elle représente également la prospérité due à la fidélité impériale. Les attributs traditionnels sont présents (patère et épis), mais dans cette hypothèse, il faudrait interpréter le long trait de la jambe gauche comme la figuration d'un pli de la robe réduit à un simple tracé par la maladresse du graveur¹⁴. Le soin apporté au reste de la composition et l'allure « virile » du personnage nous orientent plus sûrement vers une autre interprétation.

Nous proposons de rapprocher ce dessin des représentations de *Bonus Eventus*. Les attributs de cette divinité sont ici réduits à leur plus simple expression mais devaient être parfaitement reconnaissables. Ce dieu du « Bon succès » était particulièrement invoqué dans le domaine agricole. Il connaît un culte essentiellement privé bien qu'il possède un temple et un portique près du Panthéon à Rome. Son nom est mentionné par Varron, après les dieux majeurs, dans l'entête de son « traité de l'agriculture »¹⁵. *Bonus Eventus* veillait à la réussite des moissons mais fut également progressivement voué à l'accomplissement de tous les projets de la vie quotidienne. Il est aussi très populaire dans l'armée (l'État l'utilise d'ailleurs parfois comme symbole de la réussite de Rome sur le monnayage). Les canons de représentations découlent directement des deux statues de *Bonus Eventus* présentes à Rome¹⁶. Ces statues d'origine hellénique représentaient

14 À propos des incertitudes dans la représentation de *Fides Publica* voir Fauduet 1978 p.29, n°4 ; Guiraud 1988 p. 61.

15 Varron, *De re rustica*, I, 1, 6.

16 L'existence de ces statues est connue par Pline l'Ancien (Nat. Hist., XXXIV, 77 et XXXVI, 23). L'une attribuée au sculpteur macédonien du IVe s. av. J.-C. Euphrator représente le dieu tenant de la main droite une patère et de la gauche un épi et des pavots, l'autre de Praxitèle est probablement une copie de la précédente.

soit Triptolème, soit Agathodaimon, mais étaient assimilées aux divinités romaines par le phénomène de l'*interpretatio*. Le dieu est présenté sous les traits d'un jeune homme imberbe, les cheveux ceints d'un large bandeau. Représenté en pied, il tient d'une main une patère (emprunté à Agathodaimon) et de l'autre des épis et un pavot (attributs de Triptolème). La Chlamyde couvrant les épaules n'est visible que sur les représentations de profil. Cette figuration stéréotypée se retrouve sur le monnayage républicain et impérial¹⁷.

Cette bague a pu servir de sceau, la forme massive de la monture en fer s'accordant d'ailleurs assez bien à cette fonction, mais également de simple parure/amulette. Le possesseur reste bien entendu énigmatique, mais il pourrait s'agir d'un romain vivant en Gaule ou, plus assurément, d'un membre de l'élite locale cultivé et fortement romanisé. L'adoption de cette mode de la glyptique romaine dénote peut-être un ralliement politique à Rome et certainement l'adoption par acculturation des codes culturels gréco-romains. Les bagues-sceaux sont en effet des objets étrangers à la culture indigène qui marquent l'adoption des codes de représentation méditerranéens.

Le choix d'un motif représentant la fertilité n'est sûrement pas anodin dans le contexte d'une Gaule rurale vivant pour une bonne part de la céréaliculture. Une utilité prophylactique liée à la fertilité peut également être envisagée, soit par la figuration du dieu, soit par les propriétés magiques supposées de la pierre semi-précieuse.

Les exemples connus de représentation de *Bonus Eventus* sur intailles sont pour la plupart datés du II^e s. ap. J.-C.¹⁸. La monture de Type 2 connaît une diffusion du I^{er} au milieu du III^e siècle. Le style de gravure de type lisse C2 est quant à lui daté du II^e à la première moitié du III^e siècle. Le mobilier céramique associé daté du II^e siècle est tout à fait cohérent. Nous pouvons donc raisonnablement dater cette bague du II^e

siècle. Il convient cependant de rester prudent concernant la datation fine d'un objet de valeur qui a pu être thésaurisé ou transmis sur plusieurs générations, et peut-être resserti plusieurs fois au cours de son histoire.

Le restant du mobilier de la structure 21 est plus courant. Au domaine mobilier se rapporte une clé fragmentaire. Il s'agit d'un spécimen à tige coudée fonctionnant par retrait. Le manche formé d'une bossette losangique se termine par un anneau méplat lacunaire. Le panneton est manquant.

Le domaine des transports est présent par l'intermédiaire de 2 clous de chaussure à tête pyramidale et tige de section carrée.

Pour la construction, on dénombre 3 clous de menuiserie en fer à tête plate circulaire et tige de section carrée.

Enfin, dans les éléments indéterminés se trouvent 4 fragments de tiges et 9 éléments en alliage cuivreux de facture contemporaine. Ces éléments indiquent une perturbation de la structure par du mobilier intrusif récent. Ils ne remettent toutefois pas en cause l'attribution Haut-Empire de cette structure.

Fosse 29

Cette fosse de la tranchée 9 contenait un clou de menuiserie rattaché au domaine de la construction et 3 fragments de tige indéterminés. Ces éléments à la datation ubiquiste sont datés du Haut Moyen-Âge grâce au mobilier céramique associé.

17 Pour l'Empire sur des monnaies de Vespasien, Titus, Trajan, Hadrien, Antonin le Pieux, Commode, Pescennius Niger, Septime Sévère et Julia Domna.

18 Guiraud 1998, p. 136, n°15.

FICHE D'IDENTIFICATION NUMISMATIQUE

SDAVO	SITE : CERGY LINANDES FICHE N°1 Date 21/06/2010
-------	--

OBJET	MATÉRIAU
-------	----------

Monnaie	X	Médaille		AU		CU	
Méreau		Sceaux		AR		ALL CU	
Jeton		Cachet		AE		LT	
Dénéral		Bouton		BILLON	X	PB	
				CIRE		POTIN	

DROIT	PHOTO
Type GRAND « H » COURONNE Légende : [+HENRI] DEI.G.REX.NAVAR. D.B Différent :	
REVERS	PHOTO
Type : CROIX PATTEE Légende : [GR]A.DEI.SVM.ID.QVOD. SVM Exergue :	

Pays	NAVARRE	Autorité	HENRI II de NAVARRE
Espèce	LIARD	Datation monnaie	1516-1555
Atelier		Graveur/Maitre	
Etat de conservation	B	Titre	
Diamètre	12MM	POIDS	
Couche	V851 Phase 1	N° d'iso	

BIBLIOGRAPHIE/ REMARQUES	PHOTO RÉFÉRENCE
POEY D'AVANT 3412 p. 187 PI XXIII n°8 BD 584 1F HENRI II DE NAVARRE OU HENRI D'ALBRET	 <small>© www.egb.fr MONNAIES XXII</small>

Traitement	J.-B. Guillaume	Étude	JB Guillaume
------------	-----------------	-------	--------------

FICHE D'IDENTIFICATION NUMISMATIQUE

SDAVO	SITE : CERGY LINANDES Date JUIN 2010
-------	---

OBJET	MATÉRIAU
-------	----------

Monnaie	X	Médaille		AU		CU	
Méreau		Sceaux		AR		ALL CU	
Jeton		Cachet		AE		LT	
Dénéral		Bouton		BILLON	X	PB	
				CIRE		POTIN	

DROIT	PHOTO
Type FLAN LISSE Légende : Différent :	
REVERS	PHOTO
Type : FLAN LISSE Légende : Exergue :	

Pays		Autorité	
Espèce		Datation monnaie	
Atelier		Graveur/Maitre	
Etat de conservation		Titre	
Diamètre		POIDS	
Couche	TR9 V8	N° d'iso	

BIBLIOGRAPHIE/ REMARQUES	PHOTO RÉFÉRENCE

Traitement	J.-B. Guillaume	Étude	JB Guillaume
------------	-----------------	-------	--------------

III- Conclusion

Le diagnostic « ZAC des Linandes », 2e tranche, Phase 1 a livré un modeste lot de mobilier métallique couvrant le spectre chronologique de La Tène à la période moderne.

On notera la relative homogénéité du corpus issu de la voie 8 correspondant à l'utilisation d'une route de grand parcours au début de la période moderne (les fréquentions antérieures n'étant pas illustrée dans l'ensemble métallique).

Mais c'est surtout les vestiges de la structure 21 qui attirent l'attention, par la présence d'une bague en fer à intaille de cornaline représentant *Bonus Eventus*. Cette découverte ne manque pas de poser question sur le statut de l'occupation antique de ce secteur de Cergy. Les découvertes d'intailles sont en effet généralement effectuée en milieu urbain, dans des contextes ruraux prestigieux (trésors, *villae*...) ou des nécropoles, ce qui n'est à priori par le cas du secteur des Linandes. En effet, la modeste occupation du I^{er} siècle ap. J.-C. fouillée en 2008 à proximité¹⁹ ne présente pas de caractère luxueux. Notons-y la présence d'un tambour de colonne semi-encastree dans le remplissage d'une vaste fosse interprétée comme un possible bâtiment en matériaux périssable (st 535). e. La bague n'est donc peut-être qu'un objet simplement perdu, à moins qu'elle ne proviennent d'un site d'importance à proximité, qui reste à découvrir. La suite de la campagne de diagnostic autour de l'aire de découverte pourrait permettre de lever cette incertitude.

IV- Bibliographie

Fauduet 1978 : FAUDUET (I.) – *Les bagues et intailles d'Argentomagus (Indre)*. RAC n°65-66, 1978, p. 29-38

Guillaumet 2003 : GUILLAUMET (J.-P.) – *Paléomanufacture métallique. Méthode d'étude*. Coll. Vestigia, ed. Gollion, 2003

Guiraud 1974 : GUIRAUD (H.) – *Intailles du musée de Bourges*. RACF 13 3-4, 1974, p. 219-228

Guiraud 1976 : GUIRAUD (H.) – *Intailles du musée de Châteauroux*. RACF 15 3-4, 1976, p. 247-259

Guiraud 1978 : GUIRAUD (H.) – *Bagues et intailles de Malain-Mediolanum*. RAE 29 1-2, 1978, p. 123-142

Guiraud 1981 : GUIRAUD (H.) – *Les Bagues d'époque romaine du trésor de Boistray (Rhône)*. Gallia 39-2, 1981, p. 219-233

Guiraud 1988 : GUIRAUD (H.) – *Intailles et camées de l'époque romaine en Gaule – territoire français*. 48^e suppl. Gallia, CNRS, 1988

Guiraud 1989 : GUIRAUD (H.) – *Bagues et anneaux à l'époque romaine en Gaule*. Gallia 46, 1989, p.173-211

Guiraud 1998 : GUIRAUD (H.) – *Intailles du musée des Antiquités nationales*. Ant. Nat. 30, 1998, p. 131-142

Henig, Collis 1987 : HENIG (M.), COLLIS (J.) – *L'intaille d'Aulnat (Puy-de-Dôme)*. RACF 26-2, 1987, p. 207-209

Jorrand 1986 : JORRAND (J.-P.) – *Étude d'une série d'épingles post-médiévales découvertes à Laon (Aisne)*. RAP n° 3-4, 1986, p. 139-141

Pariat et al. 2009 : PARIAT (J.-G.) et al. – *Cergy. ZAC des Linandes. Un établissement rural de la fin de l'Âge du Fer*. SDAVO, SRA Ile-de-France, 2009

Riha 1990 : RIHA (E.) – *Der römische schmuck aus Augst und Kaiseraugst*. Forschungen in Augst 10, Augst, 1990

¹⁹ Pariat et al. 2009

Annexe 7
Étude carpologique
du silo F36
Par Florian Jedrusiak
(UMR 7041)

Le diagnostic a permis de mettre au jour un silo protohistorique dont le tamisage de l'une des unités stratigraphiques a révélé l'existence de 15 carporesses. Ces semences ont toutes été conservées par imbibition¹ (la présence conjuguée au sein de la structure d'eau et de sédiments permettant la création d'un milieu anaérobie, favorable à la conservation des graines). Ces semences ont fait l'objet d'une étude carpologique dont les conclusions sont explicitées ci-dessous.

Soulignons dans un premier temps que la conservation des carporesses est relativement mauvaise, le séchage des semences après leur extraction du sédiment ayant accéléré leur détérioration. Cet état de conservation rend la détermination assez délicate puisqu'une partie des semences a éclaté en séchant, rendant alors impossible une prise de mesure et donc une identification précise.

Pour cette raison, et afin de ne pas commettre d'erreur, la détermination des semences s'est bien souvent limitée au rang du Genre. Malgré les difficultés rencontrées, cette étape permet d'affirmer que la totalité des semences appartient à la famille de Fabaceae (Fabacée)². Pour différencier une espèce d'une autre au sein de cette famille, il est important de disposer de semences intactes, mais surtout de pouvoir observer le hile de la graine : or, celui-ci est conservé sur quelques-uns des exemplaires retrouvés dans le silo.

Cergy 2 - ZAC Linandes		
Silo F36		
Taxon		Nbr de restes
Fabaceae	Fabacée	6
<i>Pisum sativum</i>	Pois	2
<i>Vicia sp.</i>	Vesce	6
Indéterminé		1
Nbr total de restes		15

Tab. 1 : Étude carpologique de la structure F36..

1 À noter qu'aucuns des carporesses étudiés n'a été conservé par carbonisation, ce qui peut paraître étonnant puisque l'unité stratigraphique étudiée était carbonneuse.

2 Famille de plantes herbacées ou ligneuses qui compte environ 10 000 espèces.

L'étude carpologique a pu mettre en évidence la présence de *Vicia* (Vesce), un genre de plante relativement commun durant l'époque protohistorique. Les sites de cette période attestent essentiellement de la présence de quatre espèces : deux d'entre elles, *Vicia hirsuta* (Vesce hérissée) et *Vicia tetrasperma* (Vesce à quatre graines) sont considérées comme des adventices, alors que *Vicia sativa* (Vesce commune) et *Vicia ervilia* (Lentille bâtarde) sont des espèces domestiques et cultivées. On a pu mettre en évidence la présence de la vesce dans des silos de l'Âge du Fer à Betheny (Marne), Bailly (Yvelines) ou encore Acy-Romance (Ardennes).

En l'état actuel des choses, il est impossible de savoir si l'on doit considérer la vesce attestée sur ce site comme une plante domestique ou bien comme une adventice. Soulignons toutefois que ce genre de plante était couramment utilisé en tant qu'espèce fourragère à destination du bétail. Que ce soit pour l'alimentation humaine ou dans le cadre de la pratique de l'élevage animal, il est donc fort possible que la vesce ait été utilisée par les populations qui occupaient le site.

L'identification de deux exemplaires de *Pisum sativum* (Pois) est bien plus instructive. *Pisum sativum* est une espèce de la famille des Fabacées qui tout comme *Vicia* (Vesce) est très courante durant l'Âge du Fer et dont la présence est notamment attestée dans des silos à Bailly (Yvelines), à Bussy-Saint-Georges (Seine-et-Marne) ou encore à Herblay (Val d'Oise). La découverte de cette espèce domestique est intéressante, et ce pour deux raisons : tout d'abord, sa présence au sein d'une structure de stockage de dimension importante tend à laisser penser que *Pisum sativum* (Pois) était cultivé par les hommes occupant le site. Ensuite, sa présence donne des indices quant aux modes de culture en cours au sein du site. Comme toutes les légumineuses, le pois possède un système de mise en culture particulier dit de « culture intensive ». Il réclame davantage de soins que les céréales et souffre de la compétition avec les mauvaises herbes³. Pour ces raisons, il semble assez cohérent d'imaginer que le pois était cultivé au sein de potagers privatifs. Toutefois, le manque de données sur le sujet oblige à modérer ces propos, puisque

3 Matterné, 2001, p. 103.

aucun spécialiste n'a encore réussi à mettre en évidence de façon certaine la culture du pois au sein de potagers.

Bien que n'ayant livré qu'un nombre relativement restreint de carporestes, les résultats obtenus à partir du silo étudié permettent d'affirmer que les légumineuses, et notamment le pois (*Pisum sativum*), étaient l'une des composantes de l'alimentation des populations occupant le site. Durant l'Âge du Fer, on observe que les céréales occupent une place majeure au sein de l'alimentation des populations. Viennent ensuite les légumineuses. Les résultats de l'étude corroborent donc cette observation générale quant à l'alimentation des populations protohistoriques du Bassin parisien. Si l'on considère l'importance occupée par les céréales durant cette période, leur absence au sein de la structure F36 peut d'ailleurs paraître étrange : il est possible, toutefois, que celles-ci aient été stockées au sein d'une autre structure.

Matterne 2001 : Matterne V., (2001), *Agriculture et alimentation végétale durant l'âge du fer et l'époque gallo-romaine en France septentrionale*, *Archéologie des Plantes et des Animaux*, Millau, éd. Monique Mergoïl.

Liste des figures

Fig. 1 : Plan de localisation du site.....	14
Fig. 2 : Coupe géologique synthétique de la zone.....	15
Fig. 3 : Localisation et coupe du LOG 1.....	16
Fig. 4 : Localisation et coupe du LOG 2.....	17
Fig. 5 : Sites identifiés dans un rayon de 1 km.....	19
Fig. 6 : Plan phasé des occupations archéologiques.....	22
Fig. 7 : Diagramme des contextes d'apparition du mobilier néolithique.....	21
Fig. 8 : Plan et coupe de la fosse F37.....	23
Fig. 9 : Profil du vase issu de la fosse F37 (Dessin : X. Bernardeau).....	21
Fig. 10 : Plan et coupe du tronçon de fossé Fo51.....	24
Fig. 11 : Plan et coupe de la fosse F52.....	25
Fig. 12 : Exemples d'outils lithiques découverts aux Linande : a- Fragment de hache polie, b- lame, c- nucléus, d- pic.....	26
Fig. 13 : Plan et coupe du tronçon de fossé Fo7.....	28
Fig. 14 : Plan et coupe du tronçon de fossé Fo19.....	29
Fig. 15 : Plan et coupe de la fosse F36.....	30
Fig. 16 : Vue oblique de la fosse F36 avant fouille.....	31
Fig. 17 : Répartition verticale des vestiges en grammes.....	32
Fig. 18 : Silo F36 : 1. Moitié est, profondeur -50 / -60 cm, 2. Moitié est, profondeur -50 / -60 cm, 3. Moitié est (Dessin : X. Bernardeau).....	31
Fig. 19 : Fosse F36, exemples de pâtes (Clichés : X. Bernardeau).....	33
Fig. 20 : Traces de morsures ou de grignotage laissées par les charognards (Cliché : J.-G. Pariat).....	33
Fig. 21 : Écailles et vertèbre de poisson (Cliché : J.-G. Pariat).....	33
Fig. 22 : Vue générale des structures 21 et 23 (Cliché : J. Laheye).....	34
Fig. 23 : Plan des structures 21 et 23.....	35
Fig. 24 : Coupe des structures 21 et 23.....	36
Fig. 25 : Exemples de formes céramiques issues de la structure 21 : a- fragment de DRAG 37, b- fragment de DRAG 27, c- fragment d'amphore (Dessin : X. Bernardeau).....	36
Fig. 26 : Fragment de pied en verre issu de la structure 21 (Cliché : X. Bernardeau).....	37
Fig. 27 : Clef à tige coudée issue de la structure 21 (Cliché : X. Bernardeau).....	37
Fig. 28 : Plan et coupe du fossé Fo 30.....	39
Fig. 29 : Plan et coupe du fossé Fo 14.....	40
Fig. 30 : Le « Vieux Chemin de Rouen » repéré lors de différentes opérations.....	41
Fig. 31 : Vue oblique du pavage de la voie 8 (Cliché : J.-G. Pariat).....	42
Fig. 32 : Tranchée 8, coupe de la voie V8. (Cliché : X. Bernardeau).....	43
Fig. 33 : Tranchée 8, éperon découvert dans le comblement de la voie V8 (Cliché : X. Bernardeau).....	44
Fig. 34 : Tranchée 9, pavage de l'assise supérieure de la voie V8 (DAO : X. Bernardeau).....	45
Fig. 35 : Tranchée 9, voie 8, sondage 1 : coupe.....	46
Fig. 36 : Tranchée 9, voie 8, sondage 1, empiérement du fond du fossé bordier sud (Cliché : J.-G. Pariat).....	44
Fig. 37 : Coupe du Chemin de Courcelles à Courdimanche (d'après Lefeuvre 2009).....	47
Fig. 38 : Coupe de la voie médiévale de Bruyères-sur-Oise (d'après Hurard 2010).....	48
Fig. 39 : Plans et coupes des trous de poteau TP9, 10, 11.....	50

Fig. 40 : Plans et coupes de fosses F1 et F3.....	51
Fig. 41 : Plan et coupe de la fosse F18.....	52
Fig. 42 : Plans et coupes des fosses F28 et F29.....	53
Fig. 43 : Plans et coupes des fosses F32 et F33.....	55
Fig. 44 : Plans et coupes des fosses F39 et F40.....	56
Fig. 45 : Plans et coupes des tronçons de fossé Fo5 et Fo6.....	57
Fig. 46 : Plan et coupe du segment de fossé Fo20.....	58
Fig. 47 : Plans et coupes des sondages 1 et 2 du tronçon de fossé Fo 24.....	59
Fig. 48 : Plan et coupe du trou de poteau TP27.....	60
Fig. 49 : Plan et coupe de la structure ST2.....	61
Fig. 50 : Coupe de la structure ST13.....	62
Fig. 51 : Plan et coupe de la structure ST26.....	63
Fig. 52 : Plans et coupes des structures ST31 et ST48.....	64
Tab. 1 : Dimensions de blocs et cailloux constituant l'assise supérieure de la voie.	44
Tab. 2 : Inventaire des structures d'époque indéterminée.	49

Annexe 5 : Étude archéogéographique.

Fig. 1 : Localisation de l'emprise de l'opération dans le contexte oro-hydrographique.....	157
Fig. 2 : Insertion de la zone à diagnostiquer dans le réseau routier.....	159
Fig. 3 : Organisation du parcellaire aux Linandes.....	161
Fig. 4 : Emprise de l'opération sur l'Atlas de Trudaine (1745-1780).....	162
Fig. 5 : Emprise de l'opération sur les plans d'intendance de 1778.....	163
Fig. 6 : Emprise de l'opération sur le cadastre napoléonien (1813).....	165
Fig. 7 : Emprise de l'opération sur la Minute d'État-Major au 1/10 000 (1818-1839).....	166
Fig. 8 : Emprise de l'opération sur la mission IGN 1934.....	167
Fig. 9 : Emprise de l'opération sur la mission IGN 1959.....	168
Fig. 10 : Emprise de l'opération sur la mission IGN 1964.....	169
Fig. 11 : Emprise de l'opération sur la mission IGN 1987.....	170
Fig. 12 : Emprise de l'opération sur la mission IGN 2000.....	172
Fig. 13 : Synthèse de la photo-interprétation sur l'orthophoto de 2003.....	173

Annexe 6 : Étude du métal

Fig. 1 : Liard de Henri II de Navarre issu de la voie V8 (Cliché : X. Bernardeau).....	177
Fig. 2 : Intaille romaine découverte dans la structure 21 (Cliché : A. Lefevre).....	178
Tab. 1 : Inventaire du mobilier métallique.....	176
5 photos : catalogue des monnaies découvertes (Par J.-B. Guillaume).....	180

Annexe 7 Étude carpologique du silo F36

Tab. 1 : Étude carpologique de la structure F36.....	186
---	------------